

**MŰSZAKI  
MATEMATIKAI GYAKORLATOK**

SZERKESZTI  
DR. FAZEKAS FERENC

**A. V.\***

**HATÁROZOTT INTEGRÁL**  
(ELSŐ RÉSZ)

ÍRTA  
DR. FAZEKAS FERENC

*NEGYEDIK KIADÁS*

TANKÖNYVKIADÓ, BUDAPEST

1973







# MŰSZAKI MATEMATIKAI GYAKORLATOK

SZERKESZTI

DR. FAZEKAS FERENC  
EGYETEMI DOCENS  
DR. MATH. SC.

BELSŐ MUNKATÁRSAK

DR. FREY TAMÁS  
EGYETEMI TANÁR  
A MATEMATIKAI TUDOMÁNYOK DOKTORA

DR. BAJCSAY PÁL  
EGYETEMI DOCENS  
KANDIDÁTUS

SZEMLÉLTETÉS

GYURCSY ENDRE  
OKL. VILLAMOSMÉRNÖK

TANKÖNYVKIADÓ, BUDAPEST

1973



**A**

**MŰSZAKI MATEMATIKAI GYAKORLATOK**

**SOROZAT KÖTETEI:**

**A.**

- A. I. Középiskolai matematika (Ötödik kiadás)**
- A. II. Egyváltozós elemi függvények (Harmadik kiadás)**
- A. III. Differenciálszámítás (Harmadik kiadás)**
- A. IV. Határozatlan integrál (Negyedik kiadás)**
- A. V.\* Határozott integrál (Első rész) (Negyedik kiadás)**
- A. V.\*\* Határozott integrál (Második rész)**
- A. VI. Többváltozós függvények és differenciálásuk (Negyedik kiadás)**
- A. VII. Többváltozós függvények integrálása (Negyedik kiadás)**
- A. VIII. Taylor-sorok (Harmadik kiadás)**
- A. IX. Vektoralgebra. Lineáris egyenletrendszerek (Negyedik kiadás)**
- A. X. A logarléc (Hatodik kiadás)**

**B.**

- B. I-II-III. Vektoranalízis. (Térgeörbék és felületek differenciálgeometriája. Skalár-, vektor- és tenzormezők) (Harmadik kiadás)**
- B. IV. Komplex függvénytan (Negyedik kiadás)**
- B. V. Numerikus és grafikus közelítő módszerek (Második kiadás)**
- B. VI. Végtelen sorozatok, sorok és szorzatok (Harmadik kiadás)**
- B. VII.\* Közönséges differenciálegyenletek. (Első rész) (Ötödik kiadás)**
- B. VII.\*\* Közönséges differenciálegyenletek (Második rész) (Harmadik kiadás)**
- B. VIII. Parciális differenciálegyenletek (Második kiadás)**

**C.**

- C. I. Operátorszámítás. Speciális függvények (Második kiadás)**
- C. II. Variációszámítás (Harmadik kiadás)**
- C. III. Integrálegyenletek (Harmadik kiadás)**
- C. IV. Mátrixszámítás (Negyedik kiadás)**
- C. V. Valószínűségszámítás (Harmadik kiadás)**
- C. VI. Matematikai összefoglaló (Harmadik kiadás)**
- C. VII. Matematikai programozás (Második kiadás)**

**(A szövegben az egyes kötetekre a fenti betű- és számjelzéssel hivatkozunk.)**



A. V.\*

# HATÁROZOTT INTEGRÁL

(ELSŐ RÉSZ)

ÍRTA

DR. FAZEKAS FERENC

EGYETEMI DOCENS

DR. MATH. SC.

KÖZREMŰKÖDÖTT

SZABÓ ISTVÁN

V. EGYETEMI TANÁRSEGÉD

*Negyedik kiadás*



# *EGYETEMI SEGÉDKÖNYV*

KIADÁSÁT A MŰVELŐDÉSÜGYI MINISZTER RENDELTE EL

Az első kötet kéziratát átnézte

DR. GALLAI TIBOR  
egyetemi tanár

A második kötet kéziratát átnézte:

DR. KÖRMENDI ISTVÁN  
egyetemi adjunktus

Szaktanácsadó volt

DR. NAGY SÁNDOR †  
egyetemi docens

© Dr. Fazekas Ferenc, Budapest, 1965

## A SOROZAT ELSŐ KIADÁSÁNAK ELŐSZAVÁBÓL

A műegyetemi oktatás és mérnöki továbbképzés évtizedek óta nehezen nélkülöz egy, a műszaki igényeknek megfelelő magyar matematikai példagyűjteményt. E hiányt felismerve, matematikai tanszékeink lelkes fiataljai az utolsó 2-3 évben több jegyzetet állítottak össze a matematikai gyakorlatok anyagából. Tovább enyhítette a hiányt Gjunter - Kuzmin időközben magyarul megjelent kiváló felsőbb matematikai példatára, bár ezt - magas színvonalára való tekintettel - elsősorban nem a műegyetemi, hanem a tudományegyetemi hallgatók részére adatta ki a minisztérium. A probléma viszont teljes megoldást kívánt a hallgatók és a kezdő tanszemélyzet létszámának nagymérvű megnövekedése miatt. Ez utóbbi körülmény azt az újabb igényt támasztotta egy leendő példatárral szemben, hogy az a feladatokon és végeredményeiken kívül még bő megoldási útmutatásokat is tartalmazzon. Ugyanakkor több matematikai értekezleten szorgalmazták - a legmeggyőzőbben dr. Alexits akadémikus, professzor -, hogy műszaki egyetemeinken alkalmazott, műszaki matematikát oktassunk, és gyűjtsünk össze megfelelő alkalmazott műszaki anyagot.

A minisztérium figyelmét ekkor felhívták néhány lelkes hallgató társaságában már korábban hasonló szempontok szerint elindított gyűjtő munkámra. A minisztérium azonnal felkarolta kezdeményezésemet, megbízott egy Műszaki Matematikai Gyakorlatok című példagyűjtemény terveinek, szerkesztési elveinek kidolgozásával, majd rövidesen a mű szerkesztésével - egyúttal biztosítva több matematikai tanszék néhány tapasztaltabb adjunktusának, illetve tanársegédjének közreműködését.

Munkánk A. és B. része\* jórészt a matematikának a műszaki felsőoktatásban világszerte szokásossá vált fejezeteit tárgyalja, de a megszokott kereteh képest egyeseket kibővítvé, főleg a B. részben a klasszikus műszaki matematika érintett fejezeteit. A sorozat C. része a modern műszaki matematika néhány olyan nagy jelentőségű fejezetébe nyújt bevezetést, amelyek bevonulása műszaki felsőoktatásunkba az utóbbi években megkezdődött.

Munkánk első célja a szokásos tananyaggal kapcsolatban mindazt előadni, aminek műszaki egyetemeinken a helyesen, korszerűen, a műszaki igényeknek megfelelően vezetett matematikai gyakorlatokon szerepelnie kell. Esti és levelező oktatásunkban idevágó füzeteink esetleg még szélesebb körű felhasználásra is kerülhetnek.

Munkánk második (de nem mellékes) célja gyakorlati és műszaki anyagot nyújtani a különböző tagozatokon a felsőbb éves nappali és esti hallgatók speciális matematikai oktatásához, a szakmérnöki továbbképző tanfolyamok és a Mérnöki Továbbképző Intézet rendszeres matematikai oktatásához, továbbá az igényesebb hallgatók, a fiatal matematikai és műszaki tanszemélyzet, a kutató és üzemi mérnökök és aspiránsok egyéni vagy csoportos továbbtanulásához.

E példagyűjteménynél viszonylag újszerűnek mondható célkitűzések megvalósítása szintén újszerű szerkesztési elveket kívánt. Ennek megfelelően nem szorítkoztunk, mint a legtöbb példatár, csupán feladatok és végeredményeik közlésére. Ellenkezőleg, megkíséreltük fejezetről fejezetre végigvezetni a következő rendszert: a) elméleti összefoglaló; b) bő magyarázat kíséretében részletesen megoldott, kisszámú jellegzetes mintapél-

\* A sorozat köteteinek címjegyzékét lásd a 2. oldalon:

da; c) az előbbieken alapján könnyen megoldható, csak végeredménnyel ellátott, nagyszámú gyakorló feladat; d) esetleg rövid útmutatással ellátott és csak vázlatosan megoldott különleges (csillagos) példák; e) esetleg egyes bizonyítások vázlatos közlése a különleges példák között, f) végül műszaki alkalmazások bemutatása. E láncszemek véleményünk szerint jól szolgálhatják a matematikai elmélet és a műszaki gyakorlat összekapcsolásának ügyét. Megjegyzendő, hogy bizonyára nem mindenütt sikerült a rendszert teljes egészében megvalósítanunk; olykor e sorrendtől is eltértünk.

Az A. rész füzeteiben, professzorainkkal egyetértésben, eléggé óvatosan méreteztük a műszaki alkalmazások számát a többi példákéhoz képest. Erre készített az elsőéves hallgatók műszaki ismereteinek hiányossága, valamint az e füzetben közölt matematikai apparátus elégtelensége komolyabb problémák megoldásához. Még így is lényegesen bővebb műszaki példaanyagunk, mint az ismert példatáraké.

A B. és C. rész füzeteiben - az olvasó egyre növekvő matematikai és műszaki ismereteire támaszkodva - nagy bőségben tárgyalunk problémákat a klasszikus és modern műszaki matematika legkülönbözőbb területeiről, amelyekben kézzelfoghatóan jelentkezik a matematika és a technika egysége.

A minisztérium és professzoraink tanácsát követve, bátran merítettünk a legkülönbözőbb forrásokból, sokkal inkább törekedve az anyag gazdagságára és megbízhatóságára, mintsem - példatárnál amúgy is szegényes sikert ígérő - eredetiségre. Természetesen szép számú új feladatot is készítettünk.

A szemléltető anyag gondos szerkesztése és megrajzolása Gyurcsy Endre okl. villamosmérnök kolléga érdeme.

Ki kell emelnem Egerváry akadémikus, professzor számos szakmai megjegyzését és műegyetemi előadásait, amelyekből merített tanulságok nagymértékben emelik munkánk értékét. Állandó érdeklődésével és gazdag pedagógiai és módszertani útmutatásokkal volt segítségünkre Gallai professzor. Meg kell emlékeznem az Alkalmazott Matematikai Intézetről, mely modern könyvtárával és alkotó légkörével a gyűjtés legelejétől mindvégig támogatta munkánkat.

Végezetül munkánkat műszaki egyetemeink oktatóinak és hallgatóinak ajánljuk. Használják fel e füzeteket a maguk, illetve a leendő mérnökök ezreinek képzésére! Észrevételeikkel segítsék elő e gyűjtemény mielőbbi tökéletesedését!

Budapest, 1952. szeptember 1.

A SZERKESZTŐ

## A SOROZAT MÁSODIK ÉS HARMADIK KIADÁSÁNAK ELŐSZAVÁBÓL

Közel nyolc év munkájával - néhány kisebb jelentőségű módosítástól eltekintve az eredeti terv szerint - sikerült befejeznünk a Műszaki Matematikai Gyakorlatok c. sorozatot 23 kötetben. Munkaközösségünk céltudatossága és munkakedve, a minisztérium és a Tankönyvkiadó kitartó támogatása, bírálóink értékes segítsége és nem utolsósorban egyre növekvő olvasótáborunk lelkes érdeklődése lehetővé tette az összes nehézségek leküzdését. Noha távolról sem tekinthetjük tökéletesnek, véglegesnek könyveinket, mégis az első kiadás befejezésekor a magyar műszaki matematikai felsőoktatás érdekében végzett odaadó munka jó érzése tölti el munkaközösségünket.

Könyveinket a hazai szakemberek és szaklapok kedvezően fogadták, és számos hasznos észrevétellel, tanáccsal voltak segítségünkre. Köteteink az évek során több keleti és nyugati államba is eljutottak, 1958 nyarán pedig abban a megtiszteltetésben részesültünk, hogy a belgiumi Nemzetközi Mérnöki Matematikai Kongresszus vezetősége kiállította, és idegen nyelvről, vetített képernyőn is bemutatta a teljes sorozatot, figyelemre méltó érdeklődés és elismerés mellett.

1963-ban szükségessé vált a sorozat harmadik kiadásának megindítása. A második kiadású kötetek jó részének gyors elfogyása - éppen a matematikai programozás lineáris



algebrai segédeszközeivel, ill. a síkbeli rugalmasságtan korszerű, komplex függvénytani módszerével kapcsolatos bővítése után - kézzel foghatóan bizonyítja a sorozat fejlesztésére, korszerűsítésére 1958-ban kitűzött célok és a megvalósításukra kifejtett erőfeszítések helyességét.

Említésre méltó, hogy sorozatunk vagy egyes kötetei 1958 óta újabb külföldön (pl. a Szovjetunióban, az NDK-ban, Jugoszláviában, Egyiptomban, az USA-ban, Angliában, az NSZK-ban) és nemzetközi fórumon (pl. az NDK Matematikai Társulatának 1963. évi nemzetközi ülészakán) tudtak helytállni és versengeni a hasonló rendeltetésű külföldi munkákkal.

Ilyen kedvező adottságok között természetes, hogy lelkesen folytatjuk a sorozat fejlesztésének, korszerűsítésének nagy munkáját, ismét kérve ehhez a Művelődésügyi Minisztérium, a Tankönyvkiadó és nem utolsósorban műszaki olvasótáborunk buzdító, áldozatkész támogatását.

Budapest, 1964. febr. 15.

SZERKESZTŐ

## ELŐSZÓ A SOROZAT NEGYEDIK KIADÁSÁHOZ

A középiskolai és a műegyetemi tanterv újabban végbement jelentős változása, valamint az elektronikus számítástechnika széles elterjedése folytán ez évben megindult az előző kiadások során a hazai műszaki olvasótáborban közismertté és kedvelté vált könyvsorozatunk alaposabb felfrissítésének és korszerűbbítésének több éves periódusa. Ez számos kötetünk kisebb-nagyobb átdolgozásával, egyesek bővítésével, esetleg szűkítésével és néhány, eddig is szorgalmazott új kötet megjelenésével fog megvalósulni. Karaink és a Kiadó örvendetes támogatásával. Sorozatunk immár közel 2 évtizedes eleven életútja, gazdag oktatási és kutatási tapasztalataink, az olvasók és az illetékesek ügypártolása kellemessé teszi számunkra ezt a nagy munkát.

Lecturis salutem!

Budapest, 1971. május 15.

DR. FAZEKAS FERENC

## ELŐSZÓ A KÖTET ELSŐ KIADÁSÁHOZ

E kétkötetes könyv kitüntetett szerepet játszik sorozatunk A. részének kötetei között - több okból.

Először: a határozott integrál fogalma és néhány olyan geometriai alkalmazása, mint pl. a terület-, ívhossz-, térfogat-, felszín- és nyomaték-számítás stb. nálunk és külföldön egyaránt fontos részét képezi a műszaki felsőoktatás matematikai anyagának. Ezért ezt az anyagot könyvünkben alapos elméleti összefoglalókkal és nagyszámú, erősen rendszerezett példával tárgyaljuk.

Másodszor: a határozott integrál - differenciálelv, valamint (az A. IV. kötetben említett) legegyszerűbb differenciálegyenletek ismeretében - már számtalan apróbb műszaki részletprobléma, sok esetben egész problémák, sőt olykor széles műszaki problémakörök megoldására is alkalmas. E tényt meggyőzően szemlélteti könyvünkben a legkülönbözőbb műszaki tudományok területéről összegyűjtött gazdag példaanyag. Didaktikai és elvi szempontból egyaránt jelentős, hogy e műszaki példák a fentebb említett matematikai eszközöket szoros összefüggésükben mutatják meg, s ezek együttesét mint az elemi műszaki matematika leghathatóbb eszközét vésik az olvasó emlékezetébe. Megjegyzendő, hogy a szélesebb műszaki problémakörök feldolgozásánál szükségesnek látszott bővebb műszaki bevezetés előrebocsátása.

Harmadszor: könyvünk bizonyos fejezetei (mint pl. az improprius, a paraméteres és a Stieltjes-integrálról szóló) előre mutatnak, s a sorozat későbbi kötetei (B. III-VII.,

C. I-V.) számára kívánnak a határozott integrállal kapcsolatos további ismereteket nyújtani. E fejezetek gazdag példaanyaga egyébként szinte hézagpótló tankönyvirodalmunkban.

Mindezek következtében könyvünk eddigi köteteinknél nagyobb mértékben szolgálhatja a sorozat általános célkitűzéseit. (L. ezeket a sorozat előszavában.)

Néhány szót a szerkesztésről! Viszonylag nagy irodalmat tanulmányoztunk át (l. az irodalomjegyzéket). Hosszadalmas munkát igényelt (s bizonyára még így sem sikerült kifogástalanul) a sokfelől összegyűjtött anyag rendszerezése, egységes feldolgozása, nagyszámú példa átdolgozása és kiszámítása.

A források közül kiemeljük Fihengolc gyakran idézett háromkötetes, ragyogó művét, melyből mind az elméleti bevezetők, mind a példák tekintetében bőven merítettünk, különösen három utolsó fejezetünkben. Jelentősen felhasználtuk továbbá elméleti, példa- és ábraanyag tekintetében Berman, Bermant, Gjunter - Kuzmin, Schlömilch, Granville, Rényi, Bojev, Mutnyánszky, Kövesi, Jablonszkij, Ivanov, Kalantarov - Nejman idézett műveit.

Viszonylag sokan voltak segítségemre a szerkesztés során. Közreműködött fáradhatatlan szorgalommal Szabó István tanársegéd az összegyűjtött anyag rendezésében, a kézirat előkészítésében és a korrektúrában. Gallai professzornak főleg az elméleti és példaanyag aránya, elrendezése, tárgyalásmódja és összefüggése tekintetében adott tanácsaiért, Körmendi adjunktusnak a matematikai és műszaki precizitást célzó számos megjegyzéséért, Nagy Sándor docensnek műszaki példáiért és hasznos észrevételeiért kell köszönetet mondanom. Ugyancsak köszönet illeti Aczél tv. docenst és Makai docenst az első kézirattal kapcsolatos megjegyzéseiért. Hock tanársegéd a víztagozat szaktárgyaiból gyűjtött példáiért, Gyurcsy okl. vill. mérnök a pontos és szemléletes ábrákért, Gedeon és Géher tanársegédek a segédanyag-fordításokért, Biczó tanársegéd a gépelési munkálatokért fogadják köszönetemet. Hálásan emlékezem meg az Oktatásügyi Minisztériumról és a Tankönyvkiadó Vállalatról a munka közben nyújtott állandó támogatásért és a könyv megjelenése érdekében hozott jelentős áldozatért. Az Egyetemi Nyomda most is elismerésre méltó munkával oldotta meg nagyigényű feladatát.

Budapest, 1953. nov. 15.

FAZEKAS FERENC

## ELŐSZÓ A KÖTET MÁSODIK, HARMADIK ÉS NEGYEDIK KIADÁSÁHOZ

A kötet három új kiadása lényegében megegyezik az elsővel. A szerző öröme, hogy a kötet gazdag műszaki alkalmazási anyaga révén - a leendő mérnökök újabb ezreit győzheti meg az integrálszámításnak mint matematikai segédeszköznek a műszaki tudományokban betöltött kimagasló szerepéről. E meggyőződés az olvasóban a folytatódólagos kötet (A. V.\*\*\*) figyelembevételével válhat még szilárdabbá.

Budapest, 1964. márc. 1., 1967. ápr. 15., 1971. máj. 15.

DR. FAZEKAS FERENC

## E KÖTET TARTALOMJEGYZÉKE

(ELSŐ RÉSZ)

<b>1. §. A határozott integrál</b>	<b>13</b>
a) <i>Területmérés</i>	13
$\alpha$ ) Tetszőleges alakú síkrész területe	13
$\beta$ ) Az $y = f(x)$ függvény görbéje alatti terület	13
$\gamma$ ) Fizikai és műszaki alkalmazások	14
b) <i>A határozott integrál (Riemann-féle) fogalma, létezésének kritériumai. Integrálható függvények</i>	14
$\alpha$ ) Definíció	14
$\beta$ ) Darboux-összegek	15
$\gamma$ ) Az integrál létezésének feltétele	16
$\delta$ ) A fontosabb (Riemann szerint) integrálható függvénytípusok	16
$\epsilon$ ) Az integrálható függvények sajátosságai	16

### PÉLDÁK ÉS FELADATOK

ad $\alpha$ )	17
ad $\gamma$ )	20

### MŰSZAKI ALKALMAZÁS

1. Nyomásvesztés meghatározása szabadon végződő kifolyócső esetén, egyenletesen elosztott leágazások mellett	21
c) <i>A határozott integrálra vonatkozó egyenlőségek, egyenlőtlenségek, tételek</i>	22
$\alpha$ ) Egyenlőségek és egyenlőtlenségek	22
$\beta$ ) Változó felső határu határozott integrál	23
$\gamma$ ) Az integrálszámítás alapképlete	24

### PÉLDÁK ÉS FELADATOK

ad $\alpha$ )	25
ad $\gamma$ )	27

### MŰSZAKI ALKALMAZÁSOK

1. Körívre ható, sugárirányú, egyenletesen megoszló erőrendszer eredője.	
2. Szöggyorsulással forgó rúd szilárdsági igénybevétele. 3. Autó fékezési ideje	31
d) <i>Határozott integrálok számítása parciális integrálással, helyettesítéssel</i>	33
$\alpha$ ) Általános megjegyzések	33
$\beta$ ) Parciális integrálás	34
$\gamma$ ) Helyettesítés	34

### PÉLDÁK ÉS FELADATOK

ad $\beta$ )	34
--------------	----

### MŰSZAKI ALKALMAZÁSOK

1. Vonalas terhelés hatására anizotrop rugalmas feltérben keletkező normális feszültség	35
---	----

2. Gátra ható felhajtóerő meghatározása .....	41
PÉLDÁK ÉS FELADATOK	
ad $\gamma$ ) .....	41
MŰSZAKI ALKALMAZÁSOK	
1. Párhuzamos fémhengerek kapacitása. 2. <i>Mercator</i> -térkép. 3. Koncentrált $P$ erő hatására anizotrop rugalmas feltérben keletkező feszültség. 4. Vonalas terhelés hatására keletkező feszültség. 5. Egyenletesen megoszló sávterhelés hatására létrejövő feszültség. 6. Parabolikusan megoszló sávterhelés hatására létrejövő feszültség. 7. Kúpos cső hidraulikus ellenállása. 8—9. Feladatok az út kiszámítására. 10—14. Vegyész-mérnöki számításokban előforduló feladatok. 15. Vékonyfalú csőben fellépő nyomatékok meghatározása egyenletesen megoszló terhelés esetén .....	49
e) Középtértéktelek. Függvény-középtértékek. Integrálok becslése .....	60
Középtértéktele	
$\alpha$ ) Az integrálszámítás első középtértéktele .....	60
$\beta$ ) Az integrálszámítás <i>Bonnet</i> -féle középtértéktele .....	60
$\gamma$ ) Az integrálszámítás második középtértéktele .....	60
Függvény-középtérte	
$\delta$ ) A függvény középtérte .....	61
e) A függvény kvadrátikus (effektív) középtérte .....	61
Integrálok becslése	
$\zeta$ ) Egyenlőtlenlégek integrálhatósága .....	62
$\eta$ ) Integrálok becslése .....	62
$\theta$ ) Integrálok abszolút értékének becslése .....	62
$\iota$ ) A <i>Schwarz</i> — <i>Bunjakovszkij</i> -féle egyenlőtlenlégek .....	63
PÉLDÁK ÉS FELADATOK	
ad $\alpha$ — $\gamma$ .....	63
ad $\delta$ ) .....	65
ad $\epsilon$ ) .....	70
ad $\zeta$ ) .....	71
ad $\eta$ ) .....	73
ad $\theta$ ) .....	74
ad $\iota$ ) .....	74
MŰSZAKI ALKALMAZÁSOK	
1—2. A szabadesés sebességének kvadrátikus középtértelei. 3. A vas fajhőjének átlagértéke adott hőfokhatárok között. 4. A váltakozó feszültség és áramerősség effektív értéke és középtérte. 5. Mágneses fluxus és indukált feszültség. 6. Nem-szinuszos feszültségek és áramerősségek effektív értéke. 7. A teljesítmény közepes értéke felharmonikusok esetén. 8. Váltakozó áram egyenirányítása .....	75
f) Numerikus integrálás .....	83
$\alpha$ ) Téglány-szabály .....	83
$\beta$ ) Trapéz-szabály .....	83
$\gamma$ ) Érintő-szabály .....	83
$\delta$ ) <i>Simpson</i> -szabály .....	84
$\epsilon$ ) Hibaképletek .....	84
PÉLDÁK ÉS FELADATOK	
ad $\alpha$ — $\iota$ ) .....	85
MŰSZAKI ALKALMAZÁSOK	
1. Négyzet alapú munkagödör köbtartalmának számítása <i>Simpson</i> -szabállyal. 2. Feladat csonka körkúp köbtartalmának <i>Simpson</i> -szabállyal való meg-	

határozására. 3. Kavicsprizma köbtartalmának meghatározása Simpson-szabállyal. 4—8. Különbféle műszaki területszámítási feladatok .....	91
g) <i>Grafikus integrálás</i> .....	96
α) Bevezetés .....	96
β) Elvi ismertetés .....	96
γ) Gyakorlati eljárás .....	97
δ) Megjegyzések .....	98
MŰSZAKI ALKALMAZÁS	
1. Villamos vasúti szerelvény menetdiagrammja.	
α) Irányelvek. A feladat kitűzése. Adatok. β) Menet- és pályaellenállások.	
γ) Tapadó, vonó és fékező erő. δ) A menetdiagramm (sebesség-, út- és gyorsulási-idő görbe) szerkesztése. ε) Egyéb kérdések .....	98
FELADAT	
ad α—δ) .....	108
2. §. Az „elemek összegezésé”-nek módszere .....	109
L. a 3. §-nál.	
a) <i>A probléma felvetése</i> .....	109
b) <i>A függvény differenciáljáról</i> .....	109
c) <i>Határozott integrálra vezető feladatok és megoldások általános jellemzése</i> ..	111
d) <i>Gyakorlati megjegyzések</i> .....	113
PÉLDÁK	
ad b—d) .....	114
MŰSZAKI ALKALMAZÁSOK	
1. A barometrikus magasságmérés formulái. 2. Az önindukció hatása áramkör be- és kikapcsolásánál. 3. Rádióaktív bomlás. 4. Golyó esése viszkózus folyadékban. 5. Másodrendű teljesen végbemenő kémiai reakció. 6. Egyensúlyi állapotú forgó tárcsa (furat nélkül). 7. Vízszintes körpályán mozgó golyó. 8. Szalagfék fékező nyomatéka és elmozdulása. 9. Hajlékony megfeszített fonal belógása. 10—12. Változó keresztmetszetű rudak megnyúlása. 13. Áramlás körív-alakú csőben. 14. Redukált (egyenértékű) csőhossz számítás. 15. Korrekciós tényező a középsebességgel számított kinetikus energiához. 16. Sebességeloszlás lapos csőben. 17. Talaj rugalmassági modulusának meghatározása <i>Köglér</i> -hengerral. 18. Árokba helyezett csőre ható földnyomás meghatározása. 19. Csőre ható nyomaték meghatározása, ha a cső fölött levő földtömeg teljes egészében terheli a csövet. 20—22. Feladatok az <i>Ohm</i> -törvényre. 23—27. Feladatok a <i>Newton</i> -féle lehűlési törvényre stb. 28—34. Fizikai-kémiai feladatok. 35—38. Kémiai-kinematikai feladatok .....	116
3. §. Területszámítás .....	142
a) <i>Görbe alatti terület számítása</i> .....	142
α) Terület-differenciál. Előjeles terület .....	142
β) Geometriai terület .....	143
γ) Két (vagy több) görbe közti terület derékszögű koordináta-rendszerben	144
δ) Paraméteres megadás .....	145
ε) Ferdeszögű koordináta-rendszerben .....	145
PÉLDÁK ÉS FELADATOK	
ad α) .....	146
ad β) .....	145
ad γ) .....	146
ad δ) .....	160
ad ε) .....	163
b) <i>Szektorterület számítása</i> .....	164
α) Paraméteres megadás .....	164
β) Pólárkoordináta-rendszerben .....	165
γ) Explicit megadás .....	166

## PÉLDÁK ÉS FELADATOK

ad $\alpha$ )	166
ad $\beta$ )	170
ad $\gamma$ )	175

<b>4. §. Ívhossz-számítás</b>	177
$\alpha$ ) Ívhossz-differenciál. Alapképlet	177
$\beta$ ) Paraméteres megadás	178
$\gamma$ ) Polárkoordinátás megadás	179
$\delta$ ) Gyakorlati megjegyzések	179

## PÉLDÁK ÉS FELADATOK

ad $\alpha$ )	179
ad $\beta$ )	183
ad $\gamma$ )	187

<b>5. §. Térfogatszámítás</b>	190
a) Általános megjegyzések	190
$\alpha$ ) Térfogatdifferenciál. Alapképletek	190
b) Forgástesttel kapcsolatos számítások	191
$\alpha$ ) Forgástest térfogata	191
$\beta$ ) Elliptikus test térfogata	191
$\gamma$ ) Forgás- és hengerfelület határolta térrész	192

## PÉLDÁK ÉS FELADATOK

ad $\alpha$ )	192
ad $\beta$ )	206
ad $\gamma$ )	207
c) Henger- és vonalfelülettel kapcsolatos számítások	210
$\alpha$ ) Vonalfelület alatti térrész	210
$\beta$ ) Ferde hengerfelület alatti térrész	210
$\gamma$ ) Két merőlegesen metsződő hengerfelület közti térrész	210

## PÉLDÁK ÉS FELADATOK

ad $\alpha$ )	211
ad $\beta$ )	214
ad $\gamma$ )	215
d) Egyéb esetek	217

## PÉLDÁK ÉS FELADATOK

ad d)	217
-------	-----

<b>6. §. Felszínszámítás</b>	222
a) Általános megjegyzések	222
b) Az ívhosszal kapcsolatos esetek	222
$\alpha$ ) Forgásfelület felszínszámítása	222
$\beta$ ) Forgásfelület és egyenes hengerfelület áthatása	223
$\gamma$ ) Egyenes hengerfelületek (merőleges) áthatása	224

## PÉLDÁK ÉS FELADATOK

ad $\alpha$ )	225
ad $\beta$ )	230
ad $\gamma$ )	234

## EREDMÉNYTÁR

1. §. A határozott integrál	241
2. §. Az „elemek összegzése”-nek módszere	248
3. §. Területszámítás	249
4. §. Ívhossz-számítás	253
5. §. Térfogatszámítás	255
6. §. Felszínszámítás	258

## FELHASZNALT IRODALOM

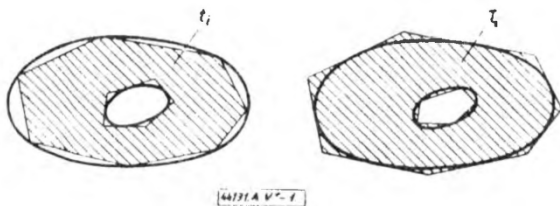


## 1. §. A HATÁROZOTT INTEGRÁL

### a) Területmérés

#### $\alpha$ ) Tetszőleges alakú síkrész területe

Tetszőleges alakú síkrész területét közelítőleg belső vagy külső közelítő sokszögek segítségével számítjuk — tetszőleges pontossággal. A sokszögek területét — közismerten — háromszögrészek területére vezetjük vissza. (Emlékezzünk a kör területének meghatározására.) Egy korlátos (vagyis egy négyzettel körülfogható) síkrész pontosan csak akkor mérhető, kvadrálható (azaz csak akkor jelölmezhető egy meghatározott, véges területi mérőszámmal), ha a határátmenet során a közelítő belső sokszögek  $t_i$  területi mérőszámainak  $t$  felső határa és a külsők  $T_i$ -inek  $T$  alsó határa megegyezik,  $t = T$ . (L. az 1. ábrát!)

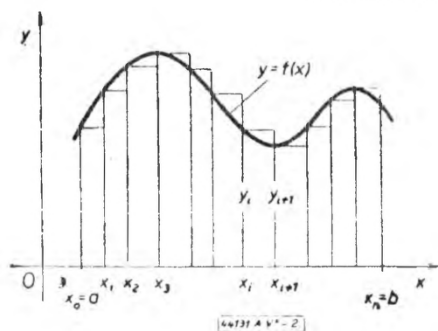


1. ábra

A területszámításnál feltételezzük, hogy a két vagy több egymásba nem nyúló síkrészből álló alakzat területe az egyes síkrészek területének összegével egyenlő; továbbá, hogy egybevágó idomok egyenlő területűek.

#### $\beta$ ) Az $y = f(x)$ függvény görbéje alatti terület

Ilyen értelemben az  $[a, b]$  véges\* szakaszon értelmezett, s ott korlátos, egyértékű, folytonos  $y = f(x)$  függvény görbéje alatti terület mérhető. (L. a 2. ábrát!) A mérés a következő módszerrel történik:\*\*



2. ábra

a) az  $[a, b]$  szakaszt  $x_0 = a < x_1 < \dots < x_n = b$  osztópontokkal  $n$  (nem feltétlenül egyenlő) részszakaszra bontjuk;  $x_{i+1} - x_i = \Delta x_i$ ;

b) az egyes  $\Delta x_i$  részszakaszok  $y_i$  kezdő ordinátaival (vagy  $y_{i+1}$  végordinátaival) megszerkesztjük a (2. ábrán látható) vízszintes,  $n$ -lépcsős törtvonalat (e törtvonalal határolt síkrész területe lesz a kért terület egy közelítő értéke):

c) képesszük az egy nyercs teglányok

\* Az  $[]$  jel zárt s így véges szakaszt jelöl, önmagában is.

\*\* L. Bërmant i. m. I. kt. 279. és köv. o.

$\nu_i \Delta x_i$  területét, majd ezek

$$\sum_{i=0}^{n-1} \nu_i \Delta x_i = \sum_{i=0}^{n-1} f(x_i) \Delta x_i$$

összegeként a törtvonal alatti teljes síkrész területét;

d) vesszük ezen összeg *határértékét*, amikor a beosztási részzszakaszok  $n$  száma minden határon túl nő, s közben közülük a legnagyobbak a hossza is 0-hoz tart:

$$\lim_{\max \Delta x_i \rightarrow 0} \sum_{i=0}^{n-1} f(x_i) \Delta x_i,$$

E *határértéket* Leibniz  $\int_a^b f(x) dx$  módon jelölte, és az  $f(x)$  függvény  $[a, b]$  szakaszmenti *határozott integráljának* nevezte.

Megemlítjük, hogy a határozatlan integrál bevezetésénél, más felfogásban, már érintettük a görbe alatti terület mérésének kérdését.\*

A határozott integrál e geometriai értelmezéstől függetlenül is definiálható. (L. e. §. b) pontjában!)

γ) Fizikai és műszaki alkalmazások

Hasonló módon képezhető számos fizikai és műszaki fogalom, pl. változó erő munkája, változó sebességgel megtett út, változó lineáris sűrűségű anyagi görbe tömege, változó szögsebességgel megtett szögelfordulás, váltakozó áram teljesítménye stb.

Mindezeknél a változó mennyiséget először *részzszakaszonként állandónak*, azaz vízszintes lépcsős törtvonallal ábrázolható eloszlásúnak tekintjük; képezzük az erre vonatkozó összeget s végül ennek *határértékét*, amikor a legnagyobb részzszakasz hossza is 0-hoz, s így a lépcsős eloszlás az eredetihez tart!

Ilyen értelemben a *munkát* az erő út-szerinti integráljának, az *utat* a sebesség idő-szerinti integráljának, az *anyagi görbe tömegét* a lineáris sűrűség görbehossz-szerinti integráljának, s. i. t. nevezzük.\*\*

## b) A határozott integrál (Riemann-féle) fogalma, létezésének kritériumai. Integrálható függvények

α) Definíció\*\*\*

Legyen  $f(x)$  az  $[a, b]$  véges\*\*\*\* szakaszon értelmezett függvény. Osszuk fel e szakaszt  $\Delta x_i = x_{i+1} - x_i$  ( $i = 0, 1, 2, \dots, n-1$ ) részzszakaszokra. Ezek *legnagyobbikát* jelöljük így:  $\lambda = \max \Delta x_i$ . Válasszunk minden részzszakaszon egy-egy  $x = \xi_i$ ,  $x_i \leq \xi_i \leq x_{i+1}$  pontot és képezzük a hozzájuk tartozó  $f(\xi_i)$  értékekkel a következő összeget:

$$\sigma = \sum_{i=0}^{n-1} f(\xi_i) \Delta x_i.$$

\* L. A. IV. kt. I. §. a) γ<sub>3</sub>.

\*\* L. bővebben *Bermant* i. m. I. kt. 281. o.

\*\*\* L. *Функционалы* i. m. II. k. 110. o.

\*\*\*\* Az  $[]$  jel zárt s így *véges* szakaszt jelöl mint előbb mondtunk.

Azt mondjuk, hogy a  $\sigma$  összeg  $\lambda \rightarrow 0$ -nál  $I$  véges határértékhez tart, ha tetszőleges  $\varepsilon > 0$  számhoz található olyan  $\delta > 0$  szám, amelynél kisebb  $\lambda$  értékekre, azaz  $\lambda < \delta$  esetén — a  $\xi_i$ -k bármilyen választásánál — fennáll a következő egyenlőtlenség:

$$\sigma - I < \varepsilon.$$

Ezt így jelöljük:

$$I = \lim_{\lambda \rightarrow 0} \sigma.$$

Ezen egyenlőséget úgy is értelmezhetjük, hogy a  $\sigma$  értékek sorozata — az  $[a, b]$  szakasz beosztásának módjától és a  $\xi_i$  pontok választásától függetlenül — mindig ugyanazon  $I$  határértékhez art.

Ha a  $\sigma$  összegnek  $\lambda \rightarrow 0$ -nál letezik véges  $I$  határértéke, akkor ezt az  $f(x)$  függvényt  $[a, b]$  szakaszminti **határozott integráljának** nevezzük és a következő szimbólummal jelöljük:

$$I = \int_a^b f(x) dx.$$

Az  $a$  és  $b$  az integrál ú. n. alsó és felső ha ára,  $f(x)$  az integrálandó, az  $x$  az integrálási változó, az  $\int$  és  $dx$  a határozott integrál definíciójában szereplő  $\Sigma$ - és  $\Delta x_i$ -re emlékeztető jelek.

Ismételjük, hogy a határozott integrál a Riemann-tól származó definíciója megköveteli, miszerint az ú. n. Riemann-összegek vagy integrál-összegek, azaz a  $\sigma = \sum_{i=0}^{n-1} f(\xi_i) \Delta x_i$  összegek — az  $[a, b]$  szakasz beosztásától és a  $\xi_i$ -k választásától függetlenül — tartssanak ugyanazon  $I$  határértékhez.

Kiemelendő, hogy a fenti definíció véges szakaszt és korlátos függvényt tételez fel. Tehát:  $m \leq f(x) \leq M$ , ha  $a \leq x \leq b$ .

#### $\beta)$ Darboux-összegek\*

$\beta_1)$  A  $\Delta x_i$  részs szakaszok  $m_i$  minimális és  $M_i$  maximális ordinátáival képzett

$$s = \sum_{i=0}^{n-1} m_i \Delta x_i \quad \text{és} \quad S = \sum_{i=0}^{n-1} M_i \Delta x_i$$

két összeget alsó és felső Darboux-összegnek nevezzük. Minthogy

$$m_i \leq f(\xi_i) \leq M_i,$$

így:

$$\sum_{i=0}^{n-1} m_i \Delta x_i \leq \sum_{i=0}^{n-1} f(\xi_i) \Delta x_i \leq \sum_{i=0}^{n-1} M_i \Delta x_i$$

vagy röviden:

$$s \leq \sigma \leq S.$$

Egy adott szakaszbeosztásra vonatkozó két ( $s$  és  $S$ ) Darboux-összeg tehát a Riemann-összegek fontos alsó és felső korlátja.

$\beta_2)$  A Darboux-összegek sajátosságai: 1. Egy adott szakaszbeosztást további pontokkal finomítva, az alsó összeg csak nőhet, a felső csak csökkenhet. 2. Az  $[a, b]$  szakasz bármely beosztásához tartozó valamely alsó összeg nem múlhat felül valamely felső összeget.

\* L. bővebben *Функционалы* 1. m. II. kt., 112. és köv. o.

Az alsó összegeknek pontos  $I_*$  felső, a felső összegeknek pontos  $I^*$  alsó korlátjuk van, azaz:

$$I_* = \sup \{s\}, \quad I^* = \inf \{S\} \quad \text{és} \quad I_* \leq I^*,$$

továbbá

$$s \leq I_* \leq I^* \leq S,$$

ahol  $I_*$  és  $I^*$  az ú. n. alsó és felső Darboux-integrál.

$\beta_3)$  Bármely korlátos  $f(x)$  függvényre mindig igaz, hogy

$$I_* = \lim_{\lambda \rightarrow 0} s; \quad I^* = \lim_{\lambda \rightarrow 0} S$$

A határozott integrál létezésének szükséges és elégséges feltétele, hogy az alsó és felső Darboux-integrál egyenlő legyen:

$$I_* = I^*.$$

Ez összhangban van a mérhetőség előrebocsátott definíciójával.

#### $\gamma)$ Az integrál létezésének feltétele

A határozott integrál létezésének szükséges és elegendő feltétele más alakban az, hogy az ordináták részzakaszonkénti  $M_i - m_i = \omega_i$  ú. n. ingadozásával (oszillációjával) képzett összeg határértéke zérus legyen, azaz:

$$\begin{aligned} \lim_{\lambda \rightarrow 0} (S - s) &= \lim_{\lambda \rightarrow 0} \left[ \sum_{i=1}^{n-1} M_i \Delta x_i - \sum_{i=1}^{n-1} m_i \Delta x_i \right] = \\ &= \lim_{\lambda \rightarrow 0} \sum_{i=1}^{n-1} (M_i - m_i) \Delta x_i = \lim_{\lambda \rightarrow 0} \sum_{i=1}^{n-1} \omega_i \Delta x_i = 0. \end{aligned}$$

#### $\delta)$ A fontosabb (Riemann szerint) integrálható függvénytipusok\*

$\delta_1)$  Ha az  $f(x)$  függvény az  $[a, b]$  szakaszon folytonos, ott integrálható.

$\delta_2)$  Ha az  $f(x)$  korlátos függvénynek az  $[a, b]$  szakaszon csak végezzámú szakadási pontja van, vagyis  $f(x)$  itt csak részzakaszonként folytonos, akkor ott integrálható.

$\delta_3)$  Monoton korlátos függvény mindig integrálható.

#### $\epsilon)$ Az integrálható függvények sajátságai\*

$\epsilon_1)$  Ha  $f(x)$  az  $[a, b]$  közön integrálható, akkor ugyanott  $f(x)$  és  $k f(x)$  is ( $k = \text{const.}$ ) integrálható.

$\epsilon_2)$  Ha  $f(x)$  és  $g(x)$  az  $[a, b]$  közön integrálható, akkor ugyanott összegük, különbségük és szorzatuk is integrálható; továbbá, ha  $f(x)$  és  $g(x)$  az  $[a, b]$  közön integrálható és  $g(x)$  nagyobb marad bizonyos pozitív számnál akkor  $[a, b]$ -ben az  $f(x)/g(x)$  hányados is integrálható.\*\*

$\epsilon_3)$  Ha  $f(x)$  integrálható az  $[a, b]$  szakaszon, akkor ennek tetszőleges  $[\alpha, \beta]$  részzakaszán is integrálható. Fordítva, ha az  $[a, b]$  szakaszt részzakaszokra osztjuk, amelyek bármelyikén  $f(x)$  értelmezett és integrálható, akkor  $f(x)$  az egész  $[a, b]$  szakaszon is integrálható.

$\epsilon_4)$  Ha egy integrálható függvény értékét végezzámú pontban megváltoztatjuk, integrálhatósága továbbra is megmarad.

\* L. Функционалы I. m. II. k., 117. és köv. o.

\*\* Szász Pól I. m. I. k., 213. o.

Példák és feladatok

\*α) α<sub>1</sub>) Állapítsuk meg az alábbi végtelen sorok összegét határozott integrálok segítségével!

1. 
$$\lim_{n \rightarrow \infty} \left[ \frac{1}{n+1} + \frac{1}{n+2} + \dots + \frac{1}{2n} \right] = ?$$

Itt is és az alábbi példánál is arra törekszünk, hogy a sort a

$$\sigma = \sum_{i=0}^{n-1} f(\xi_i) \Delta x_i$$

Riemann-összeg alakjára hozzuk. Ennek

$$I = \lim_{\lambda \rightarrow 0} \sigma = \int_a^b f(x) dx$$

határértékét azután az  $F(x)$  primitív függvény ismeretében, a c) γ) alapján,  $F(b) - F(a)$  módon számítjuk.

Esetünkben:

$$\begin{aligned} \lim_{n \rightarrow \infty} \left[ \frac{1}{n+1} + \frac{1}{n+2} + \dots + \frac{1}{2n} \right] &= \lim_{n \rightarrow \infty} \sum_{i=1}^n \frac{1}{n+i} = \\ &= \lim_{n \rightarrow \infty} \sum_{i=1}^n \frac{n}{n+i} \cdot \frac{1}{n} = \lim_{n \rightarrow \infty} \sum_{i=1}^n \frac{1}{1 + \frac{i}{n}} \cdot \frac{1}{n}. \end{aligned}$$

Itt  $x_i = \frac{i}{n}$ ,  $\Delta x_i = \frac{1}{n}$  és  $f(\xi_i) = f(x_i) = \frac{1}{1+x_i}$  és  $0 < x_i \leq 1$ , amikor  $i = 1, 2, \dots, n$ .

Azaz:

$$I = \lim_{n \rightarrow \infty} \sum_{i=1}^n \frac{1}{1+x_i} \Delta x_i = \int_0^1 \frac{dx}{1+x} = \left[ \ln(1+x) \right]_0^1 = \ln 2.$$

2. 
$$\lim_{n \rightarrow \infty} \left[ \frac{1}{n^2} + \frac{2}{n^2} + \dots + \frac{2n-1}{n^2} \right] = ?$$

Itt az átalakítás:

$$\sigma = \sum_{i=1}^{2n-1} \frac{i}{n^2} = \sum_{i=1}^{2n-1} \frac{i}{n} \cdot \frac{1}{n} = \sum_{i=1}^{2n-1} x_i \Delta x_i,$$

ahol  $x_i = \frac{i}{n}$ ,  $\Delta x_i = \frac{1}{n}$ , továbbá  $f(\xi_i) = f(x_i) = x_i$ ,  $0 < x_i < 2$  és  $i = 1, 2, \dots, 2n-1$ .

A határérték:

$$I = \lim_{n \rightarrow \infty} \sigma = \lim_{n \rightarrow \infty} \sum_{i=1}^{2n-1} x_i \Delta x_i = \int_0^2 x dx = \left[ \frac{x^2}{2} \right]_0^2 = 2$$

$$3. \quad \lim_{n \rightarrow \infty} \left[ \frac{2}{\sqrt{4n^2 - 1^2}} + \frac{2}{\sqrt{4n^2 - 2^2}} + \dots + \frac{2}{\sqrt{4n^2 - n^2}} \right] = ?$$

$$4. \quad \lim_{n \rightarrow \infty} \left[ \frac{n}{n^2 + 1^2} + \frac{n}{n^2 + 2^2} + \dots + \frac{n}{n^2 + (n-1)^2} \right] = ?$$

$$5. \quad \lim_{n \rightarrow \infty} \frac{1^m + 2^m + \dots + n^m}{n^{m+1}} = ?$$

$\alpha_2$ ) Állapítsuk meg az alábbi határozott integrálok értékét, az integrálási szakasz alkalmas beosztási módjával kapcsolatos Riemann-összeg határértékeként!

6.  $\int_0^a x^k dx = ?$  ( $a \neq 0$  és  $k \neq -1$ ). — Osszuk a  $0 \leq x \leq a$  közt  $n$  egyenlő rész-szakaszra; ekkor az  $x_i = 0 + i \frac{a}{n}$  értékek számtani haladványt alkotnak.

Velük:

$$I = \lim_{n \rightarrow \infty} \sum_{i=1}^n \left( i \frac{a}{n} \right)^k \frac{a}{n} = a^{k+1} \lim_{n \rightarrow \infty} \frac{1^k + 2^k + \dots + n^k}{n^{k+1}} = \frac{a^{k+1}}{k+1}.$$

Itt felhasználtuk a

$$\lim_{n \rightarrow \infty} \frac{1^k + 2^k + \dots + n^k}{n^{k+1}} = \frac{1}{k+1}$$

határértéket.\*

A c)  $\alpha_2$ ) szerint továbbá:

$$\int_a^b x^k dx = \int_0^b - \int_0^a = \frac{b^{k+1}}{k+1} - \frac{a^{k+1}}{k+1}.$$

7. Határozzuk meg az  $\int_a^b x^k dx$  integrált, geometria haladvány szerint változó  $x$  abszcisszájú osztópontok alkalmazásával ( $k \neq -1$ ;  $a, b > 0$ ).

Ekkor:

$$x_i = a q^i, \quad \text{ahol} \quad q = \sqrt[n]{\frac{b}{a}}.$$

E beosztásra támaszkodó (alsó) Riemann-összeg:

$$\sigma = \sum_{i=0}^{n-1} (a q^i)^k (a q^{i+1} - a q^i) = a^{k+1} (q - 1) \sum_{i=0}^{n-1} (q^{k+1})^i.$$

\* L. pl.: Фихтенгольц 1. m. I. k., 2. §. 33. L. még az 5. példát



Ez utóbbi geometriai sort az ismert képlettel összegezve, a  $k \neq -1$  esetre nyerjük:

$$\begin{aligned}\sigma &= a^{k+1} (q-1) \frac{(q^{k+1})^n - 1}{q^{k+1} - 1} = a^{k+1} (q-1) \frac{\left(\frac{b}{a}\right)^{k+1} - 1}{\frac{b}{a^{k+1}} - 1} = \\ &= (b^{k+1} - a^{k+1}) \frac{q-1}{q^{k+1} - 1}.\end{aligned}$$

Felhasználva a

$$\lim_{\alpha \rightarrow 0} \frac{(1+\alpha)^\mu - 1}{\alpha} = \mu$$

határértéket (esetünkben  $1+\alpha = q$ ,  $\alpha = q-1$ ,  $\mu = k+1$ ), kapjuk végül:

$$I = \lim_{n \rightarrow \infty} \sigma = (b^{k+1} - a^{k+1}) \cdot \lim_{q \rightarrow 1} \frac{1}{\frac{q^{k+1} - 1}{q - 1}} = \frac{b^{k+1} - a^{k+1}}{k+1},$$

ami az előbbi eredménnyel azonos.

E két példa szépen szemlélteti, hogy integrálható függvény esetén [itt  $y = x^k$ ] a Riemann-összeg a beosztást minden határon túl finomítva, a beosztás különbeni módjától függetlenül ugyanazon határértékhez tart.

8.  $\int_a^b \sin x \, dx = ?$  — Az  $a \leq x \leq b$  szakaszt  $n$  egyenlő részz szakaszra osztva,  
 $h = \frac{b-a}{n}$  jelöléssel nyerjük a Riemann-összeget:

$$\sigma = h \sum_{i=1}^n \sin(a + ih).$$

Felhasználva a

$$\sum_{i=1}^n \sin(a + ih) = \frac{\cos\left(a + \frac{h}{2}\right) - \cos\left(a + nh + \frac{h}{2}\right)}{2 \sin \frac{h}{2}} = \frac{\cos\left(a + \frac{h}{2}\right) - \cos\left(b + \frac{h}{2}\right)}{2 \sin \frac{h}{2}}$$

összeget\*, kapjuk végeredményben:

$$I = \int_a^b \sin x \, dx = \lim_{h \rightarrow 0} \sigma = \lim_{h \rightarrow 0} \frac{h}{2 \sin \frac{h}{2}} \left[ \cos\left(a + \frac{h}{2}\right) - \cos\left(b + \frac{h}{2}\right) \right] = \cos a - \cos b.$$

Az előbbivel analóg

$$\sum_{i=1}^n \cos(a + ih) = \frac{\sin\left(b + \frac{h}{2}\right) - \sin\left(a + \frac{h}{2}\right)}{2 \sin \frac{h}{2}}$$

\* L. pl. Функционалы ч. II, к., X. 3. §. 295.

összeg felhasználásával hasonlóan adódik:

$$\int_a^b \cos x \, dx = \sin b - \sin a.$$

9.  $\int_0^1 e^x \, dx = ?$  — Dolgozzunk egyenletes szakaszbeosztással! (L. hátul!)

10.  $\int_a^b \frac{dx}{x} = ?$  — Oldjuk meg a 7. példa  $k = -1$  speciális eseteként! (L. hátul!)

γ 1. Tekintsük a következő  $f(x)$  függvényt és állapítsuk meg, hogy integrálható-e?\*

$$f(x) = \begin{cases} +\frac{1}{q}, & \text{ha } x = \frac{p}{q}; \text{ nem egyszerűsíthető valódi tört.} \\ 0 & \text{egyéb esetekben.} \end{cases}$$

Tekintsük a függvényt a  $[0, 1]$  intervallumon, amelyet osszunk fel  $\Delta x_i \leq \lambda$  részintervallumokra ( $\lambda$  fix szám), és válasszunk egy tetszőleges  $N$  számot. Ezután a részintervallumokat két osztályba soroljuk:

a) Azon részintervallumok, melyek tartalmazzak  $x = \frac{p}{q}$  számot, ahol  $q \leq N$ . Mivel ezek véges  $k = k_N$  számban vannak, ezért az ilyen intervallumok száma legfeljebb  $2k$  (mert egy ilyen szám legfeljebb két intervallum határára eshet), összhosszuk pedig  $\leq 2k\lambda$ .

b) Azon részintervallumok, melyek nem tartalmazzak ilyen  $x$ -számot. Ezekben az ingadozás:  $\omega < \frac{1}{N}$ .

Ennek megfelelően a  $\sum \omega_i \Delta x_i$  Darboux-összeget kettéosztjuk, külön tekintve az a), ill. b) csoportbeli részintervallumokat. Ez esetben:

$$\sum \omega_i \Delta x_i < 2k_N \lambda + \frac{1}{N}.$$

Ha  $N > \frac{2}{\varepsilon}$  és így  $\lambda < \frac{\varepsilon}{4k_N} = \delta$ , akkor:

$$\sum \omega_i \Delta x_i < \varepsilon,$$

azaz a függvény integrálható.

E példa annyiban érdekes, hogy a függvénynek végtelen sok szakadási helye van a  $[0, 1]$  intervallumban és mégis integrálható.

2. Vizsgáljuk a

$$x(x) = \begin{cases} 1, & \text{ha } x \text{ racionális} \\ 0, & \text{ha } x \text{ irracionális} \end{cases} **$$

ú. n. Dirichlet-féle függvényt!

\* Л. Фихтенгольц I. м. II. к., 121. о.

\*\* Л. Фихтенгольц I. м. II. к., 122. о.

Mint ahogy a  $[0,1]$  intervallum bármely részén van racionális és irracionális szám is, így  $\omega$  bármely részintervallumban  $= 1$ , tehát:

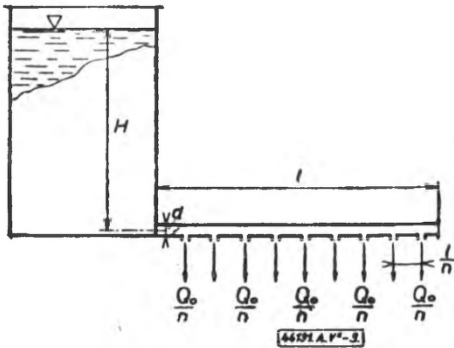
$$\sum \omega_i \Delta x = 1,$$

azaz ez a függvény nem integrálható.

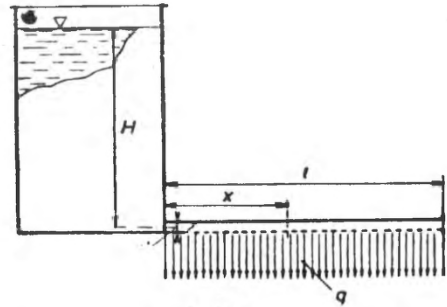
### Műszaki alkalmazás

#### 1. NYOMÁSVESZTESÉG MEGHATÁROZÁSA SZABADON VÉGZŐDŐ KIFOLYÓCSÓ ESETÉN. EGYENLETESEN ELOSZTOTT LEÁGAZÁSOK MELLETT.\*

A 3. ábrán látható víztartályból egy  $l$  hosszúságú,  $d$  átmérőjű, szabadon végződő kifolyócső ágazik le. Erre a csőre egymástól egyforma távolságban  $n$  darab csap van felszerelve. A tartályból másodpercenként  $Q_0$  liter víz távozik. A csapok mindegyike másod-



3. ábra



4. ábra

percenként  $\frac{Q_0}{n}$  liter vizet szállít. Kérdés, hogy mekkora lesz a nyomásvesztés értéke a teljes csőhosszon abban az esetben, ha a csapok száma mindegyik határon túl nő (4. ábra).

Dupuit képlete alapján a nyomásvesztés értéke:\*\*

$$\begin{aligned} h^* &= \frac{\beta}{d^5} \frac{l}{n+1} \left( \frac{Q_0}{n} \right)^2 + \frac{\beta}{d^5} \frac{l}{n+1} \left( \frac{2Q_0}{n} \right)^2 + \frac{\beta}{d^5} \frac{l}{n+1} \left( \frac{3Q_0}{n} \right)^2 + \dots + \\ &+ \frac{\beta}{d^5} \frac{l}{n+1} \left[ \frac{(n+1)Q_0}{n} \right]^2 + \frac{\beta}{d^5} \frac{l}{n+1} \left( \frac{nQ_0}{n} \right)^2 = \\ &= \frac{\beta}{d^5} \frac{l}{n+1} \frac{Q_0^2}{n^2} [1^2 + 2^2 + 3^2 + \dots + (n-1)^2 + n^2] = \\ &= \frac{\beta l Q_0^2}{d^5} \sum_{i=1}^n \left( \frac{i}{n} \right)^2 \frac{1}{n+1} = \frac{\beta l Q_0^2}{d^5} \sum_{i=1}^n x_i^2 \Delta x_i, \end{aligned}$$

\* L. Németh: Ivóvízellátás.

\*\*  $\beta$  egy, a súrlódásra jellemző konstans.

az  $\alpha$ ) 1. és 2. példája szerint. *Határátmenetben:*

$$h = \lim_{n \rightarrow \infty} h^* = \frac{\beta l Q_0^2}{d^5} \cdot \lim_{n \rightarrow \infty} \sum_{i=1}^n x_i^2 \Delta x_i = \frac{\beta l Q_0^2}{d^5} \int_0^1 x^2 dx = \frac{\beta l Q_0^2}{3d^5}$$

[Hasonló eredményre jutunk, ha kiindulásul feltételezzük, hogy a csőszál mentén folyó méterenként *egyenletesen megosztva* másodpercenként  $q$  liter vizet veszünk ki. A tartályból másodpercenként kivett vízmennyiség eszerint  $Q_0 = q l$ . A 4. ábrán bejelölt  $x$  hosszúságú csőszakasz pedig  $Q_{0x} = q x$  vízmennyiséget emészt. Egy  $dx$  hosszúságú elemi csődarabon a nyomásvesztés *Dupuit* szerint:

$$dh_x = \frac{\beta Q_{0x}^2}{d^5} dx = \frac{\beta q^2 x^2}{d^5} dx.$$

Az integrálást az adott határok között elvégezve:

$$h = \frac{\beta q^2}{d^5} \int_0^l x^2 dx = \frac{\beta q^2 l^3}{d^5 \cdot 3} = \frac{1}{3} \frac{\beta l Q_0^2}{d^5}.$$

Eredményünk természetesen megegyezik az előbb kapott eredménnyel.]

### c) A határozott integrálra vonatkozó egyenlőségek, egyenlőtlenségek, tételek

$\alpha$ ) Egyenlőségek és egyenlőtlenségek

$\alpha_1$ ) Ha  $f(x)$  a  $[b, a]$  (irányított) szakaszon integrálható, akkor az  $[a, b]$  (irányított) szakaszon szintén integrálható és fennáll:

$$\int_a^b f(x) dx = - \int_b^a f(x) dx.$$

A definícióból következik, hogy:

$$\int_a^a f(x) dx = 0.$$

$\alpha_2$ ) Legyen  $f(x)$  integrálható az  $[a, b]$ ,  $[a, c]$  és  $[c, b]$  szakaszok *legnagyobbikán*. Akkor a másik kettőn is integrálható és fennáll:

$$\int_a^b f(x) dx = \int_a^c f(x) dx + \int_c^b f(x) dx,$$

bármilyen is legyen az  $a, b$  és  $c$  pont viszonylagos elrendezése

$\alpha_3$ ) Ha  $f(x)$  integrálható az  $[a, b]$  közön, akkor ott  $k f(x)$  szintén integrálható ( $k = \text{const.}$ ) és

$$\int_a^b k f(x) dx = k \int_a^b f(x) dx$$

$\alpha_4)$  Ha  $f(x)$  és  $g(x)$  az  $[a, b]$  közön integrálható, akkor ott az  $f(x) \pm g(x)$  is integrálható és

$$\int_a^b [f(x) \pm g(x)] dx = \int_a^b f(x) dx \pm \int_a^b g(x) dx$$

$\alpha_5)$  Ha  $f(x)$  az  $[a, b]$  szakaszon integrálható, *nem-negatív* függvény és  $a < b$ , akkor:

$$\int_a^b f(x) dx \geq 0.$$

Ha  $f(x)$  az  $[a, b]$  szakaszon integrálható *pozitív* függvény és  $a < b$ , akkor:

$$\int_a^b f(x) dx > 0$$

$\alpha_6)$  Ha  $f(x)$  és  $g(x)$  az  $[a, b]$  közön integrálható és ott mindenütt  $f(x) \leq g(x)$ . [vagy  $f(x) < g(x)$ ], akkor  $a < b$  esetén fennáll:

$$\int_a^b f(x) dx \leq \int_a^b g(x) dx. \quad \left[ \int_a^b f(x) dx < \int_a^b g(x) dx \right].$$

$\alpha_7)$  Ha  $f(x)$  integrálható az  $[a, b]$  közön és  $a < b$ , akkor fennáll a következő egyenlőség:

$$\left| \int_a^b f(x) dx \right| \leq \int_a^b |f(x)| dx.$$

$\alpha_8)$  Ha  $f(x)$  az  $[a, b]$  közön integrálható és az egész közön fennáll az  $m \leq f(x) \leq M$  egyenlőtlenség, akkor igaz:

$$m(b-a) \leq \int_a^b f(x) dx \leq M(b-a),$$

ahol  $a < b$ . E tényt felhasználjuk a közéértéktételnél! (Lásd az e. alatt!)

$\beta)$  Változó felső  
határú határozott  
integrál

Ha  $f(x)$  integrálható az  $[a, b]$  szakaszon ( $a \leq b$ ), akkor szintén integrálható  $[a, b)$  és  $(a, b]$  szerint az  $[a, x]$  szakaszon, ahol  $x$  tetszőleges érték az  $[a, b]$ -ben. A határozott integrál  $b$  felső határát a változó  $x$ -szel felcserélve, az így nyert

$$\Phi(x) = \int_a^x f(t) dt.$$

kifejezés nyilván az  $x$  függvénye lesz. — Nézzük a  $\Phi(x)$  függvény főbb sajátosságait!

$\beta_1)$  Ha az  $f(t)$  függvény integrálható az  $[a, b]$  közön, akkor  $\Phi(x)$  *ugyanott az  $x$  folytonos függvénye*

$\beta_2$ ) Ha a  $f(t)$  függvény folytonos a  $t = x$  pontban, akkor ugyanezen pontban a  $\Phi(x)$  függvénynek van deriváltja, mégpedig:

$$\Phi'(x) = f(x).$$

A lentebbi

$$\Phi(x) = \int_a^x f(t) dt$$

integrálnak a változó  $x$  felső határ szerinti deriváltja bárhol egyenlő az integrálandó  $f(t)$  függvénynek a határon felvett értékével.

Más szavakkal: az  $[a, b]$  szakaszon folytonos  $f(x)$  függvénynek mindig létezik egy primitív függvénye; egy ilyen a

$$\Phi(x) = \int_a^x f(t) dt$$

változó felső határú határozott integrál.

Ezen elméleti és gyakorlati szempontból nagy jelentőségű tételnél utalunk a b)  $\delta_1$ -re és  $\varepsilon_3$ -ra, melyek szerint az  $[a, b]$  szakaszon folytonos  $f(x)$  függvény integrálható az egész  $[a, b]$  szakaszon és bármelyik  $[a, x]$  részzakaszán.

$\gamma$ ) Az integrálszámítás alapképlete

$\gamma_1$ ) Az eddig láttuk, hogy az  $[a, b]$  szakaszon folytonos  $f(x)$  függvény esetén a

$$\Phi(x) = \int_a^x f(t) dt$$

integrál az  $f(x)$  egyik primitív függvénye. Ha  $F(x)$  az  $f(x)$  egy másik, tetszőleges primitív függvénye, akkor fennáll:

$$\Phi(x) = F(x) + C$$

A jobboldali  $C$  állandó meghatározása a

$$\Phi(a) = \int_a^a f(t) dt = 0$$

alapján történik:

$$0 = \Phi(a) = F(a) + C, \quad C = -F(a),$$

tehát

$$\Phi(x) = F(x) - F(a).$$

Az  $x = b$  esetén nyerjük az integrálszámítás alapképletét:

$$\Phi(b) = \int_a^b f(x) dx = F(b) - F(a) = [F(x)]_a^b$$

Eszerint a határozott integrál értéke kifejezhető az  $f(x)$  integrálandó egy tetszőleges primitív függvényének,  $F(x)$ -nek két  $[F(b)$  és  $F(a)]$  értéke segítségével.

E tény rendkívül nagy jelentőségű. — Mint láttuk, a határozott integrálok kiszámítása Riemann-összegek határértékeként, még a legegyszerűbb függvények esetén is, igen bonyodalmas. — Ezzel szemben igen könnyű a számítás a fenti alapképlet segítségével minden olyan folytonos integrálandó esetén, amelynek egy primitív függvénye (az A. IV. kötetben tanulmányozott valamelyik módon) elemi függvényekkel, zárt alakban előállítható.

$\gamma_2$ ) Figyelemre méltó, hogy a fenti alapképlet egyszerű összefüggést teremt a differenciálszámítás és integrálszámítás középértéktétele között. Ugyanis:

$$F(b) - F(a) = \int_a^b f(x) dx = f(\xi) (b - a) = F'(\xi) (b - a),$$

ahol  $a \leq \xi \leq b$ .

$\gamma_3$ ) Ha  $f(x)$  integrálható az  $[a, b]$  közön, az ugyanott folytonos  $F(x)$ -re pedig — véges számú  $a = x_0 < x_1 < x_2 < \dots < x_i < \dots < x_{n-1} < x_n = b$  pont kivételével — a közön mindenütt  $F'(x) = f(x)$ , akkor az alapképlet más alakban:

$$F(b) - F(a) = \sum_{i=0}^{n-1} [F(x_{i+1}) - F(x_i)] = \sum_{i=0}^{n-1} F'(\xi_i) \Delta x_i = \sum_{i=0}^{n-1} f(\xi_i) \Delta x_i,$$

ahol  $x_i \leq \xi_i \leq x_{i+1}$ .

### Példák és feladatok

$\alpha$  | 1. Az  $\alpha$ ) alatt említett tulajdonságok kimutatása egyszerű függvényekkel kapcsolatban.

$$\alpha_1) \int_2^5 x^2 dx = \left[ \frac{x^3}{3} \right]_2^5 = \frac{125}{3} - \frac{8}{3} = 39;$$

$$\int_5^2 x^2 dx = \left[ \frac{x^3}{3} \right]_5^2 = \frac{8}{3} - \frac{125}{3} = -39 = - \int_2^5 x^2 dx.$$

$$\alpha_2) \int_2^5 x^2 dx = 39; \quad \int_2^4 x^2 dx = \left[ \frac{x^3}{3} \right]_2^4 = \frac{64}{3} - \frac{8}{3} = \frac{56}{3}.$$

$$\int_4^5 x^2 dx = \left[ \frac{x^3}{3} \right]_4^5 = \frac{125}{3} - \frac{64}{3} = \frac{61}{3};$$

$$\int_2^4 x^2 dx + \int_4^5 x^2 dx = \frac{56}{3} + \frac{61}{3} = 39 = \int_2^5 x^2 dx.$$

\* L. továbbban *Φυσικὴ Μαθηματικά* II. k., 148. és 149. o.



$$\alpha_3) \int_2^5 3x^2 dx = \left[ \frac{3x^3}{3} \right]_2^5 = [x^3]_2^5 = 125 - 8 = 117 = 3 \cdot 39 = 3 \int_2^5 x^2 dx.$$

$$\alpha_4) \int_2^5 x^2 dx = 39; \quad \int_2^5 (-6x + 8) dx = [-3x^2 + 8x]_2^5 = -39;$$

$$\int_2^5 (x^2 - 6x + 8) dx = \left[ \frac{x^3}{3} - 3x^2 + 8x \right]_2^5 = 0.$$

$$\alpha_5) \quad x^2 > 0, \quad 5 > 2, \quad \text{tehát} \quad \int_2^5 x^2 dx > 0.$$

$$\alpha_6) \quad x^2 < x^3, \text{ ha } 2 \leq x \leq 5; \text{ így } \int_2^5 x^2 dx < \int_2^5 x^3 dx;$$

va óban:

$$\int_2^5 x^2 dx = 39, \quad \int_2^5 x^3 dx = \left[ \frac{x^4}{4} \right]_2^5 = 152 \frac{1}{4}, \quad 39 < 152 \frac{1}{4}.$$

$$\alpha_7) \quad \left| \int_0^2 (x^2 - x) dx \right| = \left| \left[ \frac{x^3}{3} - \frac{x^2}{2} \right]_0^2 \right| = \left| \left[ \frac{8}{3} - \frac{4}{2} \right] \right| = \frac{2}{3}.$$

Valamely mennyiség abszolút értéke magával a mennyiséggel egyenlő, ha az pozitív, és  $-1$ -szeresével, ha negatív. Az  $x^2 - x$  függvény a  $(0, 1)$  intervallumban negatív, az  $(1, 2)$ -ben pedig pozitív. Tehát a függvény abszolút értékének az integrálját a  $[0, 2]$  intervallumban úgy kapjuk meg, hogy vesszük a függvény  $-1$ -szeresének integrálját a  $[0, 1]$  szakaszon, továbbá magának a függvénynek az integrálját az  $[1, 2]$  szakaszon, és ezeket összegezzük.

Azaz:

$$\begin{aligned} \int_0^2 |x^2 - x| dx &= \int_0^1 |x^2 - x| dx + \int_1^2 |x^2 - x| dx = \\ &= - \int_0^1 (x^2 - x) dx + \int_1^2 (x^2 - x) dx = - \left[ \frac{x^3}{3} - \frac{x^2}{2} \right]_0^1 + \left[ \frac{x^3}{3} - \frac{x^2}{2} \right]_1^2 = \\ &= - \left( \frac{1}{3} - \frac{1}{2} \right) + \left[ \left( \frac{8}{3} - \frac{4}{2} \right) - \left( \frac{1}{3} - \frac{1}{2} \right) \right] = \frac{1}{6} + \frac{2}{3} + \frac{1}{6} = 1. \end{aligned}$$

Tehát valóban:

$$\left| \int_0^2 (x^2 - x) dx \right| < \int_0^2 |x^2 - x| dx.$$

$\alpha_8)$   $x^3 \leq 25$ , ha  $0 \leq x \leq 5$ , így

$$\int_2^5 x^2 dx \leq (5 - 2) 25 = 75.$$

Valóban:

$$\int_2^5 x^2 dx = 39 < 75.$$

Mutassuk ki az  $\alpha_1) - \alpha_2)$  érvényességét a következő integrálokra:

2.  $\int_0^{2\pi} \sin x dx$ ; dolgozzunk a  $0 \leq x \leq \pi$  és a  $\pi \leq x \leq 2\pi$  részintervallumokkal.

3.  $\int_0^{\pi} (\sin x + \cos x) dx$ .

4. Mutassuk ki az  $\alpha_3) - \alpha_6)$  érvényességét, ha

$$\begin{cases} f(x) = x - 4 \\ g(x) = x^2 - 4 \end{cases} \text{ és } 1 \leq x \leq 5.$$

5. Mutassuk ki az  $\alpha_7) - \alpha_8)$  érvényességét az

$$\int_{-1}^1 \frac{1}{1+x^2} dx$$

integrálra.

7 Allapítsuk meg az alábbi határozott integrálok értékét, az integrálszámítás alapképletének és a megfelelő alapintegráloknak felhasználásával!

1.  $\int_a^b x^k dx = \left[ \frac{x^{k+1}}{k+1} \right]_a^b = \frac{b^{k+1} - a^{k+1}}{k+1}; k \neq -1.$

2.  $\int_a^b \frac{dx}{x} = [\ln x]_a^b = \ln b - \ln a = \ln \frac{b}{a}; a > 0, b > 0.$

3.  $\int_a^b \sin x dx = [-\cos x]_a^b = \cos a - \cos b.$

4.  $\int_a^b \cos x dx = [\sin x]_a^b = \sin b - \sin a.$

5.  $\int_0^{\pi} \cos mx dx = \left[ \frac{\sin mx}{m} \right]_0^{\pi} = \begin{cases} 0, & \text{ha } m \neq 0 \\ \pi, & \text{ha } m = 0 \end{cases}.$

A  $(0, \pi)$  szakaszon  $m$  számú  $+$  és ugyanannyi  $-$  területi mérőszámú negyedhullám van.

$$6. \quad \int_0^{\pi} \sin mx \, dx = \left[ -\frac{\cos mx}{m} \right]_0^{\pi} = \frac{1 - (-1)^m}{m} = \begin{cases} 0, & \text{ha } m \text{ páros;} \\ \frac{2}{m}, & \text{ha } m \text{ páratlan.} \end{cases}$$

A  $\frac{2}{m}$  éppen egy  $+$  félhullám  $(0 \text{ és } \pi \text{ közt } m \text{ félhullám van})$  területe.

$$7-9. \quad \int_0^{\pi} \cos mx \cos nx \, dx, \quad \int_0^{\pi} \sin mx \sin nx \, dx, \quad \int_0^{\pi} \cos mx \sin nx \, dx.$$

Az ismeri

$$\cos mx \cos nx = \frac{1}{2} [\cos (m+n)x + \cos (m-n)x],$$

$$\sin mx \sin nx = -\frac{1}{2} [\cos (m+n)x - \cos (m-n)x],$$

$$\cos mx \sin nx = \frac{1}{2} [\sin (m+n)x - \sin (m-n)x]$$

azonosságok értelmében ezen integrálokat az 5. és 6. példabelire lehet visszavezetni. Ilyen módon:

$$\int_0^{\pi} \cos mx \cos nx \, dx = \begin{cases} \frac{\pi}{2}, & \text{ha } m = n \neq 0; \\ 0, & \text{ha } m \neq n; \\ \pi, & \text{ha } m = n = 0. \end{cases}$$

$$\int_0^{\pi} \sin mx \sin nx \, dx = \begin{cases} \frac{\pi}{2}, & \text{ha } m = n \neq 0; \\ 0, & \text{ha } m \neq n; \\ 0, & \text{ha } m = n = 0. \end{cases}$$

$$\int_0^{\pi} \cos mx \sin nx \, dx = \begin{cases} 0, & \text{ha } m = n, \text{ továbbá } m \text{ és } n \text{ egyaránt páros,} \\ & \text{vagy egyaránt páratlan;} \\ \frac{2}{2(m+n)} - \frac{2}{2(m-n)} = \frac{2n}{n^2 - m^2}, & \text{ha } m \text{ és } n \\ & \text{egyike páros, másika páratlan.} \end{cases}$$

$$10-11. \quad \int_0^{2\pi} \cos mx \, dx = \begin{cases} 0, & \text{ha } m \neq 0; \\ 2\pi, & \text{ha } m = 0. \end{cases}$$

$$\int_0^{2\pi} \sin mx \, dx = 0, \quad \text{minden egész } m\text{-re.}$$

Mindkét esetben a  $0 \leq x \leq 2\pi$  periódusra  $m$  számú + és ugyanannyi – félhullám esik. (5. és 6. pl.)

$$12-14. \int_0^{2\pi} \cos mx \cos nx \, dx = \begin{cases} 0, & \text{ha } m \neq n; \\ \pi, & \text{ha } m = n \neq 0; \\ 2\pi, & \text{ha } m = n = 0. \end{cases}$$

$$\int_0^{2\pi} \sin mx \sin nx \, dx = \begin{cases} 0, & \text{ha } m \neq n; \\ \pi, & \text{ha } m = n \neq 0; \\ 0, & \text{ha } m = n = 0. \end{cases}$$

$$\int_0^{2\pi} \cos mx \sin nx \, dx = 0, \text{ bármilyen egész } m \text{ és } n \text{ esetén. A } 0 \leq x \leq 2\pi \text{ periódusra}$$

ugyanis egyenlő számú + és – félhullám esik.

15–17. Ugyanezen eredményeket kapjuk, ha a  $\cos mx \cos nx$ ,  $\sin mx \sin nx$  és  $\cos mx \sin nx$  függvényeket a  $-\pi \leq x \leq \pi$  szakaszon, azaz ismét egy teljes,  $2\pi$  hosszúságú perióduson integráljuk!

Az 5–17. integrálok nagy szerepet játszanak periodikus függvények trigonometrikus (Fourier-) sorbafejtésénél.

$$18. \int_{-2}^{-1} \frac{dx}{1-x^2} = ?$$

$$19. \int_{-3}^{-2} \frac{dx}{x^2-1} = ?$$

$$20. \int_0^{2a} \frac{3dx}{2b-x} = ? \quad (b > a > 0)$$

$$21. \int_{-2}^{-1} \frac{dx}{(11+5x)^3} = ?$$

$$22. \int_0^1 \sqrt{1+x} \, dx = ?$$

$$23. \int_{\frac{1}{2}}^{\frac{1}{5}} \frac{dx}{\sqrt{(3-x)^4}} = ?$$

$$24. \int_0^3 \frac{dx}{9+x^2} = ?$$

$$25. \int_0^{\frac{\pi}{6}} \frac{d\varphi}{\cos^2 2\varphi} = ?$$

$$26. \int_0^{\frac{\pi}{4}} \frac{1 + \sin^2 \alpha}{\cos^2 \alpha} d\alpha = ?$$

$$27. \int_{-\sigma}^{\sigma} \sqrt{a^2 - x^2} \, dx = ?$$

$$28. \int_0^{\frac{\pi}{3}} \operatorname{tg} x \, dx = ?$$

$$29. \int_0^1 (e^x - 1)^4 e^x \, dx = ?$$

$$30. \int_0^{\frac{\pi}{10}} \cos 2x \sin 3x \, dx = ?$$

$$31. \int_0^1 \frac{x-1}{x+1} \, dx = ?$$

$$32. \int_0^1 \frac{x^2 \, dx}{1+x^2} = ?$$

$$33. \int_0^1 \frac{dx}{x^2 + 4x + 5} = ?$$

$$34. \int_1^2 \frac{dx}{x+x^3} = ?$$

$$35. \int_1^2 \frac{dx}{x(x+2)^3} = ?$$

$$*36. \int_0^{\frac{\pi}{2}} \frac{\sin(2m-1)x}{\sin x} \, dx = ?^* \quad \text{— Felhasználjuk a már szerepelt}$$

$$\sum_{i=1}^n \cos(a+ih) = \frac{\sin\left[a + \left(n + \frac{1}{2}\right)h\right] - \sin\left(a + \frac{h}{2}\right)}{2 \sin \frac{h}{2}}$$

egyenlőséget, amely az  $a = 0$ ,  $h = 2x$  és  $n = m - 1$  ielölések esetén így alakul:

$$\frac{1}{2} + \sum_{i=1}^{m-1} \cos 2ix = \frac{\sin(2m-1)x}{2 \sin x}.$$

Minthogy az előző példák szerint

$$\int_0^{\frac{\pi}{2}} \cos 2ix \, dx = \frac{1}{2} \int_0^{\frac{\pi}{2}} \cos 2ix \, dx = 0, \quad \text{amikor } i = 1, 2, \dots,$$

ezért végeredményben:

$$\int_0^{\frac{\pi}{2}} \frac{\sin(2m-1)x}{\sin x} \, dx = 1 \cdot \int_0^{\frac{\pi}{2}} dx = \frac{\pi}{2}.$$

$$*37. \int_0^{\frac{\pi}{2}} \left( \frac{\sin nx}{\sin x} \right)^2 dx = ?^{**} \quad \text{— Felhasználjuk a}$$

\* E Dirichlet-től származó integrál fontos szerepet játszik a *Fourier*-sorok elméletében. L. a B. VI. kötetben!

\*\* E Fejér Lipóttól származó integrál szintén jelentős szerepet játszik a *Fourier*-sorok elméletében. L. a B. VI. kötetben!

$$\sum_{i=1}^n \sin(a + ih) = \frac{\cos\left(a + \frac{h}{2}\right) - \cos\left[a + \left(n + \frac{1}{2}\right)h\right]}{2 \sin \frac{h}{2}}$$

ismert összefüggést, amely  $a = -x$ ,  $h = 2x$  jelölések esetén így alakul:

$$\sum_{i=1}^n \sin(2i-1)x = \frac{1 - \cos 2nx}{2 \sin x} = \frac{\sin^2 nx}{\sin x}.$$

Ezt  $\frac{1}{\sin x}$ -szel szorozva és az előző példa eredményét figyelembe véve, nyerjük:

$$\int_0^{\frac{\pi}{2}} \left( \frac{\sin nx}{\sin x} \right)^2 dx = \sum_{i=1}^n \int_0^{\frac{\pi}{2}} \frac{\sin(2i-1)x}{\sin x} dx = n \frac{\pi}{2}.$$

### Műszaki alkalmazások\*

#### 1. KÖRÍVRÉ HATÓ, SUGÁRIRÁNYÚ, EGYENLETESEN MEGOSZLÓ ERŐRENDSZER EREDŐJE

Legyen a körív sugara  $r$ , a körívhez tartozó középponti szög  $\alpha$ . A szimmetria-viszonyokból következik, hogy a keresett  $R$  eredő az  $\alpha$  szögfelezőjében fog működni (5. ábra). A  $ds = r d\varphi$  ívelemre  $dP = P ds$  elemi erő működik. Ezen elemi erőnek a szögfelező irányába eső komponense:

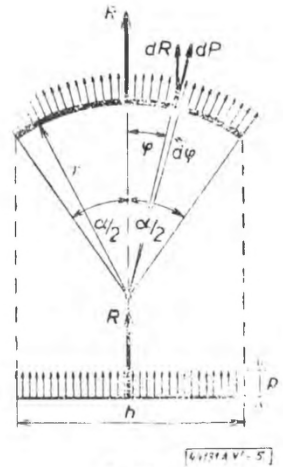
$$dR = dP \cos \varphi.$$

A teljes  $R$  erőt ezután a következő integrál szolgáltatja:

$$R = \int_{-\frac{\alpha}{2}}^{+\frac{\alpha}{2}} dP \cos \varphi = \int_{-\frac{\alpha}{2}}^{+\frac{\alpha}{2}} pr \cos \varphi d\varphi = pr^2 \sin \frac{\alpha}{2}.$$

E képletben  $r^2 \sin \frac{\alpha}{2}$  az ívhez tartozó húr  $h$  hosszával egyenlő, vagyis:

$$R = ph.$$



5. ábra

Valamely körívré ható sugárirányú, egyenletesen megosztó erőrendszer eredője tehát egyenlő a körívhez tartozó húrja merőlegesen működő, az eredetivel azonos intenzitású megosztó erőrendszer eredőjével.

Eredményünk felhasználást nyer pl. az ú. n. kazánformulánál.

\* A differenciálokról és az elemek összegezésének módszeréről l. részletesen a 1. §-ban.

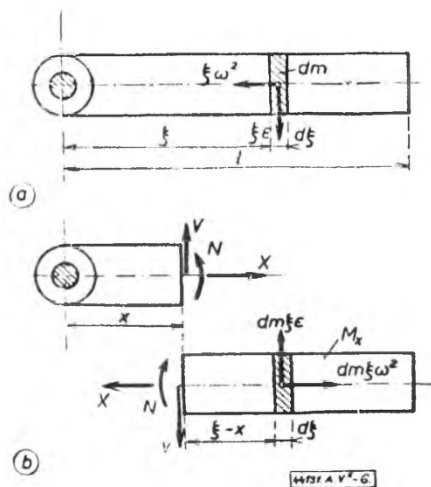
## 2. SZÖGGYORSULÁSSAL FORGÓ RÚD SZILÁRDSÁGI IGÉNYBEVÉTELE

A függélyes tengely körül  $\varepsilon$  szöggyorsulással forgó rúd  $dm$  elemére ható *tehetetlenségi erő*

tangenciális komponense:  $dm \xi \varepsilon$ ,

radiális komponense:  $dm \xi \omega^2$ .

(6. ábra).



6. ábra

A rúd valamely  $x$  abszcisszájú keresztmetszete a következő *szilárdsági igénybevételek*et szenved:

a) *Húzás*:

$$X = \omega^2 \int_x^l \xi \, dm = \omega^2 \xi \, M_x,$$

ahol  $M_x$  az  $(l - x)$  hosszúságú rúdrész tömege,  $\xi$ , pedig súlypontjának abszcisszája.

b) *Hajlítás*: 
$$N = \varepsilon \int_x^l \xi \, dm (\xi - x).$$

c) *Nyírás*: 
$$V = \varepsilon \int_x^l dm \xi = \varepsilon \xi \, M_x.$$

Ha a rúd végig állandó  $F$  keresztmetszetű, azaz

$$dm = \frac{\gamma}{g} F d\xi,$$

akkor az előbbi igénybevételek és a megfelelő *feszültségek* így alakulnak:

$$X = \frac{\gamma}{g} F \omega^2 \int_x^l \xi \, d\xi = \frac{\gamma}{g} F \omega^2 \frac{l^2 - x^2}{2}; \quad \sigma_1 = \frac{X}{F} = \frac{\gamma \omega^2}{2g} (l^2 - x^2).$$

$$\begin{aligned} N &= \frac{\gamma}{g} F \varepsilon \int_x^l (\xi^2 - x\xi) \, d\xi = \frac{\gamma}{g} F \varepsilon \left[ \frac{l^3 - x^3}{3} - x \frac{l^2 - x^2}{2} \right] = \\ &= \frac{\gamma}{g} F \varepsilon \left[ \frac{l^3}{3} - x \frac{l^2}{2} - \frac{x^3}{6} \right]; \quad \sigma_2 = \frac{N}{F} = \frac{\gamma \varepsilon}{g} \left[ \frac{l^3}{3} - x \frac{l^2}{2} - \frac{x^3}{6} \right]. \end{aligned}$$

$$V = \frac{\gamma}{g} F \varepsilon \int_x^l \xi \, d\xi = \frac{\gamma}{g} F \varepsilon \frac{l^2 - x^2}{2}; \quad \tau = \frac{V}{F} = \frac{\gamma \varepsilon}{2g} (l^2 - x^2).$$

## 3. AUTÓ FEKEZÉSI IDEJE\*

Legyen egy személyautó súlya  $G = 1620$  kg, motorteljesítménye  $N_\delta = 46$  LE, üzemi hatásfoka  $\eta = 0,85$ . Legyen továbbá a gördülő ellenállási tényező  $f = 0,018$ , a kocsi légellenállási tényezője  $\lambda = 0,7$ , a levegő sűrűsége  $\rho = 0,127$  kg sec<sup>2</sup>/m<sup>4</sup>, a kocsi homlokfelületének vetülete  $F = 2,65$  m<sup>2</sup>.

Kérdés, hogy a síkpályán  $v_0 = 22,5$  m/sec sebességgel haladó kocsit mennyi idő alatt lehet megállítani, ha a motort kikapcsoljuk, és a  $d = 750$  mm átmérőjű kerekeken összesen  $M = 187,8$  kgm fékezőnyomatékokot fejtünk ki.

A gördülő ellenállás:  $W_1 = fG = 0,018 \cdot 1620 = 29,2$  kg. A légellenállás:  $W_2 = \lambda \rho F v^2 = 0,7 \cdot 0,5 \cdot 0,127 \cdot 2,65 \cdot v^2 = 0,118 v^2$  kg. A fékező erő (a pályára vonatkoztatva):

$$W_3 = M/r = 187,8/0,375 = 500,8 \text{ kg}.$$

A teljes lassító erő:  $P = W_1 + W_2 + W_3 = 29,2 + 0,118 v^2 + 500,8 = 530 + 0,118 v^2$ .

A lassulás:  $b = -a = -\frac{dv}{dt} = \frac{P}{m} > 0$ .

A telassulás ideje:

$$T = \int_0^T dt = -m \int_{v_0}^0 \frac{dv}{P} = m \int_0^{v_0} \frac{dv}{530 + 0,118 v^2} =$$

$$= \frac{1620}{9,81} \frac{1}{0,118} \int_0^{v_0} \frac{dv}{4490 + v^2} = \frac{1620}{9,81 \cdot 0,118 \cdot 67,1} \left[ \arctg \frac{v}{67,1} \right]_0^{v_0} =$$

$$= 20,9 \cdot \arctg \frac{v_0}{67,1} = 20,9 \cdot \arctg \frac{22,5}{67,1} = 20,9 \cdot \arctg 0,336 = 20,9 \cdot \frac{\pi}{180} \cdot 18,6 \approx 6,8 \text{ sec}.$$

## d) Határozott integrálok számítása parciális integrálással, helyettesítéssel

## α) Általános megjegyzések

A határozatlan integrál különböző típusainál tanulmányozott eljárásokat — az integrálszámítás alapképlete értelmében — felhasználhatjuk határozott integráloknak határozatlanok

útján való megállapítására.

Meg kell jegyezni, hogy a cél elérése sokszor leküzdhetetlen, vagy súlyos *nehézségekbe* ütközik. Gondoljunk arra, hogy egy függvény Riemann szerinti integrálhatóságából (azaz ott a görbe alatti terület mérhetőségéből) *nem következik szükségképpen a primitív függvények létezése,\*\* ez utóbbi léte pedig nem biztosítja feltétlenül az elemi függvényekkel, zárt alakban való kifejezés lehetőségét.* Viszont sok ilyen esetben sikerül a határozott integrál kiszámítása az integrálandó és a határok különleges sajátosságainak kihasználásával, az integrál célszerű átalakításával, szétbontásával stb. — Alább a parciális integrálás és a helyettesítés módszerét alkalmazzuk (bizonyos megszorításokkal) a határozott integrálok körében.

\* Menge-Schrieder i. m. III. k., 41. o.

\*\* V. ö. az I. § b. δ)-val és az A. IV. 1. § a. δ)-val!



### β) Parciális integrálás

Ha bizonyos  $[a, b]$  szakaszon  $u(x)$  deriválható, ugyanott  $v'(x)$ -nek van primitív függvénye és az  $u'(x) v(x)$  Riemann szerint integrálható, akkor  $u(x) v'(x)$  is integrálható, és pedig:

$$\int_a^b u(x) v'(x) dx = [u(x) v(x)]_a^b - \int_a^b u'(x) v(x) dx.$$

E formula birtokában szükségtelen teljesen elvégezni a határozatlan integrálást parciálisan, hanem közvetlenül e formulát alkalmazzuk.

Rekurzív eljárás esetén:\*

$$\int_a^b uv^{(n+1)} dx = [uv^{(n)} - u'v^{(n-1)} + \dots + (-1)^n u^{(n)}v]_a^b + (-1)^{n+1} \int_a^b u^{(n+1)} v dx.$$

Itt és a megismert rekurzív képleteknél\* is érvényben maradnak az  $u(x)$ -re,  $v'(x)$ -re és fellépő deriváltjaikra a fentebb elmondott követelmények.

### γ) Helyettesítés

Legyen  $f(x)$  az  $[a, b]$  közön folytonos. Helyettesítsük az  $\int_a^b f(x) dx$  integrálba az  $x = x(u)$  függvényt és differenciálját!

Ha 1.  $x(u)$  határozott (egyértékű) és folytonos valamely  $[\alpha, \beta]$  közön, és érintékszöge nem terjed túl az  $[a, b]$  közön, amikor  $\alpha \leq u \leq \beta$ , 2.  $x(\alpha) = a$ ,  $x(\beta) = b$  és 3. az  $x'(u)$  derivált az  $[\alpha, \beta]$  közön létezik és folytonos, akkor fennáll:

$$\int_{x=a}^b f(x) dx = \int_{u=\alpha}^{\beta} f[x(u)] x'(u) du = \int_{u=\alpha}^{\beta} \varphi(u) du = [\Phi(u)]_{\alpha}^{\beta},$$

amely utóbbi kifejtve:

$$[\Phi(u)]_{\alpha}^{\beta} = \Phi(\beta) - \Phi(\alpha) = F[x(\beta)] - F[x(\alpha)] = F(b) - F(a),$$

ahol

$$\Phi(u) = F[x(u)].$$

Az  $x(u)$  egyértékűségi és  $x'(u)$  folytonossági követelménye teljesül, ha az  $u = u(x)$  inverz függvény monoton és deriváltja az  $[a, b]$  közön nem válik zérussá.

Az említett feltételek fennállása gondosan ellenőrzendő, mert különben könnyen hamis eredményre juthatunk.\*\*

### Példák és feladatok

$$\beta \quad 1. \quad S_m = \int_0^{\frac{\pi}{2}} \sin^m x dx = ? \quad C_m = \int_0^{\frac{\pi}{2}} \cos^m x dx = ?$$

\* V. ö. A. IV. k., 3. § b)-vel!

\*\* Berman t. m. I. k., 354. o.

Az  $m$  természetes (azaz pozitív egész) szám. Az A. IV. kt. 3. §. b.  $\gamma$ -ban bemutatott lehasító módszerrel parciálisan integrálva, nyerjük:

$$\begin{aligned} S_m &= \int_0^{\frac{\pi}{2}} \sin^m x \, dx = \int_0^{\frac{\pi}{2}} \underbrace{\sin^{m-1} x}_{u'} \underbrace{\sin x \, dx}_{v'} = \\ &= \left[ -\sin^{m-1} x \cos x \right]_0^{\frac{\pi}{2}} + (m-1) \int_0^{\frac{\pi}{2}} \sin^{m-2} x \cos^2 x \, dx = \\ &= 0 + (m-1) \cdot S_{m-2} - (m-1) \cdot S_m, \text{ lévén } \cos^2 x = 1 - \sin^2 x. \end{aligned}$$

Ezt  $S_m$ -re rendezve, a következő rekurzív képlet adódik:

$$S_m = \frac{m-1}{m} \cdot S_{m-2}.$$

Ismételten alkalmazva végül

$$S_0 = \int_0^{\frac{\pi}{2}} 1 \, dx = \frac{\pi}{2}, \text{ illetve } S_1 = \int_0^{\frac{\pi}{2}} \sin x \, dx = 1$$

integrálok valamelyikére jutunk.

Ezek felhasználásával és a rekurzív képlet segítségével előállíthatjuk az  $S_m$  és  $C_m$  végeredményét.

Páros  $m$  ( $= 2n$ ) esetén:

$$S_{2n} = \int_0^{\frac{\pi}{2}} \sin^{2n} x \, dx = \frac{(2n-1)(2n-3)\dots 5 \cdot 3 \cdot 1}{2n(2n-2)\dots 6 \cdot 4 \cdot 2} \cdot \frac{\pi}{2};$$

páratlan  $m$  ( $= 2n+1$ ) esetén:

$$S_{2n+1} = \int_0^{\frac{\pi}{2}} \sin^{2n+1} x \, dx = \frac{2n(2n-2)\dots 6 \cdot 4 \cdot 2}{(2n+1)(2n-1)\dots 5 \cdot 3 \cdot 1}.$$

Ugyanezt az eredményt kapjuk  $C_{2n}$  és  $C_{2n+1}$ -re! A rövidség kedvéért bevezetjük az

$$m!! = m(m-2)(m-4)\dots$$

szemifaktoriális jelölést, amellyel írhatjuk:

$$\int_0^{\frac{\pi}{2}} \sin^m x \, dx = \int_0^{\frac{\pi}{2}} \cos^m x \, dx = \begin{cases} \frac{(m-1)!!}{m!!} \cdot \frac{\pi}{2}, & \text{ha } m \text{ páros} \\ \frac{(m-1)!!}{m!!}, & \text{ha } m \text{ páratlan.} \end{cases}$$

2. Igazoljuk, hogy:

$$I_1 = \int_0^{\frac{\pi}{2}} \cos^m x \cos (m+2) x \, dx = 0.$$

Induljunk ki az

$$I_2 = \int_0^{\frac{\pi}{2}} \cos^{m+2} x \cos (m+2) x \, dx$$

integrálból. *Kétszeri parciális integrálással* nyerjük:

$$\begin{aligned} I_2 &= \int_0^{\frac{\pi}{2}} \underbrace{\cos^{m+2} x}_u \underbrace{\cos (m+2) x}_{v'} \, dx = \left[ \cos^{m+2} x \cdot \frac{\sin (m+2) x}{m+2} \right]_0^{\frac{\pi}{2}} + \\ &+ \frac{m+2}{m+2} \int_0^{\frac{\pi}{2}} \underbrace{\cos^{m+1} x \sin x}_u \underbrace{\sin (m+2) x}_{v'} \, dx = 0 - \\ &- \left[ \cos^{m+1} x \sin x \cdot \frac{\cos (m+2) x}{m+2} \right]_0^{\frac{\pi}{2}} + \frac{1}{m+2} \int_0^{\frac{\pi}{2}} [-(m+1) \cos^m x \sin^2 x + \\ &+ \cos^{m+2} x] \cos (m+2) x \, dx = 0 - \frac{m+1}{m+2} \int_0^{\frac{\pi}{2}} \cos^m x \cos (m+2) x \, dx + \\ &+ \frac{m+2}{m+2} \cdot I_2. \end{aligned}$$

Ebből következik, hogy

$$I_1 = \int_0^{\frac{\pi}{2}} \cos^m x \cos (m+2) x \, dx = 0 \quad q \, e \, d.$$

Az utolsó lépésben felhasználtuk a  $\sin^2 x = 1 - \cos^2 x$  azonosságot!  
3-5. Hasonló módon *igazoljuk*, hogy:

$$\int_0^{\frac{\pi}{2}} \cos^m x \sin (m+2) x \, dx = \frac{1}{m+1}$$

$$\int_0^{\frac{\pi}{2}} \sin^m x \cos (m+2)x \, dx = -\frac{\sin \frac{m\pi}{2}}{m+1},$$

$$\int_0^{\frac{\pi}{2}} \sin^m x \sin (m+2)x \, dx = \frac{\cos \frac{m\pi}{2}}{m+1}.$$

6. Állapítsuk meg a  $K_n = \int_0^{\frac{\pi}{2}} \cos^n x \sin nx \, dx$  integrál értékét ( $n$  természetes szám)!

Parciálisan integrálunk  $u = \cos^n x$ ,  $v' = \sin nx$  választással:

$$\begin{aligned} K_n &= \left[ -\cos^n x \frac{\cos nx}{n} \right]_0^{\frac{\pi}{2}} - \frac{n}{n} \int_0^{\frac{\pi}{2}} \cos^{n-1} x \sin x \cos nx \, dx = \\ &= +\frac{1}{n} \int_0^{\frac{\pi}{2}} \cos^{n-1} x \sin x \cos nx \, dx. \end{aligned}$$

Mindkét oldalhoz  $K_n$ -et hozzáadva nyerjük:

$$\begin{aligned} 2K_n &= \frac{1}{n} + \int_0^{\frac{\pi}{2}} \cos^{n-1} x (-\sin x \cos nx + \cos x \sin nx) \, dx = \\ &= \frac{1}{n} + \int_0^{\frac{\pi}{2}} \cos^{n-1} x \sin (n-1)x \, dx = \frac{1}{n} K_{n-1}. \end{aligned}$$

Az így előállt

$$K_n = \frac{1}{2} \left[ \frac{1}{n} + K_{n-1} \right]$$

rekurzív formula segítségével már könnyen nyerhető a

$$K_n = \frac{1}{2^{n+1}} \left( \frac{2}{1} + \frac{2^2}{2} + \frac{2^3}{3} + \dots + \frac{2^n}{n} \right)$$

eredmény. — Megjegyzendő, hogy az utolsó integrál:

$$K_1 = \int_0^{\frac{\pi}{2}} \cos x \sin x \, dx = \frac{1}{2} \int_0^{\frac{\pi}{2}} \sin 2x \, dx = \frac{1}{4} \left[ \cos 2x \right]_0^{\frac{\pi}{2}} = \frac{1}{2}.$$

7. Hasonló módon határozzuk meg az

$$L_n = \int_0^{\frac{\pi}{2}} \cos^n x \cos nx \, dx$$

integrált!

8.  $H_{m,n} = \int_0^1 x^m \ln^n x \, dx = ?$  Az  $m > 0$  és  $n$  természetes szám. — Parciálisan integrálva:

$$\begin{aligned} H_{m,n} &= \left[ \frac{x^{m+1}}{m+1} \ln^n x \right]_{+0}^1 - \frac{n}{m+1} \int_0^1 x^{m+1} \ln^{n-1} x \frac{dx}{x} = \\ &= 0 - \frac{n}{m+1} \int_0^1 x^m \ln^{n-1} x \, dx = -\frac{n}{m+1} \cdot H_{m,n-1}. \end{aligned}$$

Rekurzio eljárással:

$$H_{m,n} = (-1)^n \frac{n!}{(m+1)^n} \cdot H_{m,0}.$$

Minthogy

$$H_{m,0} = \int_0^1 x^m \, dx = \frac{1}{m+1},$$

így végül:

$$H_{m,n} = (-1)^n \cdot \frac{n!}{(m+1)^{n+1}}.$$

Megjegyzendő, hogy mind az integrálandó, mind a [ ]-es kifejezés értéke  $x = 0$ -nál csak határértékként képezhető, amikor  $x \rightarrow +0$ .

$$9. \int_0^1 x e^x \, dx = ?$$

$$10. \int_0^1 x^2 e^x \, dx = ?$$

$$11. \int_{-\frac{\pi}{2}}^{\frac{\pi}{2}} x^2 \sin x \, dx = ?$$

$$12. \int_0^{2\pi} x^2 \sin x \, dx = ?$$

$$13. \int_0^1 x \operatorname{arctg} x \, dx = ?$$

$$14. \int_1^e x^3 \ln x \, dx = ?$$

$$15. \int_1^e \ln^2 x \, dx = ?$$

$$16. \int_1^e \ln^3 x \, dx = ?$$

$$17. \int_1^2 x^{1/2} \log x \, dx = ?$$

$$18. \int_{\frac{\pi}{4}}^{\frac{\pi}{3}} \frac{x \, dx}{\sin^2 x} = ?$$

$$19. \int_0^1 x^3 \operatorname{arctg} x \, dx = ?$$

$$20. \int_0^{\frac{\pi}{2}} \sin^2 x \cos^2 x \, dx = ?$$

$$21. \int_0^{\frac{\pi}{2}} \sin^{2n+1} x \cos^{2m+1} x \, dx = ?$$

$$22. \int_0^{\frac{\pi}{2}} e^{2x} \cos x \, dx = ?$$

\*23. Igazoljuk, hogy természetes  $\nu$  és  $\mu$  esetén:

$$\int_0^{\frac{\pi}{2}} \sin^{\nu} x \cos^{\mu} x \, dx = \begin{cases} \frac{(\nu-1)!!(\mu-1)!!}{(\nu+\mu)!!} \cdot \frac{\pi}{2}, & \text{ha } \nu \text{ és } \mu \text{ páros;} \\ \frac{(\nu-1)!!(\mu-1)!!}{(\nu+\mu)!!}, & \text{egyéb esetekben.} \end{cases}$$

(Lásd hátul!)

\*24. Igazoljuk, hogy természetes  $n$  esetén:

$$\int_0^{\frac{\pi}{4}} \operatorname{tg}^{2n} x \, dx = \frac{1}{2n-1} - \frac{1}{2n-3} + \dots \pm 1 \mp \frac{\pi}{4}.$$

\*25. Igazoljuk, hogy:

$$\int_0^1 (1-x^2)^n \, dx = 2^{2n} \frac{(n!)^2}{(2n+1)!}.$$

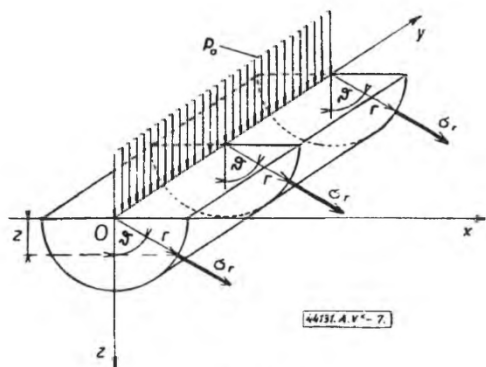
### M ű s z a k i a l k a l m a z á s o k

I. VONALAS TERHELES HATÁSÁRA ANIZOTROP RUGALMAS FÉLTÉRBE  
KELETKEZŐ POLÁRIS FESZÜLTÉG\* (7. ábra)

Fröhlich szerint vonalas terhelés esetén:

$$\sigma = f p_0 \frac{z^{1-\nu}}{r^{\nu-1}} = f p_0 \frac{\cos^{\nu-2} \vartheta}{r}.$$

\* Széchy: Alapozás I. k., 83. o.



7. abra

A feszültségek függőleges vetületének a vonalas terheléssel tartott *egyensúlyából* következik, hogy

$$p_0 = 2 \int_0^{\frac{\pi}{2}} \sigma_r \cos \vartheta \, dU,$$

ahol

$$dU = r \, d\vartheta.$$

Ezzel:

$$p_0 = 2 \int_0^{\frac{\pi}{2}} \bar{f} p_0 \frac{\cos^{\nu-2} \vartheta}{r} \cos \vartheta \, r \, d\vartheta =$$

$$= 2 \bar{f} p_0 \int_0^{\frac{\pi}{2}} \cos^{\nu-1} \vartheta \, d\vartheta,$$

s innen:

$$\bar{f} = \frac{1}{2 \int_0^{\frac{\pi}{2}} \cos^{\nu-1} \vartheta \, d\vartheta}.$$

E határozott integrál kiszámítási módja  $\nu$  páros, ill. páratlan voltától függ [β] 1. pl.].  
Ha  $\nu = 2n - 1$  (páratlan):

$$f = \frac{(\nu - 1)(\nu - 3) \dots 2}{(\nu - 2)(\nu - 4) \dots 3 \cdot 1} \cdot \frac{1}{\pi},$$

ha pedig  $\nu = 2n$  (páros):

$$f = \frac{(\nu - 1)(\nu - 3) \dots 1}{2(\nu - 2)(\nu - 4) \dots 2}.$$

Mivel mindig egész  $\nu$  értékekkel számolunk,  $f$  előforduló értékei  $\nu$  függvényében az alábbiak:

$\nu =$	1	2	3	4	5	6
$\bar{f} =$	1 $\pi$	1 2	2 $\pi$	3 4	8 $3\pi$	15 16

Az  $f$  értékét behelyettesítve nyerjük, hogy:

$$\sigma_r = \bar{f} p_0 \cos^{\nu-2} \vartheta.$$

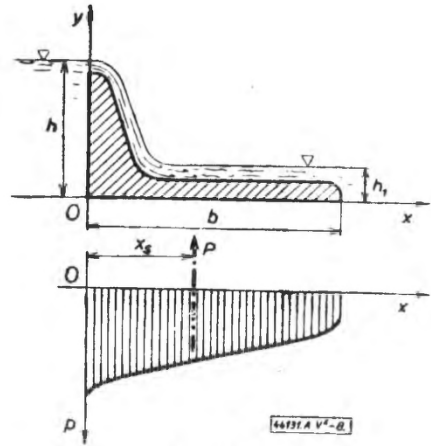
## 2. GÁTRA HATÓ FELHAJTÓ ERŐ MEGHATÁROZÁSA\*

A 8. ábra egy  $h - h_1$  duzzasztást előidéző és  $b$  hosszúságú alaplemezre ráépített duzzasztógát hosszmetsetét ábrázolja. Feladatunk a víz gátalatti szivárgásával egyidejűleg fellépő és a gát alaplemezére ható nyomóerő nagyságának és támadáspontjának meghatározása. A hidromechanika tanítása szerint az alaplemez mentén a nyomás változását a

$$p = \frac{\gamma (h - h_1)}{\pi} \arccos \frac{2x - b}{b} + \gamma h_1$$

kifejezés szolgáltatja, ahol  $\gamma$  a víz fajsúlya. Az alaplemez egész felületére ható erők eredőjét az előbbi kifejezés integrálásával nyerjük:

$$P = \int_0^b \left[ \frac{\gamma (h - h_1)}{\pi} \arccos \frac{2x - b}{b} + \gamma h_1 \right] dx.$$



8. ábra

Innen parciális integrálással kapjuk, hogy:

$$P = \frac{b(h + h_1)}{2} \gamma.$$

Az eredő helyének meghatározása céljából képezzük az elemi nyomóerők nyomaték-összegét az  $O$  pontra:

$$M = \int_0^b \left[ \frac{\gamma (h - h_1)}{\pi} \arccos \frac{2x - b}{b} + \gamma h_1 \right] x dx.$$

Szintén parciálisan integrálva:

$$M = \frac{b^2 (3h + 5h_1)}{16} \gamma.$$

Az eddigiek alapján meghatározható az eredő helyének  $x_s$  koordinátája:

$$x_s = \frac{M}{P} = \frac{b}{8} \frac{3h + 5h_1}{h + h_1}.$$

$$\frac{\gamma}{\pi} \int_1^2 \frac{dx}{x \sqrt{\ln x}} = \int_1^2 \frac{dx}{x \sqrt{\ln x}} = ? \quad \text{Helyettesítés:}$$

$$u = \ln x, \quad du = \frac{dx}{x}, \quad u_1 = 0, \quad u_2 = \ln 2.$$

\* Salamin 1. m.



Ezekkel nyerjük:

$$I = \int_0^{\ln 2} \frac{du}{\sqrt{u}} = 2 \left[ \sqrt{u} \right]_0^{\ln 2} = 2 \sqrt{\ln 2}.$$

2.  $\int_0^{\frac{\pi}{2}} \cos^3 x \, dx = \int_0^{\frac{\pi}{2}} (1 - \sin^2 x) \cos x \, dx = ?$  — Az  $u = \sin x$ ,  $du = \cos x \, dx$ ,  $u_a = 0$ ,  $u_f = 1$  helyettesítéssel integrálunk így alakul:

$$I = \int_0^1 (1 - u^2) \, du = \left[ u - \frac{u^3}{3} \right]_0^1 = \frac{2}{3}.$$

3.  $\int_0^a \sqrt{a^2 - x^2} \, dx = ?$  — Az  $x = a \sin t$ ,  $dx = a \cos t \, dt$ ,  $t_a = \arcsin \frac{0}{a} = 0$ ,  $t_f = \arcsin \frac{a}{a} = \frac{\pi}{2}$  helyettesítéssel nyerjük:

$$I = a^2 \int_0^{\frac{\pi}{2}} \cos^3 t \, dt = \frac{a^2}{2} \left[ t + \frac{\sin 2t}{2} \right]_0^{\frac{\pi}{2}} = \frac{a^2}{4} \pi$$

összhangban azzal, hogy lényegében az  $x^2 + y^2 = a^2$  kör negyedének területét számítottuk!

4.  $\int_a^a x^2 \sqrt{a^2 - x^2} \, dx = ?$  (L. hátul!)

5.  $\int_{\frac{\pi}{2}}^{\frac{2\pi}{3}} \frac{dx}{\sin x} = ?$  — Helyettesítés:  $t = \operatorname{tg} \frac{x}{2}$ ,  $\sin x = \frac{2t}{1+t^2}$ ,  $dx = \frac{2dt}{1+t^2}$ ,  
 $t_a = \operatorname{tg} \frac{\pi}{4} = 1$ ,  $t_f = \operatorname{tg} \frac{\pi}{3} = \sqrt{3}$ .

Ezekkel nyerjük:

$$I = \int_1^{\sqrt{3}} \frac{dt}{t} = [\ln t]_1^{\sqrt{3}} = \ln \sqrt{3}.$$

6.  $\int_0^{2\pi} \frac{dx}{a + b \cos x} = ?$  (L. hátul!)

$$7. \int_a^{2a} \frac{\sqrt{x^2 - a^2}}{x^4} dx = ? \quad - \quad \text{A helyettesítés: } x = \frac{a}{\cos t}, \quad dx = + \frac{a \sin t dt}{\cos^2 t},$$

$$t_a = \arccos \frac{a}{a} = 0, \quad t_1 = \arccos \frac{a}{2a} = \frac{\pi}{3}. \quad \text{Ezzel nyerjük:}$$

$$I = \frac{1}{a^2} \int_0^{\frac{\pi}{3}} \sin^2 t \cos t dt = \frac{1}{3a^2} [\sin^3 t]_0^{\pi/3} = \frac{\sqrt{3}}{8a^2}.$$

$$8. \int_{\frac{\sqrt{2}}{2}}^1 \frac{\sqrt{1-x^2}}{x^2} dx = ?$$

$$9. \int_1^2 \frac{\sqrt{x^2-1}}{x} dx = ?$$

$$*10. \int_{-1}^1 \sqrt{\frac{1-x}{1+x}} dx = ?$$

$$11. \int_0^{\pi} \frac{dx}{3 + 2 \cos x} = ?$$

$$12. \int_0^1 \frac{\sqrt{x}}{1+x} dx = ?$$

$$13. \int_1^9 \frac{\sqrt{x}}{\sqrt{x}-1} dx = ?$$

$$14. \int_0^1 \frac{x dx}{1 + \sqrt{x}} = ?$$

$$15. \int_3^8 \frac{x dx}{\sqrt{1+x}} = ?$$

$$16. \int_1^{e^3} \frac{dx}{x \sqrt{1 + \ln x}} = ?$$

$$17. \int_{\frac{8}{3}}^{\frac{29}{3}} \frac{\sqrt[3]{(x-2)^2}}{3 + \sqrt{(x-2)^2}} dx = ?$$

$$18. \int_0^1 \frac{e^{2x} dx}{1 + e^{2x}} = ?$$

$$19. \int_0^{\ln 2} \sqrt{e^x - 1} dx = ?$$

$$20. \int_0^{\ln 5} \frac{e^x \sqrt{e^x - 1}}{e^x + 3} dx = ?$$

$$21. \int_0^1 \frac{\sqrt{e^x}}{\sqrt{e^x + e^{-x}}} dx = ?$$

$$22. \int_0^1 \frac{dx}{(x^2 + 1)^3} = ?$$

$$23. \int_0^1 \sqrt{x^2 + 2x} dx = ?$$

$$24. \int_{-1}^{+1} \frac{dx}{(a-x) \sqrt{1-x^2}} = ?$$

$$25. \int_0^{\frac{\pi}{4}} \frac{dx}{\cos^4 x} = ?$$

$$26. \int_0^a \frac{dx}{\sqrt{ax - x^2}} = ?$$

$$27. \int_{\frac{1}{2}}^1 \frac{(x - x^3)^{\frac{1}{3}}}{x^4} dx = ?$$

$$28. \int_0^{\frac{\pi}{3}} \operatorname{tg}^3 x dx = ?$$

$$29. \int_0^{\frac{\pi}{6}} \frac{dx}{\sin^4 x \cos^2 x} = ?$$

$$30. \int_0^{\pi} \frac{\sin x dx}{\sqrt{1 + 2a \cos x + a^2}} = ?$$

$$31. \int_0^{\frac{\pi}{2}} \frac{dx}{a^2 \sin^2 x + b^2 \cos^2 x} = ?$$

$$32. \int_{-1}^{+1} \frac{x^4 dx}{(x^2 + 1) \sqrt{1 - x^2}} = ?$$

$$*33. I = \int_0^{\frac{\pi}{2}} \cos^2 \varphi d\varphi = ? - \text{A } \varphi = \frac{\pi}{2} - \psi \text{ helvettesítéssel:}$$

$$I = - \int_{\frac{\pi}{2}}^0 \cos^2 \left( \frac{\pi}{2} - \psi \right) d\psi = \int_0^{\frac{\pi}{2}} \sin^2 \psi d\psi = \int_0^{\frac{\pi}{2}} \sin^2 \varphi d\varphi$$

(a betű közömbös). Így

$$2I = \int_0^{\frac{\pi}{2}} (\cos^2 \varphi + \sin^2 \varphi) d\varphi = \int_0^{\frac{\pi}{2}} d\varphi = \frac{\pi}{2},$$

s ezért:

$$I = \frac{\pi}{4}.$$

$$*34. \text{ Igazoljuk, hogy: } \int_0^1 \frac{\arctg x}{x} dx = \frac{1}{2} \int_0^{\frac{\pi}{2}} \frac{t dt}{\sin t}.$$

$$*35. \int_0^a (a^2 - x^2)^n dx = a^{2n+1} \int_0^{\frac{\pi}{2}} \cos^{2n+1} t dt = a^{2n+1} \frac{2n!!}{(2n+1)!!},$$

ahol az  $x = a \sin t$  helvettesítést és a  $\beta)$  1. példa eredményét alkalmaztuk!

\*36. Hasonlóan számítsuk az  $\int_0^a (a^2 - x^2)^{\frac{2n-1}{2}} dx$  integrált!

$$*37. \quad I = \int_0^{\pi} \frac{x \sin x}{1 + \cos^2 x} dx = \int_0^{\frac{\pi}{2}} \frac{x \sin x}{1 + \cos^2 x} dx + \int_{\frac{\pi}{2}}^{\pi} \frac{x \sin x}{1 + \cos^2 x} dx = I_1 + I_2.$$

Az utóbbi integrál az  $x = \pi - t$ ,  $dx = -dt$  helyettesítéssel így alakul:

$$I_2 = - \int_{\frac{\pi}{2}}^0 \frac{(\pi - t) \sin t dt}{1 + \cos^2 t} = \pi \int_0^{\frac{\pi}{2}} \frac{\sin t dt}{1 + \cos^2 t} - \int_0^{\frac{\pi}{2}} \frac{t \sin t dt}{1 + \cos^2 t}.$$

Ezt felhasználva írhatjuk:

$$I = I_1 - I_1 + \pi \int_0^{\frac{\pi}{2}} \frac{\sin t dt}{1 + \cos^2 t} = -\pi [\arctg(\cos t)]_0^{\frac{\pi}{2}} = \frac{\pi^2}{4}.$$

Hangsúlyozzuk, hogy a határozott integrálás itt a primitív függvény ismerete nélkül sikerült, a szakasz alkalmas felosztása és megfelelő helyettesítés révén, sőt nem is lehetséges a primitív függvényt zárt alakban megadni.

\*38. Igazoljuk, hogy

$$\int_0^{\pi} \frac{\sin 2nx}{\sin x} dx = 0.$$

$$*39. \quad I = \int_0^1 \frac{\ln(1+x)}{1+x^2} dx = ? \quad \text{Az } x = \operatorname{tg} t \text{ helyettesítéssel:}$$

$$I = \int_0^{\frac{\pi}{4}} \ln(\cos t + \sin t) dt - \int_0^{\frac{\pi}{4}} \ln \cos t dt = I_1 + I_2.$$

Ez utóbbi  $t = \frac{\pi}{4} - u$  helyettesítés után így alakul:

$$I_2 = + \int_{\frac{\pi}{4}}^0 \ln[(\cos u + \sin u)^{\frac{1}{2}}] du = -I_1 + \ln 2 \int_0^{\frac{\pi}{4}} du.$$

Végeredményben:

$$I = I_1 - I_1 + \frac{\ln 2}{2} \cdot \frac{\pi}{4} = \frac{\pi \ln 2}{8}.$$

\*40.  $\int_0^1 \frac{dx}{x + \sqrt{1-x^2}} = ?$  — Alkalmazva az  $x = \sin t$ ,  $dx = \cos t \, dt$  helyettesítést,

nyerjük:

$$\int_0^1 \frac{dx}{x + \sqrt{1-x^2}} = \int_0^{\frac{\pi}{2}} \frac{\cos t}{\sin t + \cos t} dt.$$

Mivel

$$\frac{\cos t}{\sin t + \cos t} = 1 - \frac{\sin t}{\sin t + \cos t},$$

ezért

$$\int_0^{\frac{\pi}{2}} \frac{\cos t}{\sin t + \cos t} dt = \frac{\pi}{2} - \int_0^{\frac{\pi}{2}} \frac{\sin t}{\sin t + \cos t} dt;$$

de

$$y = \frac{\cos x}{\sin x + \cos x} \quad \text{és} \quad y = \frac{\sin x}{\sin x + \cos x}$$

egymás tükörképei az  $x = \frac{\pi}{4}$  egyenesre vonatkozólag. (Ez a

$$\cos\left(\frac{\pi}{4} - x\right) = \sin\left[\frac{\pi}{2} - \left(\frac{\pi}{4} - x\right)\right] = \sin\left(\frac{\pi}{4} + x\right)$$

összefüggésből azonnal belátható.)

Igy nyilván:

$$\int_0^{\frac{\pi}{2}} \frac{\cos t}{\sin t + \cos t} dt = \int_0^{\frac{\pi}{2}} \frac{\sin t}{\sin t + \cos t} dt,$$

ezért

$$\int_0^{\frac{\pi}{2}} \frac{\cos t}{\sin t + \cos t} dt = \frac{\pi}{4}.$$

Vagyis:

$$\int_0^1 \frac{dx}{x + \sqrt{1-x^2}} = \frac{\pi}{4}.$$

$$\begin{aligned} *41. \int_{-1}^{+1} \frac{dx}{x^2 - 2x \cos \alpha + 1} &= \int_{-1}^{+1} \frac{dx}{(x - \cos \alpha)^2 + \sin^2 \alpha} = \frac{1}{|\sin \alpha|} \left[ \arctg \frac{x - \cos \alpha}{\sin \alpha} \right]_{-1}^{+1} = \\ &= \frac{1}{|\sin \alpha|} \left[ \frac{\alpha}{2} + \arctg \left( \operatorname{ctg} \frac{\alpha}{2} \right) \right] = \frac{1}{|\sin \alpha|} \left[ \frac{\alpha}{2} - \frac{\pi}{2} - \arctg \left( \operatorname{ctg} \frac{\alpha}{2} \right) \right] = \frac{\pi}{2 |\sin \alpha|}. \end{aligned}$$

Közben felhasználtuk az

$$\frac{1 \mp \cos \alpha}{\sin \alpha} = \frac{2 \sin^2 \frac{\alpha}{2}}{2 \sin \frac{\alpha}{2} \cos \frac{\alpha}{2}} = \operatorname{tg} \frac{\alpha}{2}, \quad \text{ill.} \quad \frac{2 \cos^2 \frac{\alpha}{2}}{2 \sin \frac{\alpha}{2} \cos \frac{\alpha}{2}} = \operatorname{ctg} \frac{\alpha}{2},$$

$$\arctg (\operatorname{tg} \alpha) = \alpha \quad \text{és} \quad \arctg (-x) = -\arctg x$$

azonosságokat!

$$**42. \quad I(r) = \int_0^\pi \ln(1 - 2r \cos x + r^2) dx = ? \quad (\text{Poisson})^*.$$

Igazolható, hogy  $|r| \neq 1$  esetén az integrálandó folytonos és az integrál létezik. Előrebocsátjuk, hogy a *cosinus-tételen* nyugvó

$$(1 - |r|)^2 \leq 1 - 2r \cos x + r^2 \leq (1 + |r|)^2$$

nyilvánvaló egyenlőtlenséget logaritmizálva és 0-tól  $\pi$ -ig integrálva,  $|r| < 1$  esetben ezt kapjuk:

$$2\pi \ln(1 - |r|) \leq I(r) \leq 2\pi \ln(1 + |r|).$$

Ebből látható, hogy  $r \rightarrow 0$  esetén  $I(r) \rightarrow 0$ .

Lássuk most az

$$I(-r) = \int_0^\pi \ln(1 + 2r \cos x + r^2) dx$$

integrált!

Az  $x = \pi - t$  helyettesítéssel:

$$I(-r) = - \int_\pi^0 \ln[1 + 2r \cos(\pi - t) + r^2] dt = \int_0^\pi \ln(1 - 2r \cos t + r^2) dt = I(r).$$

\* L. DL. ФУХТЕНГОЛЬЦ и. т. II. к., 162—163. о.

Ennélfogva:

$$\begin{aligned} 2I(r) &= I(r) + I(-r) = \int_0^\pi \ln [(1 - 2r \cos x + r^2)(1 + 2r \cos x + r^2)] dx = \\ &= \int_0^\pi \ln (1 + 2r^2 + r^4 - 4r^2 \cos^2 x) dx = \int_0^\pi \ln (1 - 2r^2 \cos 2x + r^4) dx, \end{aligned}$$

lévén  $-4r^2 \cos^2 x = -2r^2(1 + \cos 2x)$ .

Újabb  $x = \frac{t}{2}$  helyettesítéssel:

$$2I(r) = \frac{1}{2} \int_0^{2\pi} \ln (1 - 2r^2 \cos t + r^4) dt = \frac{1}{2} \int_0^\pi + \frac{1}{2} \int_\pi^{2\pi}.$$

A  $\cos t$  értékkészlete  $\pi$  és  $2\pi$  közt ugyanaz lévén (tordított sorrendben), mint 0 és  $\pi$  között, fennáll:

$$2I(r) = \int_0^\pi \ln (1 - 2r^2 \cos t + r^4) dt = I(r^2),$$

azaz

$$I(r) = \frac{1}{2} I(r^2).$$

Az előbbi eljárást ismételve nyerjük:

$$I(r) = \frac{1}{2^n} I(r^{2^n}), \quad n = 1, 2, 3, \dots$$

*Legyen most  $|r| < 1$ ; akkor  $n \rightarrow \infty$  esetén  $r^{2^n} \rightarrow 0$  és (az előrebocsátott megjegyzés szerint) egyszersmind  $I(r^{2^n}) \rightarrow 0$ . Ennélfogva kell, hogy azonosan (azaz minden  $r$ -re)  $I(r) = 0$  legyen  $|r| < 1$  esetén!*

Ezekután könnyű kiszámítani az integrált az  $|r| > 1$  esetre is. Ekkor:

$$1 - 2r \cos x + r^2 = r^2 \left( 1 - 2 \frac{1}{r} \cos x + \frac{1}{r^2} \right)$$

és

$$\ln (1 - 2r \cos x + r^2) = 2 \ln |r| + \ln \left( 1 - 2 \frac{1}{r} \cos x + \frac{1}{r^2} \right),$$

úgy, hogy 0-tól  $\pi$ -ig integrálva mindkét oldalt, ezt kapjuk:

$$I(r) = 2\pi \ln |r| + I\left(\frac{1}{r}\right).$$

De az előbbieik szerint azonosan  $I\left(\frac{1}{r}\right) = 0$ ; következésképpen  $|r| > 1$  esetén

$$I(r) = 2\pi \ln |r|.$$

43. Igazolandó, hogy

$$e^x - e^{\ln 2} \int_1^x \frac{dx}{1 - e^{-x}} \equiv 1.$$

Számítsuk ki mindenekeelőtt a kitevőben szereplő integrált:

$$I = \int_{\ln 2}^x \frac{dx}{1 - e^{-x}} = \int_{\ln 2}^x \frac{e^x dx}{e^x - 1} = \ln(e^x - 1).$$

Ezek után az eredeti azonosság az

$$e^x - e^{\ln(e^x - 1)} = e^x - (e^x - 1) \equiv 1$$

azonosságba megy át.

$$44. \quad I = \int_{\sqrt{x}}^x \frac{dx}{x \sqrt{\ln x (1 - \ln x)}} = ?$$

$$45. \quad I = \int_0^1 e^{\arcsin x} dx = ?$$

$$46. \quad I = \int_0^1 \frac{x^4 dx}{x^4 + x^2 + 1} = ?$$

$$47. \quad I = \int_0^{\frac{\pi}{2}} \frac{\sin^3 \varphi d\varphi}{\sqrt{a^2 + b^2 - 2ab \cos \varphi}} = ?$$

### Műszaki alkalmazások

#### 1. PÁRHUZAMOS FEMHENGEREK KAPACITÁSA\*

A  $P$  pontban a *térerősség* (9. ábra)

$$a + Q \text{ töltés hatására: } E_+ = \frac{c}{\varepsilon} \cdot \frac{4\pi Q}{2\pi x l},$$

$a - Q$  töltés hatására:

$$E_- = \frac{c}{\varepsilon} \cdot \frac{4\pi Q}{2\pi (d - x) l};$$

az eredő *térerősség* pedig:

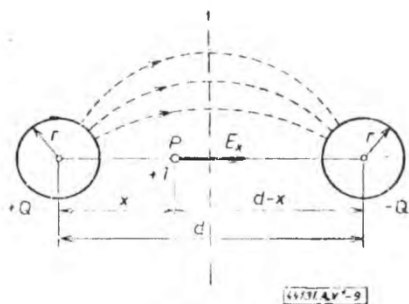
$$E_v = E_+ + E_- = \frac{c}{\varepsilon} \cdot \frac{2Q}{l} \left[ \frac{1}{x} + \frac{1}{d - x} \right],$$

ahol  $+Q$ , ill.  $-Q$  a bal-, illetve jobboldali henger töltése,  $l$  a hengerek hossza,  $c$  dimenziós állandó,  $\varepsilon$  a szigetelés dielektromos együtthatója.

A hengerek közti *feszültség*:

$$\begin{aligned} U &= + (U_+ - U_-) = \frac{c}{\varepsilon} \cdot \frac{2Q}{l} \int_r^d \left[ \frac{1}{x} + \frac{1}{d - x} \right] dx = \frac{c}{\varepsilon} \cdot \frac{2Q}{l} [\ln x - \ln (d - x)] \Big|_r^d \\ &= \frac{c}{\varepsilon} \cdot \frac{2Q}{l} \left[ \ln \frac{d}{d - r} \right] = \frac{c}{\varepsilon} \cdot \frac{Q}{l} \left[ \ln \frac{d - r}{r} - \ln \frac{d - r}{d - r} \right] = \frac{c}{\varepsilon} \cdot \frac{Q}{l} \ln \frac{d - r}{r}. \end{aligned}$$

\* Vö. [1], 2. m. II. fejelet.



9. ábra



A hengerek kapacitása pedig:

$$C = \frac{Q}{U} = \frac{\varepsilon}{c} \cdot \frac{l}{4 \ln \frac{d-r}{r}}.$$

## 2. MERCATOR TERKEP\*

Vetítsük az  $r$  sugarú gömb pontjait azon  $r$  sugarú egyenes körhengerre, amely a gömböt egyenlítő köre mentén érinti. — A gömb minden délköre ez esetben a henger egy-egy alkotójára képződik le. Még tetszőlegesen előírhatjuk, hogy a gömb egy  $v$  földrajzi hosszúságú,  $u$  szélességű  $P$  pontjának a megfelelő hengeralkotó milyen  $P'$  pontja feleljen meg (10. ábra).

Állapítsuk meg a leképezés törvényét azon követelmény alapján, hogy a gömb egy felületeleme és a henger megfelelő felületeleme hasonló (konform), azaz szög- és aránytartó legyen.

A gömb egyenlítőjének ( $r$  sugarú kör) képe a hengeren egy hasonló sugarú kör; kerülete  $2\pi r$ . Egy  $u$  szélességű paralel kör ( $2\pi r \cos u$  kerületű) képe ugyancsak  $2\pi r$  kerületű kör. Ez utóbbi körök  $dv$  hosszúságváltozáshoz tartozó ívelemei: a gömbön  $d\zeta = dv r \cos u$ , a hengeren  $dX = r dv$ , arányuk pedig:

$$\frac{dX}{d\zeta} = \frac{1}{\cos u}.$$

Egy délkörön a  $du$  szélesség-változáshoz tartozó ívelem  $d\eta = r du$ , a hengeren pedig a megfelelő  $dY$  ívelem úgy választandó, hogy a  $dx$   $dy$  és  $dX$   $dY$  megfelelő felületelemek hasonlósága fennálljon. Eszerint:

$$dY : d\eta = dX : d\zeta, \text{ vagy } dY = d\eta \frac{dX}{d\zeta} = r \frac{du}{\cos u}$$

Ebből következik, hogy:\*\*

$$Y = r \int \frac{du}{\cos u} = r \ln \operatorname{tg} \left( \frac{u}{2} + \frac{\pi}{4} \right).$$

Ha végül a Mercator-projekció után a hengert egy alkotója mentén felmetsszük és kiterítjük, akkor ez a gömb dél- és szélességi köreit függélyes és vízszintes egyenesekként szemlélített. A gömb egy  $u$  szélességű,  $v$  hosszúságú pontjának tehát a Mercator-térképen az

$$X = r v, \quad Y = r \ln \operatorname{tg} \left( \frac{u}{2} + \frac{\pi}{4} \right)$$

koordinátájú pont tevel meg.

A navigáció elméletében jelentős szerepet játszik a Mercator-térkép

$$Y = aX + b$$

egyenesének gömbi képe.

\* Lindow i. m.

\*\* A. IV. kt. 2. §. a. β) 15. és 16. pl.

Ekkor ugyanis a  $v$  és  $u$  között fennálló

$$v = \frac{1}{a} \ln \operatorname{tg} \left( \frac{u}{2} + \frac{\pi}{4} \right) - \frac{b}{ar}$$

összefüggés az

$$\begin{aligned} x &= r \cos u \cos v \\ y &= r \cos u \sin v \\ z &= r \sin u \end{aligned}$$

egyenletrendszerű gömbön az

$$\begin{aligned} x &= r \cos u \cos \left[ \frac{1}{a} \ln \operatorname{tg} \left( \frac{u}{2} + \frac{\pi}{4} \right) - \frac{b}{ar} \right] \\ y &= r \cos u \sin \left[ \frac{1}{a} \ln \operatorname{tg} \left( \frac{u}{2} + \frac{\pi}{4} \right) - \frac{b}{ar} \right] \\ z &= r \sin \left[ \frac{1}{a} \ln \operatorname{tg} \left( \frac{u}{2} + \frac{\pi}{4} \right) - \frac{b}{ar} \right] \end{aligned}$$

egyenletrendszerű, gömbi loxodróma nevű térgörbét jelöli ki. E térgörbe, miként konform képe is a Mercator térképen, olyan tulajdonságú, hogy a szélességi köröket állandó  $\alpha = \arctg a$  szög alatt metszi.

### 3. KONCENTRÁLT P ERŐ HATÁSÁRA ANIZOTROP RUGALMAS FÉLTÉRBE KELETKEZŐ FESZÜLTSEG\* (11. ábra)

Fröhlich szerint anizotrop rugalmas féltérben keletkező poláris feszültség:

$$\sigma_r = t P \frac{z^{1-\nu}}{r^\nu},$$

ahol  $\nu$  a Poisson-téle állandó függvénye és ugyanannál a talajféleségnél konstans;  $t$  egyelőre ismeretlen állandó. Az ismeretlen  $f$  arányossági tényező meghatározása céljából felírhatjuk az egyensúlyi egyenletet, mely szerint a poláris főfeszültségek függőleges vetülete egyensúlyt tart a  $P$  erővel:

$$\vartheta = \frac{\pi}{2}$$

$$\int_{\vartheta=0}^{\vartheta=\pi} \sigma_r \cos \vartheta dF = P.$$

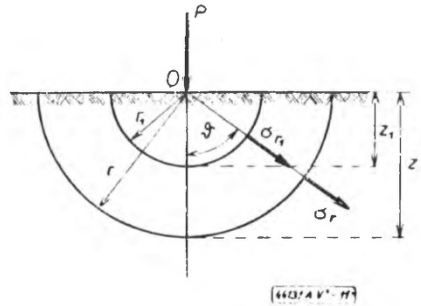
Itt

$$dF = 2r^2 \sin \vartheta d\vartheta.$$

tenát:

$$2\pi r^2 \int_{\vartheta=0}^{\vartheta=\pi} \sigma_r \cos \vartheta \sin \vartheta d\vartheta = P.$$

\* Széchy: Alapozás, I. k.



11. ábra

Mivel

$$\sigma_r = tP \int \frac{z^{v-2}}{r^v} \quad \text{és} \quad \frac{z}{r} = \cos \vartheta,$$

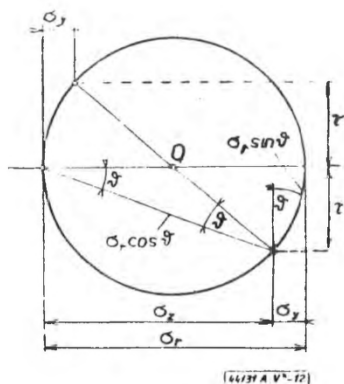
így:

$$tP \cdot 2r^2 \pi \int_{\vartheta=0}^{\vartheta=\frac{\pi}{2}} \frac{\cos^{v-2} \vartheta}{r^2} \cos \vartheta \sin \vartheta d\vartheta = P;$$

innen:

$$t = \frac{1}{2\pi \int_0^{\frac{\pi}{2}} \cos^{v-1} \vartheta \sin \vartheta d\vartheta}.$$

Az integrálást  $\cos \vartheta = u$  helyettesítéssel végrehajtva azt kapjuk, hogy:



12. ábra

Ezzel:

$$\sigma_r = \frac{\nu P}{2\pi r^2} \cos^{v-2} \vartheta.$$

Ez a képlet olyan testben keletkező feszültség-eloszlások sorozatát adja, amelyben nincs húzófeszültség. A  $\sigma_r$  főfeszültségből a 12. ábrán vázolt speciális Mohr-kör (ahol  $\sigma_1 = \sigma_r$  és  $\sigma_2 = 0$ ) segítségével lehet a többi feszültséget levezetni:

$$\sigma_z = \sigma_r \cos^2 \vartheta = \frac{\nu P}{2\pi r^2} \cos^v \vartheta,$$

$$\sigma_y = \sigma_r \sin^2 \vartheta = \frac{\nu P}{2\pi r^2} \cos^{v-2} \vartheta \sin^2 \vartheta.$$

$$\tau = \sigma_r \sin \vartheta \cos \vartheta = \frac{\nu P}{2\pi r^2} \cos^{v-1} \vartheta \sin \vartheta.$$

#### 4. VONALAS TERHELES HATÁSÁRA KELETKEZŐ FESZÜLTSG\*

A 13. ábrán látható jelölések mellett a  $dy$  szélességű elemi sávra  $p_0 dy$  nagyságú függőleges erő hat. Ennek a terhelésnek a hatására az  $A$  pontban Boussinesq szerint keletkező függőleges feszültség:

$$d\sigma_z = \frac{3p_0 dy}{2\pi r_i^3} \cos^3 \beta.$$

\* Széchy: Alapozás, I. kötet.

A vonalas terhelés nem más, mint a  $dy$  elemi szélességű sávokon működő elemi koncentrált terhelések összege; vagyis:

$$\sigma_z = \int_{y=-\infty}^{y=+\infty} d\sigma_z = \int_{y=-\infty}^{y=+\infty} \frac{3p_0}{2\pi r^2} \cos^3 \beta \, dy.$$

Lévéen

$$r_y = \frac{r}{\cos \alpha}; \quad dy = \frac{r_y \, d\alpha}{\cos \alpha}$$

$$\cos \beta = \frac{z}{r_y} = \frac{r \cos \alpha}{r} \cos \alpha,$$

így:

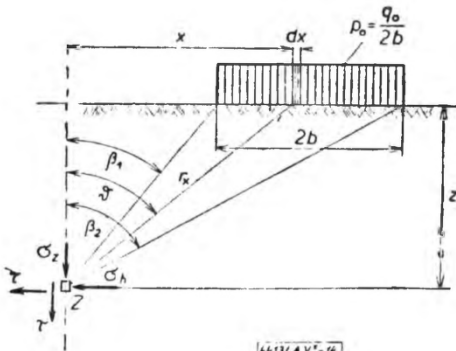
$$\sigma_z = \int_{\alpha=-\frac{\pi}{2}}^{\alpha=+\frac{\pi}{2}} \frac{3p_0}{2\pi} \frac{r \, d\alpha}{\cos^2 \alpha} \frac{\cos^2 \alpha}{r^2} \cos^3 \vartheta \cos^3 \alpha = \frac{3p_0}{2\pi r} \cos^3 \vartheta \int_{\alpha=-\frac{\pi}{2}}^{\alpha=+\frac{\pi}{2}} \cos^3 \alpha \, d\alpha.$$

Mivel

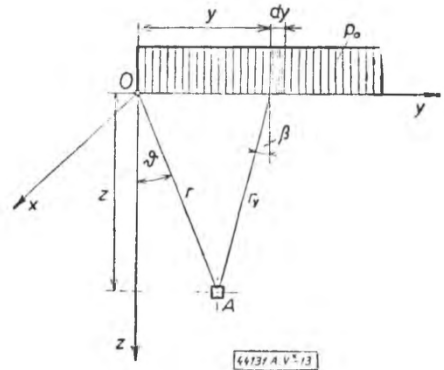
$$\begin{aligned} \int_{\alpha=-\frac{\pi}{2}}^{\alpha=+\frac{\pi}{2}} \cos^3 \alpha \, d\alpha &= \left[ \frac{1}{3} \sin \alpha \cos^2 \alpha \right]_{\alpha=-\frac{\pi}{2}}^{\alpha=+\frac{\pi}{2}} + \frac{2}{3} \int_{\alpha=-\frac{\pi}{2}}^{\alpha=+\frac{\pi}{2}} \cos \alpha \, d\alpha = \\ &= \left[ \frac{1}{3} \sin \alpha \cos^2 \alpha + \frac{2}{3} \sin \alpha \right]_{\alpha=-\frac{\pi}{2}}^{\alpha=+\frac{\pi}{2}} = \frac{2}{3} (1 + 1) = \frac{4}{3}, \end{aligned}$$

ezért végül:

$$\sigma_z = \frac{3p_0}{2\pi r} \cos^3 \vartheta \cdot \frac{4}{3} = \frac{2p_0}{\pi r} \cos^3 \vartheta.$$



14. ábra



13. ábra

#### 5 EGYENLETESEN MEGOSZLÓ SÁVTERHELÉS HATÁSÁRA LÉTREJÖVŐ FESZÜLTSEG\*

Vizsgáljuk a térszín alatti  $z$  mélységben fekvő  $Z$  pontban keletkező függőleges  $\sigma_z$  feszültségeket valamely  $q_0$  nagyságú egyenletesen megoszló sávterhelés alatt. (L. a 14. ábrát.)

A  $Z$  ponttól  $x$  vízszintes távolságban felvett végtelen kis  $dx$  szélességre ható  $dP = q_0 dx$  erő tulajdonképpen azonosnak vehető az élterhelés egységnyi hosszra jutó nagyságával,  $p_0$ -lal, vagyis

\* Széchy: Alapozás, I. kötet.

Boussinesq élterhelési képlete szerint a Z pontban fellépő elemi függőleges feszültség:

$$d\sigma_z = \frac{2q_0 dx}{\pi r} \cos^3 \vartheta.$$

Iévéen

$$r_x = \frac{z}{\cos \vartheta}; \quad x = z \operatorname{tg} \vartheta; \quad dx = \frac{z}{\cos^2 \vartheta} d\vartheta,$$

ezért:

$$d\sigma_z = \frac{2q_0 z d\vartheta}{\pi z^2 \cos^2 \vartheta} \cos \vartheta \cos^3 \vartheta = \frac{2q_0}{\pi} \cos^2 \vartheta d\vartheta.$$

Innen:

$$\int_{\vartheta=\beta_1}^{\vartheta=\beta_2} d\sigma_z = \frac{2q_0}{\pi} \int_{\vartheta=\beta_1}^{\vartheta=\beta_2} \cos^2 \vartheta d\vartheta = \frac{2q_0}{\pi} \left[ \frac{1}{2} \sin \vartheta \cos \vartheta + \frac{\vartheta}{2} \right]_{\vartheta=\beta_1}^{\vartheta=\beta_2}.$$

A határokat behelyettesítve:

$$\sigma_z = \frac{q_0}{\pi} [\sin \beta_2 \cos \beta_2 - \sin \beta_1 \cos \beta_1 + (\beta_2 - \beta_1)],$$

azaz a keresett függőleges feszültség:

$$\sigma_z = \frac{q_0}{\pi} [\sin (\beta_2 - \beta_1) \cos (\beta_2 + \beta_1) + (\beta_2 - \beta_1)].$$

#### 6. PARABOLIKUSAN MEGOSZLO SAVTERHELES HATÁSÁRA LETREJÖVŐ FESZÜLTSG\*

A 15. ábrán látható *parabolikus terhelésre* érvényes a következő összefüggés:

$$q = q_{\max} \left( 1 - \frac{x^2}{b^2} \right) = \frac{3}{2} q_0 \left( 1 - \frac{x^2}{b^2} \right),$$

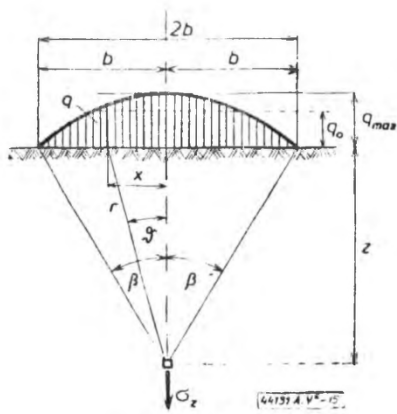
ahol  $q_0$  jelenti a képzelte átlagos nyomást.

A vonalas terhelésből (lásd a 4. pl. végeredményét):

$$\sigma_z = \frac{2q}{\pi r} \cos^3 \vartheta$$

A tengelyvonalban fellépő függőleges nyomófeszültsége  $q = q dx$  összefüggés alapján történő integrálással nyerjük:

$$\sigma_z = \frac{2}{\pi} \int_{x=0}^{x=b} \frac{3}{2} q_0 \left( 1 - \frac{x^2}{b^2} \right) dx \frac{1}{r} \cos^3 \vartheta.$$



15. ábr.

\* Seech. Alapozás. I. kötet.

Minthogy

$$r = \frac{z}{\cos \vartheta}, \quad dx = \frac{d\vartheta}{\cos^2 \vartheta} z \quad \text{és} \quad x = r \sin \vartheta,$$

ezért:

$$\sigma_z = \frac{6}{\pi} q_0 \left\{ \int_0^{\beta} \cos^2 \vartheta \, d\vartheta - \frac{z^2}{b^2} \int_0^{\beta} \sin^2 \vartheta \, d\vartheta \right\}.$$

Ha bevezetjük a

$$\frac{z}{b} = \cotg \beta$$

jelölést, az integrálás elvégzése után kapjuk, hogy:

$$\sigma_z = \frac{3}{\pi} q_0 \{ \cotg \beta + \beta (1 - \cotg^2 \beta) \}.$$

#### 7. KÚPOS CSŐ HIDRAULIKUS ELLENÁLLÁSA\*

Meghatározandó a kúpos cső ellenállása, ha feltételezzük, hogy a cső egy elemi szakaszára a *hidraulikus ellenállási tényező meghatározható a sebesség és az átmérő függvényében*. A cső hossza  $L$ , az elején az átmérő  $D_1$ , a végén  $D_2$  ( $D_1 > D_2$ ).

Oldjuk meg a feladatot külön a *lamináris* és külön a *turbulens* áramlás esetére!

A kúpos cső ellenállása egy  $[x, x + dx]$  elemi szakaszon:  $i_x dx$ , a teljes csőre pedig:

$$h_r = \int_0^L i_x \, dx,$$

ahol a *Lejbenzon*-formula szerint:

$$i_x = \beta \frac{Q^{2-m} v^m}{d^{5-m}}.$$

Ilyen módon:

$$h_r = \beta Q^{2-m} v^m \int_0^L \left| D_1 - \frac{x}{L} (D_1 - D_2) \right|^{5-m} dx.$$

Az integrálást végrehajtva, kapjuk a kúpos,  $L$  hosszúságú cső *hidraulikus ellenállására*:

$$h_r = \frac{\beta Q^{2-m} v^m}{(D_1 - D_2) (4-m)} \left| \frac{1}{D_2^{4-m}} - \frac{1}{D_1^{4-m}} \right|.$$

*Lamináris* áramlás esetén:  $m = 1$ ;  $\beta = 4,16$ ;  $\frac{\beta}{4-m} = \frac{4,16}{3} = 1,39$ .

\* Л. Яблонский 1. м. 76. о.

*Turbulens áramlás esetén:*  $m = 0,25$ ;  $\beta = 0,0246$ ;  $\frac{\beta}{4-m} = 0,00656$ ;

$$m = 0; \quad \beta = \frac{8\lambda}{\pi^2 g}; \quad \frac{\beta}{4-m} = \frac{2\lambda}{\pi^2 g}.$$

8. Egy test mozgásának sebességét a  $v = \sqrt{1+t}$  m/sec formula szolgáltatja. Mekkora utat tesz meg a test a mozgás kezdetétől számított 10 sec alatt?

9. Az abszcissa-tengelymenti harmonikus rezgőmozgás  $v$  sebessége:

$$v = \frac{dx}{dt} = \frac{2\pi}{T} \cos\left(\frac{2\pi t}{T} + \varphi_0\right),$$

ahol  $t$  az idő,  $T$  egy teljes rezgés ideje (periódusa),  $\varphi_0$  a kezdő fázis. Határozzuk meg a pont helyzetét a  $t_1$  időpillanatban, ha tudjuk, hogy a  $t_1$  időpillanatban a pont az  $x = x_1$  helyen van.

*Oldjuk meg az alábbi, vegyészmérnöki számításokban előforduló feladatokat\**

10. Az  $x \, dy = 2k \, dx$  differenciálegyenlet  $x(0) = a$  feltételt kielégítő  $x = x_0(y)$  megoldását felhasználva, állapítsuk meg a

$$V = \pi \int_0^{y_1} x_0^2(y) \, dy$$

integrál értékét (lásd hátul).

$$11. \quad \int_{\omega_0}^{\omega_1} \frac{d\omega}{g\omega^3 + \omega^{\frac{5}{3}}} = ? \quad \text{Helyettesítés: } t = \omega^{\frac{1}{3}}.$$

$$12. \quad \int_0^1 [e^{EL^m} (y_{n0} - Y_{n-1}) + Y_{n-1}] \, d\omega,$$

ahol  $E, L, y_{n0}, Y_{n-1}$  állandó.

$$13. \quad A = 232 + \int_{17.1}^t [0,000374 t + 0,251] \, dt = ?$$

$$14. \quad \int_0^{c_0} (62,6 - c)^2 (c - c_e) \, dc = ?$$

\* *Cell: Engineering Problems.*

**\*\* 15. VÉKONYFALÚ CSÖBEN FELLEPO NYOMATEKOK MEGHATÁROZÁSA  
EGYENLETESEN MEGOSZLÓ TERHELÉS ESETÉN\***

A 16. ábrán látható vékonyfalú csőre  $p$  intenzitású egyenletesen megoszló terhelés hat. Meghatározandó a veszélyes  $O, C, A$  pontokban keletkező nyomaték.

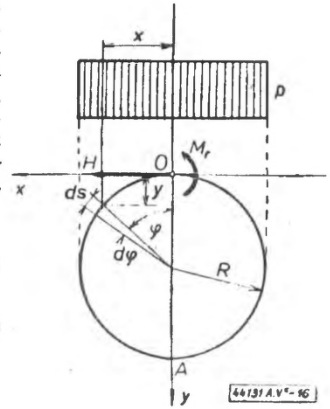
*Castigliano tétele* szerint az alakváltozási munka parciális differenciálhányadosa\*\* az erő, vagy a nyomaték szerint az erő, illetve nyomaték okozta elmozdulás, illetve elfordulás nagyságát adja meg. *Feakció* erő, illetve reakció nyomaték esetében zérus elmozdulást, illetve elfordulást kapunk.

Ha tehát a 16. ábrán látható csövet az  $O$  pontban az alkotó mentén elvágva és  $A$ -ban befalazva képzeljük, és az eltávolítva képzelt rész hatását az elvágás helyén  $H$  reakcióerővel és  $M_r$  reakciónyomatékkal pótoljuk, akkor felírható, hogy:

$$\frac{\partial L}{\partial H} = 0 \quad \text{és} \quad \frac{\partial L}{\partial M_r} = 0. \quad (1)$$

A teljes alakváltozási munka differenciálja a mechanika tanítása szerint:

$$dL = \frac{P^2}{2EF} ds + \frac{N^2}{2gF} ds + \frac{M^2}{2EI} ds,$$



16. ábra

ahol az első tag a nyomásból, a második a nyírásból, a harmadik pedig a hajlításból származó alakváltozási munka differenciálját jelenti. Az első két tag esetünkben a harmadik mellett elhanyagolható, tehát a továbbiakban:

$$dL = \frac{M^2}{2EI} ds. \quad (2)$$

az (1) és (2) összevetéséből nyerjük, hogy:

$$\frac{\partial L}{\partial H} = \int_0^{\pi\pi} \frac{M}{EI} \frac{\partial M}{\partial H} ds = 0. \quad (3)$$

$$\frac{\partial L}{\partial M_r} = \int_0^{\pi\pi} \frac{M}{EI} \frac{\partial M}{\partial M_r} ds = 0. \quad (4)$$

A hajlító nyomaték kifejezése:

$$M = M_r + H y + M_k,$$

ahol  $M_k$  külső erők nyomatéka.

Ebből:

$$\frac{\partial M}{\partial H} = y \quad \text{és} \quad \frac{M}{M_r} = 1.$$

Ezzel a (3) és (4) az alábbi alakban írható:

$$\int_0^{\pi\pi} M y ds = 0, \quad \text{vagyis} \quad \int_0^{\pi\pi} (M_r + H y + M_k) y ds = 0 \quad (5)$$

\* Nemeth: Csacornazas.

\*\* A parciális deriváltakról bővebben az A. VII. fejeletben.



és

$$\int_0^{R\pi} M ds = 0, \quad \text{vagyis} \quad \int_0^{R\pi} (M_r + H \nu + M_k) ds = 0. \quad (6)$$

Célszerű most áttérni *polárkoordinátákra*. A 16. ábra szerint:

$$ds = R d\varphi, \quad \nu = R(1 - \cos \varphi), \quad x = R \sin \varphi.$$

Ezen értékeket az (5)-be behelyettesítve, nyerjük:

$$R^2 M_r \int_0^\pi (1 - \cos \varphi) d\varphi + HR^2 \int_0^\pi (1 - \cos \varphi)^2 d\varphi + R^2 \int_0^\pi M_k (1 - \cos \varphi) d\varphi = 0;$$

innen:

$$M_r + \frac{3}{2} HR = -\frac{1}{\pi} \int_0^\pi M_k d\varphi + \frac{1}{\pi} \int_0^\pi M_k \cos \varphi d\varphi. \quad (7)$$

Ugyanígy a (6)-ból kapjuk:

$$M_k R \pi + H R^2 \int_0^\pi (1 - \cos \varphi) d\varphi + R \int_0^\pi M_k d\varphi = 0;$$

innen:

$$M_r + HR = -\frac{1}{\pi} \int_0^\pi M_k d\varphi. \quad (8)$$

Bevezetve az

$$\int_0^\pi M_k d\varphi = I_1, \quad \text{és} \quad \int_0^\pi M_k \cos \varphi d\varphi = I_2,$$

jelöléseket, a (7) és (8) a következő alakban írható:

$$M_r + \frac{3}{2} HR = -\frac{1}{\pi} I_1 + \frac{1}{\pi} I_2, \quad (9)$$

és

$$M_r + HR = -\frac{1}{\pi} I_1. \quad (10)$$

Az  $I_1$  és  $I_2$  integrálok a külső terhelés ismeretében meghatározhatók. Ielen példában a *külső terhelés egyenletesen megoszló*. Ennek megfelelően az  $M_k$  nyomaték

a  $\left[0, \frac{\pi}{2}\right]$  között:

$$M_k = p R \sin \varphi - \frac{R \sin \varphi}{2} - \frac{p}{2} R^2 \sin^2 \varphi$$

a  $\left[\frac{\pi}{2}, \pi\right]$  között pedig:

$$M_k = p R \left( R \sin \varphi - \frac{R}{2} \right) = \frac{p}{2} R^2 (2 \sin \varphi - 1).$$

Ezek figyelembevételével az  $I_1$  és  $I_2$  integrál így alakul:

$$I_1 = \int_0^{\pi} M_k d\varphi = \frac{p}{2} R^2 \left[ \int_0^{\frac{\pi}{2}} \sin^2 \varphi d\varphi + \int_{\frac{\pi}{2}}^{\pi} (2 \sin \varphi - 1) d\varphi \right] =$$

$$= \frac{pR^2}{2} \left[ \frac{\varphi}{2} - \frac{1}{4} \sin^2 2\varphi \right]_0^{\frac{\pi}{2}} + \frac{pR^2}{2} \left[ -2 \cos \varphi - \varphi \right]_{\frac{\pi}{2}}^{\pi} = \frac{pR^2}{2} \left[ \frac{\pi}{4} \right] - \frac{pR^2}{2} \left[ 2 - \frac{\pi}{2} \right] = 1,215 \frac{pR^2}{2}.$$

továbbá

$$I_2 = \int_0^{\pi} M_k \cos \varphi d\varphi = \frac{pR^2}{2} \left[ \int_0^{\frac{\pi}{2}} \sin^2 \varphi \cos \varphi d\varphi + \int_{\frac{\pi}{2}}^{\pi} 2 \sin \varphi \cos \varphi d\varphi - \int_{\frac{\pi}{2}}^{\pi} \cos \varphi d\varphi \right] =$$

$$= \frac{pR^2}{2} \left\{ \left[ \frac{\sin^3 \varphi}{3} \right]_0^{\frac{\pi}{2}} + \left[ \sin^2 \varphi \right]_{\frac{\pi}{2}}^{\pi} - \left[ \sin \varphi \right]_{\frac{\pi}{2}}^{\pi} \right\} = \frac{pR^2}{2} \left( \frac{1}{3} - 1 + 1 \right) = \frac{pR^2}{6}.$$

Az  $I_1$ -re és  $I_2$ -re kapott értékeket behelyettesítve a (9) és (10)-es egyenletbe, ezt kapjuk:

$$M_r + \frac{3}{2} HR = - \frac{1,215}{2\pi} pR^2 + \frac{1}{6\pi} pR^2,$$

valamint

$$M_r + HR = - \frac{1,215}{2\pi} pR^2.$$

Ezen lineáris egyenletrendszerből az ismeretlen  $M_r$ -re, ill.  $H$ -ra a következő érték adódik:

$$H = 0,1061 pR, \quad \text{ill.} \quad M_r = -0,2994 pR^2$$

Ha vizsgálatainkat hasonló módon a  $C$  és  $A$  pontra is elvégezzük, akkor

$$M_C = +0,3067 pR^2$$

és

$$M_A = -0,5872 pR^2$$

eredményt kapunk. Az  $M_A$  csak pontszerű alátámasztás esetén igaz, a cső viszont egy körív mentén fekszik fel; ezért ezt az értéket nem vesszük figyelembe. A gyakorlatban az

$$|M_r| = |M_C| \approx 0,30 pR^2$$

értékkel számolunk

## e) Középértéktételek. Függvény-középértékek. Integrálok becslése

## Középértéktételek\*

 **$\alpha$ ) Az integrálszámítás első középértéktétele**

Ha az  $a \leq x \leq b$  közön  $\varphi(x)$  integrálható és előjelét nem váltja, pl.  $\varphi(x) \geq 0$ , továbbá  $f(x)$  ott folytonos, akkor van egy, e közbe eső  $\xi$  érték, amelyre áll:

$$\int_a^b f(x) \varphi(x) dx = f(\xi) \int_a^b \varphi(x) dx, \text{ azaz } f(\xi) = \frac{\int_a^b f(x) \varphi(x) dx}{\int_a^b \varphi(x) dx}, \quad a \leq \xi \leq b.$$

Bár a  $\xi$  helyzete nem ismeretes, a tétel mégis jelentős, elméleti és gyakorlati szempontból egyaránt.

Ha  $f(x)$  ott nem folytonos, csak  $m \leq f(x) \leq M$  módon korlátos, akkor:

$$\int_a^b f(x) \varphi(x) dx = \mu \int_a^b \varphi(x) dx, \quad \text{ahol } m \leq \mu \leq M.$$

 **$\beta$ ) Az integrálszámítás Bonnet-féle középértéktétele**

Ha az  $a \leq x \leq b$  közön  $f(x)$  és  $\varphi(x)$  integrálható függvények, amelyek közül  $\varphi(x)$  monoton csökkenő, nem-negatív, tehát  $\varphi(a) > \varphi(b) \geq 0$ , akkor van egy, e közbe eső  $\xi$  érték, amelyre áll:

$$\int_a^b f(x) \varphi(x) dx = \varphi(a) \int_a^{\xi} f(x) dx, \quad a \leq \xi \leq b.$$

Ha ugyanazon közön  $\varphi(x)$  monoton növekvő, nem-negatív, tehát  $\varphi(b) > \varphi(a) \geq 0$ , akkor:

$$\int_a^b f(x) \varphi(x) dx = \varphi(b) \int_{\xi}^b f(x) dx, \quad a \leq \xi \leq b.$$

(E képleteket Bonnet-formuláknak is nevezik.)

 **$\gamma$ ) Az integrálszámítás második középértéktétele**

Ha  $f(x)$  és  $\varphi(x)$  az  $a \leq x \leq b$  közön integrálható függvények, s közülük  $\varphi(x)$  monoton, akkor van egy, e közbe eső  $\xi$ -érték, amelyre áll:

$$\int_a^b f(x) \varphi(x) dx = \varphi(a) \int_a^{\xi} f(x) dx + \varphi(b) \int_{\xi}^b f(x) dx, \quad a \leq \xi \leq b.$$

\* L. pl. Фихтенгольц 1. т. II. к., 133. és köv. o.

### Függvény - középértékek\*

δ) A függvény  
középértéke

Ha az α) alatti tételben  $\varphi(x) = 1$ , azaz  $\int_a^b \varphi(x) dx = b - a$ ,

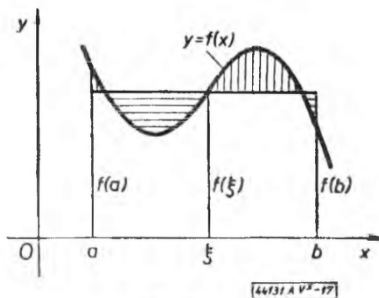
akkor:

$$\int_a^b f(x) dx = f(\xi) (b - a), \text{ azaz } f(\xi) = \frac{1}{b-a} \int_a^b f(x) dx, \text{ ahol } a \leq \xi \leq b.$$

Ezt az  $f(\xi)$ -értéket az  $f(x)$  függvény  $a \leq x \leq b$  közre vonatkozó középértékének nevezzük. Geometriailag  $f(\xi)$  azon  $(b - a)$  alapú téglalap magassága, melynek területe megegyezik az  $a \leq x \leq b$  közön az  $f(x)$  görbéje alatti területtel (17. ábra). Ilyen értelemben szoktunk beszélni változó hőmérséklet, nyomás, sebesség, feszültség egy időközre vonatkozó középértékéről.

Ha  $f(x)$  ott nem folytonos, úgy:

$$\int_a^b f(x) dx = \mu(b - a), \quad m \leq \mu \leq M.$$



17. ábra

Az  $f(\xi)$ , illetve  $\mu$  középértéket az  $f(x)$  függvény  $[a, b]$  szakaszra vonatkozó számtani (v. aritmetikai) közepének is nevezik, mint az elemekből ismert számtani közép általánosítását; ugyanis  $b - a = n \Delta x$ , esetén:

$$\lim_{n \rightarrow \infty} \frac{f(x_1) + f(x_2) + \dots + f(x_n)}{n} = \frac{1}{b-a} \lim_{\Delta x_i \rightarrow 0} \sum_{i=1}^n f(x_i) \Delta x_i = \frac{1}{b-a} \int_a^b f(x) dx.$$

ε) A függvény  
kvadratis  
(effektív)  
középértéke

Nem egyéb, mint a függvény négyzetének középértékéből vont négyzetgyök:

$$f = + \sqrt{\frac{1}{b-a} \int_a^b f^2(x) dx}.$$

Az  $a \leq x \leq b$  közön (szakaszonként) folytonos  $f(x)$  függvény e közre vonatkozó közép értéke kvadratis középértékénél nagyobb nem lehet; e két középérték csak akkor egyenlő, ha  $f(x)$  (szakadási helyeit kivéve) állandó. Tehát:

$$\sqrt{\frac{1}{b-a} \int_a^b f(x) dx} \leq \sqrt{\frac{1}{b-a} \int_a^b f^2(x) dx}.$$

\* L. pl. Stachó i. m. 186. és köv. o.

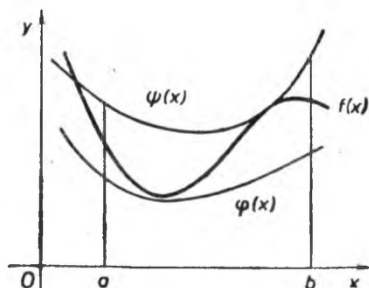
Ez utóbbi egyenlőtlenség az  $\epsilon$ ) alatt ismertetendő Schwarz — Bunjakovszkij-féle egyenlőtlenség fontos következménye.

A kvadratikus középérték jelentős szerepet játszik pl. a váltakozó áramok elméletében, a hibaelméletben stb.

### Integrálok becslése\*

#### ζ) Egyenlőtlenségek integrálhatósága

Ha az  $a \leq x \leq b$  közön  $\varphi(x) \leq f(x) \leq \psi(x)$  (18. ábra) és ott mindhárom függvény integrálható, akkor áll:



[6413/A. V. 18.]

18. ábra

$$\int_a^b \varphi(x) dx \leq \int_a^b f(x) dx \leq \int_a^b \psi(x) dx.$$

Az egyenlőség jele elhagyható, ha a köz valamely szakaszán az  $f(x) - \varphi(x)$  és  $\psi(x) - f(x)$  különbség pozitív, azaz  $> 0$ .

Az egyenlőtlenségek tehát integrálhatók. Viszont nem differenciálhatók!

#### η) Integrálok becslése

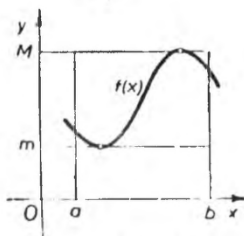
Ha az  $[a, b]$  szakaszon az  $f(x)$  maximuma  $M$  és minimuma  $m$ , az az  $e$  szakaszon  $m \leq f(x) \leq M$ , akkor a  $\zeta$ ) szerint  $[\varphi(x) = m, \psi(x) = M]$ :

$$m(b-a) \leq \int_a^b f(x) dx \leq M(b-a).$$

#### θ) Integrálok abszolút értékének becslése

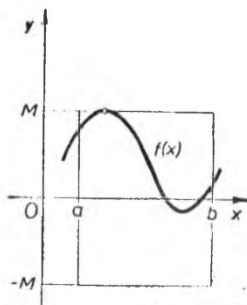
Ha az  $[a, b]$  szakaszon  $f(x) \leq M$ , vagy másként  $-M \leq f(x) \leq +M$ , akkor a  $\zeta$ ) értelmében  $[\varphi(x) = -M \text{ és } \psi(x) = +M]$ :

$$-M(b-a) \leq \int_a^b f(x) dx \leq +M(b-a),$$



[6413/A. V. 19.]

19. ábra



[6413/A. V. 20.]

20. ábra

\* L. pl. *Berimant* i. m. I. k., 294. és köv. o.

azaz

$$\left| \int_a^b f(x) dx \right| \leq M(b-a).$$

Az  $\eta)$  és  $\vartheta)$  geometriai jelentését a 19. és 20. ábrán szemlélhetjük.

4) A Schwarz-Bunjakovszkij-féle egyenlőtlenség

Ha  $f(x)$  és  $\varphi(x)$  az  $a \leq x \leq b$  közön szakaszonként folytonos, akkor:

$$\left[ \int_a^b f(x) \varphi(x) dx \right]^2 \leq \int_a^b f^2(x) dx \cdot \int_a^b \varphi^2(x) dx.$$

Az egyenlőség csak akkor következik be, ha (végezzük a pont kivételével)  $f(x) = C \varphi(x)$ , ahol  $C$  egy állandó szám.

Ha  $\varphi(x) = 1$ , akkor:

$$\left| \int_a^b f(x) dx \right|^2 \leq \int_a^b f^2(x) dx (b-a),$$

ami átrendezés után a közönséges és kvadrátikus középérték fentebbi egyenlőtlenségét adja.

Ha  $b-a = nh$  és a  $k$ -ik részs szakaszon  $f(x) = a_k$  és  $\varphi(x) = b_k$  állandó, akkor a

$$\left| \sum_{k=1}^n a_k b_k \right|^2 \leq \sum_{k=1}^n a_k^2 \cdot \sum_{k=1}^n b_k^2$$

Cauchy-féle egyenlőtlenségre jutunk.

### Példák és feladatok

$\alpha - \gamma$  1-3. Szemléltessük az  $\alpha) - \gamma)$ -ban ismertetett középértéktételeket a következő adatok mellett:

$$f(x) = x^2, \quad \varphi(x) = \frac{1}{x}, \quad 1 \leq x \leq 2.$$

ad  $\alpha)$  A  $\varphi(x)$  az  $[1, 2]$  közön integrálható és előjelét nem váltja,  $f(x)$  pedig folytonos. Így az első középértéktétel szerint:

$$\begin{aligned} \int_a^b f(x) \varphi(x) dx &= \int_1^2 \frac{x^2}{x} dx = \int_1^2 x dx = \frac{3}{2} = \\ &= f(\xi) \int_a^b \varphi(x) dx = \xi^2 \int_1^2 \frac{dx}{x} = \xi^2 \ln 2. \end{aligned}$$

Ebből a középérték és annak helye:

$$f(\xi) = \xi^2 = \frac{3}{2 \ln 2} \quad \text{és} \quad \xi = \sqrt{\frac{3}{2 \ln 2}}.$$

ad  $\beta$ ) A  $\varphi(x)$  monoton csökkenő az  $1 \leq x \leq 2$  közön, és ugyanott  $f(x)$  és  $\varphi(x)$  egyaránt integrálhatók. Így a Bonnet-féle középértéktétel értelmében írhatjuk:

$$\int_a^b f(x) \varphi(x) dx = \int_1^2 x^2 dx = \frac{3}{2} = \varphi(a) \int_a^b f(x) dx = \frac{1}{1} \int_1^2 x^2 dx = \frac{1}{3} (\xi^3 - 1),$$

azaz

$$\frac{9}{2} + 1 = \frac{11}{2} = \xi^3.$$

A középérték és helye tehát:

$$f(\xi) = \xi^2 = \left(\frac{11}{2}\right)^{\frac{2}{3}} \quad \text{és} \quad \xi = \sqrt[3]{\frac{11}{2}}.$$

ad  $\gamma$ ) Az  $f(x)$  és  $\varphi(x)$  integrálható és  $\varphi(x)$  monoton az  $1 \leq x \leq 2$  megadott szakaszon. ezért a második középértéktétel szerint fennáll:

$$\begin{aligned} \int_a^b f(x) \varphi(x) dx &= \int_1^2 x^2 dx = \frac{3}{2} = \varphi(a) \int_a^b f(x) dx + \varphi(b) \int_{\xi}^b f(x) dx = \\ &= \frac{1}{1} \int_1^2 x^2 dx + \frac{1}{2} \int_{\xi}^2 x^2 dx. \end{aligned}$$

vagyis

$$\frac{3}{2} = \frac{1}{3} (\xi^3 - 1) + \frac{1}{6} (8 - \xi^3).$$

ebből:

$$9 = 2\xi^3 - 2 + 8 - \xi^3 = 6 + \xi^3.$$

A középérték és helye tehát:

$$f(\xi) = \xi^2 = 3^{\frac{2}{3}}, \quad \text{és} \quad \xi = \sqrt[3]{3}.$$

Figyelemre méltó, hogy ezen egyszerű esetben mindhárom középértéket és középérték helyet meg tudtuk határozni. Mint látható, ezek különböző értékek

4-6. Előző példánkban az  $x^2$  is monoton az  $[1, 2]$  szakaszon, ezért dolgozhatunk volna az  $f(x) = \frac{1}{x}$ ,  $\varphi(x) = x^2$  választással is. Végezzük el ez esetre is a fenti számításokat.

[A  $\beta$ ] esetben ügyeljünk arra, hogy az előbbi esettel ellentétben a  $\varphi(x)$  itt monoton növekvő, nem-negatív függvény.

\*7. Az első középértéktétel szerint:

$$\int_a^b \sin x \cos x \, dx = \cos \xi \int_a^b \sin x \, dx, \quad (0 \leq a < b \leq \pi).$$

Mutassuk meg, hogy  $\cos \xi = \frac{1}{2}(\cos a + \cos b)$  és  $a < \xi < b$ .

Integráljuk mindkét oldalt:

$$\int_a^b \sin x \cos x \, dx = \left[ \frac{\sin^2 x}{2} \right]_a^b = \frac{1 - \cos 2b - 1 + \cos 2a}{4},$$

és

$$\int_a^b \sin x \, dx = [-\cos x]_a^b = \cos a - \cos b.$$

Ezekből:

$$\frac{1}{4}(\cos 2a - \cos 2b) = \cos \xi(\cos a - \cos b).$$

Innen (mivel a  $[0, \pi]$  intervallumban  $\cos a \neq \cos b$ ):

$$\begin{aligned} \cos \xi &= \frac{1}{4} \frac{\cos 2a - \cos 2b}{\cos a - \cos b} = \frac{1}{4} \frac{\cos^2 a - \sin^2 a - \cos^2 b + \sin^2 b}{\cos a - \cos b} = \\ &= \frac{1}{4} \frac{-1 + 2\cos^2 a + 1 - 2\cos^2 b}{\cos a - \cos b} = \frac{1}{2} \frac{\cos^2 a - \cos^2 b}{\cos a - \cos b} = \frac{1}{2}(\cos a + \cos b). \end{aligned}$$

Mivel  $\cos a > \cos b$ , ha  $0 \leq a < b \leq \pi$ , így  $\cos \xi$  a kettő számtani közepe lévén:

$$\cos a > \cos \xi > \cos b \text{ és megfelelően } a < \xi < b.$$

δ 1. Határozzuk meg az  $e^x$  függvény középértékét a  $[-1, +1]$  intervallumban.

A megadott formula szerint a kért középérték:

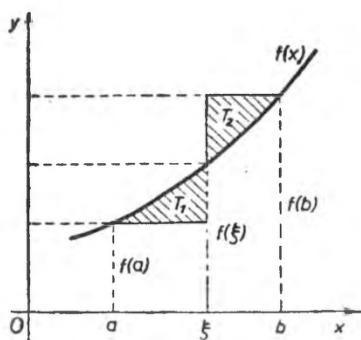
$$\begin{aligned} f(\xi) &= \frac{1}{b-a} \int_a^b f(x) \, dx = \frac{1}{1-(-1)} \int_{-1}^{+1} e^x \, dx = \frac{1}{2} [e^x]_{-1}^{+1} = \\ &= \frac{1}{2} (e^1 - e^{-1}) = \operatorname{sh} 1 \approx 1,175 \dots \end{aligned}$$

Az eredményből láthatóan nem derül ki, hogy az  $y = e^x$  folytonos függvény  $e$  középértékét hol veszi fel. Függvénytáblázatból kiolvashatjuk, hogy  $e$  hely közelítőleg:

$$\xi \approx 0,16.$$



2. Az  $y = f(x)$  görbe  $[a, b]$  szakaszmenti darabjához keressük meg azon  $\xi$  helyet, hogy a 21. ábrán sraffozással jelölt  $T_1$  és  $T_2$  területek egyenlők legyenek  $[f(a) \neq f(b)]$ .



21. ábra

Nyilván:

$$T_1 = \int_a^{\xi} f(x) dx - (\xi - a) f(a)$$

és

$$T_2 = (b - \xi) f(b) - \int_{\xi}^b f(x) dx.$$

A feltétel szerint e kettő egyenlő, tehát:

$$\int_a^{\xi} f(x) dx - (\xi - a) f(a) = (b - \xi) f(b) - \int_{\xi}^b f(x) dx.$$

Rendezve, továbbá figyelembe véve, hogy

$$\int_a^{\xi} f(x) dx + \int_{\xi}^b f(x) dx = \int_a^b f(x) dx \quad [1. c. \alpha_2],$$

és  $\xi$ -t kifejezve kapjuk:

$$\xi = \frac{a f(a) - b f(b)}{f(a) - f(b)} + \frac{1}{f(a) - f(b)} \int_a^b f(x) dx.$$

Ez geometriailag azon  $\xi$  helyet jelenti, melyre

$$[f(b) - f(a)] \xi = \int_{f(a)}^{f(b)} \varphi(y) dy,$$

ahol  $x = \varphi(y)$  az  $y = f(x)$  inverze, vagyis az  $f(b) - f(a)$  alapú,  $\xi$  magasságú téglalap területe egyenlő az  $y = f(x)$  görbe (illetve  $x = \varphi(y)$  inverzgörbe) és az  $y$ -tengely közötti területtel az  $[a, b]$  (illetve  $[f(a), f(b)]$ ) szakaszon.

3. Az előző feladat eredményét alkalmazzuk az

$$y = \alpha x^2 + \beta x + \gamma$$

parabola esetére.

Itt :

$$f(a) = \alpha a^2 + \beta a + \gamma,$$

$$f(b) = \alpha b^2 + \beta b + \gamma$$

és

$$\int_a^b f(x) dx = \alpha \int_a^b x^2 dx + \beta \int_a^b x dx + \gamma \int_a^b dx =$$

$$= \frac{\alpha}{3} (b^3 - a^3) + \frac{\beta}{2} (b^2 - a^2) + \gamma (b - a).$$

Ezekkel:

$$\xi = \frac{\alpha a^3 + \beta a^2 + \gamma a - \alpha b^3 - \beta b^2 - \gamma b + \frac{\alpha}{3} (b^3 - a^3) + \frac{\beta}{2} (b^2 - a^2) + \gamma (b - a)}{\alpha a^2 + \beta a + \gamma - \alpha b^2 - \beta b - \gamma}$$

A kijelölt műveleteket elvégezve, és  $(a - b)$ -vel egyszerűsítve:

$$\xi = \frac{\frac{\beta}{2} (a + b) + \frac{2\alpha}{3} (a^2 + ab + b^2)}{\beta + \alpha (a + b)}.$$

4 Hasonló a feladat az  $y = qx^n$  ( $n \neq -1$ ) görbe esetére.

Esetünkben:

$$f(a) = qa^n; f(b) = qb^n;$$

$$\int_a^b f(x) dx = q \frac{b^{n+1} - a^{n+1}}{n+1};$$

így:

$$\xi = \frac{qa^{n+1} - qb^{n+1} + q \frac{b^{n+1} - a^{n+1}}{n+1}}{qa^n - qb^n}.$$

Egyszerűsítés és az emeletes tört eltávolítása után:

$$\xi = \frac{n}{n+1} \frac{a^{n+1} - b^{n+1}}{a^n - b^n}.$$

Az eredmény  $q$ -tól, tehát a parabola  $y$ -tengely irányában való megnyúltságtól független5. Oldjuk meg az előző feladatot  $n = -1$  esetére!6. Vizsgáljuk az eddigiek mintájára az  $y = e^x$  függvény görbét  $x$  és  $x + h$  abszcisszák között, és legyen  $\xi = x + \vartheta h$  alakú, ahol  $0 < \vartheta < 1$ . Mutassuk ki számításával, hogy  $\vartheta$  csak  $h$ -től függ és számítsuk ki  $\vartheta$  értékét a  $h = 1$  speciális esetre.

Itt a 2. példa szerint):

$$x + \vartheta h = \frac{x e^x - (x + h) e^{x+h}}{e^x - e^{x+h}} + \frac{1}{e^x - e^{x+h}} \int_x^{x+h} e^x dx =$$

$$= \frac{x e^x - (x + h) e^{x+h} + e^{x+h} - e^x}{e^x - e^{x+h}}.$$

Rendezve:

$$\begin{aligned} \vartheta &= \frac{1}{h} \frac{x e^x - (x+h) e^{x+h} + e^{x+h} - e^x - x e^x + x e^{x+h}}{e^x - e^{x+h}} = \\ &= \frac{e^h - h e^h - 1}{1 - e^h} \frac{1}{h} \frac{e^h(h-1) + 1}{(e^h - 1)h}. \end{aligned}$$

E kifejezés láthatóan csak  $h$ -tól függ. — A speciális  $h = 1$  esetben:

$$\vartheta = \frac{1}{e - 1} \approx 0,582.$$

7. Az ellipszis polárkoordinátás egyenlete:

$$r = \frac{p}{1 - \varepsilon \cos \varphi},$$

ahol a pólus az  $x$ -tengely negatív felén lévő fókusz,  $p = \frac{b^2}{a}$  a félparaméter.  $\varepsilon = \frac{c}{a}$  az excentricitás,  $c = \sqrt{a^2 - b^2}$  a fél-fókusz távolság.

Mekkora az ellipszis összes radiusvektorainak középértéke a polárszögre vonatkozólag?

Az e) d) szerint:

$$f = \frac{1}{2\pi} \int_{-\pi}^{\pi} \frac{p \, d\varphi}{1 - \varepsilon \cos \varphi} = \frac{p}{\pi} \int_0^{\pi} \frac{d\varphi}{1 - \varepsilon \cos \varphi}.$$

A  $t = \operatorname{tg} \frac{\varphi}{2}$  helyettesítéssel [A. IV. kt. 2. §. b) β)]:

$$f = \frac{2p}{\pi} \int_0^{\infty} \frac{dt}{(1 - \varepsilon) + (1 + \varepsilon)t^2},$$

tovább:  $t \sqrt{\frac{1 + \varepsilon}{1 - \varepsilon}} = u$  helyettesítéssel:

$$f = \frac{2p}{\pi \sqrt{1 - \varepsilon^2}} \int_0^{\infty} \frac{du}{1 + u^2} = \frac{p}{\sqrt{1 - \varepsilon^2}} = b.$$

8. Jelöljük  $n(t)$ -vel az

$$x = a \cos t, \quad y = b \sin t$$

ellipszis normálisainak az origótól való távolságát. Számítsuk ki ezen  $n(t)$  függvénynek a  $0 \leq t \leq \frac{\pi}{2}$  szögre vonatkozó aritmetikai középértékét!

Először is írjuk fel a normális egyenletét  $(\xi, \eta)$ -val jelölve a futópont koordinátáit].

Mivel

$$\dot{y} = \frac{\dot{y}}{\dot{x}} = - \frac{b \cos t}{a \sin t},$$

ezért a normális egyenlete (A. III. kt. 27. o.):

$$\eta - b \sin t = \frac{a}{b} \operatorname{tg} t (\xi - a \cos t),$$

vagy 0-ra redukálva:

$$-a \sin t \cdot \xi + b \cos t \cdot \eta + (a^2 - b^2) \sin t \cos t = 0.$$

A normálisnak az origótól való távolsága egyenletünk Hesse-féle normálalakjából:\*

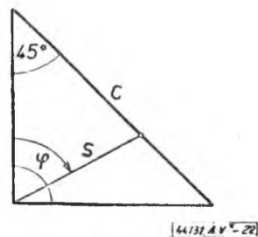
$$n(t) = \frac{(a^2 - b^2) \sin t \cos t}{\sqrt{a^2 \sin^2 t + b^2 \cos^2 t}}.$$

A  $\left[0, \frac{\pi}{2}\right]$  között a számtani közép:

$$\begin{aligned} f &= \frac{2}{\pi} \int_0^{\frac{\pi}{2}} n(t) dt = \frac{2}{\pi} (a^2 - b^2) \int_0^{\frac{\pi}{2}} \frac{\sin t \cos t dt}{\sqrt{b^2 + (a^2 - b^2) \sin^2 t}} = \\ &= \frac{2}{\pi} \left[ \sqrt{b^2 + (a^2 - b^2) \sin^2 t} \right]_0^{\frac{\pi}{2}} = \frac{2}{\pi} (a - b). \end{aligned}$$

Ha  $a = b$ , vagyis kör esetén  $f = 0$ , összhangban azzal, hogy ott valamennyi normális az origón megy át.9. Valamely  $c$  áttogójú, derékszögű egyenlőszárú háromszögben a derékszög csücs-pontját összekötjük az átfogó pontjaival. Határozzuk meg ezen összekötő szakaszok számtani középértékét! Válasszuk független változónak az egyik befogó melletti  $\varphi$  szöget (22. ábra)Az adott háromszögben a befogók hossza nyilván:  $\frac{c}{\sqrt{2}} a$ két hegyesszög pedig:  $\frac{\pi}{4}$ . A sinus-tétel értelmében (22. ábra):

$$\frac{s}{\frac{c}{\sqrt{2}}} = \frac{\sin \frac{\pi}{4}}{\sin \left( \frac{3\pi}{4} - \varphi \right)},$$



22. ábra

figyelembe véve, hogy  $\sin \frac{\pi}{4} = \frac{1}{\sqrt{2}}$ , továbbá  $\sin \left( \frac{3\pi}{4} - \varphi \right) = \sin \left[ \frac{\pi}{2} + \left( \frac{\pi}{4} - \varphi \right) \right] = \cos \left( \frac{\pi}{4} - \varphi \right);$

\* A Hesse-féle alakról l. bővebben az A. IX. kötetben.

így kapjuk:

$$s = \frac{c}{\sqrt{2}} \frac{1}{\sqrt{2}} \frac{1}{\cos\left(\frac{\pi}{4} - \varphi\right)} = \frac{c}{2 \cos\left(\frac{\pi}{4} - \varphi\right)}.$$

A középvérték tehát:

$$f = \frac{c}{\pi} \int_0^{\frac{\pi}{2}} \frac{d\varphi}{\cos\left(\frac{\pi}{4} - \varphi\right)}.$$

A  $\frac{\pi}{4} - \varphi = t$  helyettesítés után:

$$f = \frac{c}{\pi} \int_{-\frac{\pi}{4}}^{\frac{\pi}{4}} \frac{dt}{\cos t} = \frac{2c}{\pi} \left[ \ln \operatorname{tg} \left( \frac{\pi}{4} + \frac{t}{2} \right) \right]_0^{\frac{\pi}{4}}$$

(A IV. kt. 2. §. a. β) 16. pld.). A kért középvérték végül:

$$\begin{aligned} f &= \frac{2c}{\pi} \ln \operatorname{ctg} \frac{\pi}{8} = \frac{2c}{\pi} \ln \frac{\cos \frac{\pi}{8}}{\sin \frac{\pi}{8}} = \\ &= \frac{2c}{\pi} \ln \sqrt{\frac{1 + \cos \frac{\pi}{4}}{1 - \cos \frac{\pi}{4}}} = \frac{2c}{\pi} \ln \sqrt{\frac{1 + \frac{\sqrt{2}}{2}}{1 - \frac{\sqrt{2}}{2}}} = \frac{2c}{\pi} \ln \sqrt{\frac{2 + \sqrt{2}}{2 - \sqrt{2}}} = \\ &= \frac{2c}{\pi} \ln \sqrt{\frac{(2 + \sqrt{2})^2}{4 - 2}} = \frac{2c}{\pi} \ln (\sqrt{2} + 1) \approx 0,561 c. \end{aligned}$$

1. Meghatározandó a lemniszkáta rádiuszvektorának kvadratikuss középvértéke a  $\left[-\frac{\pi}{4}, \frac{\pi}{4}\right]$  közre vonatkozólag.

A görbe egyenlete Descartes-féle koordináta-rendszerben:

$$(x^2 + y^2)^2 = a^2(x^2 - y^2),$$

polárkoordináta-rendszerben pedig:

$$r^4 = r^2 a^2 (\cos^2 \varphi - \sin^2 \varphi),$$

azaz

$$r^2 = a^2 \cos 2\varphi.$$

A megadott formula szerint az  $r(\varphi) = a\sqrt{\cos 2\varphi}$  függvény középvértéke a  $\varphi$  változó  $\left[-\frac{\pi}{4}, \frac{\pi}{4}\right]$  szakaszára vonatkozólag:

$$\begin{aligned} R &= + \sqrt{\frac{1}{\varphi_2 - \varphi_1} \int_{\varphi_1}^{\varphi_2} r^2(\varphi) d\varphi} = \sqrt{\frac{1}{\frac{\pi}{4} - \left(-\frac{\pi}{4}\right)} a^2 \int_{-\frac{\pi}{4}}^{\frac{\pi}{4}} \cos 2\varphi d\varphi} = \\ &= a \sqrt{\frac{2}{\pi} \int_{-\frac{\pi}{4}}^{\frac{\pi}{4}} \cos 2\varphi d\varphi} = a \sqrt{\frac{2}{\pi} \left[ \frac{1}{2} \sin 2\varphi \right]_{-\frac{\pi}{4}}^{\frac{\pi}{4}}} = a \sqrt{\frac{2}{\pi}} \cdot 1 \approx 0,797a. \end{aligned}$$

Táblázat segítségével közelítőleg meghatározható azon  $\varphi_0$  érték is, melynél  $r$  ezen kvadratikuss középvértékét felveszi; ennek pontos helyéről a formula nem ad felvilágosítást.

$$R = 0,797a = a \sqrt{\cos 2\varphi_0},$$

$$\varphi_0 = \frac{1}{2} [\arccos (0,797)^2] \approx 0,44.$$

$\zeta$  1. Bizonyítandó alkalmas becslő integrálok segítségével [a  $\zeta)$  szerint], hogy:

$$0 < \int_{10}^{20} \frac{x^2 dx}{x^4 + x + 1} < \frac{1}{20}.$$

Mivel  $0 < x^4 < x^4 + x + 1$ , ha  $x > 0$  (s így a  $10 \leq x \leq 20$  esetben is), ezért

$$0 < \frac{x^4}{x^4 + x + 1} < 1,$$

következésképpen

$$0 < \frac{x^2}{x^4 + x + 1} < \frac{1}{x^2}.$$

Bevezetve a

$$\varphi(x) = 0, \quad f(x) = \frac{x^2}{x^4 + x + 1}, \quad \psi(x) = \frac{1}{x^2}$$

előléseket, a megadott formula felhasználásával kapjuk:

$$\int_{10}^{20} 0 dx < \int_{10}^{20} \frac{x^2}{x^4 + x + 1} dx < \int_{10}^{20} \frac{1}{x^2} dx;$$

a két szélső integrálást elvégezve a bizonyítandó egyenlőtlenséget kapjuk.

Ennek a becslésnek nagy előnye, hogy az eredeti nehezen és hosszadalmasan számítható integrál helyett könnyen és gyorsan számítható integrálokra dolgozhatunk. Persze a becslés csak akkor értékes, ha a fellépő hiba megengedhető.

Ha pl. a szóbanforgó integrál  $I$  értékét a fentebb igazolt korlátok  $\left(0, \frac{1}{20} = 0,05\right)$  számtani közepével  $\left(\frac{1}{40} = 0,025\right)$  egyenlőnek tetelezzük te, akkor a  $H$  hiba a legkedvezőbb esetben nyilván:

$$H < \frac{1}{40} = 0,025$$

Bármilyen más feltevés mellett ennél nagyobb hibával kell számolnunk; a legkedvezőtlenebb esetben a hiba:

$$H_{\max} = \frac{1}{20} = 0,05.$$

2. Becsüljük meg az  $I = \int_0^1 e^{-x^2} dx$  integrál értékét!

Legyen  $\varphi(x) = 1$  és  $\psi(x) = e^{-x^2}$ , ekkor a  $0 \leq x \leq 1$  szakaszon  $0 \leq x^2 \leq x$ , ezért.

$$\int_0^1 \varphi(x) dx \geq I \geq \int_0^1 \psi(x) dx,$$

azaz

$$\int_0^1 1 dx \geq \int_0^1 e^{-x^2} dx \geq \int_0^1 e^{-x} dx.$$

Elvégezve a bal- és jobboldali integrálásokat, kapjuk:

$$1 \geq I \geq \left[-e^{-x}\right]_0^1 = 1 - \frac{1}{e}.$$

3. Kimutatandó alkalmas becslő integrálok segítségével a §) szerint, hogy:

$$0 < \int_0^1 \frac{x^{10}}{\sqrt{1+x^6}} dx < \frac{1}{20}.$$

Vezessük be az  $f_1(x) = x^{10}$ ,  $f_2(x) = \frac{1}{\sqrt{1+x^6}}$  jelöléseket. Az  $f_2(x)$  láthatóan mo-

noton fogyó a  $0 \leq x \leq 1$  közben, ugyanígy maximuma

$$f_2(x)_{\max} = 1.$$

Ennélfogva az említett szakaszon fennáll a következő egyenlőtlenség:

$$0 = \varphi(x) \leq f_1(x) f_2(x) = f(x) < f_1(x) = \psi(x).$$

Ezen egyenlőtlenséget [a  $\zeta$ ] értelmében] integrálva, nyerjük:

$$0 < \int_0^1 \frac{x^{19}}{\sqrt{1+x^6}} dx < \int_0^1 x^{19} dx.$$

A szélső integrálást elvégezve, éppen a kiindulási egyenlőtlenséget kapjuk.

Az egyenlőség jelét itt elhagyhattuk, mert az adott szakasz  $\varepsilon \leq x \leq 1$  részszakaszán ( $\varepsilon > 0$ ):

$$f(x) - \varphi(x) = \frac{x^{19}}{\sqrt{1+x^6}} - 0 > 0, \text{ és } \psi(x) - \varphi(x) = x^{19} - 0 > 0.$$

L. a  $\zeta$ )-hoz fűzött megjegyzést.)

$\eta$  1. Becsüljük meg alulról és felülről, az integrálandó adott szakaszbeli maximumának és minimumának segítségével [az  $\eta$ ] alapján] az

$$I = \int_0^2 \frac{5-x}{9-x^2} dx$$

integrál értékét!

Itt az adott szakasz  $[0, 2]$ . Először meg kell határoznunk *e szakaszon a függvény maximumát és minimumát*

Keressük tehát az ismert módon (l. A. III. k. 7. és 8. §-at) az  $f(x) = \frac{5-x}{9-x^2}$  függvény szélsőértékeit. A függvény

$$f'(x) = \frac{-(9-x^2) + 2x(5-x)}{(9-x^2)^2} = \frac{x^2 - 10x + 9}{(9-x^2)^2}$$

deriváltjának zérushelyein lehet szó szélsőértékről, vagyis az

$$x_{1,2} = \frac{10 \pm \sqrt{100 - 36}}{2} = 1; 9$$

helyeken. Ezek közül csak az  $x = 1$  érték jön számításba, minthogy csak ez esik bele az adott  $[0, 2]$  szakaszba.

A második derivált segítségével megállapíthatjuk, hogy a függvénynek itt minimuma van, éspedig

$$m = f(1) = \frac{4}{8} = \frac{1}{2}.$$

A szakaszon *e* helytől akár jobbra, akár balra haladva a függvény monoton növekszik. A függvény *e* szakaszbeli maximuma tehát a szakasz végpontjain felvett függvényértékek nagyobbikával egyenlő. A szakasz végpontjain  $f(0) = \frac{5}{9}$ , illetve  $f(2) = \frac{3}{5}$ , így a keresett

maximum:  $M = \frac{3}{5}$ . Az adott formula felhasználásával írhatjuk tehát:

$$2 \cdot \frac{1}{2} < I \leq 2 \cdot \frac{3}{5},$$



azaz

$$1 \leq I \leq 1,2.$$

Az integrál értékét  $I = 1,1$ -nek tételezve fel, a hiba  $H \leq 0,1$ .

Pontos számítással:

$$I = \int_0^2 \left[ \frac{4}{3} \left( \frac{1}{3+x} \right) + \frac{1}{3} \left( \frac{1}{3-x} \right) \right] dx =$$

$$= \left[ \ln \sqrt{\frac{(3+x)^4}{3-x}} \right]_0^2 = \ln \sqrt{\frac{5^4}{3}} = \ln \frac{1}{3} \sqrt[3]{625} \approx 1,0472 \dots$$

2. Az előző példában látott módon *becsüljük meg az*

$$I = \int_{\frac{\pi}{4}}^{\frac{\pi}{2}} \frac{\sin x}{x} dx$$

integrál értékét. (L. hátul!)

3. Az 1. példa eljárását követve *becsüljük meg az*

$$I = \int_0^1 e^{-x^2} dx$$

integrál értékét.

¶ 1. Legyen  $f(x) = e^{-x} \cos x$  és  $0 \leq x \leq \pi$ . Ez esetben nyilván

$$f(x) \leq 1$$

az egész  $[0, \pi]$  szakaszon, így a ¶) szerint fennáll:

$$\left| \int_0^{\pi} e^{-x} \cos x dx \right| \leq 1 \cdot (\pi - 0) = \pi.$$

¶ 1. *Becsüljük meg (felülről) az alábbi integrál értékét:*

$$I = \int_0^{\pi} \sqrt{x \sin x} dx.$$

Ezen integrál elemi úton nem számítható ki. Szembetűnő, hogy az integrálandó szorzat, mindkét tényező négyzete igen egyszerűen integrálható. E körülmény a Schwarz—Bunjakovszkij-éle egyenlőtlenség felhasználását sugalmazza.

Az  $f(x) = \sqrt{x}$ ,  $\varphi(x) = \sqrt{\sin x}$  választás mellett az egyenlőtlenség így alakul:

$$I^2 < \int_a^b f^2(x) dx \int_a^b \varphi^2(x) dx = \int_0^{\frac{\pi}{2}} x dx \cdot \int_0^{\frac{\pi}{2}} \sin x dx = \frac{1}{2} \frac{\pi^2}{4} \sqrt{1} = \frac{\pi^2}{8}.$$

Végül négyzetgyökvonással nyerjük:

$$I < \frac{\pi}{2\sqrt{2}} \approx 1,11.$$

2. Az előző példához hasonló eljárással *becsüljük meg* (felülről) az

$$I = \int_0^1 \sqrt{1+x^3} dx$$

(elemi úton nem megoldható) integrál értékét!

Most az  $f(x) = 1$ ,  $\varphi(x) = \sqrt{1+x^3}$  választással élve, az adott formula szerint írhatjuk:

$$I^2 < \int_0^1 1 \cdot dx \cdot \int_0^1 (1+x^3) dx = \frac{5}{4},$$

azaz

$$I < \frac{\sqrt{5}}{2}.$$

## M Ű s z a k i a l k a l m a z á s o k

### 1-2. A SZABADESÉS SEBESSÉGÉNEK KVADRATIKUS KÖZÉPÉRTÉKEI

A szabadesés mozgásegyenlete:  $s = \frac{g}{2} t^2$ ;

a mozgás sebessége, mint az idő függvénye:  $v = gt$ ;

a sebesség, mint az út függvénye:  $v = \sqrt{2gs}$ .

Keressük meg a sebesség négyzetének középértékét az időre és az útra vonatkozólag!

A  $v^2$  középértéke a 0-tól  $T$ -ig terjedő időközben:

$$v_{t, eff}^2 = (v^2)_t = \frac{1}{T} \int_0^T g^2 t^2 dt = \frac{1}{3} g^2 T^2 = \frac{v^2(T)}{3},$$

azaz  $v$  időbeli kvadratikus középértéke:

$$v_{t, eff} = \frac{gT}{\sqrt{3}} = \frac{v(T)}{\sqrt{3}}.$$

A  $v^2$  középértéke a 0-tól  $S$ -ig terjedő úton:

$$v_{s, eff}^2 = (\bar{v^2})_s = \frac{1}{S} \int_0^S 2g s \, ds = gS = \frac{v^2(S)}{2},$$

azaz  $v$  útmenti kvadrátikus középértéke.

$$v_{s, eff} = \sqrt{gS} = \frac{v(S)}{\sqrt{2}}.$$

[Megjegyzendő, hogy

$$v(S) = \sqrt{2gS} = \sqrt{2g \frac{g}{2} T^2} = gT = v(T).]$$

E két effektív középérték láthatóan nem egyenlő, hanem

$$v_{s, eff} \, v_{t, eff} = \sqrt{\frac{3}{2}}.$$

Ezen effektív középértékeket felhasználhatjuk a szabadon eső test (időbeli és útmenti) átlagos kinetikai energiájának kiszámítására. Pl. az útmenti átlag:

$$E_{kin, s} = \frac{m}{2} \frac{1}{S} \int_0^S v^2(s) \, ds = \frac{m}{2} v_{s, eff}^2 = \frac{m}{2} gS = \frac{1}{2} mg S.$$

### 3. A VAS FAJHŐJÉNEK ÁTLAGÉRTÉKE ADOTT HŐFOKHATÁROK KÖZÖTT

Valamely anyag  $c$  fajhője alatt azt a melegegmennyiséget értjük, amely szükséges ahhoz, hogy az illető anyag tömegegységének hőmérsékletét  $1^\circ\text{C}$ -sal emeljük. A fajhő pontos értéke a  $t$  hőmérséklet függvénye. E függvényt a vas esetében a következő képlet határozza meg:

$$c = 0,000142 \, t + 0,1053, \quad 0 \leq t \leq 200 \, ^\circ\text{C}.$$

Mekkora az adott hőmérsékleti határok között a  $c_m$  közepes fajhő?

Az ismertetett módon nyerjük, hogy:

$$c_m = \frac{1}{200} \int_0^{200} (0,000142 \, t + 0,1053) \, dt = \frac{1}{200} \left[ 0,000071 \, t^2 + 0,1053 \, t \right]_0^{200} = 0,1195.$$

### 4. A VÁLTOZÓ FESZÜLTSEG ÉS ÁRAMERŐSSÉG EFFEKTÍV ÉRTÉKE ÉS KÖZÉPÉRTÉKE

Amin ismeretes, az áram hőhatása az áramerősség négyzetével arányos. Ezért a műszaki gyakorlatban a váltakozó áramok és feszültségek nagyságát gyakran egy teljes periódusra vonatkoztatott négyzetes középértékükkel adják meg.

Legyen az áramkörünk ohmos ellenállása  $r$ , az áramerősség pillanatnyi nagysága  $i(t)$ . Ekkor elemi  $dt$  idő alatt fejlődő hő, a  $Lenc$ -Joule-törvény értelmében:  $ri^2(t) \, dt$ . Egy

teljes periódus alatt fejlődő hő tehát:  $r \int_0^T i^2(t) dt$ . Jelöljük  $I$ -vel azt az egyenáramot, amely a  $T$  periódus alatt az  $r$  ellenálláson ugyanekkora hőt hoz létre. Akkor írhatjuk:

$$I^2 r T = r \int_0^T i^2(t) dt,$$

amiből

$$I = \sqrt{\frac{1}{T} \int_0^T i^2(t) dt}.$$

Az utóbbi egyenlőségből meghatározott  $I$ -értéket a váltakozó áramerősség effektív értékének, vagy négyzetes középértékének nevezik.

Szinuszos változás esetén:

$$i = I_0 \sin(\omega t + \psi),$$

tehát:

$$\begin{aligned} \int_0^T i^2(t) dt &= I_0^2 \int_0^T \sin^2(\omega t + \psi) dt = \frac{I_0^2}{2} \int_0^T [1 - \cos(2\omega t - 2\psi)] dt = \\ &= \frac{I_0^2}{2} \int_0^T dt - \frac{I_0^2}{2} \int_0^T \cos(2\omega t + 2\psi) dt = \frac{I_0^2}{2} T, \end{aligned}$$

mivel a második integrál 0 értékű. Így az áramerősség effektív értéke:

$$I = \sqrt{\frac{1}{T} \int_0^T i^2 dt} = \frac{I_0}{\sqrt{2}},$$

vagyis az  $I_0$  amplitudó  $\frac{1}{\sqrt{2}} = \frac{\sqrt{2}}{2} \approx 0,707$ -szerese.

Hasonló módon határozható meg a váltakozó feszültség effektív értéke is:

$$E = \sqrt{\frac{1}{T} \int_0^T e^2 dt}.$$

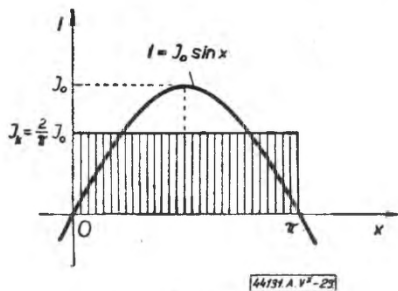
Szinuszos változás esetén:

$$E = \frac{E_0}{\sqrt{2}}.$$

A váltakozó áram erősségét és feszültségét mérő műszerek legtöbbször ezen effektív értéket mutatja.

Az effektív értékén kívül néha szerepet játszik az áramerősség és feszültség középértéke is, amit a továbbiakban  $k$  indexszel fogunk jelölni. Az áramerősség, illetve a feszültség  $[t_1, t_2]$  időközre vonatkoztatott középértéke alatt a következőt értjük:

$$I_k = \frac{1}{t_2 - t_1} \int_{t_1}^{t_2} i \, dt, \quad \text{ill.} \quad E_k = \frac{1}{t_2 - t_1} \int_{t_1}^{t_2} e \, dt.$$



23. ábra

Szinuszosan váltakozó feszültség és áram esetén a teljes periódusra vonatkoztatott középérték zérussal egyenlő, mivel a pozitív és negatív félhullámok alatti terület nagyságra megegyezik, de ellentett előjelű. Ugyanez megtörténhet nem-szinuszos váltakozó feszültségek és áramerősségek esetén is, ha a pozitív és negatív félhullámok alatti területek nagyságra megegyeznek. Ilyen esetekben a pozitív félhullámra vonatkoztatott középértéket használják középértékként.

Az utóbbi meghatározás alapján, szinuszosan változó feszültség és áramerősség esetén az  $E_k$  és  $I_k$  középértékre a következőt kapjuk (l. a 23. ábrát):

$$E_k = \frac{2}{T} \int_0^{\frac{T}{2}} E_0 \sin \omega t \, dt = \frac{2E_0}{\omega T} [-\cos \omega t]_0^{\frac{T}{2}} = \frac{4E_0}{\omega T} = \frac{2}{\pi} E_0,$$

mert  $\omega = 2\pi/T$  és hasonlóan:

$$I_k = \frac{2}{\pi} I_0,$$

vagyis az amplitudók  $\frac{2}{\pi} \approx 0,637$ -szerese. Látható tehát, hogy az effektív érték valamivel nagyobb, mint a középérték.

##### 5. MÁGNESES FLUXUS ÉS INDUKÁLT FESZÜLTSG\*

A 24. ábrán különböző  $\psi = \psi(t)$  mágneses fluxusgörbék és az  $e = -\frac{d\psi}{dt}$  formula alapján nekik megfelelő elektromotoros-erő-görbék láthatók.

Ez utóbbi görbék alaktényezője alatt az effektív értékük és a pozitív félhullámra vonatkoztatott középértékük hányadosát értjük. Tehát:

$$k_a = \frac{E}{E_k} = \left[ \sqrt{\frac{1}{T} \int_0^T e^2 \, dt} \right] : \left[ \frac{2}{T} \int_0^{\frac{T}{2}} e \, dt \right].$$

\* L. pl. Калантаров-Нейман 1. m.

Színuszos váltakozás esetén az alaktényező:

$$k_a = \frac{E}{E_k} = \frac{E_m}{\sqrt{2}} : \frac{2}{\pi} E_m = \frac{\pi}{2\sqrt{2}} \approx 1,11.$$

Az említett görbék csúcstényezője alatt maximális értékük és effektív értékük hányadosát értjük, azaz:

$$k_{cs} = \frac{E_m}{E}.$$

Színuszos váltakozás esetén a csúcstényező:

$$k_{cs} = \frac{E_m}{E} = E_m : \frac{E_m}{\sqrt{2}} = \sqrt{2} \approx 1,41.$$

A  $k_a$  és  $k_{cs}$  értékei annál nagyobbak, minél hegyesebb a görbe.

Az alaktényező bevezetése után a  $\Psi(t)$  váltakozó fluxus átjárta tekercsben indukált feszültség effektív értéke meghatározható. Ha a fluxus maximális értékét  $\Psi_{\max}$ -mal, minimális értékét  $\Psi_{\min}$ -mal jelöljük, az indukált feszültség középértékére a következőt nyerjük:

$$\begin{aligned} E_k &= \frac{2}{T} \int_0^{\frac{T}{2}} e(t) dt = \frac{2}{T} \int_0^{\frac{T}{2}} \left[ -\frac{d\Psi(t)}{dt} \right] dt = \\ &= -\frac{2}{T} \int_{\Psi_{\max}}^{\Psi_{\min}} d\Psi = 2f(\Psi_{\max} - \Psi_{\min}), \end{aligned}$$

mivel a középértékeket a pozitív félhullámra számítjuk. Ha a fluxus görbéje szimmetrikus és  $\Psi_{\min} = -\Psi_{\max}$ , akkor az indukált feszültség effektív értéke:

$$E = k_a E_k = 4f k_a \Psi_{\max},$$

ahol  $f$  a fluxus és az indukált feszültség frekvenciája. Színuszos változás esetén:

$$k_a = \frac{\pi}{2\sqrt{2}} \approx 1,11.$$

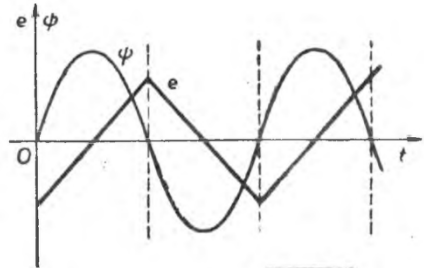
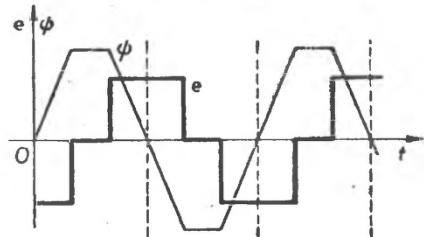
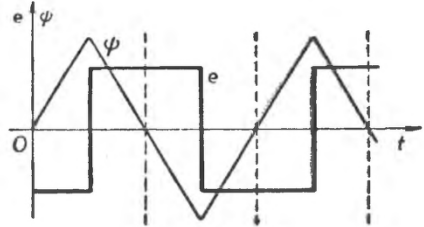
Ezzel az indukált feszültség effektív értéke:

$$E = 4,44 f \Psi_{\max}.$$

Más alakban:

$$E = 4,44 f w \Phi_{\max},$$

ahol  $\Psi_{\max} = w \Phi_{\max}$ , továbbá  $w$  azon tekercs menetszáma, amelyben a feszültség indukálódik, a  $\Phi_{\max}$  pedig az egy menethez tartozó fluxus maximális értéke. E formulát használjuk például a transzformátor méretezésénél.



ÁBR. 24. 1-3

24. ábra

## 6. NEM SZINUSZOS FESZÜLTSEGEK ÉS ÁRAMERŐSSÉGEK EFFEKTÍV ÉRTÉKE\*

Meghatározandó a nem-szinuszos váltakozó feszültség effektív értéke és az egyes harmonikusok effektív értéke közötti összefüggés. Az egyenáramú komponens 0-dik harmonikusnak tekintjük.

A feszültség effektív értéke, amint a 4. példában láttuk:

$$E^2 = \frac{1}{T} \int_0^T e^2 dt.$$

A feszültséget

$$e = e_0 + e_1 + e_2 + \dots + e_k$$

alakú Fourier-sorba\*\* fejtve, négyzetreemelés után azt kapjuk, hogy  $e^2$  egyes harmonikusok négyzeteiből és kétszeres szorzataiból áll. Ennek megfelelően  $E^2$  két fajta integrál összege:

$$E^2 = \frac{1}{T} \int_0^T e^2 dt = \sum \frac{1}{T} \int_0^T e_i^2 dt + \sum \frac{1}{T} \int_0^T 2e_q e_s dt,$$

miközben

$$q \neq s \quad \text{és} \quad e_k = E_{km} \sin(k \omega t + \psi_k).$$

Vizsgáljuk a következő határozott integrált:

$$\int_0^T 2e_q e_s dt = E_{qm} E_{sm} \int_0^T 2 \sin(q \omega t + \psi_q) \sin(s \omega t + \psi_s) dt,$$

ahol  $q$  és  $s$  pozitív egész számok.

Azt kapjuk, hogy

$$\begin{aligned} & \int_0^T 2 \sin(q \omega t + \psi_q) \sin(s \omega t + \psi_s) dt = \\ &= \int_0^T \cos[(q-s)\omega t + \psi_q - \psi_s] dt - \int_0^T \cos[(q+s)\omega t + \psi_q + \psi_s] dt. \end{aligned}$$

A  $q \neq s$  esetben a jobboldalon álló mindkét integrál értéke nulla, mivel a szinuszfüggvényeknek periódusuk egészszámszorosára számított határozott integrálja nulla. Így a baloldal is zérussal egyenlő. Ezen eredményt alkalmazva a harmonikusok kétszeres szorzataira, nyerjük:

$$\sum \frac{1}{T} \int_0^T 2e_q e_s dt = 0.$$

\* L. pl. Калантаров-Нейман 1. m.

\*\* L. az A. VIII. és B. VI. kötetekben.

Következésképpen:

$$E^2 = \frac{1}{T} \int_0^T e^2 dt = \sum_k \frac{1}{T} \int_0^T e_k^2 dt = E_0^2 + E_1^2 + E_2^2 + \dots + E_k^2 + \dots,$$

ami azt jelenti, hogy a nem-szinuszos feszültség effektív értékének négyzete a harmonikusok effektív értékei négyzeteinek összegével egyenlő. Eredményünket így is írhatjuk:

$$E = \sqrt{E_0^2 + E_1^2 + E_2^2 + \dots + E_k^2 + \dots}$$

Hasonló eredményt kapunk a nem-szinuszos áramerősség effektív értékére:

$$I = \sqrt{I_0^2 + I_1^2 + I_2^2 + \dots + I_k^2 + \dots}$$

#### 7. A TELJESÍTMÉNY KÖZÉPÉRTÉKE FELHARMONIKUSOK ESETÉN\*

Nem-szinuszos feszültség és áramerősség esetén a közepes teljesítmény:

$$P = \frac{1}{T} \int_0^T e i dt.$$

Az  $e$  és  $i$  Fourier-sorát behelyettesítve ezt kapjuk:

$$\begin{aligned} P &= \frac{1}{T} \int_0^T (e_0 + e_1 + e_2 + \dots + e_k + \dots) (i_0 + i_1 + i_2 + \dots + i_k + \dots) dt = \\ &= \sum_k \frac{1}{T} \int_0^T e_k i_k dt + \sum_q \frac{1}{T} \int_0^T e_q i_s dt, \end{aligned}$$

miközben  $q \neq s$ . A  $q \neq s$  esetén, mint már láttuk,

$$\int_0^T e_q i_s dt = E_{qm} I_{sm} \int_0^T \sin(q\omega t + \psi_q) \sin(s\omega t + \psi_s) dt = 0,$$

tehát

$$\sum_q \frac{1}{T} \int_0^T e_q i_s dt = 0.$$

Ennélfogva:

$$P = \sum_k \frac{1}{T} \int_0^T e_k i_k dt,$$

\* L. pl. Кантаторов Нейман и. и.



ami azt jelenti, hogy nem-szinuszos áramerősség és feszültség esetén a közepes teljesítmény az egyes harmonikusok közepes teljesítményeinek összege:\*

$$P = P_0 + P_1 + P_2 + \dots + P_k = E_0 I_0 + E_1 I_1 \cos \varphi_1 + E_2 I_2 \cos \varphi_2 + \dots + E_k I_k \cos \varphi_k + \dots,$$

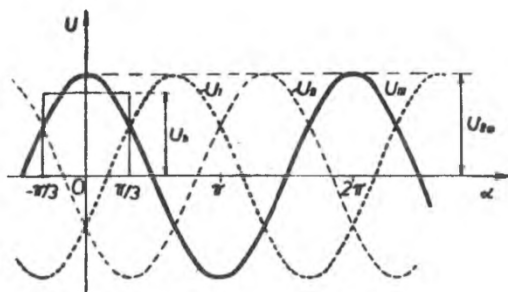
ahol  $\varphi_k$  az  $e_k(t)$  és  $i_k(t)$  közötti fáziseltolódás szöge. A szinuszosan váltakozó áramok és feszültségek esetéhez hasonlóan bevezethetjük a teljesítmény-tényezőt, mint a hatásos és látszólagos teljesítmények viszonyát:

$$\frac{P}{EI} = \left[ \frac{1}{T} \int_0^T e i dt \right] : \left[ \sqrt{\frac{1}{T} \int_0^T e^2 dt} \cdot \sqrt{\frac{1}{T} \int_0^T i^2 dt} \right].$$

Matematikailag igazolható, hogy  $e$  viszonyszám mindig kisebb 1-nél, és csak akkor egységy, ha  $e$  és  $i$  arányosak egymással. A műszaki gyakorlatban a teljesítménytényezőt felharmonikusok jelenléte esetén is „ $\cos \varphi$ ”-nek nevezik, bár ebben az esetben a feszültség és az áram görbéi nem hasonlók egymáshoz, ezért a fázisszög közvetlen bevezetése nem lehetséges.

#### 8. VÁLTAKOZÓ ÁRAM EGYENIRÁNYÍTÁSA\*\*

Legyen  $U_{2m}$  és  $U_2$  a transzformátor szekundér fázisfeszültségének maximális, illetve effektív értéke.  $U$  és  $U_k$  pedig az egyenirányított feszültség effektív és középtértéke. Ha  $m$  fázisú az egyenirányítás, akkor  $\omega t = \alpha$  helyettesítéssel ezt kapjuk (25. ábra):



(4493/1. V. 4. 25)

25. ábra

illetve

$$U_k = \frac{m}{2\pi} \int_{-\pi/m}^{+\pi/m} U_{2m} \cos \alpha d\alpha = \frac{m}{\pi} U_{2m} \sin \frac{\pi}{m},$$

$$U^2 = \frac{m}{2\pi} \int_{-\pi/m}^{+\pi/m} U_{2m}^2 \cos^2 \alpha d\alpha = U_{2m}^2 \left( \frac{1}{2} + \frac{m}{4\pi} \sin \frac{2\pi}{m} \right).$$

Ha  $m = 3$ , akkor:

$$U_k \approx 0,83 U_{2m} \approx 1,17 U_2 \quad \text{és} \quad U \approx 1,02 U_k.$$

Az utóbbi egyenlőségből látható, hogy az egyenirányított feszültség effektív és középtértéke már háromfázisú egyenirányításnál is alig különbözik egymástól.

\* A. IV. kötet, 6. §. M. a. 4. pl.

\*\* L. pl. Калантаров—Нейман 1. m.

## f) Numerikus integrálás\*

Az alább következő közelítő eljárások akkor használatosak határozott integrálásra (területmérésre), ha a függvénynek csak a görbéje diagrammja ismeretes, a képlet, analitikus kifejezése nem; vagypedig, ha képlettel adott függvénynél az integrálás — akár zárt alakú primitív függvény hiánya, akár bonyolultság miatt — nehézséget okoz.

Mindegyiknél az  $[a, b]$  szakaszt osztópontokkal párosszámú,  $2n$  egyenlő  $h = \frac{b-a}{2n}$

részre osztjuk!\*\*

 $\alpha)$  Téglány-szabály

A  $h$  szélességű részzszakaszok kezdőordinátáival képzett lépcsőzetes görbe  $[a, b]$  szakaszmenti darabja alatti területet

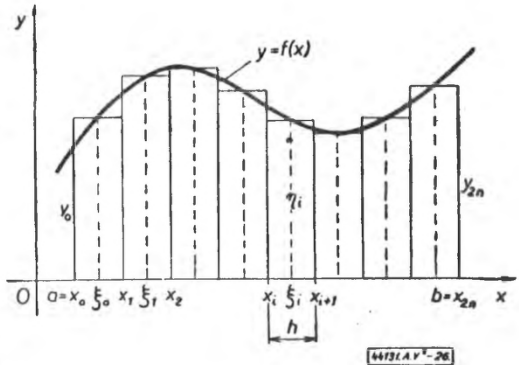
méri:

$$I \approx Q = h(y_0 + y_1 + y_2 + \dots + y_{2n-1}).$$

Pontosabb, ha a középpontozással dolgozunk:

$$\eta_i = f(\xi_i), \quad \xi_i = \frac{x_i + x_{i+1}}{2}.$$

(26. ábra).



26. ábra

 $\beta)$  Trapéz-szabály

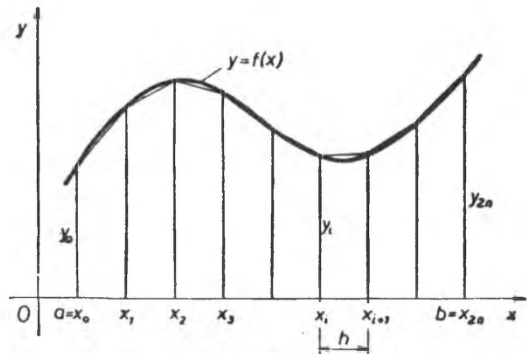
A görbét a  $h$  részzszakaszok

feletti húrokkal, a a görbe alatti területet e húrok alatti,  $h$  magasságú trapéz-területekkel közelíti (27. ábra):

$$I \approx T = h \left( \frac{y_0 + y_1}{2} + \frac{y_1 + y_2}{2} + \dots + \frac{y_{2n-1} + y_{2n}}{2} \right);$$

rendezve:

$$T = h \left( \frac{y_0}{2} + y_1 + y_2 + \dots + y_{2n-1} + \frac{y_{2n}}{2} \right).$$



27. ábra

 $\gamma)$  Érintő-szabály

A görbét az egymást követő kettős ( $2h$  hosszúságú) részzszakaszok felett a középső érintőkarabjaival, a területet trapézterületekkel közelítjük, melyek középvonala éppen a kettős részzszakaszok középső ordi-

\* L. bővebben pl. *Bermant és Stachó* 1. m.

\*\* A téglány- és trapéz-szabálynál a párosszámú részre osztás nem szükséges!

nátája (28. ábra):

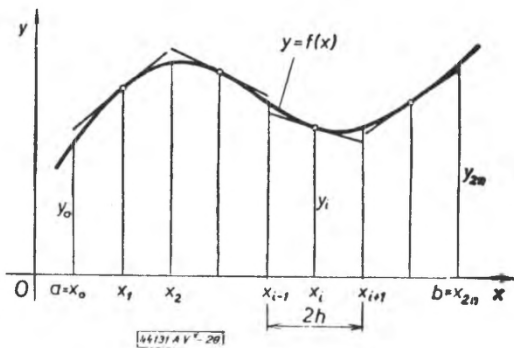
$$I \approx U = 2h (y_0 + y_3 + y_5 + \dots + y_{2n-1}).$$

(Kevésbé használatos.)

#### o) Simpson-szabály

Mindezeknél rendszerint

jóval pontosabb Simpson módszere, amely a kettős ( $2h$  hosszúságú) részzszakaszok felett a görbét egy-egy függőleges tengelyű 2. fokú parabolaival pótolja, mégpedig olyanokkal, amelyek illeszkednek a görbe  $(x_0, x_1, x_2)$ ,  $(x_2, x_3, x_4)$ , ...  $(x_{2n-2}, x_{2n-1}, x_{2n})$  abszcisszájú pontjaira (29. ábra).



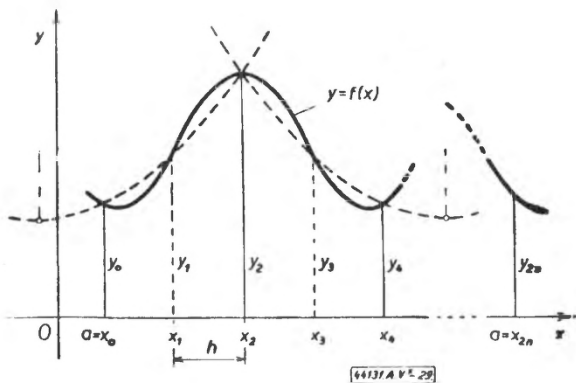
28. ábra

$$I \approx S = \frac{2h}{6} (y_0 + 4y_1 + 2y_2 + 4y_3 + \dots + 2y_{2n-2} + 4y_{2n-1} + y_{2n}).$$

Konstatálható, hogy:

$$\begin{aligned} \frac{2T + U}{3} &= \frac{1}{3} [h(y_0 + 2y_1 + \\ &+ 2y_2 + \dots + 2y_{2n-1} + y_{2n}) + \\ &+ h(2y_1 + 2y_3 + \dots + \\ &+ 2y_{2n-1})] = S, \end{aligned}$$

azaz a Simpson-szabály a (két-szer olyan sűrű beosztásnak megfelelően) kettős súllyal vett trapéz-szabály és az érintőszabály számtani közepelésével adódik.



29. ábra

#### e) Hibaképletek\*

e<sub>1</sub>) A téglány-szabálynál:

$$R_{2n} = \frac{(b-a)^3}{24(2n)^2} y''(\xi) \quad a \leq \xi \leq b.$$

e<sub>2</sub>) A trapéz-szabálynál:

$$R_{2n} = \frac{(b-a)^3}{12(2n)^2} y''(\eta), \quad a \leq \eta \leq b.$$

e<sub>3</sub>) A Simpson-szabálynál:

$$R_{2n} = -\frac{(b-a)^5}{180(2n)^4} y^{(4)}(\zeta) \quad a \leq \zeta \leq b.$$

\* L. Функционалы т. м. II. к., 183. és köv. o.

## Példák és feladatok\*

1. Határozzuk meg az  $\int_0^1 \frac{dx}{1+x^2} \left( = \frac{\pi}{4} = 0,785398 \dots \right)$  határozott integrál értékét

a téglány-, a trapéz- és a Simpson-szabály segítségével. Számítsuk ki továbbá a hibát mindegyik esetben!

$\alpha$ ) Téglány-szabállyal:

$x_0 = 0,05,$	$\eta_0 = 0,9995$
$x_1 = 0,15,$	$\eta_1 = 0,9780$
$x_2 = 0,25,$	$\eta_2 = 0,9412$
$x_3 = 0,35,$	$\eta_3 = 0,8909$
$x_4 = 0,45,$	$\eta_4 = 0,8316$
$x_5 = 0,55,$	$\eta_5 = 0,7678$
$x_6 = 0,65,$	$\eta_6 = 0,7029$
$x_7 = 0,75,$	$\eta_7 = 0,6400$
$x_8 = 0,85,$	$\eta_8 = 0,5806$
$x_9 = 0,95,$	$\eta_9 = 0,5256$

$$h = 0,1; \sum_{i=0}^9 \eta_i = 7,8581$$

$$2n = 10$$

$$Q = 0,1 \cdot 7,8581 = 0,78581.$$

$$v(x) = \frac{1}{1+x^2}, \quad v''(x) = 2 \frac{3x^2 - 1}{(1+x^2)^3}$$

A  $0 \leq x \leq 1$  közön

$|v''(x)| \leq 2$ . A hiba tehát:

$$R_{10} \leq \frac{(1-0)^3}{24 \cdot 10^2} \cdot 2 = \frac{1}{12} \cdot 10^{-2} = \\ \approx 0,84 \cdot 10^{-3}$$

$\beta$ ) Trapéz-szabállyal:

$$x_0 = 0,0, \quad y_0 = 1,0000 \\ x_{10} = 1,0 \quad y_{10} = 0,5000$$

$$\frac{y_0 + y_{10}}{2} = \frac{1,5000}{2}$$

$x_1 = 0,1,$	$y_1 = 0,9901$
$x_2 = 0,2,$	$y_2 = 0,9615$
$x_3 = 0,3,$	$y_3 = 0,9174$
$x_4 = 0,4,$	$y_4 = 0,8621$
$x_5 = 0,5,$	$y_5 = 0,8000$
$x_6 = 0,6,$	$y_6 = 0,7353$
$x_7 = 0,7,$	$y_7 = 0,6711$
$x_8 = 0,8,$	$y_8 = 0,6098$
$x_9 = 0,9,$	$y_9 = 0,5525$

$$h = 0,1; \sum_{i=1}^9 y_i = 7,0998$$

$$2n = 10$$

$$T = 0,1 \left( \frac{1,5000}{2} + 7,0998 \right) = 0,78498.$$

A baloldaliak felhasználásával hiba:

$$R_{10} \leq \frac{(1-0)^3}{12 \cdot 10^2} \cdot 2 \approx 1,7 \cdot 10^{-3}$$

$\gamma$ ) Simpson-szabállyal:

$$2n = 4 (!) \text{ és } 2h = 0,5$$

$$x_0 = 0, \quad x_1 = \frac{1}{4}, \quad x_2 = \frac{1}{2}, \quad x_3 = \frac{3}{4},$$

$$x_4 = 1; \quad y_0 = 1, \quad 4y_1 = 3,76471,$$

$$2y_2 = 1,6, \quad 4y_3 = 2,56; \quad y_4 = 0,5.$$

$$S = \frac{0,5}{6} (1 + 3,76471 + 1,6 + 2,56 + \\ + 0,5) = 0,78539$$

$$v^{(4)}(x) = g^{(4)}(x) =$$

$$= 24 \cos^3 g \sin^3 \left( g : \frac{\pi}{2} \right) =$$

\* L. Фуксменгольц 1. м. II. кт. 178. és köv. o.

$$= 24 \cos^5 g \cos 5g,$$

ahol

$$g(x) = \int_0^x y(x) dx = \operatorname{arctg} x.$$

A  $0 \leq x \leq 1$  közön:  $|y^{(4)}(x)| < 24.$

tehát a hiba:

$$|R_4| = \frac{(1-0)^5}{180 \cdot 4^4} \cdot 24 = \frac{24}{180 \cdot 16^3} = \\ = \frac{1}{1920} < 0,0006.$$

Látható, hogy kisebb  $n$  ellenére ezen eredmény a legpontosabb!

2. Kiszámítandó az  $\int_1^2 \frac{dx}{x}$  ( $= \ln 2 = 0,69314718 \dots$ ) integrál értéke 0,001 pontossággal!

$\alpha$ ) Téglány-szabállyal:

Esetünkben

$$y(x) = \frac{1}{x} \text{ és } 0 < y''(x) = \frac{2}{x^3} \leq 2 \text{ (amikor } 1 \leq x \leq 2), \text{ tehát a hiba:}$$

$$0 < R_{2n} < \frac{(b-a)^3}{24(2n)^2} \cdot \max_{[a,b]} [y''(x)] = \frac{1}{12(2n)^2}.$$

$2n = 10$ -zel próbálkozva:  $R_{10} < \frac{1}{1200} < 0,84 \cdot 10^{-3} = 0,00084$ , tehát a kívánt pontosság elérésére éppen megfelelő. Ezután nézzük a számítást!

$\xi_0 = 1,05,$	$\eta_0 = 0,9524$	$\xi_5 = 1,55,$	$\eta_5 = 0,6452$
$\xi_1 = 1,15,$	$\eta_1 = 0,8696$	$\xi_6 = 1,65,$	$\eta_6 = 0,6061$
$\xi_2 = 1,25,$	$\eta_2 = 0,8000$	$\xi_7 = 1,75,$	$\eta_7 = 0,5714$
$\xi_3 = 1,35,$	$\eta_3 = 0,7407$	$\xi_8 = 1,85,$	$\eta_8 = 0,5405$
$\xi_4 = 1,45,$	$\eta_4 = 0,6897$	$\xi_9 = 1,95,$	$\eta_9 = 0,5128$

$$Q = \frac{1}{10} \sum_{i=0}^9 \eta_i = \frac{1}{10} \cdot 6,9284 = 0,69284.$$

Igy a 4 tizedesjegyű táblára (max. hiba  $\pm 0,00005$ ) és a fenti hibaszámításra való tekintettel  $\ln 2$  a

$0,69284 - 0,00005 = 0,69279$  és a  $0,69284 + 0,00005 + 0,00084 = 0,69373$  értékek közé esik. (Mivel  $R_{10} > 0$ , az alsó határt nem befolyásolja.)

Tehát írhatjuk:

$$\ln 2 = 0,693 \pm 0,001.$$

$\beta$ ) Trapéz-szabállyal:

A hibaképlet szerint  $y''(x) > 0$  lévén  $R_{2n} < 0$  és a fentiek alapján:

$$R_{2n} < \frac{1}{6(2n)^2}$$

Megtartva az előbbi  $2n = 10$ -et,  $|R_{10}| < \frac{1}{600} < 1,7 \cdot 10^{-3}$ , vagyis az előírtnál kisebb pontossághoz jutunk.

$$\begin{array}{ll} x_1 = 1,1, & y_1 = 0,9091 \\ x_2 = 1,2, & y_2 = 0,8333 \\ x_3 = 1,3, & y_3 = 0,7692 \\ x_4 = 1,4, & y_4 = 0,7143 \\ x_5 = 1,5, & y_5 = 0,6667 \end{array}$$

$$\begin{array}{ll} x_6 = 1,6, & y_6 = 0,6250 \\ x_7 = 1,7, & y_7 = 0,5882 \\ x_8 = 1,8, & y_8 = 0,5556 \\ x_9 = 1,9, & y_9 = 0,5263 \end{array}$$

$$\bar{f} = \frac{1}{10} \left( \frac{1,5000}{2} + 6,1877 \right) = 0,69377$$

$$\sum_{i=1}^9 y_i = 6,1877$$

A fenti módon ( $R_{10} < 0$ ):

$$0,69377 - 0,00005 - 0,00170 = 0,69|202 <$$

$$< \ln 2 < 0,69377 + 0,00005 = 0,69|382,$$

azaz írhatjuk:

$$\ln 2 = 0,693 \pm 0,001.$$

$\gamma$ ) Simpson-szabállyal:

$$y^{(4)}(x) = \frac{24}{x^5}; \quad R_{2n} < 0; \quad |R_{2n}| \leq \frac{1}{180 (2n)^4} \cdot 24 = \frac{2}{15 (2n)^4}.$$

A  $2n = 10$ -et megtartva,  $|R_{10}| < 1,4 \cdot 10^{-5}$ , vagyis kiváló pontossághoz jutunk! Érdemes 5-jegyű táblával dolgozni.

$$\begin{array}{ll} x_2 = 1,2, & y_2 = 0,83333 \\ x_4 = 1,4, & y_4 = 0,71429 \\ x_6 = 1,6, & y_6 = 0,62500 \\ x_8 = 1,8, & y_8 = 0,55556 \end{array}$$

$$\begin{array}{ll} x_1 = 1,1, & y_1 = 0,90909 \\ x_3 = 1,3, & y_3 = 0,76923 \\ x_5 = 1,5, & y_5 = 0,66667 \\ x_7 = 1,7, & y_7 = 0,58824 \\ x_9 = 1,9, & y_9 = 0,52632 \end{array}$$

$$2 \cdot \sum_{i=1}^4 y_{2i} = 5,45636$$

$$x_0 = 1,0, \quad y_0 = 1,00000$$

$$x_{10} = 2,0, \quad y_{10} = 0,50000$$

$$y_0 + y_{10} = 1,50000$$

$$4 \cdot \sum_{i=0}^4 y_{2i+1} = 13,83820$$

$$S = \frac{1}{3 \cdot 10} (1,50000 + 5,45636 +$$

$$+ 13,83820) = 0,693152$$

Tehát ( $R_{10} < 0$  miatt és  $\pm 0,000005$  táblahibával):

$$0,693152 - 0,000005 - 0,000014 = 0,693133 < \ln 2 < 0,693152 + 0,000005 = 0,693157.$$

Tehát írhatjuk:

$$\ln 2 = 0,69314 \pm 0,00002.$$

3. Kiszámítandó a  $\Phi(1) = \int_0^1 e^{-x} dx$  integrál, 0,0001 pontossággal. a *Simpson*-szabály segítségével!

Az  $y(x) = e^{-x}$  függvény 4. deriváltjának abszolút értéke a  $0 \leq x \leq 1$  közön 12 alatt marad. (Ellenőrizzük!) Tehát.  $2n = 10$ -zel próbálkozva:

$$R_{2n} \leq \frac{1}{180 (2n)^4} \cdot 12 < 0,7 \cdot 10^{-5}$$

$x_2 = 0,2,$	$y_2 = 0,96079$
$x_4 = 0,4,$	$y_4 = 0,85214$
$x_6 = 0,6,$	$y_6 = 0,69768$
$x_8 = 0,8,$	$y_8 = 0,52729$

$$2 \cdot \sum_{i=1}^4 y_{2i} = 6,07580$$

$x_0 = 0,0,$	$y_0 = 1,00000$
$x_{10} = 1,0,$	$y_{10} = 0,36788$

$$y_0 + y_{10} = 1,36788$$

$x_1 = 0,1,$	$y_1 = 0,99005$
$x_3 = 0,3,$	$y_3 = 0,91393$
$x_5 = 0,5,$	$y_5 = 0,77680$
$x_7 = 0,7,$	$y_7 = 0,61263$
$x_9 = 0,9,$	$y_9 = 0,44486$

$$4 \cdot \sum_{i=0}^4 y_{2i+1} = 14,96108$$

$$S = \frac{1}{3 \cdot 10} (1,36788 + 6,07580 + 14,96108) = 0,746825.$$

Mivel az  $y^{(4)}(x)$  előjele nem ismerjük, a  $\pm 0,000005$  táblázati hiba mellett a *Simpson*-módszer itteni  $0,7 \cdot 10^{-5} = 0,000007$  hibáját is vesszük; tehát:

$$0,746825 - 0,000012 = 0,746813 < \Phi(1) < 0,746825 + 0,000012 = 0,746837,$$

azaz:

$$\Phi(1) = 0,7468 \pm 0,00004.$$

4. Számítsuk ki a  $G = \int_0^1 \frac{\arctg x}{x} dx$  integrált (E. *Catalan* állandója) a *Simpson*-szabállyal,  $2n = 10$  választással!

Az  $y(x) = \frac{\arctg x}{x}$  függvény táblázata:

$y_0 = 1,$	$y_{10} = 0,78540$
$y_1 = 0,99668,$	$y_2 = 0,98698$
$y_3 = 0,97152,$	$y_4 = 0,95127$
$y_5 = 0,92730,$	$y_6 = 0,90070$
$y_7 = 0,87246,$	$y_8 = 0,84343$
$y_9 = 0,81424,$	

$$y_0 + y_{10} = 1,78540$$

$$2 \cdot \sum_{i=1}^4 y_{2i} = 7,36476$$

$$4 \cdot \sum_{i=0}^4 y_{2i+1} = 18,32880$$

$$S = \frac{1}{30} (1,78540 + 7,36476 + 18,32880) = 0,915965.$$

5. Egy folyó szélessége 20 m; egy bizonyos keresztmetszetben a 2 méterenként vett mélységmérések a következő táblázatot szolgáltatták:

x	0	2	4	6	8	10	12	14	16	18	20
y	0,2	0,5	0,9	1,1	1,3	1,7	2,1	1,5	1,1	0,6	0,2

Az egyik parttól való távolságot (méterekben)  $x$ -szel jelöltük, a folyó megfelelő mélységét (ugyancsak méterekben)  $y$ -nal. Meg kell határoznunk a folyó keresztmetszetének területét. Oldjuk meg a feladatot a *trapéz-* és a *Simpson-szabállyal*!

A trapéz-szabállyal:

$$T = 2 \left( \frac{0,2 + 0,2}{2} + 0,5 + 0,9 + 1,1 + 1,3 + 1,7 + 2,1 + 1,5 + 1,1 + 0,6 \right) = 22 \text{ m};$$

*Simpson* formulájával:

$$T = \frac{2}{3} [22 + 2 \cdot (0,5 + 1,1 + 1,7 + 1,5 + 0,6)] = 21,9 \text{ m}^2.$$

6. Határozzuk meg a *Simpson-szabállyal* ln 5 közelítő értékét az intervallum 4 részre osztásával.

7.  $\int_0^1 (x^3 + 1) dx = ?$  Most 8 egyenlő részre osztva az intervallumot, kiszámítandó

az integrál téglány-, érintő-, és *Simpson-szabállyal* és határozott integrállal! (Miért nem ad hibát a *Simpson-szabállyal* való számolás ilyen esetben?)

Számítsuk ki trapéz-, ill. *Simpson-szabállyal* a következő integrálokat:

8.  $\int_0^4 \frac{dx}{\sqrt{4+x^3}},$  az intervallumot 4 részre osztva.

9.  $\int_0^2 \sqrt{1+x^3} dx,$  az intervallumot 4 részre osztva.

10.  $\int_1^5 \sqrt{126-x^3} dx,$  az intervallumot 4 részre osztva.

11.  $\int_{\frac{1}{2}}^8 \frac{x dx}{\sqrt{4+x^2}},$  az intervallumot 6 részre osztva.

12.  $\int_0^{10} \sqrt{125-x^2} dx.$  az intervallumot 5 részre osztva.

(A 12. feladatot csak a trapéz-szabállyal oldjuk meg, mivel a *Simpson-szabály* csak páros  $n$  esetén alkalmazható!)



Számítsuk ki a következő integrálokat a Simpson-szabállyal. Ezeknél a primitív függvény zárt alakban nem adható meg.

13.  $\int_0^1 \sqrt{1-x^3} dx,$  az intervallumot  $2n = 10$  részre osztva.

14.  $\int_0^1 \sqrt{1+x^4} dx,$   $2n = 10$  beosztással.

15.  $\int_2^5 \frac{dx}{\ln x},$  ( $2n = 6$ ). 16.  $\int_0^{\frac{\pi}{3}} \sqrt{\cos \varphi} d\varphi.$  ( $2n = 10$ )

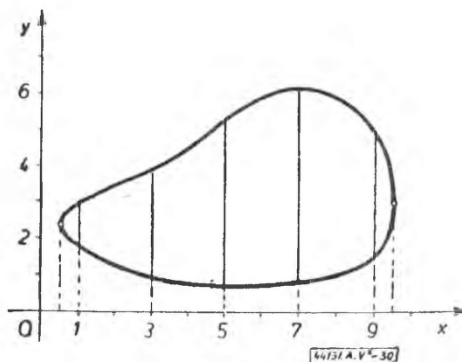
17.  $\int_0^{\frac{\pi}{3}} \frac{\sin x}{x} dx,$  ( $2n = 10$ ) (Itt baloldali ordinátának vegyük a  $\lim_{x \rightarrow 0} \frac{\sin x}{x} = 1$

határértéket.)

18. Számítsuk ki a Simpson-formulával  $\int_{1,05}^{1,85} f(x) dx$  értékét, ha  $f(x)$  a következő táblázattal van megadva:

$x$	1,05	1,10	1,15	1,20	1,25	1,30	1,35
$f(x)$	2,36	2,50	2,74	3,04	3,46	3,98	4,60

19. Adva van egy zárt görbe (l. a 30. ábrát) a következő koordinátájú pontokkal:



30. ábra

$x$	0,5	1	3	5	7	9	9,5
$y$	2,4	1,8 3,0	0,9 3,9	0,7 5,3	0,8 6,1	1,5 5	3

Számítsuk ki a területét a Simpson-szabállyal! (Lásd hátul!)

\*20. Határozzuk meg az  $E\left(\frac{\sqrt{2}}{2}\right) = \int_0^{\frac{\pi}{2}} \sqrt{1 - \frac{1}{2} \sin^2 x} dx$  2. fajú elliptikus integrál

értékét a Simpson-szabállyal, 0,001 pontossággal.

$$y(x) = \sqrt{1 - \frac{1}{2} \sin^2 x} \geq \frac{\sqrt{2}}{2} \quad a \quad 0 \leq x \leq \frac{\pi}{2} \text{ közön};$$

ugyanott  $|y^{(4)}(x)| < 12$ . A hiba abszolút értéke tehát:

$$|R_{2n}| < \frac{\left(\frac{\pi}{2}\right)^5}{180 (2n)^4} \cdot 12 < \frac{2}{3} \frac{1}{(2n)^4}, \quad \text{mert} \quad \left(\frac{\pi}{2}\right)^5 < 10.$$

A  $2n = 6$ -tal próbálkozva,  $|R_6| < 0,00052$  lévén, megfelelő pontossághoz jutunk.

$$x_0 = 0 \quad (0^\circ) \quad y_0 = 1,0000$$

$$x_1 = \frac{\pi}{12} \quad (15^\circ); \quad 4y_1 = \sqrt{12 + \sqrt{12}} = 3,9324$$

$$x_2 = \frac{\pi}{6} \quad (30^\circ); \quad 2y_2 = \sqrt{14/2} = 1,8708$$

$$x_3 = \frac{\pi}{4} \quad (45^\circ); \quad 4y_3 = \sqrt{12} = 3,4641$$

$$x_4 = \frac{\pi}{3} \quad (60^\circ); \quad 2y_4 = \sqrt{10/2} = 1,5811$$

$$x_5 = \frac{5\pi}{12} \quad (75^\circ); \quad 4y_5 = \sqrt{12 - \sqrt{12}} = 2,9216$$

$$x_6 = \frac{\pi}{2} \quad (90^\circ); \quad y_6 = \sqrt{2/2} = 0,7071$$

$$\sum y_i = 15,4771$$

$$S = \frac{2 \cdot \frac{\pi}{12}}{6} \cdot 15,4771 =$$

$$= 1,35063 \pm (0,00052 + 0,00003) =$$

$$= 1,35063 \pm 0,00055,$$

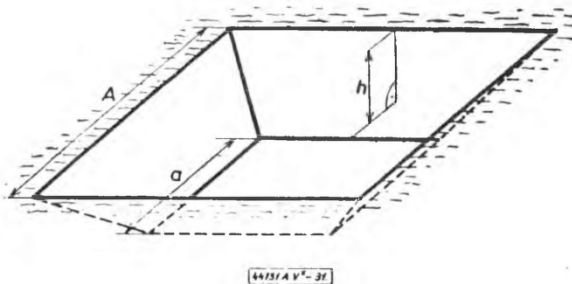
azaz:

$$E\left(\frac{\sqrt{2}}{2}\right) = 1,351 \pm 0,001.$$

### M ű s z a k i   a l k a l m a z á s o k

#### I. NÉGYZETALAPÚ MUNKAGÖDÖR KÖBTARTALMÁNAK SZÁMITÁSA A SIMPSON-SZABÁLYVAL\*

A 31. ábrán látható négyzet alapú munkagödör (fordított csomagula) köbtartalmát a gödör alaplajának  $T_1$  és fedőlapjának  $T_2$  területe, valamint  $h$  magassága egyértelműen meghatározza. A köbtartalmat jelen feladatnál az úgynevezett *területszelvény-ábra* segítségével állapítjuk meg (32. ábra). Az alap- és fedőlapnak megfelelő ordináták  $T_1$  és  $T_2$ ,



31. ábra

\* L. Kézdi: Földművek

a magasságnak megfelelő abszcissza  $h$ . Kérdés, *hogyan kell* a területszelvény-ábrán a  $T_1$  és  $T_2$  pontokat összekötni.

Mivel bármely közbenső területszelvény két hosszának a szorzata, és e hosszak mindegyike lineárisan változik, ezért a terület *kvadratikusan* változik. A középső  $\frac{h}{2}$  abszcisszához tartozó ordináta te-

hát az ábrából kiolvashatóan:  $\left(\frac{a+A}{2}\right)^2$ . A kapott parabola alatti terület nagysága adja a köbtartalom mérőszámát. A görbe alatti területet Simpson-szabállyal állapítjuk meg:

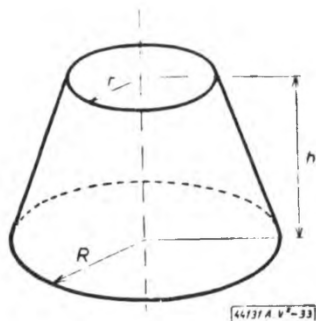
$$K = \frac{h}{6} [T_1 + 4T_0 + T_2] =$$

$$= \frac{h}{6} \left[ A^2 + 4 \left( \frac{a+A}{2} \right)^2 + a^2 \right] = \frac{h}{3} (A^2 + aA + a^2).$$

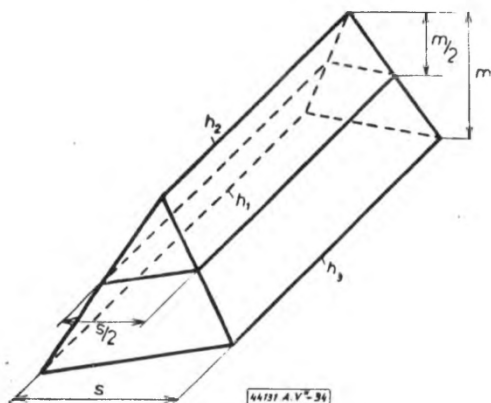
2. Határozzuk meg a 33. ábrán látható csonka körkúp köbtartalmát a Simpson-szabállyal.

### 3. KAVICSPRIZMA KÖBTARTALMÁNAK MEGHATÁROZÁSA A SIMPSON-SZABÁLLYAL\*

A 34. ábrán látható kavicsprizmán (amely útfenntartási anyagnak az út padkáján való tárolására szolgál) — az 1. példa megoldásának megfelelően — három egymással párhuzamos és egymástól egyenlő távolságban fekvő síkmetszetet veszünk fel.



33. ábra



34. ábra

Célszerűen az *alap* lesz az első, a (zérus területű) *felső él* a harmadik, a második pedig a fél-magasságban adódó síkmetszet. Alkalmazva a Simpson-szabályt a 3 területszelvényre, a *prizma köbtartalma* így alakul:

$$K = \frac{m}{6} \left( \frac{h_1 + h_3}{2} + 4 \frac{\frac{h_1 + h_2}{2} + \frac{h_2 + h_3}{2}}{2} \frac{s}{2} + 0 \right),$$

\* L. Kézdi: Földművek

összevonások után pedig:

$$K = \frac{ms}{6} (h_1 + h_2 + h_3).$$

Figyelembe véve, hogy

$$\frac{ms}{2} = T,$$

a következő végeredményhez jutunk:

$$K = T \frac{h_1 + h_2 + h_3}{3}.$$

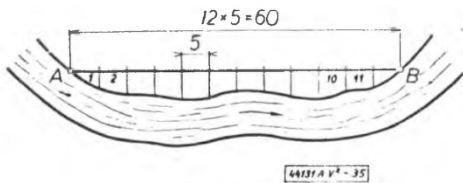
KÜLÖNFÉLE MŰSZAKI TERÜLET-SZÁMÍTÁSI FELADATOK (4–8. pld.)

4. A 35. ábrán látható folyó és az  $AB$  egyenes kertés közötti terület meghatározása céljából húzzunk az  $AB$  egyenesre 5,0 m-ként merőlegeseket a partig. Az így nyert összesen 11 egyenesdarab hossza rendre:

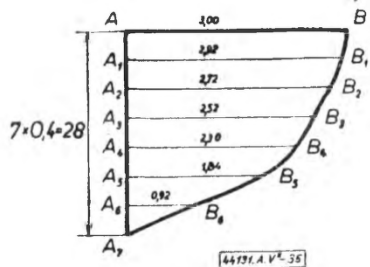
3,28; 4,02; 4,64; 5,26; 4,98; 3,62; 3,82; 4,68; 5,26; 3,82; 3,24 m.

Mekkora a keresett terület?

5. Kiszámítandó a 36. ábrán látható hajó-főmetszetnek (azaz a hajó legszélesebb helyén vett keresztmetszetnek) területe a következő adatok alapján:



35. ábra



36. ábra

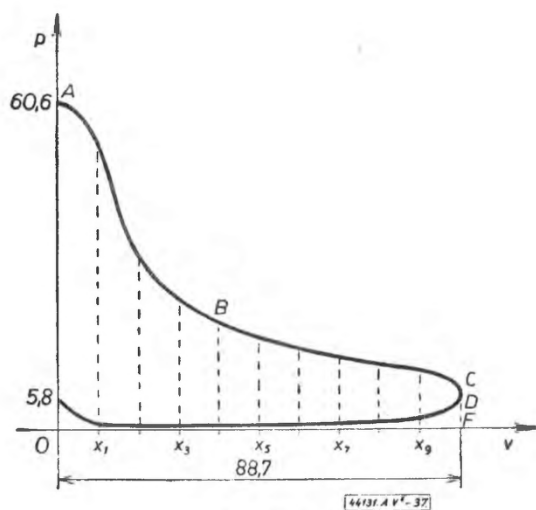
$AA_1 = A_1A_2 = A_2A_3 = A_3A_4 = A_4A_5 = A_5A_6 = A_6A_7 = 0,4 \text{ m}; AB = 3,0 \text{ m}.$

$A_1B_1 = 2,92 \text{ m}; A_2B_2 = 2,75 \text{ m}; A_3B_3 = 2,52 \text{ m}; A_4B_4 = 2,3 \text{ m}; A_5B_5 = 1,84 \text{ m}; A_6B_6 = 0,92 \text{ m}.$

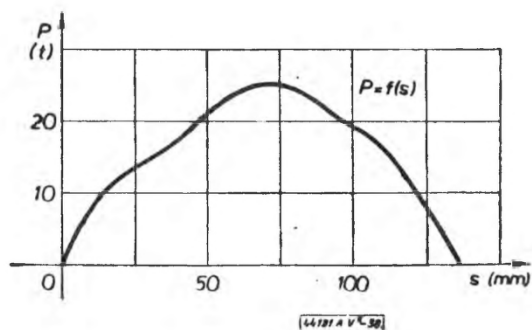
6. A 37. ábrán egy gőzgép indikátor-diagramja látható. Az  $ABC$  és  $ED$  görbék ordinátáinak hosszát az  $x_0, x_1, x_2, \dots, x_{10}$  helyeken a mellékelt táblázat adja:

Abszcissza:	$x_0$	$x_1$	$x_2$	$x_3$	$x_4$	$x_5$	$x_6$	$x_7$	$x_8$	$x_9$	$x_{10}$
$ABC$ görbe ordinátája:	60,6	53,0	32,2	24,4	19,9	17,0	15,0	13,3	12,0	11,0	6,2
$ED$ görbe ordinátája:	5,8	1,2	0,6	0,6	0,7	0,8	0,9	1,0	1,3	1,8	5,7

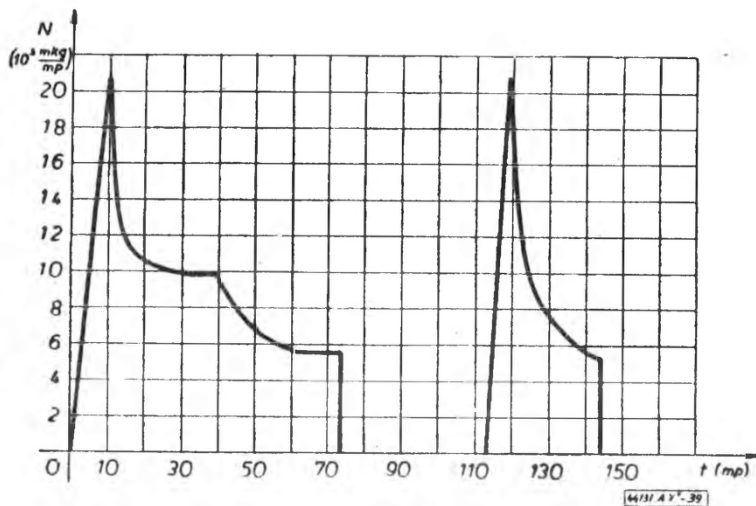
Határozzuk meg Simpson-szabállyal az  $ABCDE$  görbe által meghatározott területet. Az ordináták hossza mm-ben van megadva. Az  $OF$  távolság hossza 88,7 mm.



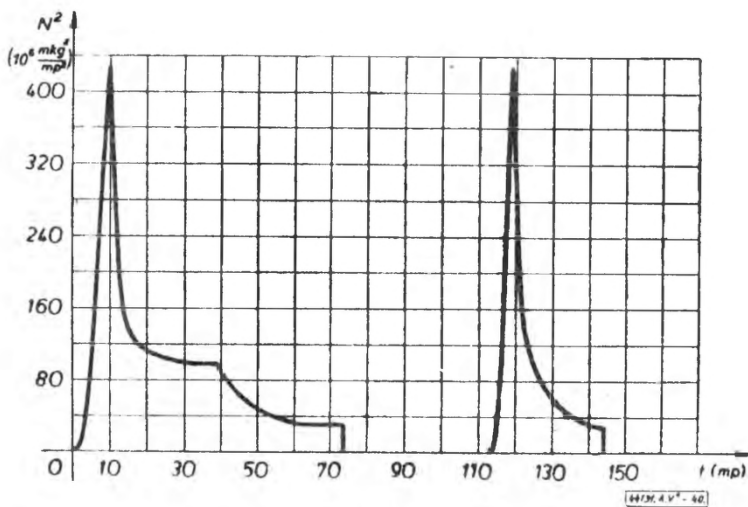
37. ábra



38. ábra



39. ábra



40. ábra

1. A sajtoló szakmában előfordul, hogy különböző sajtoló szerszámokat kell összehasonlítani (azonos méretű munkadaraboknál) munkaszükséglet szempontjából. E célból megfelelő regisztráló műszerek segítségével elkészítik az összehasonlítandó szerszámok sajtolási erő-út görbéjét [ $P = f(s)$ ], majd a Simpson-szabály segítségével kiszámítják a görbe alatti síkrész területét [tmm-ben]. Nyilván az a szerszám a leggazdaságosabb, amelynél e görbe alatti terület a legkisebb.

Határozzuk meg az említett módon a 38. ábrán látható sajtolási görbe alatti területet, tmm-ben.\*

8. Határozzuk meg a villamos vasút-feladatban szereplő  $N = N(t)$  teljesítmény-idő görbe, valamint az  $N_2 = N^2(t)$  teljesítménynégyzet-idő görbe alatti területet, numerikus integrálással, a léptékek figyelembevételével. (E görbék a 39. és 40. ábrán láthatók.)

### g) Grafikus integrálás\*\*

#### α) Bevezetés

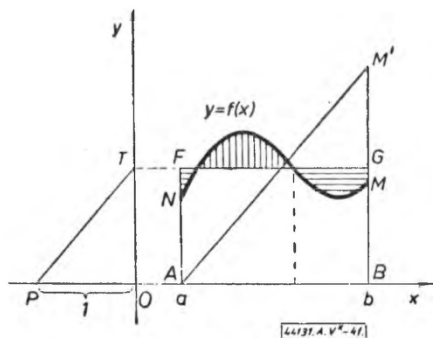
Adva az  $y = f(x)$  függvény görbéje. Feladatunk: geometriai úton meghatározni az

$$\int_a^b f(x) dx$$

határozott integrál értékét (geometriailag a görbe alatti terület  $[a, b]$  szakaszmenti darabjának mérőszámát), anélkül, hogy valami számolást végeznénk.

#### β) Elvi ismertetés

Az egyszerűség kedvéért az  $x$  és  $y$  tengelyen egyelőre egytorma egységeket vegyünk fel. A  $P(-1, 0)$  pont az alábbi szerkesztés során pólusként fog szerepelni. Most húzzuk meg azon  $y = c$  állandó függvény görbéjét,



41. ábra

amely görbe alatti terület az  $[a, b]$  szakaszon szemmel láthatóan kevéssé tér el az  $y = f(x)$  függvény görbéje alatti, ugyanazon szakaszmenti területtől. A  $P$  pólust összekötjük a vízszintes egyenes és az  $y$  tengely metszéspontjával, majd ezzel párhuzamosan húzunk az  $A(a, 0)$  pontból kiindulva, az  $[a, b]$  szakaszon. Az  $f(b)$  ordinátából (vagy meghosszabbításából) a párhuzamos által lemetszett  $M'B = F(b)$  egyenesdarab hosszúsági mérőszáma megegyezik (a most leírt szerkesztés pontosságának megfelelő közelítéssel) az  $y = f(x)$  görbéje alatti, említett síkrész területi mérőszámával (41. ábra).

U. i. a  $POT$  és  $ABM'$  háromszögek hasonlósága alapján írhatjuk:

$$\frac{BM'}{AB} = \frac{OT}{OP}, \quad \text{ahonnan} \quad BM' = \frac{AB \cdot OT}{OP} = AB \cdot OT,$$

vagy más jelölésekkel:

$$F(b) = \frac{(b-a)c}{1} = (b-a)c.$$

Tehát a  $BM' = F(b)$  ordinata hosszúsági mérőszáma valóban megegyezik az említett görbe alatti területtől kevéssé eltérő vízszintes egyenes alatti terület mérőszámával.

\* Barsi István főmérnök gyűjtése

\*\* L. Berman 1. m. I. k.

Megjegyzendő, hogy az adott szakaszon a görbe alatti terület átalakítása vízszintes egyenes alatti területté, az integrálszámítás középtértéktétele szellemében történik:

$$T_g = \int_a^b f(x) dx = f(\xi) (b - a) = T,$$

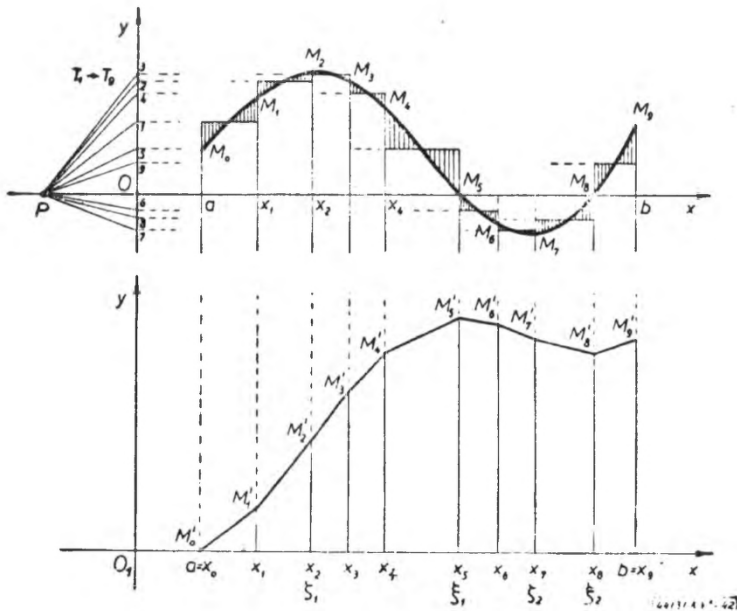
[a szakaszon folytonos  $f(x)$  esetén], ahol  $a \leq \xi \leq b$ . A fentebbiekben említett  $y = c$  vízszintes egyenes meghúzásakor éppen ezen  $f(\xi)$  középordinátát törekszünk szemmértékkel megállapítani.

#### $\gamma)$ Gyakorlati eljárás

Ha az  $[a, b]$  szakasz — mint a gyakorlatban legtöbbször — nem elég kicsiny, akkor a most említett vízszintes egyenes szemmértékkel való meghúzása számottevő hibára vezethet. Ilyenkor a pontosság javítása céljából az adott szakaszt (nem feltétlenül egyenlő) részzszakaszokra osztjuk; célszerűen úgy, hogy az egyes részzszakaszokon az  $f(x)$  görbéje monoton legyen, továbbá, hogy az  $f(x)$  esetleges  $\xi_i$  előjelváltó zérushelyei és  $\zeta_i$  szélsőérték-helyei [ahol tehát  $f(\xi_i) = 0$  és  $f'(\zeta_i) = 0$ , de  $f'(\xi_i) \neq 0$  és  $f''(\zeta_i) \neq 0$ ] szerepeljenek az  $x_k$  osztópontok között. Ilyen beosztás készítése különösen indokolt akkor, ha az  $f(x)$

görbe  $F(x) = F(a) + \int_a^x f(x) dx$  integrálgörbéjének (közelítő) megszerkesztésére törekszünk; ekkor u. i. a  $\xi_i$ , illetve  $\zeta_i$  helyek ezen integrálgörbe extremum-, illetve inflexiós helyei. Ha a beosztásnak megfelelő görbedarabok nem térnek el jelentősen az egyenestől, akkor az

$$f(x_k) = \frac{1}{x_{k+1} - x_k} \int_{x_k}^{x_{k+1}} f(x) dx$$



42. ábra



középpontjáták szemmértékkel való megállapítása helyett egyszerűen a részzszakaszok

$$\left( \frac{x_{k+1} + x_k}{2} \right)$$

középső ordinátájával rajzoljuk meg részzszakaszonként a vízszintes egyenesdarabokat. Ezek vetületi pontjait az  $y$  tengelyen jelöljük  $T_k$ -val

Ezekután — a  $\beta$ -ban leírt módon — részzszakaszonként megszerkesztjük a  $PT_k$  segédvonalakkal párhuzamos  $M'_{k-1}$ ,  $M$  egyenesdarabokat, mégpedig célszerűen egy, az  $f(x)$  görbe koordinátarendszere alatti (feletti) másik koordinátarendszerben (42. ábra). Ezen  $M'_{k-1}$ ,  $M'_k$  egyenesdarabokat egymáshoz fűzve rajzoljuk meg, s ezzel összhangban az  $x_k$  helyeken adódó eredő  $F(x_k)$  ordináták (előjeles) hosszúsági mérőszáma közelítőleg az  $x_k$  helyektől balra ( $x_0 = a$ -ig) elhelyezkedő részterületek (előjeles) területi mérőszámainak (algebrai) összegével egyenlő. Ennek megfelelően az  $F(b)$  ordináta az  $f(x)$  görbéje alatti  $s$   $[a, b]$  szakaszmenti területről tájékoztat.

Az ilyen szerkesztés útján nyert poligon-görbe az  $f(x)$  görbe  $F(x) = F(a) + \int_a^x f(x) dx$

integrálgörbéjének közelítő alakja. Éppen ezért a fentebb leírt szerkesztést grafikus integrálásnak nevezzük.

**δ) Megjegyzések** | A grafikus integrálást rendszerint akkor alkalmazzuk, amikor az integrálandó  $f(x)$  függvény csak görbéjével van adva, míg képlete nem ismeretes. Ez sűrűn előfordul a gyakorlatban, pl. a különféle regisztráló készülékek által felrajzolt grafikonok esetében.

Fentebb már tettünk említést az előjeles területi mérőszámról. Így pl. amely részzszakaszon az  $f(x) < 0$ , azaz görbéje az  $x$  tengely alatt halad, ott — az  $F'(x) = f(x)$  körülménynek megfelelően — az  $F(x)$  görbéje monoton süllyed. Ugyancsak céloztunk már az  $F(x)$  görbe  $\xi$ , szélsőérték-helyeire és  $\zeta$ , inflexiós helyeire (42. ábra).

Megjegyzendő, hogy a gyakorlatban a grafikus integrálásnál a legtrikábban van dolgunk az  $x$  és  $y$  tengelyen egyforma egységekkel. Az egységeket ugyanis a változók szélsőértékeinek, valamint a rendelkezésre álló rajzterület méreteinek mérlegelése alapján választjuk meg. Ily módon fontos szerepet játszanak az egyes változókra vonatkozó lépték- v. mértékszámok; ezek megmutatják, hogy a rajzban az illető változóra vonatkozó hosszegységnek (mm) a valóságban hány technikai egység (pl. km/óra) felel meg. Ezek tekintetében a példákra hivatkozunk.

A gépi integrálás ismertetését itt mellőzzük; ehelyett az irodalomra\* és sorozatunk B. VIII. kötetére utalunk.

#### VILLAMOS VASÚTI SZERELVÉNY MENETDIAGRAMJA

(Az alábbi összeállítás a IV. éves erőszakmú villamosmérnökhallgatók vasút-feladatát ismertetési kivonatosan\*\*, konkrét szám adatok mellett,\*\*\* mint igen szép példát a grafikus integrálás gyakorlati felhasználására.)

\* L. pl. *Bermant* i. m. I. kötet, 363. és köv. o. — *Б. Н. Делоне: Краткий курс математических машин, Гостехиздат, 1952, Москва.*

\*\* L. részletesen *Verebélj*—Csáki idézett jegyzetében.

\*\*\* T. E. IV. villm. számításai alapján.

a) Irányelvek  
A feladat kitűzése  
Adatok

$\alpha_1$ ) Irányelvek. Adott összeállítású és súlyú közúti szerelvény a (mellékelt tábla 0. ábráján) feltüntetett mértékadó hosszszelvényű pályán halad.

A síkpályán megengedhető  $a_m$  gyorsulást az ú. n. tapadás határozza meg ( $a_m < a_{t\max}$ ), de  $a_m$  nem lehet nagyobb, mint a megadott maximális  $a_{\max}$ . Ha ez utóbbi nagyobb, mint a tapadásból számítható  $a_{t\max}$ , akkor a kihasználható vonóerő  $K_{\max}$  nagyságát  $a_m < a_{t\max}$  gyorsulás határozza meg (a csúszás megakadályozása érdekében), valamint az a követelmény, hogy a vonat az előforduló legmeredekebb emelkedőn  $K \approx 0,75 K_{\max}$  vonóerő alkalmazása esetén legalább egyenletes sebességgel tudjon áthaladni. Az így megállapított  $K_{\max}$  és előírt  $v_{\max}$  érték felhasználásával — a mellékelt százalékos tapasztalati táblázat alapján — megrajzolható a  $K = K(v)$  vonóerő-sebesség görbe (l. a tábla 1. görbéjét).

A fékezés legfeljebb a tapadásból számítható  $b_{t\max}$  lassulás 60%-ával történik, de kell, hogy e  $b_m \leq b_{\max}$  legyen. Minden kocsit legyen fékezett.

A tengelytáv kéttengelyes kocsinál 4 m-nek, forgószármolyos kocsinál 1,7 m-nek vehető.

$\alpha_2$ ) A feladat kitűzése. Ezen irányelvek alapján megoldandó a következő feladat:

a) Megállapítandó menetdiagramm szerkesztése útján a  $T$  menetidő és a  $v_n$  utazási sebesség, 20 mp-es megállás figyelembevételével.

b) Ellenőrzendő a szerkesztés helyessége a gyorsulás-lassulás ( $a_*$ ) menetidőbeli integráljára vonatkozó

$$\begin{aligned} \int_0^T a_* dt &= \int_0^{t_1} a dt - \int_0^{t_2} b dt = \sum_{i=1}^{n_1} \int_{t_i}^{t_{i+1}} a dt - \sum_{i=1}^{n_2} \int_{t_i}^{t_{i+1}} b dt = \sum_{i=1}^{n_1} \int_{v_i}^{v_{i+1}} dv - \sum_{i=1}^{n_2} \int_{v_i}^{v_{i+1}} dv = \\ &= \sum_{i=1}^{n_1} (v_{i+1} - v_i) - \sum_{i=1}^{n_2} (v_{i+1} - v_i) = \sum_{i=1}^n \Delta v_i - \sum_{i=1}^m \Delta v_i = 2v_{\max} - 2v_{\max} = 0 \end{aligned}$$

(feltéve, hogy mindkét alkalommal  $v_{\max}$ -ra gyorsítjuk fel a szerelvényt) követelmény alapján (ahol  $a > 0$  a gyorsulás,  $-b < 0$  a lassulás,  $t_1$  a gyorsuló,  $t_2$  a lassuló menet összideje,  $\Delta t_i = t_{i+1} - t_i$  a gyorsuló,  $\Delta t_j = t_{j+1} - t_j$  a lassuló menet egy-egy ugrásnélküli időszaka,  $\Delta v_i$  és  $\Delta v_j$  ezen időszakokban a sebességnövekmény abszolút értéke); továbbá a gyorsító és lassító erők ( $P_*$ ) pályamenti integráljára vonatkozó (s az előbbi módon részletesen kifejtendő)

$$\begin{aligned} \int_0^s P_* ds &= m_0 \int_0^{s_1} a ds - m_0 \int_0^{s_2} b ds = m_0 \int_0^{t_1} \dot{v} v dt - m_0 \int_0^{t_2} \dot{v} v dt = 2 m_0 \int_0^{v_{\max}} v dv - 2 m_0 \int_0^{v_{\max}} v dv = \\ &= 2 \left[ \frac{1}{2} m_0 v_{\max}^2 - \frac{1}{2} m_0 v_{\max}^2 \right] = 0. \end{aligned}$$

(ismét feltéve, hogy mindkét alkalommal  $v_{\max}$ -ra gyorsítjuk fel a szerelvényt) követelmény alapján (ahol most  $s_1$  a gyorsuló,  $s_2$  a lassuló menet összútja).

c) Megrajzolandó grafikus szorzás útján az  $N = N(t)$  teljesítmény-idő görbe, annak figyelembevételével, hogy az indítás állandó teljesítménnyel történik. A gépi berendezés átlagos hatásfoka legyen  $\eta = 85\%$ .

d) Az  $N = N(t)$  teljesítmény-idő görbéje alatti terület alapján meghatározandó a fajlagos fogyasztás  $W_0/t_{km}$ -ben.

e) Megállapítandó a teljesítmény  $N_n = \sqrt{\frac{1}{T} \int_0^T N^2 dt}$  kvadratikus középértéke gyanánt

a szükséges gépteljesítmény, továbbá az ehhez tartozó sebesség, végül ez utóbbiból a motor(ok)  $n_n$  névleges fordulatszáma,  $a = 17:82$  áttétel,  $D_k = 800$  mm kerékátmérő és  $\eta_n = 95\%$  hajtómű-hatásfok mellett.

**$\alpha_3$ ) Adatok.**

a) A vasúti szerelvény egy  $G_{gk} = 20$  t súlyú, forgószármolyos mozdonyból és  $n = 2$  db. egyenként, utasokkal együtt  $G_k = 17$  t súlyú kocsiból áll.

b) A megengedett legnagyobb sebesség:  $v_{\max} = 38$  km/ó.

c) A megengedett gyorsulás:

$$a_m \leq a_{\max} = 0,7 \text{ m/mp}^2 \text{ és } a_m < a_{t\max}.$$

d) A megengedett lassulás:

$$b_m \leq b_{\max} = 0,8 \text{ m/mp}^2 \text{ és } b_m < b_{t\max}.$$

e) A pálya legmeredekebb  $a$  szakaszán az emelkedés:  $i_{\max} = 24^\circ_{00}$  (promill).

f) Kanyarulati sugar  $a$  szakaszon:  $R = 70$  m.

g) Százalékos tapasztalati táblázat a vonóerő-sebesség görbe megszerkesztéséhez:

$u = \frac{v}{v_{\max}} \cdot 100$	45	50	60	70	80	90	100
$k = \frac{K}{K_{\max}} \cdot 100$	100	63	35	23	16	11	7

 **$\beta$ ) Menet- és pálya-ellenállások**

$\beta_1$ ) Menetellenállások. a) Csapsúrlódási ellenállás:

$$\text{A mozdonyon: } E_{cs gk} = \varepsilon_{cs gk} G_{gk} = 1,2 \cdot 20 = 24 \text{ kg}$$

$$\text{A kocsikon: } E_{csk} = n \varepsilon_{csk} G_k = 2 \cdot 1,4 = 34 \text{ kg}$$

$$\text{Összesen: } E_{cs} = E_{cs gk} + E_{csk} = 58 \text{ kg.}$$

Itt  $G_{gk}$  és  $G_k$  t-ban értendő;  $\varepsilon_{cs gk}$  és  $\varepsilon_{csk}$  tapasztalati állandók.

b) Gördülési ellenállás:

Az egész szerelvényre:  $E_g = \mu_g G_\delta = 4 \cdot 54 = 216 \text{ kg}$ , ahol  $\mu_g$  tapasztalati állandó és  $G_\delta = G_{gk} + nG_k$ .

c) Stílllesztések ellenállása:

Az egész szerelvényre tapasztalati képlet szerint:

$$E_s = 0,0142 G_\delta \left( \frac{v}{10} \right)^2 \text{ kg,}$$

ahol  $v$  km/ó-ban értendő. A képlet alkalmazásával:  $E_s(0) = 0 \text{ kg}$ ,  $E_s(v_{\max}) = 11,1 \text{ kg}$ ,  $E_s(0,45v_{\max}) = 2,24 \text{ kg}$ , ahol  $v_{\max} = 38 \text{ km/ó}$ ,  $0,45v_{\max} = 17,1 \text{ km/ó}$ .

d) Légellenállás:

Mértékadó felületek:  $F_{gk} = 7 \text{ m}^2$ ,  $F_{k1} = 2 \text{ m}^2$ ,  $F_{k2} = 0,4 \text{ m}^2$ , összesen:  $F = 9,4 \text{ m}^2$ . Ezzel a légellenállás szerelvényünkre Frank képlete szerint:

$$E_l = 0,54 F \left( \frac{v}{10} \right)^2 \text{ kg.}$$

E képletet számolva:  $E_l(0) = 0$ ,  $E_l(0,45v_{\max}) = 14,8 \text{ kg}$ ,  $E_l(v_{\max}) = 73,2 \text{ kg}$ .

Az összes menetellenállások figyelembevételével rajzoljuk meg az  $E = E(v)$  ellendállás-sebesség görbét a következő 3 pontja alapján:

$v$	0	17,1	38	km/ó
$E$	274	291	358	kg

(L. a tábla 2. görbét!)\*

$\beta_2$ ) Pályaellenállások.

a) Pályaemelkedési ellenállás:  $E_i = i G_\delta = 54i$ , ahol  $i$  az emelkedés ‰-ben.

Az  $a$  szakaszon  $i_a = 24$ , tehát  $E_{ia} = 1296$  kg,

az  $f$  szakaszon  $i_f = -5$ , tehát  $E_{if} = -270$  kg,

a  $g$  szakaszon  $i_g = 9,5$ , tehát  $E_{ig} = 513$  kg.

b) Kanyarulati ellenállás: a  $c$  szakaszon, ha a kanyarulati sugár  $R = 70$  m, a tengelytáv  $t = 1,7$  m, tapasztalati képlet szerint:

$$E_k = 200 \frac{t}{R} G_\delta = 200 \frac{1,7}{70} 54 = 262 \text{ kg.}^{**}$$

$\gamma$ ) Tapadó, vonó-  
és fékező erő

$\gamma_1$ ) Tapadó erő. Így nevezik a mozdony meghajtott kerekei és a sín között működő erőt. Feltételezve, hogy a mozdony minden kerekpárja meghajtott (nincs futókerekpárja), a tapadó erő esetünkben:

$$K_t = 1000 \mu_t G_{gk} = 250 \cdot 20 = 5000 \text{ kg,}$$

ahol a sebességtől függő  $1000 \mu_t$  tényezőnek gyakorlati átlagértékét vettük.

A vonóerő — a csúszás elkerülése érdekében — a tapadó erőnél nagyobb nem lehet,  $K \leq K_t$ . Határesetben a  $K = K_t$  vonóerő a szerelvény — gyakorlati képlet szerint —

$$m_\delta = 102 (\alpha_{gk} G_{gk} + \alpha_k G_k) = 102 (1,1 \cdot 20 + 2 \cdot 1,06 \cdot 17) = 5800 \frac{\text{kg mp}^2}{\text{m}}$$

nagyságú (s a kerekkarimára vonatkoztatott) tehetetlen tömegét sík pályán az átlagos  $(0,45 v_{\max})$ -nál fellépő)

$$E = E_{cs} + E_g + E_s + E_t = 58 + 216 + 2,24 + 14,8 = 291 \text{ kg}$$

menetellenállással szemben nyilván

$$a_{t\max} = \frac{K_t - E_{\max}}{m_\delta} = \frac{5000 - 291}{5800} = 0,81 \text{ m/mp}^2$$

maximális gyorsulással mozgatható.

Mint hogy  $a_{\max} = 0,7 \text{ m/mp}^2$ , azaz  $a_{\max} < a_{t\max}$ , azért megengedett gyorsulásnak az  $a_m = a_{\max}$ -ot tekintjük s ezt használjuk fel alább a  $K_{\max}$  vonóerő megállapítására.

$\gamma_2$ ) Vonóerő. A most meghatározott  $a_m = a_{\max} = 0,7 \text{ m/mp}^2$  megengedett gyorsulás mellett, a szerelvény kiszámított  $m_\delta = 5800 \text{ kg mp}^2/\text{m}$  tömege (a kerekkarimán)

$$T = m_\delta a_{\max} = 5800 \cdot 0,7 = 4060 \text{ kg}$$

tehetetlenségi erőt képvisel. Ezt, valamint az átlagos  $E$  menetellenállást kell fedeznie a  $K_{\max}$  vonóerőnek; tehát:

$$K_{\max} = T + E = 4060 + 291 = 4351 \text{ kg} < K_t.$$

A legmeredekebb  $a$  emelkedőn a pályaellenállás:  $E_{pa} = 1296$ .

\* és \*\*: Az állandó menet- és pályaellenállásokat máris ábrázolhatjuk az út függvényében (l. a tábla 12. görbét), a sebességtől függő ellenállásokat később!

Mint hogy

$$K = 0,75 K_{\max} = 3264 \text{ kg} > L_{pa} + E = 1296 + 291 = 1587 \text{ kg},$$

ily módon a legmeredekebb emelkedőn a  $K = 0,75 K_{\max}$  vonóerővel nemcsak egyenletes, hanem jelentősen gyorsuló menetet tudunk elérni. Esetünkben erre szükség is van, mert éppen e szakaszon indul ( $v = 0$  kezdősebességgel) a vonat.

A  $K_{\max}$  tehát megfelel a követelményeknek. Most a  $K_{\max} = 4351 \text{ kg}$ , a  $v_{\max} = 38 \text{ km/ó}$  értékek, valamint az  $\alpha_3$ -ban g) alatt megadott százalékos  $k = k(u)$  táblázat alapján összeállíthatjuk a kerékkarimára vonatkoztatott  $K = K(v)$  vonóerő-sebesség függvény táblázatát:

$v$	17,1	19	22,8	26,6	30,4	34,2	38	km/ó
$K$	4350	2740	1525	1000	697	479	304	kg

A függvény görbéje a táblán 1. alatt látható.

E görbe, valamint az összes menet- és pályaelenállások ismeretében megrajzolhatjuk a pálya minden egyes szakaszára a  $K_a = T = T(v)$  gyorsítóerő-sebesség görbét. Ez a b, d és e sík szakaszra a 3., a c kanyarra a 3', az a emelkedőre a 4., a g emelkedőre az 5., végül az f lejtőre vonatkozólag a 6. szám alatt szemléltethető táblázatunkon. — Kiemeljük, hogy az ábrázolást  $\mu_0$  [mm/kg] erőléptékkel és  $\mu_v$  [mm/m/mp] sebességléptékkel végeztük; a választott számértékek esetünkben:

$$\mu_0 = \frac{1}{50} \text{ és } \mu_v = 15.$$

**γ<sub>3</sub>) Fékező erő.** A tapadó erő 60%-ával egyenlő fékező erő, ha minden kocsí fékezett:

$$F_t = 0,6 K_{t1} = 0,6 \cdot 250 \cdot 54 = 8100 \text{ kg},$$

azaz átlagos

$$E = 291 \text{ kg}$$

menetellenállással együttműködve,

$$b_{tma} = \frac{F + E}{m_0} = \frac{8391}{5800} = 1,45 \text{ m/mp}^2$$

lassulást eredményezne. Láthatóan  $b_{tma} = 1,45 > b_{\max} = 0,8 \text{ m/mp}^2$ ; ezért ez utóbbival számítva:

$$F_{\max} = m_0 b_{\max} - E = 5800 \cdot 0,8 - 291 = 4360 \text{ kg} < F_t.$$

Ezen  $F_{\max}$  fékező erőt alkalmazzuk az első megállásnál, a d szakasz végén (sík pályán). A második megállásnál, a g szakasz végén viszont, ahol az E-n kívül az E<sub>i</sub> emelkedési ellenállás is részt vesz a fékezésben:

$$F = F_{\max} - E_i = 4360 - 513 = 3847 \text{ kg}.$$

A fékezést megelőzőleg mindkét pályaszakasz elején,  $x_{s2k}$  útdarabon, a motort kikapcsolva szabadkifutást eszközölünk. Ezen  $x_{s2k}$  a munkatétel alapján határozható meg:

$$\frac{1}{2} m_0 v^2 = m_0 b_{s2k} x_{s2k} + m_0 b_{\max} (s - x_{s2k}),$$

illetve

$$x_{s2k} = \frac{2b_{\max} s - v^2}{2(b_{tma} - b_{s2k})},$$

ahol

$$b_{s2k} = \frac{E + E_i}{m_0}.$$

E képletek alkalmazásával a  $d$  szakasz elején:

$$b_{szk} = \frac{\frac{358 + 291}{2}}{5800} = \frac{324,5}{5800} = 0,056 \text{ m/mp}^2$$

és  $v = 8,66 \text{ m/mp}$  kezdősebességgel számolva (l. a 7. görbét)

$$x_{szk} = \frac{2 \cdot 0,8 \cdot 120 - 8,66^2}{2(0,8 - 0,056)} = 78,6 \text{ m};$$

a  $g$  szakaszon pedig:

$$b_{szk} = \frac{\frac{358 + 291}{2} + 513}{5800} = 0,144 \text{ m/mp}^2$$

és  $v = 8,9 \text{ m/mp}$ -cel számolva

$$x_{szk} = \frac{2 \cdot 0,8 \cdot 250 - 8,90^2}{2(0,8 - 0,144)} = 244 \text{ m}.$$

#### 8) A menetdiagramm szerkesztése

$\delta_1$ ) *A sebesség-idő görbe szerkesztése.* A fentebbiek során megrajoltuk a  $T = T(v)$  gyorsító erő-sebesség görbéket, a pálya minden szakaszára vonatkozólag (l. a 3., 3', 4., 5. és 6. görbéket). E görbék a  $T = m_\delta a$  összefüggés értelmében, más léptékben, az  $a = a(v)$  gyorsulás-sebesség függvény görbéi is. Ebből kell most alkalmas sorrendben az  $a = a(t)$  gyorsulás idő,  $v = v(t)$  sebesség-idő és az  $s = s(t)$  út-idő függvény görbéjét megszerkeszteni.

E célból először is *felosztjuk* a  $[0, v_{\max}]$  szakaszt tetszőleges (célszerűen monoton csökkenő) részzszakaszokra. E felosztás figyelembevételével (egyelőre az  $a$  pályaszakasznak megfelelő)  $T = T(v)$  görbére — szemmértékkel, a területkiegyenlítés elvét alkalmazva, vagyis a  $\Delta v_i$  részzszakaszok  $T_i$  középpontjait közelítőleg megállapítva — *lépcsős görbét* rajzolunk. Ezzel a  $T$  gyorsító erőt  $s$  vele együtt az  $a$  gyorsulást állandónak vesszük az egyes  $\Delta v_i$  rész-

szakaszokban; maga a  $v$  e részzszakaszokon,  $\int_{t_{i-1}}^t a_i dt = a_i (t - t_{i-1})$ ,  $t_{i-1} \leq t \leq t_i$  értelmében, az időben lineárisan változik.

A most említett lépcsős görbe  $T_i$  ordinátáinak felhasználásával könnyen megrajzolható a  $\Delta v_i$  részzszakaszokon állandó  $\frac{1}{a_i} = \frac{m_\delta}{T_i}$  ordinátájú *lépcsős görbe*. Bár tényleges megrajzolását — mint szükségtelent — mellőzzük, mégis kiemelendő, mert e függvény  $v$ -szerinti grafikus integrálása útján jutunk a  $t = t(v)$  idő-sebesség, illetve — majd a  $t$ -t tekintve független változónak — a  $v = v(t)$  sebesség-idő görbéhez. E *grafikus integrálás* a

$$\frac{T_i}{m_\delta} = a_i = \frac{\Delta v_i}{\Delta t_i},$$

illetve a

$$\Delta t_i = \frac{1}{a_i} \Delta v_i = \frac{m_\delta}{T_i} \Delta v_i$$

összefüggés értelmében, a  $\Delta v_i$  részzszakasz mentén, egységnyi  $v$ -irányú pólustávolságon  $\frac{m_\delta}{T_i}$  emelkedésű, vagy ami ugyanaz,  $t$ -irányú  $m_\delta$  pólustávolságon  $T_i$  emelkedésű sugarú segítségével történik, a  $g$ )  $\gamma$ -ban részletezett módon. (L. a 7'. magyarázó ábrán.)

Ezen elvi magyarázat után, a tényleges ábrázoláshoz figyelembe kell még venni a léptékeket! Az előzőekben már használt  $u_e = \frac{1}{50}$  [mm/kg] erőlépték és  $u_v = 15$  [mm/m/mp]

sebességlépték mellett most megválasztottuk az *időléptéket*:  $u_i = 1,5$  [mm/mp]. Ezek miatt a fentebbi

$$m_0 = \frac{T_i \Delta t_i}{\Delta v_i}$$

összefüggés az ábrázolásban

$$m_0 \mu_m = \frac{T_i \mu_e \cdot \Delta t_i \cdot \mu_t}{\Delta v_i \mu_v}$$

alakot ölt. A kettő hányadosát véve és a számértékeket beírva, megkapjuk a *tömegléptéket*:

$$\mu_m = \frac{\mu_e \mu_t}{\mu_v} = \frac{1,5}{50 \cdot 15} = \frac{1}{500} \text{ [mm/kgmp}^2\text{/m]},$$

ezzel a tényleges,  $t$ -irányú *pólustávolság*:

$$m = m_0 \mu_m = \frac{5800}{500} = 11,6 \text{ mm.}$$

E (vízszintes) pólustávolságon  $T_i \mu_e = \frac{T_i}{50}$  mm emelkedésű sugarak segítségével végezzük a szerkesztést az egyes  $\Delta v_i$  szakaszokon, a párhuzamost a  $\Delta v_1$  szakaszon az  $O_1$  origóból, a többi  $\Delta v_i = n$  pedig az előző integrál-görbedarab végpontjából húzva. Így nyerjük a  $\Delta v$  részzszakaszoknak megfelelő  $\Delta t_i$  időszakokat, illetve a *törött vonalú sebesség-idő görbét*. (L. a táblabeli 7. görbét!)

Hangsúlyozzuk, hogy e grafikus integrálás során minden  $\Delta v_i$  sebességszakaszon, illetve  $\Delta t_i$  időszakban a megfelelő  $\Delta s_i$  pályaszakaszon érvényes lépcsőzött gyorsító, illetve lassító erő-görbével kell dolgoznunk. Ennek megvalósítására a  $v = v(t)$  görbével *egyidejűleg kell szerkeszteni az  $s = s(t)$  görbét*. A harmadik, vagyis az  $a = a(t)$  görbe szerkesztését így célszerűen utoljára eszközöljük.

$\delta_2$ ) Az *út-idő görbe szerkesztése*. A  $v = v(t)$  görbe megrajzolt,  $v(t) = a_i (t - t_{i-1})$ ,  $t_{i-1} \leq t \leq t_i$  lineáris szakaszait most  $v_i = \frac{v(t_i) + v(t_{i-1})}{2}$  ordinátájú vízszintes egyenesdarabokkal helyettesítjük s az így nyert *lépcsős görbe* alapján szerkesztjük meg az  $s = s(t)$  görbét. (L. a 8. görbét!) A  $t$ -szerinti grafikus integrálást a  $\Delta t_i$  időszakokra vonatkozólag az elvi

$$\Delta s_i = \frac{v_i}{1} \Delta t_i,$$

illetve (a lépték miatt) az ábrázolásbeli

$$\Delta s_i \mu_s = \frac{v_i \mu_v}{u} \Delta t_i \mu_t$$

összefüggés értelmében, elvileg egységnyi pólustávolságon  $v_i$  emelkedésű, ténylegesen pedig

$$u = \frac{\mu_v \mu_t}{\mu_s} = \frac{15 \cdot 1,5}{0,2} = 112,5 \text{ mm}$$

pólustávolságon  $v_i \mu_v = 15 v_i$  mm emelkedésű sugarak segítségével végezzük. (A  $\mu_s = 0,2$  [mm/m] *útlépték*et már a pálya hossz-szelvényének megrajzolásakor felvettük.)

$\delta_3$ ) A *gyorsulás-idő görbe szerkesztése*. A *törött vonal* görbéjű  $v = v(t)$  függvény  $a = a(t)$  deriváltja nyilván *lépcsős görbéjű*, a  $\Delta t_i$  szakaszon elvileg

$$a_i = \frac{\Delta v_i}{\Delta t_i} 1,$$

az ábrázolásban pedig (a léptékek miatt)

$$a_i \mu_a = \frac{\Delta v_i \mu_v}{\Delta t_i \mu_t} g$$

állandó ordinátával. A gyorsulásléptéket  $\mu_a = 100$  [mm/m/mp<sup>2</sup>]-nek választva, a rajzban a  $\frac{\Delta v_i \mu_v}{\Delta t_i \mu_t}$  iránytg-ű (meghosszabbított) egyenesdarabok a

$$g = \frac{\mu_a \mu_t}{\mu_v} = \frac{100 \cdot 1,5}{15} = 10 \text{ [mm]}$$

pólustávolságon éppen  $\mu_a a_i = 100 a_i$  mm emelkedést mutatnak. Legcélszerűbb a szerkesztést — a  $\delta_1$ -gyel összhangban — a  $v = v(t)$  görbe most említett egyenesdarabjaival párhuzamos sugarak segítségével végezni, az

$$\frac{a_i \mu_a}{g} = \frac{T_i \mu_e}{m} \left( = \frac{\Delta v_i \mu_v}{\Delta t_i \mu_t} \right)$$

összefüggés (ill. a megfelelő hasonló derékszögű háromszögek) alapján. (L. a tábla 9. görbéjét!)

$\delta_4$ ) *Ellenőrzések.* Az  $a = a(t)$  görbe birtokában elvégezhetjük az  $a_2$  —  $b$ )-ben említett ellenőrzést:

$$T_a = \int_0^{t_1} a \, dt = \sum_{i=1}^n a_i \Delta t_i = \frac{1}{\mu_a \mu_t} \sum_{i=1}^n a_i \mu_a \Delta t_i \mu_t = \frac{1}{150 \text{ [mm}^2/\text{m/mp]}} \cdot 2624 \text{ [mm}^2] =$$

$$= 17,52 \text{ [m/mp]} \approx v_{1\max} + v_{2\max} = 8,66 + 8,90 = 17,56 \text{ [m/mp]},$$

ahol  $v_{1\max}$ , illetve  $v_{2\max}$  az első, illetve második menet folyamán ténylegesen elért (és a 7. görbéről leolvasott) maximális sebesség; hasonlóan:

$$T_b = \int_0^{t_1} b \, dt = \sum_{i=1}^m b_i \Delta t_i = \frac{1}{\mu_a \mu_t} \sum_{i=1}^m b_i \mu_a \Delta t_i \mu_t = \frac{1}{150} \cdot 2660 = 17,70 \text{ m/mp} \approx 17,56 \text{ mp}.$$

A szerkesztési hiba tehát:

$$h = \frac{T_a - T_b}{\frac{T_a + T_b}{2}} \cdot 100 = \frac{2624 - 2660}{\frac{2624 + 2660}{2}} \cdot 100 = -1,37\%,$$

amely megengedhető nagyságú.

A  $v = v(t)$  és az  $s = s(t)$  görbék birtokában megrajzolhatjuk a pálya hossz-szelvénye mentén a gyorsító erők  $T = T(s)$ , valamint a lassító erők  $E = E(s)$  (szabadkifutás) és  $F = F(s)$  (fékezés) görbéit, — figyelembevéve, hogy ezen erők (a 2., 3., 3', 4. és 5. görbék tanúsága szerint) a pályaszakasztól ( $a, b, \dots g$ ) és a ( $v$ ) sebességtől egyaránt függenek.

A táblán 12. és 13. alatt a *vonóerő* ( $K = T + E + E_i$ ), valamint a *menet- és pályaelenállások* ( $E + E_i$ ) görbéjét rajzoltuk meg a *pálya mentén*, előjelle nézve helyesen. A két görbe szuperpozíciójaként adódik a *gyorsító és lassító erők* 14. számú görbéje.

*E görbék birtokában most végezzük el az  $a_2$  —  $b$ )-ben említett másik ellenőrzést:\**

$$T_a = \int_0^{s_1} T \, ds = \frac{1}{\mu_e \mu_s} \int_0^{s_1} T \mu_e \, ds \mu_s = \frac{1}{0,01 \cdot 0,2 \text{ [mm}^2/\text{mkg]}} \cdot 934 \text{ [mm}^2] =$$

$$= 467 \, 000 \approx \frac{m_\delta}{2} (v_{1\max}^2 + v_{2\max}^2) = \frac{5800}{2} (8,66^2 + 8,90^2) = 460 \, 000 \text{ mkg},$$

ahol a görbe alatti területet pl. 5 mm-es szakaszbeosztás mellett numerikus integrálással állapíthatjuk meg.

\* Itt az erőlépték a régi fele, azaz  $\mu_e = 0,01$ .



Hasonló módon:

$$T_b = \int_0^{s_2} E_{szk} ds + \int_0^{s_0} F ds = \frac{1}{\mu_e \mu_c} \left[ \int_0^{s_2} E_{szk} ds + \int_0^{s_3} F ds \right] = \frac{1}{2 \cdot 10^{-3}} \cdot 924 = 462\,000 \approx \\ \approx 460\,000 \text{ mkg.}$$

A szerkesztési hiba tehát:

$$h = \frac{T_a - T_b}{\frac{T_a + T_b}{2}} 100 = \frac{5000}{464\,500} 100 = 1,08\%.$$

ami szintén elfogadható.

Az  $\alpha_3) - a)$ -ban feltett kérdésekre válaszolva a menetdiagramm alapján, a teljes menetidő, a 20 mp-es megállást is beleszámítva:

$$T = 185 \text{ mp;}$$

az utazási sebesség tehát:

$$v_a = \frac{S}{T} = \frac{1050}{185} = 5,67 \text{ m/mp} = 20,4 \text{ km/ó.}$$

### e) Egyéb kérdések

$\alpha_1)$  A teljesítmény-idő diagramm szerkesztése. — Ezt (célszerűen a  $v = v(t)$  és az  $s = s(t)$  görbe szerkesztésével egyidejűleg) valamely  $t$  időpontbeli sebesség és az 1. számú  $K = K(v)$  görbe szerint ehhez tartozó vonderő grafikus szorzása útján végezzük; mégpedig elvileg az

$$N = Kv.$$

illetve

$$\frac{N}{K} = \frac{v}{1}$$

összefüggés szerint, az ábrázolásban pedig (a léptékek miatt) az

$$\frac{N\mu_n}{K\mu_v} = \frac{v\mu_v}{n}$$

összefüggés alapján és a (kettő hányadosából nyerhető)

$$n = \frac{\mu_v \mu_v}{\mu_n} = \frac{0,02 \cdot 15}{0,01} = 30 \text{ mm}$$

pólustávolsággal (felvéve a  $\mu_n$  [mm/mkg/mp] teljesítményléptéket). E (vízszintes és az  $O_1$ -től balra felmért) pólustávolságon  $v\mu_v$  mm emelkedésű sugárral párhuzamos átfogójú és a  $K\mu_v$  mm vízszintes befogójú derékszögű háromszög függőleges befogója éppen  $N\mu_n$  mm. Ha a szerkesztést lépcsőzött  $K = K(v)$  görbével végezzük, törött vonalú  $N = N(t)$  görbét kapunk. (L. a táblabeli 10. görbét!)

Az  $N = N(t)$  görbe megrajzolásával eleget tettünk az  $\alpha_2) - c)$ -nek.

$\alpha_3)$  Energiafogyasztás. Az  $N = N(t)$  görbe birtokában meghatározhatjuk a fogyasztott energiát. Ezt a görbe alatti terület megállapítása után nyerjük, az eredő hatásfok, valamint a léptékek figyelembevételével, az

$$A = \frac{1000}{102 \cdot 3600 \eta \mu_n \mu_t} \int_0^T N \mu_n dt \mu_t \text{ Wo}$$

értelmében.

A gépi berendezések hatásfoka:  $\eta_g = 0,85$ , a hajtóműé:  $\eta_h = 0,95$ ; tehát az *eredő hatásfok*:  $\eta = \eta_g \eta_h = 0,807$ .

A  $T_N = \int_0^T N \mu_n dt$  görbe alatti területet pl. 5 mm-es szakaszbeosztás mellett numerikus integrálással állapítjuk meg; eszerint:

$$T_N = 9653 + 3970 = 13\,623 \text{ mm}^2.$$

A *fogyasztott energia* tehát Wó-ban:

$$A = \frac{1000}{102 \cdot 3600 \cdot 0,807 \cdot 0,01 \cdot 1,5} T_N = 3060 \text{ Wó}.$$

Ezzel az ú. n. *fajlagos* (vagyis 1 tonnakilométerre vonatkoztatott) *fogyasztás*:

$$\delta = \frac{A}{S G_\delta} = \frac{3060}{1,050 \cdot 54} = 54,0 \frac{\text{Wó}}{\text{tkm}}.$$

Ezzel válaszoltunk az  $\alpha_2$ ) – d) alatti kérdésre.

Megjegyzendő, hogy az

$$\int_0^r N dt = \int_0^r K v dt = \int_0^{s_1} K ds$$

összefüggés értelmében *ellenőrzésre* felhasználhatjuk a  $K = K(s)$  vonóerő-út görbe alatti területet.

$e_3$ ) *Motorjellemzők*. Az elvi

$$\frac{N}{1} = \frac{N^2}{N}$$

és az ábrázolásbeli (a léptékeket figyelembe vevő)

$$\frac{N \mu_n}{n_n} = \frac{N^2 \mu_{n_2}}{N \mu_n}$$

összefüggés alapján,

$$n_2 = \frac{\mu_n^2}{\mu_{n_2}} = \frac{10^{-4}}{0,5 \cdot 10^{-6}} = 200 \text{ mm}$$

*pólustávolsággal* dolgozva, grafikus szorzással rajzoljuk meg az  $N_n = N^2(t)$  görbét; (a  $\mu_{n_2}$ -t úgy választottuk, hogy

$$0,1 \mu_n N_{\max} \approx \mu_{n_2} N_{\max}^2, \text{ azaz } \mu_{n_2} = \frac{0,1 \mu_n}{N_{\max}} \approx \frac{0,001}{2000} = 0,5 \cdot 10^{-6}.$$

(L. a 11. görbét!)

Az  $N_2 = N^2(t)$  görbe *birtokában*, numerikus integrálással állapítjuk meg a görbe alatti  $T_{N_2}$  területet; ezzel:

$$\begin{aligned} \frac{1}{T} \int_0^T N^2 dt &= \frac{1}{\mu_{n_2} T \mu_t} \int_0^T N^2 \mu_{n_2} dt \mu_t = \frac{1}{\mu_{n_2} T \mu_t} T_{N_2} = \\ &= \frac{7146}{0,5 \cdot 10^{-6} \cdot 18,5 \cdot 1,5} = 5160,10 \text{ (mkg/mp)}^2. \end{aligned}$$

A teljesítmény kvadratikus középértéke tehát, a hatásfok figyelembevételével:

$$N_m = \frac{1}{102 \eta} \sqrt{\frac{1}{T} \int_0^T N^2 dt} = \frac{\sqrt{5160 \cdot 10^4}}{102 \cdot 0,807} = 87,3 \text{ kW} = 119 \text{ Le.}$$

Ez a motorok ú. n. együttes szükséges teljesítménye.

A motorok (a karimára vonatkoztatott) sebességét a

$$K = \frac{102 N_m}{v} = \frac{8900}{v}$$

egyenletű egyenlőszárú hiperbola és a  $K = K(v)$  vonóerőgörbe (mindkettőt ugyanazon lépéssel rajzolva!) metszéspontjának  $v_m$  abszcisszája szolgáltatja. Ez esetünkben:

$$v_m = 6,6 \text{ m/mmp.}$$

A motorok fordulatszáma tehát,  $D_k = 0,8 \text{ m}$  karimaátmérővel és  $u = 17/82$  attétellel számolva:

$$n_m = \frac{60 v_m}{D \pi a} = \frac{60 \cdot 6,6 \cdot 82}{0,8 \cdot 3,14 \cdot 17} = 762 \text{ perc.}$$

Ezzel az  $\alpha_1$ -ben feltett összes kérdésekre válaszoltunk.

### F e l a d a t

Határozzuk meg grafikus úton az

$$\int_0^{\pi/2} \frac{\sin x}{x} dx$$

integrál értékét.

## 2. §. AZ „ELEMEEK ÖSSZEGEZÉSÉ”-NEK MÓDSZERE\*

### a) A probléma felvetése

Igen fontos kérdés, hogy vajjon minden egyes, a határozott integrál fogalmának alkalmazásával megoldható feladatnál (pl. görbe alatti terület, változó erő munkája, változó sebességgel megtett út stb. számításánál) szükséges-e az *integrálösszeg részletes előállítás*, majd a határozott integrálnak *határátmenet* útján való meghatározása, vagy pedig *található-e valamely általános és rövidebb módszer*, amely közvetlenül bizonyos integrál kiszámítására egyszerűsíti a feladatot.

Nagy jelentőségű, hogy *ilyen előnyös módszer* — a függvény differenciálja fogalmának felhasználásával — *valóban rendelkezésünkre áll.*

### b) A függvény differenciáljáról

Tekintettel e fogalom alábbi alkalmazására, elevenítsük fel és egészítsük ki rá vonatkozó (az A. III. kötet 10. §-ban szerzett) ismereteinket.

A függvények egy széles osztályában (ezeket később *differenciálható függvényeknek* fogjuk nevezni) az  $y = f(x)$  függvénynek az  $[x, x + \Delta x]$  szakaszon keletkező  $\Delta y = f(x + \Delta x) - f(x)$  **növekménye** mindig előállítható a

$$\Delta y = a \Delta x + \alpha \quad (= \Delta f)$$

módon. Itt  $a = a(x)$  az adott  $y = f(x)$ -től, az  $x$ -től (de a  $\Delta x$ -től nem l) függő kifejezés; az  $\alpha = \alpha(x, \Delta x)$  viszont a  $\Delta x$ -től is függ, továbbá  $\Delta x \rightarrow 0$  (de  $\Delta x \neq 0$ ) határátmenet esetén  $\alpha$  a  $\Delta x$ -nél magasabbrendűen (gyorsabban, erősebben)  $\rightarrow 0$ , azaz:

$$\lim_{\Delta x \rightarrow 0} \frac{\alpha}{\Delta x} = 0.$$

A  $\Delta y$  függvény-növekmény első a  $\Delta x$  argumentum-növekménnyel arányos a  $\Delta x$  részét az  $y = f(x)$  függvény  $x$ -helyi **differenciáljának** nevezzük és így jelöljük:

$$dy = a \Delta x \quad (= df).$$

Ha  $a = 0$ , akkor  $dy = 0$  és  $\Delta x \rightarrow 0$  esetén  $\Delta y \rightarrow 0$ , a  $\Delta x$ -nél magasabbrendűen (E speciális esetet a továbbiakban figyelmen kívül hagyjuk.)

Általános esetben viszont  $a \neq 0$  s így határátmenetkor:

$$\frac{\Delta y}{\Delta x} = 1 + \frac{\alpha}{\Delta x} = 1 + \frac{1}{a} \frac{\alpha}{\Delta x} \rightarrow 1,$$

\* *Bermant* i. m. I. k., 156. és köv., továbbá 376. és köv. o. alapján.

azaz  $\Delta x \rightarrow 0$  (de  $\Delta x \neq 0$ ) esetén a  $\Delta y$  és a  $dy$  egyenlőrendűen tart a 0-hoz, vagyis a  $dy$  differenciál a  $\Delta y$  növekménynek főrésze, míg  $\alpha$  elenyésző része.

Ha az  $y = f(x)$  függvénynek az  $x$  helyen van ilyen differenciálja és  $\Delta x \approx 0$ , de  $\Delta x \neq 0$  (azaz ha  $\Delta x$  „igen kicsiny”), akkor az említett főrészt mellett az elenyésző részt elhanyagolva:

$$\Delta y \approx a \Delta x = dy,$$

vagyis a  $\Delta y$  függvény-növekmény kicsiben, közelítőleg úgy viselkedik, mint az  $y = ax + b$  lineáris függvény-nél ( $\Delta y = a \Delta x$  módjára) nagyban, pontosan. Másként: az  $y = f(x)$  függvény kicsiben közelítőleg lineárisnak vehető.

Határozzuk meg az  $x$  helyen differenciállal rendelkező  $y = f(x)$  függvény esetén a  $dy = a \Delta x$  differenciál  $a = a(x)$  tényezőjét! E célból  $\Delta x$ -szel osztva, majd határátmenetre térve, kapjuk:

$$f'(x) = \lim_{\Delta x \rightarrow 0} \frac{\Delta y}{\Delta x} = \lim_{\Delta x \rightarrow 0} \left[ a(x) + \frac{\alpha(x, \Delta x)}{\Delta x} \right] = a(x) + \lim_{\Delta x \rightarrow 0} \frac{\alpha(x, \Delta x)}{\Delta x} = a(x).$$

E szerint az  $x$  helyen differenciállal rendelkező függvénynek ott van deriváltja; a függvényt ilyen helyen differenciálhatónak mondjuk. A keresett  $a(x)$  tényező láthatóan éppen az  $f'(x)$  deriválttal egyenlő. Ezzel a függvény differenciálja:

$$dy = f'(x) \Delta x.$$

Az  $x$  független változó  $dx$  differenciáljának magát a  $\Delta x$  növekményt nevezzük:

$$dx = \Delta x,$$

összhangban azzal, hogy az  $y = x$  függvény differenciálja:

$$dy = dx = (x)' \Delta x = \Delta x.$$

Így végül egy függvény  $x$ -helyi differenciálja: a derivált itteni értéke szorozva a független változó differenciáljával:

$$dy = f'(x) dx.$$

Megjegyzendő, hogy a differenciál-fogalom bevezethető a legutóbbi formulával is, feltételezve  $f'(x)$  létezését. Igazolható, hogy az így értelmezett derivált rendelkezik a fentebb ismertetett tulajdonságokkal.

A függvény differenciáljának és deriváltjának meghatározását közös néven differenciálásnak nevezzük.

Fontos rámutatni arra, hogy a véges növekmények hányadosának határértékeként, vagyis

$$\lim_{\Delta x \rightarrow 0} \frac{\Delta y}{\Delta x} = f'(x)$$

módon definiált derivált a most értelmezett véges differenciálok egyszerű hányadosaként is előállítható:

$$\frac{dy}{dx} = dy : dx = f'(x) dx : dx = f'(x).$$

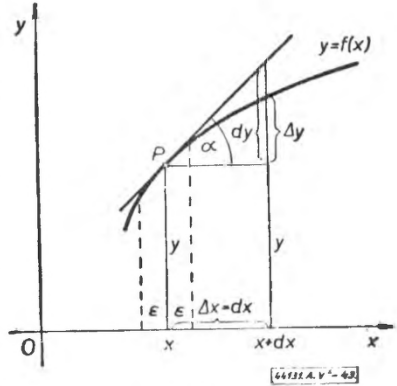
A differenciálhányados elnevezés tehát szó szerint vehető. A deriválnak ez a differenciálok hányadosaként való beállítása, mint látni fogjuk, igen hasznosnak fog bizonyulni.

Az  $y = f(x)$  függvény  $dy = f'(x) dx$  differenciálja **geometriailag** az  $(x, x + dx)$  szakaszon keletkező és az  $(x, y)$  pontbeli érintőig terjedő (röviden: érintőmenti) ordináta-növekménnyel, az  $\alpha$  rész pedig a görbementi és érintőmenti ordinátanövekmény különbségével szemléltethető (43. ábra).

Lehet  $\Delta y \geq dy$ , sőt  $y = ax + b$  esetén  $\Delta y = dy$ .

A  $\Delta y \approx dy$ , ha  $dx \approx 0$  (de  $dx \neq 0$ ) azt jelenti geometriailag, hogy az  $y = f(x)$  függvénygörbét e kicsiny  $dx$  szakaszon kezdeti érintőjével, azaz egy  $f'(x)$  iránytangensű lineáris függvénygörbével, azaz egyenessel helyettesítjük.

Ezzel összhangban, pl.  $s = s(t)$  mozgás esetén, a  $[t, t + dt]$  időszakban keletkezett  $\Delta s$  út-növekmény helyett  $ds$  út-differenciált venni annyit tesz, mint a mozgást ez időszakban állandó, mégpedig  $v(t) = s'(t)$  sebességgel egyenletes mozgásnak tekinteni.



43. ábra

### c) Határozott integrálra vezető feladatok és megoldásuk általános jellemzése

Még egyszer foglaljuk össze azon megfontolásokat, amelyek lehetővé tették különböző fizikai és egyéb feladatok (pl. változó erő munkája, változó sebességgel megtett út, anyagi görbe tömege, görbe alatti terület stb.) azonos matematikai eszközzel, nevezetesen **határozott integrállal való megoldását**.

Az ilyen feladatoknál a **keresett mennyiség** (pl. munka, út, tömeg, terület stb.) mindig a **független változónak** (pl. út, idő, ívhossz, abszcissa stb.) **valamely  $[a, b]$  szakaszára vonatkozik**.

Az első lépés az  $[a, b]$  szakasz felosztása

$$a = x_0 < x_1 < \dots < x_i < x_{i+1} < \dots < x_n = b$$

**részszakaszokra**. E lépésnél azon **lényeges feltevéssel** élünk, hogy a **keresett mennyiségnek** az egész szakaszhoz tartozó értéke egyenlő az egyes részszakaszokhoz tartozó értékek összegével. E tulajdonság az ún. **additivitás**. Pl. a munka, az út, a tömeg, a terület stb. nyilván additív mennyiségek.

Ha **változó felső határú  $[a, x]$  szakaszon** vizsgálódunk, akkor a keresett mennyiségnek erre vonatkozó értéke nyilván az  **$x$  felső határ** valamilyen  $F(x)$  **függvénye** lesz. Ennek megfelelően a mennyiségnek a  $\Delta x_i = x_{i+1} - x_i$  részszakaszra vonatkozó értéke:

$$\Delta F(x_i) = F(x_{i+1}) - F(x_i),$$

a teljes  $[a, b]$  szakaszra vonatkozó értékét pedig, tekintettel a mennyiség additivitására, a következő összeg szolgáltatja:

$$F(b) - F(a) = \sum_{i=0}^{n-1} [F(x_{i+1}) - F(x_i)] = \sum_{i=0}^{n-1} \Delta F(x_i).$$

Az  $F(x)$ , és így a  $\Delta F(x_i)$  is egyelőre ismeretlen.

Megjegyzendő, hogy az  $F(x)$ -et és a  $\Delta F(x_i)$ -t mindig az adott feladatban szereplő **valamely ismert  $f(x)$  függvény** (pl. erő, sebesség, sűrűség, ordináta stb., mint az út, idő, ívhossz, abszcissa stb. függvénye) **határozza meg**, mégpedig a következő módon:

Ha  $f(x)$  a  $\Delta x$ , részzakaszokon különböző  $f(x_i) = C_i$  állandó értékű (görbéje lépcsős), akkor:

$$\Delta F(x_i) = f(x_i) \Delta x_i, \quad F(b) - F(a) = \sum_{i=0}^{n-1} \Delta F(x_i).$$

Ha viszont  $f(x)$  tetszőleges függvény, de ugyanakkor az  $F(x)$  ismeretlen függvényt **kicsinyben közel lineárisan változónak** (azaz a függő és független változó növekményét kicsinyben közel egyenesen arányosnak) tekinthetjük (mint a gyakorlati esetekben általában), akkor:

$$\Delta F(x_i) = f(x_i) \Delta x_i + \alpha_i, \quad F(b) - F(a) = \sum_{i=0}^{n-1} \Delta F(x_i);$$

kicsiny részzakaszok esetén pedig, a  $\Delta x_i$ -ben lineáris, ú. n. főrészekre szorítkozva, ill. a  $\Delta x_i$ -ben magasabb fokú, ú. n. elenyésző részeket elhanyagolva:

$$\Delta F(x_i) \approx f(x_i) \Delta x_i, \quad F(b) - F(a) \approx \sum_{i=0}^{n-1} f(x_i) \Delta x_i;$$

végül határátmenetben:

$$F(b) - F(a) = \lim_{\max |\Delta x_i| \rightarrow 0} \sum_{i=0}^{n-1} f(x_i) \Delta x_i = \int_a^b f(x) dx.$$

Amint  $\Delta F(x_i)$  előállításából és a végeredményből látható, az ismeretlen  $F(x)$  függvény — az előbbi feltevéssel összhangban — az  $[a, b]$  szakaszon deriválható és deriváltja. illetve differenciálja éppen:

$$F'(x) = f(x), \quad dF(x) = f(x) dx.$$

[Ugyanez Lagrange  $\Delta F(x_i) = F'(\xi_i) \Delta x_i$ ,  $x_i \leq \xi_i \leq x_{i+1}$  képlete alapján

$$F(b) - F(a) = \sum_{i=0}^{n-1} F'(\xi_i) \Delta x_i = \lim_{\max |\Delta x_i| \rightarrow 0} \sum_{i=0}^{n-1} F'(\xi_i) \Delta x_i = \int_a^b F'(x) dx = \int_a^b dF(x)$$

módon is igazolható.]

A **módszer lényege** tehát az, hogy az  $F(b) - F(a)$  kiszámítása céljából az ismeretlen  $F(x)$  függvény ugyancsak ismeretlen  $\Delta F(x_i)$  növekményeinek összegezése helyett e növekmények ismert  $f(x_i) \Delta x_i$  főrészei összegének határértékét vesszük, amikor  $\max |\Delta x_i| \rightarrow 0$ . Ez nem más mint az ismert  $f(x)$  függvénynek, illetve az  $f(x) dx$  differenciálnak az  $[a, b]$  szakaszra vonatkozó határozott integrálja. E módszert a gyakorlatban sokszor — némi pongyolasággal — az  $f(x) dx$  „elemek összegezése” néven emlegetjük [ahol ezen elemek most — a határátmenetnek megfelelően — elenyésző részzakaszokra vonatkoznak].

**Összefoglalva:** Ha az ismeretlen  $F$  változó —  $\alpha$ ) az  $[a, x]$  szakasz felső határának  $F(x)$  függvénye,  $\beta$ ) additív tulajdonságú és  $\gamma$ )  $x$  szerint deriválható az  $[a, b]$  szakaszon (azaz ott kicsinyben közel lineárisan változik), akkor e függvénynek az adott szakaszra vonatkozó keresett növekményét közvetlenül az

$$F(b) - F(a) = \int_a^b f(x) dx = \int_a^b dF(x)$$

ismert (Newton—Leibniz-féle) formula alapján, vagyis az ismeretlen  $F(x)$  függvény ismert  $dF(x)$  differenciáljának  $[a, b]$  szakaszra vonatkozó határozott integráljaként számíthatjuk, elhagyva a fentebb részletezett összes előzetes megfontolásokat.

\* \* \*

E módszer alkalmazhatósága láthatóan az ismeretlen  $F(x)$  függvény  $f(x)$  deriváltjának, illetve  $dF = f(x) dx$  differenciáljának ismeretén fordul meg. Az adott konkrét feladat feltételeiből igyekszünk meghatározni ezt az ismeretlen függvény differenciálja és a független változó differenciálja közti

$$dF = f(x) dx$$

kapcsolatot, a feladat ú. n. **differenciálegyenletét**. E cél érdekében megállapítjuk az  $[a, b]$  szakasz tetszőleges  $[x, x + dx]$  részzszakaszára vonatkozó  $dF(x)$  differenciált, mint a mondott szakaszon állandónak tekintett  $f(x)$  függvényérték és a  $dx$  növekmény szorzatát; e differenciál — mint tudjuk — elenyésző  $dx$  növekmény ( $dx \rightarrow 0$ , de  $dx \neq 0$ ) esetén a  $\Delta F(x)$  növekmény főrésze. Esetenként ellenőrizhető, hogy a nyert kifejezés valóban differenciál-e, azaz rendelkezik-e a differenciál ismert jellemző tulajdonságaival.

Az így módon megállapított  $dF = f(x) dx$  differenciálegyenletről (elemekről) rátérünk az

$$F(b) - F(a) = \int_a^b f(x) dx$$

határozott integrálra (az elemek összegezésére), gondosan ügyelve az  $a$  és  $b$  határok helyes, a feladat feltételeinek és a választott koordináta-rendszernek megfelelő megállapítására.

Az így nyert határozott integrál tényleges kiszámítása túlnyomórészt határozatlan integrálással történik, az integrálszámítás ismert alapképlete felhasználásával.

Az integrál  $b$  állandó felső határa helyébe az  $x$  független változót téve, megkapjuk a keresett  $f(x)$  függvényt is, ennek ismert  $F(a)$  kezdeti értéke mellett:

$$F(x) = F(a) + \int_a^x f(x) dx.$$

Ezzel egyszersmind meghatároztuk az  $F$  mennyiség és az  $x$  független változó közvetlen kapcsolatát, a vizsgált folyamat ú. n. **integrál-törvényét**; az  $F'(x) = f(x)$  derivált a folyamat sebességét, a  $dF(x) = f(x) dx$  differenciál pedig a folyamat ú. n. differenciál-törvényét szolgáltatja.

Ezzel szigorúan megalapoztuk a differenciál-törvényről az integrál-törvényre való áttérést.

#### d) Gyakorlati megjegyzések

A műszaki gyakorlatban rendszerint mellőzzük a fentebb részletezett megfontolásokat. Hallgatólagosan feltételezzük, hogy az ismeretlen függvény eleget tesz az előbb említett követelményeknek. Elhallgatjuk a tényét és okát annak, hogy a véges részzszakaszokra vonatkozó növekmények összegezése helyett az elenyésző részzszakaszokra vonatkozó növekmények főrésztét, az ú. n. „elemeket” összegezzük.

A műszaki gyakorlatban a határozott integrálra vezető feladatok megoldásánál az első (és akárhányszor legnehezebb) lépés rendszerint a szóbanforgó jelenség, folyamat differenciálegyenletének, differenciáltörvényének felállításása. Ennek során az „elemekkel” mint elenyésző, zérushoz tartó (de zérussal egyenlővé sosem váló) részzszakaszokra vonat-



kozó, s ezért ugyanilyen nagyságrendű differenciálokkal alapl műveleteket végzünk. A differenciálegyenlet felállítása a vizsgált jelenségre, folyamatra vonatkozó *észlelési adatok, tulajdonságok alapján* történik, majd mindig a *fizika valamely általános érvényű törvényének felhasználásával*, s nem utolsó sorban bizonyos egyszerűsítő feltételek, kikötések mellett.

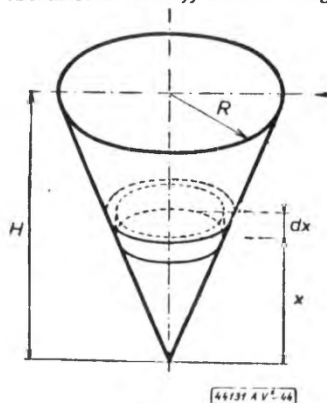
Ez utóbbiak segítségével a valóság jelenségnek, folyamatnak csupán leglényegesebb tulajdonságait vesszük figyelembe, ezeket is általában többé-kevésbé egyszerűsítve, míg más tulajdonságait figyelmen kívül hagyjuk — a matematikai kezelhetőség érdekében. Ezen eljárásunkkal, az ú. n. absztrakcióval számításaink középpontjába a valóságos jelenség, folyamat helyett ennek ú. n. **matematikai modelljét\*** állítjuk. Ilyen absztrakció által nyert matematikai modellek pl. az anyagi pont, a (nem korpuszkuális szerkezetű, hanem) folytonos eloszlású anyag (kontinuum), a merev (vagyis erőhatásra nem deformálódó) test, az izotermikus atmoszféra, a lineáris karakterisztikájú elemekből álló automatikus szabályozású berendezés, a hőfoktól független ellenállású elektromos vezető stb. Egyazon problémánál több, a valósághoz különböző mértékben simuló matematikai modelleket szerkeszthetünk.

Nyilvánvalóan a matematikai modellre nyert számítási eredmények szükségképpen **eltérnek** a valóságos jelenség, folyamat mérési adataitól — éppen az említett elvonatkoztató elhanyagolások, egyszerűsítések miatt. A modell akkor tekinthető jónak, ha ezen eltérés csekély, s *lehetőleg az alkalmazott mérési eljárások átlagos hibája alatt* marad, vagyis ezekkel nem érzékelhető.

Ha a fentiek figyelembevételével a jelenség, folyamat differenciáltörvényét felállítottuk, akkor — a jelenség, folyamat kezdetére, illetve a benne résztvevő közeg határaitra vonatkozó előírások, **feltételek** felhasználásával — **határozott integrálás útján** térünk rá az **integráltörvényre**. A határozott integrálást igyekszünk lehetőleg egy primitív függvény megkeresésével és az integrálszámítás alapképletének igénybevételével pontosan elvégezni; sok esetben azonban meg kell elégednünk numerikus, grafikus vagy gépi közelítő módszerek alkalmazásával.

### Példák

1—2. Példa arra, hogy a keresett mennyiség növekményének nem eléggé óvatos „egyszerűsítése” a differenciál megállapításánál hibára vezethet.\*\*



44. ábra

Határozzuk meg egy egyenes körkúp  $F$  palástfelszínét. Jelöljük az alapkör sugarát  $R$ -rel, a magasságát  $H$ -val. Helyezzük el a kúpot a 44. ábrán látható módon.

Írjunk az  $x$  és  $x + dx$  magasságokhoz tartozó csonkakúpmetsetbe hengert; ennek palástfelszínét válasszuk a  $\Delta F$  főrészeként, azaz legyen:

$$dF = 2\pi \frac{R}{H} x dx.$$

Innen:

$$F = 2\pi \int_0^H \frac{R}{H} x dx = \pi RH,$$

ami nyilvánvalóan hamis eredmény; u. i. az elemi geo-

\* A matematikai modell kérdéseiről l. pl. Egerváry akadémikus cikkét.

\*\* L. Bermant i. m. I. k., 381. és köv. o.

metriából ismeretes, hogy:

$$F = \pi R \sqrt{R^2 + H^2}.$$

A hibát ott követjük el, hogy helytelenül választottuk meg a  $\Delta F$  palástnövekmény fő-részt.

Helyesen így járhatunk el:

A csónakúpalástfelszíne egyenlő az alap- és fedőkör kerületének számtani közepe és az oldalvonal szorzatával, azaz:

$$\Delta F = \frac{1}{2} \left[ \frac{2\pi R}{H} x + \frac{2\pi R}{H} (x + dx) \right] \sqrt{\left( \frac{R}{H} \right)^2 + 1} dx = \frac{\pi R}{H^2} (2x + dx) \sqrt{R^2 + H^2} dx;$$

tehát  $\Delta F$  főrésze:

$$dF = \frac{2\pi R}{H^2} \sqrt{R^2 + H^2} x dx,$$

s nem  $\frac{2\pi R}{H} x$ , mint előbb. Integrálva:

$$F = \int_0^H \frac{2\pi R}{H^2} \sqrt{R^2 + H^2} x dx = \frac{2\pi R}{H^2} \sqrt{R^2 + H^2} \left[ \frac{x^2}{2} \right]_0^H = \pi R \sqrt{R^2 + H^2}.$$

Ez az eredmény egyezik az elemi geometriából ismert eredménnyel.

Valóban az a helyzet, hogy a  $dF = \frac{2\pi R}{H} x dx$  nem differenciálja a palást felsz-

nének; ha a  $\Delta F = dF + \alpha$  előállítást ezen  $dF$ -fel alkotjuk meg, akkor  $\lim_{\Delta x \rightarrow 0} \frac{\alpha}{\Delta x} \neq 0$ , azaz a differenciál fogalmával ellentézik. palástfelszín differenciálja helyesen:

$$dF = \frac{2\pi R}{H^2} \sqrt{R^2 + H^2} x dx,$$

amint fentebb már említettük.

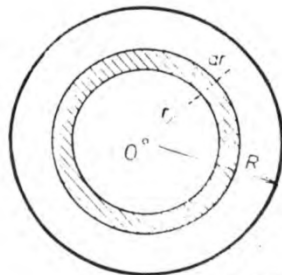
3. Az  $R$  sugarú kör területe. — Ismertnek tesszük fel az  $r$  sugarú kör *kerületét*:  $S = 2r\pi$ . A terület nyilván a változó  $r$ -től függ, és pedig ez esetben  $r$  a  $[0, R]$  határok között változik. A terület növekményét a 45. ábra szemlélteti. Az  $[r, r + dr]$  szakaszon a kerületet állandónak véve, adódik a terület differenciálja:  $dT = 2r\pi dr$ . Hogy ez valóban a differenciál, arról könnyen meggyőződhetünk a következőképpen:

Nyilván

$$2\pi r dr < \Delta T < 2\pi (r + dr) dr;$$

innen

$$1 < \frac{\Delta T}{2\pi r dr} < 1 + \frac{dr}{r}.$$



45. ábra

45. ábra

Határátmenetben (mivel a bal- és jobboldali kifejezés határértéke  $dr \rightarrow 0$  esetén 1):

$$\lim_{dr \rightarrow 0} \frac{\Delta T}{2\pi r dr} = 1.$$

A differenciált tehát he yesen választottuk meg. Így a kör területe:

$$T = \int_0^R 2\pi r dr = \frac{2\pi}{2} \left[ r^2 \right]_0^R = R^2\pi.$$

## Műszaki alkalmazások

### 1. A BAROMETRIKUS MAGASSÁGMÉRÉS FORMULÁI

Feladatunk annak megállapítása, hogy az atmoszférában hogyan változik a nyomás a magasság függvényében. Ezen egyetlen műszaki probléma kapcsán és viszonyaira konkretizálva ismételjük meg (a műszaki gyakorlattal ellentétben) az elméleti bevezetőben részletezett számos megfontolást!

Az ismeretlen függvény esetünkben a  $p(z)$  légnyomás-magasság függvény, ahol  $z$  a tengerszinttől mért magasság (a tengerszintet s az összes többi izobár-felületet [ $z = \text{const}$ ] síknak tekintve).

A nyomásnak valamely tetszőleges  $z_1 - z_0 (> 0)$  szakaszon bekövetkező változását, azaz a  $p(z)$  függvény  $p(z_1) - p(z_0)$  növekményét keressük. Régi tapasztalat, hogy a  $p$  légnyomás a  $z$  magasság növekedtével csökken; a  $p(z)$  tehát monoton csökkenő függvényt, a  $p(z_1) - p(z_0) [< 0]$  különbség így nyomásesést jelent.

A  $p(z_1) - p(z_0)$  nyomásesés a  $z_1$  változó felső határ függvénye; a  $z_0$ -t tekintsük állandónak, — később 0-val egyenlőnek véve a tengerszintet fogja jelezni.

A  $p(z_1) - p(z_0)$  nyomásesés továbbá nyilván additív tulajdonságú, azaz megegyezik a  $z_1 - z_0$  szakasz  $\Delta z_i$  részzszakaszaihoz tartozó nyomásesések összegével:

$$p(z_1) - p(z_0) = \sum_{i=0}^{n-1} \Delta p(z_i).$$

Végül a regisztráló műszerek által megrajzolt folytonos, továbbá (apró ingadozásoktól, törésektől eltekintve) monoton csökkenő és sima  $p(z)$  görbe alapján az ismeretlen  $p(z)$  függvényt joggal differenciálhatónak, azaz kicsiben lineárisan változónak tételezhetjük fel:

$$p(z_1) - p(z_0) = \sum_{i=0}^{N-1} \Delta p(z_i) = \sum_{i=0}^{N-1} [p(z_i) \Delta z_i + \alpha_i(z_i, \Delta z_i)] \approx \sum_{i=0}^{N-1} p'(z_i) \Delta z_i,$$

ahol  $N$  a kezdeti  $n$  részzszakasz további osztása útján nyert s már kicsinek tekinthető részzszakaszok száma.

Amikor most a matematikai kezelhetőség érdekében e közelítő (approximációs) összegről határátmenet útján [ $N \rightarrow \infty$ ,  $\max |\Delta z_i| \rightarrow 0$ ] át akarunk térni a

$$\lim_{\max |\Delta z_i| \rightarrow 0} \sum_{i=0}^{N-1} p'(z_i) \Delta z_i = \int_{z_0}^{z_1} p'(z) dz \quad (= p(z_1) - p(z_0))$$

határozott integrálra, a precíziós matematika fogalmára, akkor tisztában kell lennünk azzal, hogy számításainkban *e* ponton elszakadunk a valóságtól, s helyébe a matematika most említett precíziós fogalma, a fizikának különböző idealizált gázállapotváltozásokra kimondott törvényei és a (lehetőleg egyszerű) matematikai kezelhetőségre való törekvésünk által sugalmazott **matematikai modelleket** állítjuk.

Itt nemcsak arról van szó, hogy a valóságban a határátmenet mérés technikailag nem követhető [lévén  $\Delta z_i \rightarrow 0$  és megfelelően  $\Delta p_i \rightarrow 0$ ], hanem arról is, hogy a határátmenet során az itt szereplő nyomás, sűrűség (fajsúly) mint a fizika statisztikus (a vizsgált térrészbeli levegőmolekulák átlagos kinetikai energiájával, számával kapcsolatos) fogalmait elvesztik értelmüket a valóságos molekuláris szerkezetű levegőre nézve, s tovább csakis folytonos szerkezetűnek képzelte levegőre érvényesek. A határozott integrál tehát, mint precíziós matematikai fogalom, csakis a valóságból való absztrakció útján nyert, folytonos eloszlásúnak képzelte anyagra, ú. n. kont nuumra alkalmazható.

A most említett absztrakcióval matematikai modellünk még korántsem teljes. Fentebb említettük, hogy a tengerszintet és az összes többi izobár-felületet (geoid helyett) síknak tekintjük; elegendő kis körzet felett vizsgálódva ez igen jó közelítése a valóságnak, mert pl. a tengerszinten egy  $r \approx 3,6$  km sugarú körzet peremének lehajlása a síkhoz képest kb. 1 m. Egy újabb absztrakció, hogy a mai technika által felderíthető, 20 km-nél nem vastagabb légrétegben a Föld nehézségi erőterét homogénnek, vagyis a *g* nehézségi gyorsulást állandónak tekintjük; ez is nagy mértékben teljesül, mert a valóságban pl. 20 km magasságban a *g* mindössze kb. 0,8%-kal kisebb, mint tengerszinti értéke. E két utóbbi absztrakció is jelentősen egyszerűsíti a számításokat, s ugyanakkor a mondott korlátok között nem okoz számottevő hibát. Matematikai modellünk tehát az eddig említett absztrakciók után így írható le: folytonos anyageloszlású,  $z = \text{const}$  izobár síkokkal rendelkező, homogén nehézségi erőteret hatása alatt álló légtömeg.

Vizsgáljuk most a légtömeg egyensúlyát! Megjegyzendő, hogy a valóságos légkör elég ritkán van ilyen állapotban. A vizsgált  $z_1 - z_0$  vastagságú légréteggel együtt ennek bármely elenyésző  $dz$  vastagságú és — az egyszerűség kedvéért — egységnyi alapterületű egyenes henger alakú eleme is egyensúlyban van. Egyensúlybeli légkör-modell esetén a  $z = \text{const}$  vízszintes síkok valóban izobárok, s minden ilyen síkban a henger zárt vezérgörbéjére ható nyomás, mint normális irányú, egyenletesen megosztó vízszintes erők eredője zérus. Függőleges irányban az említett elemi henger alapjára a felfelé irányuló  $1 \cdot p(z)$  erő, fedőlapjára a lefelé irányuló  $-1 \cdot [p(z) + dp(z)]$  erő, az elemi henger súlypontjában pedig az ugyancsak lefelé irányuló  $-g \left[ \rho(z) + \frac{d\rho(z)}{2} \right] \cdot 1 dz \approx -g\rho(z) dz$  súlyerő működik (46. ábra) és egyensúly esetén:

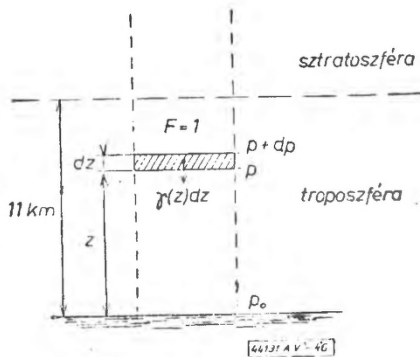
$$p(z) - [p(z) + dp(z)] - g\rho(z) dz = 0,$$

azaz

$$dp(z) = -g\rho(z) dz,$$

vagy a  $dz$ -vel átosztva

$$\frac{dp(z)}{dz} = -g\rho(z) = -\gamma(z).$$



46. ábra

E részleteredményünkben tükröződik a  $p(z)$  függvény említett monoton csökkenő és differenciálható volta, továbbá az a hallgatolagos megállapítás, hogy a fentebb már — a valósággal ellentétben — folytonos eloszlásúnak tekintett levegőnk — a valóságnak megfelelően — deformálható, azaz sűrűsége változhat.

Az utóbbi összefüggést akkor tekinthetjük problémánk differenciálegyenletének, ha belőle a  $\rho$  sűrűséget a  $p$  nyomás és a  $z$  magasság segítségével kiküszöböljük. Ezt a valóságos gázok

$$\left(p + \frac{a}{v^2}\right) (v - b) = RT$$

alakú *van der Waals-féle állapotegyenlete*, valamint a  $T = T(z)$  abszolút hőmérséklet-magasság-függvény segítségével kellene eszközölni. Az előbbi maga is bonyodalmas, s ráadásul az utóbbi sem adható meg egyetlen egyszerű képlet segítségével. A légkör hőmérséklete ugyanis az észlelések szerint a tengerszint és kb. 11 km magasság között (e légréteg az ú. n. troposzféra) lényegesen, és nem egyszerű törvényszerűség szerint, fölötte (az ú. n. sztratoszférában) alig változik.

A matematikai kezelhetőség érdekében tehát még egyszer s utoljára absztrakcióhoz folyamodunk: tekintsük légkörünket (az eddigi absztrakciókon kívül) még ideális gáznak, azaz a

$$pv = RT$$

állapotegyenlet szerint változónak, továbbá 11 km magasságig lineárisan csökkenő, e fölött pedig állandó hőmérsékletűnek — ezzel már nem elhanyagolható hibát vállalva magunkra. Jelöljük 0 indexszel a tengerszintet, 11 indexszel a most említett elválasztó szintet.

Ezzel matematikai modellünk megszerkesztése teljessé vált; a fentebbiek értelmében tehát számításaink folytonos anyageloszlású,  $z = \text{const}$  izobár -ikkal rendelkező, homogén nehézségi erőter hatása alatt álló, egyensúlyban lévő, deformálható, lent lineárisan csökkenő, fentebb állandó hőmérsékletű, ideális gáz módjára viselkedő légkörre, mint matematikai modellre vonatkoznak.

**Troposzféramodellünk** — mint mondtunk — felfelé haladva lineárisan csökkenő hőmérsékletű:\*

$$T = T_0(1 - rz).$$

ahol  $T$  modellünk abszolút hőmérséklete  $z$  magasságban,  $T_0$  a tengerszinten,  $r$  egyelőre ismeretlen (később a politrópikus kitevő által meghatározandó) együttható. A  $T$  kifejezését a  $pv = RT$  állapotegyenletbe beírva, majd ezt  $v$ -re megoldva, nyerjük:

$$v(z) = \frac{RT_0(1 - rz)}{p(z)} = \frac{1}{\gamma(z)},$$

[minthogy a  $v(z)$  fajtérfogat a  $\gamma(z)$  fajszűly reciproka ].

Ezt a

$$\frac{dp(z)}{dz} = -\gamma(z)$$

egyenletbe behelyettesítve, előttünk áll troposzféramodellünk pontos, egyszersmind a valóságos troposzféra közelítő differenciálegyenlete, *differenciáltörvénye*:

$$\frac{dp(z)}{dz} = -\frac{p(z)}{RT_0(1 - rz)}.$$

\* L. Gruber—Blahó i. m. 14. és köv. o.

A függvényt és a független változót, differenciáljaikkal együtt szeparálva:

$$\frac{dp(z)}{p(z)} = - \frac{1}{RT_0} \frac{dz}{1 - rz}.$$

Végül  $z_0 (= 0)$  és  $z_1$  (változó) határok között integrálva, az *integráltörvényre* jutunk:

$$\int_{z_0}^{z_1} \frac{dp(z)}{p(z)} = - \frac{1}{RT_0} \int_{z_0}^{z_1} \frac{dz}{1 - rz},$$

$$\ln \frac{p(z_1)}{p(z_0)} = \frac{1}{RT_0 r} \ln \frac{1 - rz_1}{1 - rz_0} = \ln \left( \frac{1 - rz_1}{1 - rz_0} \right)^{\frac{1}{RT_0 r}},$$

vagy  $z_0 = 0$ ,  $p(z_0) = p_0$  és  $z_1 = z$  figyelembevételével:

$$p(z) = p_0 (1 - rz)^{\frac{1}{RT_0 r}}.$$

Bevezetve most az

$$\frac{1}{RT_0 r} = \frac{n}{n - 1}, \text{ azaz } n = \frac{1}{1 - RT_0 r}$$

jelölést, észlelhető, hogy

$$\begin{aligned} p(z) v^n(z) &= p(z) \frac{R^n T_0^n (1 - rz)^n}{p^n(z)} = p^{-(n-1)}(z) R^n T_0^n (1 - rz)^n = \\ &= p^{-(n-1)} (1 - rz)^{-n} R^n T_0^n (1 - rz)^n = \frac{R^n T_0^n}{p_0^{n-1}} = p_0 v^n = \frac{p_0}{\gamma_0^n} = \text{const.} \end{aligned}$$

Eszerint troposzféra-modellünkben a magassággal lineárisan csökkenő hőmérsékletet feltételezve, a nyomás és a fajsúly között a jól ismert  $p v^n = \text{const}$  politrópikus összefüggés áll fenn. Adott  $n$  esetén

$$r = \frac{n - 1}{n} \frac{1}{RT_0} = \frac{n - 1}{n} \frac{\gamma_0}{p_0}$$

és vele

$$T = T_0 \left( 1 - \frac{n - 1}{n} \frac{\gamma_0}{p_0} z \right),$$

$$p = p_0 \left( 1 - \frac{n - 1}{n} \frac{\gamma_0}{p_0} z \right)^{\frac{n}{n-1}}.$$

Egyszerű megfontolások alapján belátható, hogy amennyiben  $n$  megegyezik a levegő *adiabatikus* állapotváltozásának kitevőjével,  $\kappa = 1,4$ -gyel, akkor a most tárgyalt hőmérséklet- és nyomáeloszlás troposzféra-modellünk *közömbös egyensúlyának* felel meg; ha pedig  $n < \kappa$ , illetve  $n > \kappa$ , akkor *stabilis*, illetve *labilis* az egyensúly.

A repülőgépműszerek egységes kalibrálása céljából az előbb ismertetett troposztéra-modellt szabványosították (INA), a következő szám adatokkal:

$$T_0 = 15^\circ \text{C} = 288^\circ \text{K}, \quad p_0 = 1,033 \text{ kg/cm}^2,$$

$$\gamma_0 = 1,225 \text{ kg/m}^3 \dots (\text{a tengerszinten});$$

$$n = 1,235 < \alpha = 1,4 \dots (\text{stabilis egyensúly}).$$

Ezekkel

$$\frac{n}{n-1} = 5,26; \quad r = \frac{n-1}{n} \frac{\gamma_0}{p_0} = 2,257 \cdot 10^{-5} \text{ m}$$

és velük a végképletek:

$$T = 288 (1 - 0,02257 z) \dots \dots \dots ^\circ \text{K},$$

$$p = 1,033 (1 - 0,02257 z)^{5,26} \dots \text{kg/cm}^2,$$

$$\gamma = 1,225 (1 - 0,02257 z)^{1,26} \dots \text{kg/m}^3,$$

a  $z$ -t mindháromban km-ben értve. E képletek  $z = 11$  km-es magasságra a következő értékeket adják:

$$T_{11} = 216,5^\circ \text{K} = 56,5^\circ \text{C},$$

$$p_{11} = 0,2306 \text{ kg/cm}^2, \quad \gamma_{11} = 0,3639 \text{ kg/m}^3.$$

**Sztratoszféra-modellünkre** térve, ebben a hőmérséklet – mint megállapodtunk – állandó, az állapotváltozás izotermikus, tehát az állapotegyenlet:\*

$$p\nu - \frac{p}{\gamma} = RT = \text{const} = \frac{p_0}{\gamma_0},$$

azaz

$$p(z) = \frac{p_0}{\gamma_0} \gamma(z).$$

ahol most 0 indexszel a  $z_0 = 11$  magasságbeli értékeket jelöljük meg. Ez utóbbi összegzés felhasználásával nyerjük sztratoszféra-modellünk differenciálegyenletét:

$$\frac{dp(z)}{dz} = - \frac{\gamma_0}{p_0} p(z).$$

Szeparálva, majd  $z_0 (= 11)$  és  $z_1$  (változó) határok között integrálva modellünk integrál-örvénye adódik:

$$\int_{z_0}^{z_1} \frac{dp(z)}{p(z)} = - \frac{\gamma_0}{p_0} \int_{z_0}^{z_1} dz,$$

$$\ln \frac{p(z_1)}{p(z_0)} = - \frac{\gamma_0}{p_0} (z_1 - z_0),$$

vagy más alakban:

$$p(z_1) = p(z_0) e^{-\frac{\gamma_0}{p_0} (z_1 - z_0)}.$$

\* L. Gruber – Blahó 1. m. 14. és köv. o.

Figyelembe véve a fentebb említett szabványosított értékeket, nevezetesen:

$$p(z_0) = p_{11} = 0,2306 \text{ kg/cm}^2, \quad \frac{\gamma_0}{p_0} = \frac{\gamma_{11}}{p_{11}} = 0,1578 \text{ km}.$$

kapjuk végül ( $z_1 = z$  jelöléssel) a *szabványosított* sztratosztéra-modell integráltörvényét:

$$p(z) = 0,2306 e^{-0,1578(z-11)},$$

$$\gamma(z) = 0,3639 e^{-0,1578(z-11)},$$

ahol  $z$  most is km-ben értendő.

## 2. AZ ÖNINDUKCIÓ HATÁSA ÁRAMKÖR BE- ÉS KIKAPCSOLÁSÁNÁL

Legyen a *bekapcsolt* feszültség  $E$  volt, a körbe iktatott tekercs ohmos ellenállása  $R$  ohm, önindukciós együtthatója  $L$  Henry. Amint a fizikából ismeretes, az *önindukciós elektromotoros erő* nagysága:

$$L \frac{dI}{dt}.$$

Ez az  $E$  állandó elektromotoros erővel szemben működik, s ennek következtében a feszültség bekapcsolása ( $t = 0$ ) után  $t$  időpontban az (ohmos)

$$I_0 = \frac{E}{R} \text{ áramerősség helyett csak } I = \frac{1}{R} \left( E - L \frac{dI}{dt} \right)$$

eszelhető. Szeparálva az  $I$  és  $t$  változókat, nyerjük, hogy:

$$dt = \frac{L dI}{E - IR} \text{ és } R \int_0^t dt = \int_{I_0}^I \frac{dI}{I_0 - I},$$

figyelembe véve az  $I(0) = 0$  kezdeti feltételt. Integrálva:

$$\frac{R}{L} t = - \left[ \ln(I_0 - I) \right]_0^I = - \ln \frac{I_0 - I}{I_0} \text{ és } \frac{I_0 - I}{I_0} = e^{-\frac{R}{L} t}.$$

Végül:

$$I = I_0 \left( 1 - e^{-\frac{R}{L} t} \right) = \frac{E}{R} \left( 1 - e^{-\frac{R}{L} t} \right).$$

Eszerint *bekapcsoláskor* az áramerősség *exponenciálisan növekedve, elméletileg végtelen gyakorlatilag igen rövid idő alatt éri el az*  $I_0 = \frac{E}{R}$  *ohmos nagyságot.*

Ha pl.  $E = 4 \text{ V}$ ,  $R = 8 \Omega$ ,  $L = 0,2 \text{ Hy}$ , akkor  $I = \frac{4}{8} \left( 1 - e^{-\frac{8}{0,2} t} \right) = 0,5 (1 - e^{-40t})$ ; a  $t_1 = 0,01 \text{ mp}$ -ben  $I_1 = 0,165 \text{ A}$ ; a  $t_2 = 0,02 \text{ mp}$ -ben  $I_2 = 0,275 \text{ A}$



*Kikapcsoláskor* ( $E = 0$ ,  $I = I_0$ ,  $t = 0$ ) az önindukció miatt ismét nem azonnal, hanem lassanként csökken az áramerősség az ohmos  $I = \frac{E}{R} = 0$  értékre. Mivel most  $\frac{dI}{dt}$  negatív, tehát  $-L \frac{dI}{dt}$  pozitív, ennél fogva a

$$-L \frac{dI}{dt} = IR$$

szerint kikapcsoláskor az eredetivel egyenlő irányú feszültség indukálódik. Ekkor:

$$\int_{I_0}^I \frac{dI}{I} = -\frac{R}{L} \int_0^t dt,$$

az  $I(0) = I_0$  kezdeti feltételnek megfelelően.

Végül:

$$I = I_0 e^{-\frac{R}{L}t}$$

A kikapcsolás tehát elméletileg szintén végtelen ideig, gyakorlatilag a mp tört részéig tart.

Az előbbi adatokkal pl. a  $t_1 = 0,01$  mp-ben  $I_1 = 0,335$  A; a  $t_2 = 0,02$  mp-ben  $I_2 = 0,225$  A.

### 3. RÁDIOAKTÍV BOMLÁS\*

A kísérletek tanúsága szerint (egy bizonyos mennyiségű) rádióaktív anyagból kiinduló sugárzás intenzitása az időben

$$I = I_0 e^{-\lambda t}$$

tefolyású; itt  $I_0$  a sugárzás kezdeti ( $t = 0$ ) intenzitása, a  $\lambda$  pedig anyagi állandó. Feltesszük hogy a rádióaktív hatás az illető elem atomjainak bomlása útján jön létre, továbbá, hogy a sugárzás intenzitása az időegység alatt átalakuló anyag mennyiségével arányos.

Ha  $t$  időpontban  $N$  az átalakulatlan atomok száma, és így  $-\frac{dN}{dt}$  az átalakulás sebessége, akkor (egy  $k$  arányossági tényezővel) írhatjuk:

$$-k \frac{dN}{dt} = I_0 e^{-\lambda t}, \quad \frac{dN}{dt} = -\frac{I_0}{k} e^{-\lambda t}.$$

Minthogy végtelen idő alatt az egész anyag felbomlik, azaz  $t = \infty$  esetén  $N = 0$ , ennél fogva:

$$-\int_N^0 dN = \frac{I_0}{k} \int_0^\infty e^{-\lambda t} dt \quad \text{és} \quad N = \frac{I_0}{k\lambda} e^{-\lambda t} = N_0 e^{-\lambda t} = \frac{I}{k\lambda}.$$

Eszerint a szét nem bomlott atomok száma ugyanolyan törvény szerint csökken, mint a sugárzási intenzitás; e kettő  $I = k\lambda N$  módon egymással arányos.

\* L. pl. Lindow 1. m.

A *felezési idő*, amely alatt az adott anyagmennyiség ( $N_0$  atomjának) fele szétbomlik, így nyerhető:

$$T = \frac{1}{\lambda} \ln 2 = \frac{0,69315}{\lambda} \text{ mp.}$$

Pl.: a rádium-emanációra  $\lambda = 2,085 \cdot 10^{-6}$  és  $T = 332450 \text{ mp} = 3,85 \text{ nap}$ ; az uránra  $\lambda = 4 \cdot 10^{-18}$  és  $T = 6 \cdot 10^9 \text{ év}$ !

#### 4. GÖLYÖ ESESE VISZKÓZUS FOLYADÉKBAN\*

Stokes törvénye szerint az  $\eta$  viszkozitású folyadékban eső  $r$  sugarú kis gömbre a nehézségi erőn kívül még a pillanatnyi  $v$  sebességgel arányos

$$S = 6\pi\eta r v$$

súrlódó erő hat. Mutassuk meg, hogy a két erő együttes hatása alatt álló golyó sebessége nem növekedhet korlátlanul.

A gömb mozgásának differenciálegyenlete, Newton törvénye értelmében:

$$m \frac{dv}{dt} = mg - 6\pi\eta r v.$$

A változókat — az A. IV./1. §. a. e) szerint — szétválasztjuk:

$$\frac{1}{g - av} dv = dt, \quad \text{ahol} \quad a = \frac{6\pi\eta r}{m}.$$

Integrálva mindkét oldalt  $v(0) = v_0$  kezdeti feltétel mellett [1. A. IV./1. §. a.  $\gamma$ )], majd a sebességet kifejezve nyerjük:

$$v(t) = v_0 e^{-at} + \frac{g}{a} (1 - e^{-at}).$$

Látható, hogy  $t \rightarrow \infty$  (illetve gyakorlatilag a  $t \gg 1/a$ ) esetén a golyó sebessége a

$$v_\infty = \frac{g}{a} = \frac{mg}{6\pi\eta r}$$

véges értékhez tart.

#### 5. MÁSODRENDŰ, TELJESEN VÉGBEMENŐ KÉMIAI REAKCIÓ\*\*

Tegyük fel, hogy két gázalakú vagy oldott anyag a  $t = 0$  időpontban kémiai reakcióba lép egymással. Legyen e pillanatban az A anyag molkoncentrációja (vagyis belőle az 1 liter oldatban lévő gramm-molekulasúlynyi anyagmennyiségek száma)  $a$ , a B anyagé pedig  $b$  és  $a \neq b$ . A reakció kezdete után  $t$  időegységgel 1 l oldatban már  $x$  molnyi A-anyag egyesült  $x$  molnyi B-anyaggal, úgyhogy a két anyag (átalakulatlan állapotban) már csak  $(a - x)$ , illetve  $(b - x)$  molnyi mennyiségben van jelen. A fizikai kémia tanítása szerint a  $\frac{dx}{dt}$  reakciósebesség  $t$  időpontban arányos az addig még át nem alakult anyagok koncentrációjával, azaz

$$\frac{dx}{dt} = \alpha(a - x)(b - x),$$

\* L. Elméleti fizikai feladatok.

\*\* L. Lindow i. m. és Alexits-Fenyő i. m.

ahol  $\alpha$  még ismeretlen állandó. Ebből könnyen meghatározható az 1 l-ben egyesült mol-párok  $x$  száma és a reakció kezdetétől addig eltelt  $t$  idő közötti összefüggés. Ugyanis:

$$dt = \frac{dx}{\alpha(a-x)(b-x)} = \frac{dx}{\alpha(x-a)(x-b)} = \frac{dx}{\alpha(a-b)} \left[ \frac{1}{x-a} - \frac{1}{x-b} \right].$$

Figyelembe véve, hogy a reakció kezdetén átalakulás még nem történt, azaz  $x(0) = 0$ , ezért a  $[0, t]$ , illetve  $[0, x]$  szakaszon integrálunk és nyerjük, hogy:

$$t = \frac{1}{\alpha(a-b)} \left[ \ln \frac{a-x}{b-x} - \ln \frac{a}{b} \right].$$

A még mindig ismeretlen  $\alpha$  állandót úgy határozzuk meg, hogy megmérjük egy bizonyos  $t_1$  időpontban a megfelelő  $x_1$  mennyiséget!

Az  $x = a$  és  $x = b$  közül a kisebbikre  $t = \infty$  adódik. A reakció teljes lefolyása tehát elméletileg végtelen ideig tart; gyakorlatilag viszont már rövid idő múlva nem eszközölhető az átalakulatlan anyagmennyiség mérése.

Hangsúlyozzuk, hogy  $a \neq b$  feltevéssel éltünk a fentebbi számításnál. Az  $a = b$  esetben fennálló  $\frac{dx}{dt} = \alpha(a-x)^2$  differenciálegyenlet megoldása még egyszerűbben sikerül!

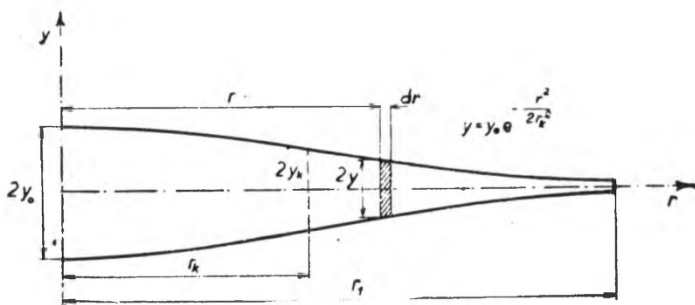
#### 6. EGYENSZILÁRDSÁGÚ FORGÓ TÁRCSA (FURAT NÉLKÜL)\*

Az ilyen tárcsa minden pontjában a radiális és tangenciális irányú feszültség egyenlő, azaz:

$$\sigma_r = \sigma_t = \sigma.$$

A 47. ábrán ábrázolt tömegelemre ható radiális feszültségből származó erő:

$$d(r\gamma\sigma_r) dq$$



47. ábra

a kétoldali tangenciális feszültségből adódó radiális erő:

$$\gamma\sigma_t dr \cdot 2 \sin \frac{\alpha q}{2} \approx \gamma\sigma_t dr dq$$

\* L. Hermann i. m. 65. o.

és végül a *centrifugális* erő:

$$\frac{\gamma}{g} y r^2 \omega^2 dr d\varphi.$$

Ezek *egyensúlyát* fejezi ki (differenciálhányadosra térve) a következő differenciálegyenlet ( $\sigma_r = \sigma' = \sigma$ ):

$$\sigma \left[ \frac{d(ry)}{dr} - y + \frac{\gamma}{g} y \frac{r^2 \omega^2}{\sigma} \right] d\varphi = 0.$$

Egyszerűsítés, differenciálás és szeparálás útján nyerjük:

$$\int_{y_0}^y \frac{dy}{y} = - \frac{\gamma}{g} \frac{\omega^2}{\sigma} \int_0^r r dr, \quad \text{mert} \quad y(0) = y_0.$$

Végül integrálás után a *tárcsa meridiángörbéjének egyenlete*:

$$y = y_0 e^{-\frac{\gamma \omega^2}{2g\sigma} r^2} = y_0 e^{-\frac{r^2}{2r_k^2}},$$

ahol  $r_k$  a görbe inflexiós pontjának távolsága a tárcsa tengelyétől.

(Számítsuk ki később az egyenszilárdságú tárcsa tömegét és inercianyomatékát  $[0, r]$  szakaszán!)

## 7. VÍZSZINTES KÖRPÁLYÁN MOZGÓ GOLYÓ\*

Kör alakú vízszintes (rögzített) drótra  $m$  tömegű golyó van felfüggesztve. A golyót ezen csúszva  $f$  arányossági tényezőjű súrlódási erő fékezi. Milyen *legkisebb sebességgel* kell indítanunk a golyót, hogy *éppen visszaérkezzenek a kiindulási helyre*? A drót sugara legyen  $r$ ; a légellenállást figyelmen kívül hagyhatjuk.

A golyó súlyánál és centripetális gyorsulásánál fogva (48. ábra) a drótra

$$P = \sqrt{(mg)^2 + \left( \frac{mv^2}{r} \right)^2}$$

nyomóerőt gyakorol, következésképpen a golyóra

$$S = fP = f \sqrt{m^2 g^2 + \frac{m^2 v^4}{r^2}}$$

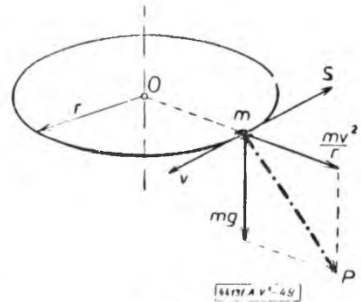
fékező erő hat. Mozgásának differenciálegyenlete tehát:

$$\frac{dv}{dt} = -f \sqrt{m^2 g^2 + \frac{m^2 v^4}{r^2}}$$

(a lassulás miatt a baloldal is negatív).

A differenciálási láncszabály segítségével a  $t$  független változó helyett bevezetjük a kiindulási helytől mért  $s$  ívhosszat:

$$\frac{dv}{dt} = \frac{dv}{ds} \frac{ds}{dt} = v \frac{dv}{ds},$$



48. ábra

\* L.: Elméleti fizikai feladatok.

majd az A. IV./1. §. a. e)-ban tanult módon szétválasztjuk a változókat:

$$\frac{v dv}{\sqrt{g^2 + \frac{v^4}{r^2}}} = -f ds.$$

Végül  $s = 0$ -nál  $v = v_0$  kezdeti feltétel mellett integrálva nyerjük:

$$\frac{r}{2} \int_{v_0}^v \frac{\frac{2v}{r} dv}{\sqrt{g^2 + \left(\frac{v^2}{r}\right)^2}} = -f \int_0^s ds,$$

$$\frac{r}{2} \left[ \operatorname{arsh} \frac{v^2}{gr} - \operatorname{arsh} \frac{v_0^2}{gr} \right] = -fs.$$

A feladat szerint a golyót legalább akkora  $v_0$  kezdősebességgel kell indítanunk, hogy legalább az  $s = 2r\pi$  utat megtéve váljék sebessége 0-vá; így a  $v_0$ -ra a következő egyenlőség adódik:

$$0 \leq -2r\pi f + \frac{r}{2} \operatorname{arsh} \frac{v_0^2}{gr},$$

ahonnan:

$$v_0 \geq \sqrt{gr \operatorname{sh} 4f\pi}.$$

### 8. SZALAGFÉK FEKEZŐ NYOMATÉKA ÉS ELMOZDULÁSA\*

Meghatározandó a 49. ábrán látható szalagfék fékező nyomatéka és A pontjának elmozdulása a  $P$  erő függvényében. A súrlódási tényező a szíj és a dob érintkezési felületén:  $f$ . A szíj  $F$  keresztmetszete és  $E$  rugalmassági modulusa adott; az egyszerűség kedvéért az emelőt és a dobot tekintjük abszolút merevnek.

Gondolatban messzük el a szíjat a B és C helyen, és vizsgáljuk meg a szíj és az emelő egyensúlyi feltételeit.

Az emelőre nyilvánvalóan:

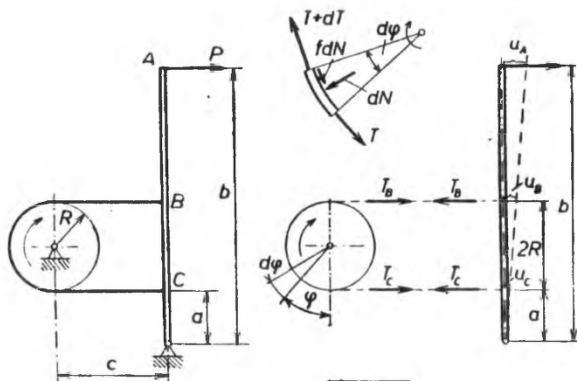
$$T_C a + T_B (a + 2R) = Pb, \quad (1)$$

A szíjnak egy  $R d\varphi$  hosszúságú kivágott elemére ható erők:  $T$  és  $T + dT$ , az  $fdN$  súrlódás és a korong  $dN$  reakcióereje. Az elem egyensúlyi feltételeiből nyerjük:

$$dT + f dN = 0 \text{ és } dN = T d\varphi,$$

ahonnan a szíj differenciálegyenlete:

$$\frac{dT}{T} = -f d\varphi.$$



49. ábra

\* Феофанов и. м.

Integrálva  $T(0) = T_C$  kezdeti feltétel mellett, nyerjük a szljhúzásra:

$$T = T_C e^{-f\varphi}.$$

A  $T_B = T(\pi) = T_C e^{-f\pi}$  kifejezést az (1)-be beírva,  $T_C$ -re a következőt kapjuk:

$$T_C = \frac{Pb}{a + e^{-f\pi}(a + 2R)}.$$

Vizsgáljuk most a fékező nyomatékot:

$$M = Rf \int_0^\pi dN = Rf \int_0^\pi T_C e^{-f\pi} d\varphi = T_C R (1 - e^{-f\pi}) = \frac{Pb R (1 - e^{-f\pi})}{a + e^{-f\pi}(a + 2R)}.$$

Mielőtt az  $A$  pont elmozdulását meghatároznánk, állapítsuk meg előzetesen a szl teljes megnyúlását a

$$\Delta l = \frac{T_C c}{EF} + \frac{T_B c}{EF} + \int_0^\pi \frac{TR d\varphi}{EF}$$

formula szerint. Felhasználva a fentebb nyert  $T = T_C e^{-f\varphi}$  eredményt, írhatjuk:

$$\Delta l = \frac{T_C}{EF} \left[ c + c e^{-f\pi} + \frac{R}{f} (1 - e^{-f\pi}) \right].$$

Figyelembe veendő, hogy  $\Delta l = u_B + u_C$ , ahol  $u_B$  és  $u_C$  a  $B$ , illetve  $C$  pontok elmozdulása, továbbá a 49. ábra alapján írható:

$$u_A = u_C \frac{b}{a}, \quad \text{illetve} \quad u_A = u_B \frac{b}{a + 2R}.$$

Ezek felhasználásával nyerjük:

$$\Delta l = u_A \frac{a}{b} \left( 1 + \frac{a + 2R}{a} \right),$$

vagy a  $\Delta l$  kifejezését beírva:

$$u_A = \frac{b}{2(a + R)} \frac{T_C}{EF} \left[ c + c e^{-f\pi} + \frac{R}{f} (1 - e^{-f\pi}) \right].$$

Végül  $T_C$  behelyettesítése után a szalag  $A$  pontjának elmozdulása:

$$u_A = \frac{P}{EF} \frac{b^2}{2(a + R)} \frac{c(1 + e^{-f\pi}) + \frac{R}{f}(1 - e^{-f\pi})}{a + (a + 2R)e^{-f\pi}}.$$

## 9. HAJLÉKONY, MEGFESZÍTETT FONAL BELOGÁSA\*

Hajlékony s a vízszintes síkon nyugvó fonalat  $T_0$  erővel feszítjük ki a két helytálló csukló között. A vízszintes támasztósík eltávolítása után a fonal önsúlya alatt megörbülve, függőleges síkban fog elhelyezkedni (50. ábra).

\* Феодосев и. м.

Meghatározandó, *hogyan függ az  $y_{\max}$  belógás a (kezdeti)  $T_0$  feszítőerőtől és a fonal  $q$  folyómétersúlyától*, ha adottnak vesszük a fonal  $F$  keresztmetszetét,  $E$  rugalmassági modulusát és  $l$  hosszát.

Szemléljük a fonál  $dx$  hosszúságú elemét (50. ábra). Jelöljük  $T$ -vel ( $T > T_0$ ) a meghajlított fonalban ébredő húzóerőt és  $\vartheta$ -val ennek hajlásszögét. Feltételezve, hogy ez a szög kicsiny, az *egyensúlyi egyenlet* így alakul:

$$T \vartheta - q dx - T(\vartheta + d\vartheta) = 0,$$

vagy rendezve:

$$d\vartheta = -\frac{q}{T} dx.$$

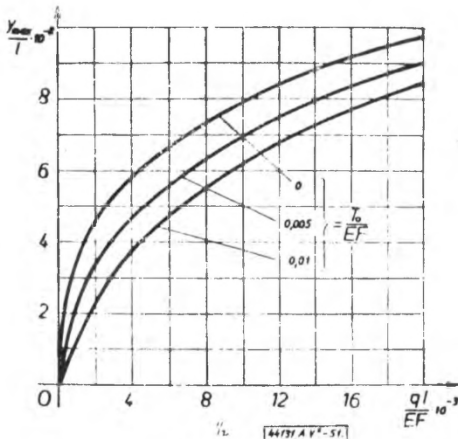
Ezt integráljuk, figyelembe véve, hogy  $x = \frac{l}{2}$ -nél  $\vartheta = 0$ , és kapjuk, hogy:

$$\vartheta = \frac{q}{T} \left( \frac{l}{2} - x \right).$$

Ezzel a maximális belógást így számíthatjuk:

$$y_{\max} = \int_0^{\frac{l}{2}} \vartheta dx = \frac{q}{T} \int_0^{\frac{l}{2}} \left( \frac{l}{2} - x \right) dx = \frac{ql^2}{8T}.$$

Vizsgáljuk most  $T$ -t. A  $T - T_0$  különbség meghatározásánál figyelembe vesszük, hogy a fonal megnyúlása a görbe és egyenes ívhosszának különbségével egyenlő, azaz:



51. ábra

$$\Delta l = \frac{T - T_0}{EF} l = \int_0^l \left( \frac{1}{\cos \vartheta} - 1 \right) dx =$$

$$= \int_0^l \frac{1 - \cos \vartheta}{\cos \vartheta} dx \approx \int_0^l \frac{\vartheta^2}{2} dx,$$

ha a számláló és nevező *Taylor*-sorának csak első tagjára szorítkozunk. Az integrálás eredménye:

$$\Delta l = \frac{T - T_0}{EF} = \frac{q^2 l^2}{24 T^2}.$$

Ide az  $y_{\max}$  képletéből a  $T$ -t behelyettesítve, némi rendezés után ezt kapjuk:

$$64 \left( \frac{y_{\max}}{l} \right)^3 + 24 \frac{T_0}{EF} \frac{y_{\max}}{l} - 3 \frac{ql}{EF} = 0.$$

Ezen implicit függvénykapcsolatból, az  $E, F, l, T_0, q$  ismeretében 3. fokú egyenlet megoldása útján adódik az  $y_{\max}$ . Az 51. ábrán az  $y_{\max}/l$ -t a  $T_0/EF$  és a  $ql/EF$  függvényében tüntettük fel.

VÁLTOZÓ KERESZTMETSZETŰ RUDAK MEGNYÚLÁSA (10–12. pl.)\*

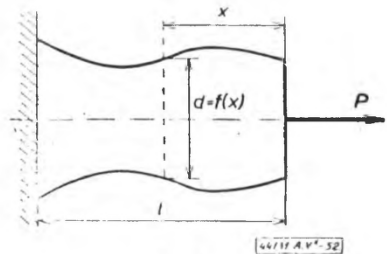
10. Egy *forgástest*-alakú,  $l$  hosszúságú rúd (lásd az 52. ábrát) az egyik végén be van fogva, a másik végét pedig a rúd tengelyirányában ható  $P$  erő terheli. Meghatározandó a rúd megnyúlása, ha átmérője, a szabad végtől számított  $x$  távolságban a  $d = f(x)$  képlet alapján határozható meg. (A rúd saját súlya elhanyagolandó!)

Az  $[x, x + dx]$  rúdtelelem megnyúlása:

$$\Delta dx = \frac{P dx}{\pi [f(x)]^2 E},$$

következésképpen a rúd teljes megnyúlása:

$$\Delta l = \frac{4P}{\pi E} \int_0^l \frac{dx}{[f(x)]^2}.$$

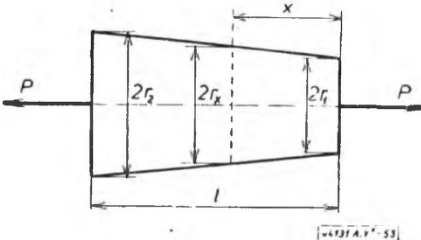


52. ábra.

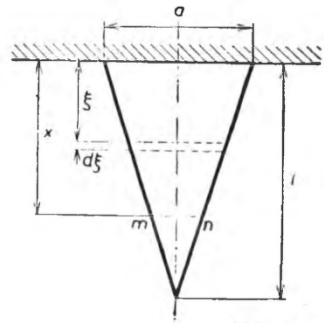
11. Egy *csonkakúp* alakú rúd (53. ábra) hossza  $l$ , fedő- és alapkörének sugara  $r_1$  és  $r_2$ . A rudat  $P$  húzóerőkkel terheljük, melyek a rúd tengelyében hatnak. Meghatározandó a rúd megnyúlása. (A rúd saját súlya elhanyagolandó!)

Az előző feladat megoldása szerint:

$$\Delta l = \frac{4P}{\pi E} \int_0^l \frac{dx}{\left( r_1 + \frac{r_2 - r_1}{l} x \right)^2} = \frac{Pl}{\pi E r_1 r_2}.$$



53. ábra



54. ábra

\* L. pl. Иванов и. м.



12. Egy kúpalakú rudat (54. ábra) saját súlya terheli. Meghatározandó egy  $mn$  keresztmetszet elmozdulása és a rúd befogott végétől számított  $x$  távolsága közti összefüggés. A fentebbiek értelmében:

$$\Delta l(x) = \frac{\gamma}{3E} \int_0^x (l - \xi) d\xi = \frac{\gamma x (2l - x)}{6E}; \quad \Delta l = \frac{\gamma l^2}{6E}.$$

\* \* \*

### 13. ÁRAMLÁS KÖRÍV-ALAKÚ CSŐBEN\*

Valamely horizontálisan fekvő, négyzetes keresztmetszetű cső  $AA_1$  és  $BB_1$  között (55. ábra) köríven meg van görbítve. Szelvénye:  $a \cdot b$ . A görbületi sugár  $r_1$ , illetve  $r_2$ . Ha a belépési sebesség,  $v_1$  adva van, kérdés, mi az összefüggés az áramló folyadék tetszőleges  $M$  pontjabeli  $v$  sebesség és  $r$  görbületi sugár között.

A centrifugális erő differenciálja:

$$dC = dm \frac{v^2}{r};$$

itt a tömegelem:

$$dm = dr ds dz \frac{\gamma}{g},$$

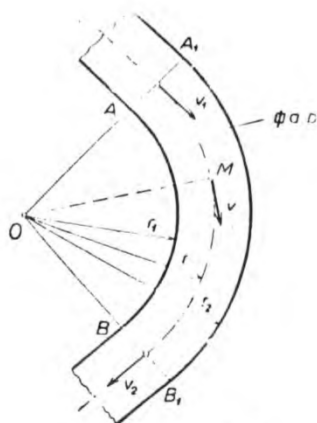
ahol  $dz$  az elem vastagsága (56. ábra).

A centrifugális erő miatt a hidraulikus nyomás kifelé megnövekszik:

$$dp = \frac{dC}{ds dz} = \frac{\gamma}{g} \frac{v^2}{r} dr,$$

ahol  $dp$  a megnövekedés értéke.

Legyen  $p_1$  a hidraulikus nyomás  $AA_1$ -ben. A cső vízszintes helyzetű lévén, a



55. ábra

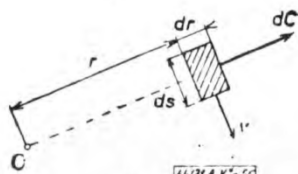
$$p_1 = p_0 + \left[ z_1 - \frac{v_1^2 - v_2^2}{2g} \right] \gamma$$

egyenletben  $z_1 = 0$  és alul:

$$p = p_1 - \frac{v^2 - v_1^2}{2g} \gamma;$$

ily módon:

$$dp = - \frac{\gamma}{g} v dv.$$



56. ábra

\* L. Kövesi i. m. 138—139. o.

A  $dp$  fentebbi két kifejezését egyenlővé téve, kapjuk az áramlás differenciálegyenletét:

$$\frac{\gamma}{g} \frac{v^2}{r} dr = - \frac{\gamma}{g} v dv;$$

egyszerűsítve:

$$\frac{v}{r} dr = - dv,$$

majd rendezve:

$$v dr + r dv = 0.$$

A differenciálegyenlet megoldása tehát:

$$v r = k = \text{állandó}.$$

A cső vízhozama ilyen sebességeloszlás mellett:

$$q = b \int_{r_1}^{r_2} v(r) dr = bk \int_{r_1}^{r_2} \frac{dr}{r} = bk \ln \frac{r_2}{r_1}.$$

A  $b$ ,  $r_2$  és  $r_1$  adott, a  $q$  mérhető, tehát az ismeretlen  $k$  állandó értéke:

$$k = \frac{q}{b \ln \frac{r_2}{r_1}}.$$

A sebesség-törvény tehát végleges alakban:

$$v = \frac{q}{rb \ln \frac{r_2}{r_1}}.$$

#### 14. REDUKÁLT (EGYENÉRTÉKŰ) CSŐHOSSZ SZÁMÍTÁSA\*

Egy  $l$  hosszúságú vízvezetékcsövön folyadék áramlik. Intenzitása a cső hosszegységére vonatkoztatva  $q$ , a cső végén kiömlő vízmennyiség tehát:  $Q_m = ql$ .

Vegyük meghatározandó a redukált (egyenértékű) csővezeték hossz, változatlan keresztmetszettel, ha a csővezeték elejének lezárása esetén az előzően fennálló kezdeti nyomást és az átömlő vízmennyiséget fenntartjuk.

A kezdőponttól  $x$  távolságban  $dx$  hosszulemre a nyomásvesztéses alapegyenlete a következő módon írható fel:

$$-dh = k^2(Q_m + ql - qx)^2 dx,$$

vagy

$$-dh = k^2 q^2 (2l - x)^2 dx.$$

Innen integrálás után nyerjük a következőt:

$$h = \frac{k^2 q^2 l^3}{3}.$$

\* L. 516. pontban l. m.

Ha ugyanilyen nyomásvesztéségnél lezárjuk a csővezeték elejét — fenntartva az előző átmenő vízmennyiséget — akkor a következő egyenlőség áll fenn:

$$h = k^2(2g l)^2 l_e.$$

A  $h$  fentebbi két kifejezését összehasonlítva, kapjuk végül az *egyenértékű csőhosszra* :

$$l_e = \frac{7L}{3 \cdot 4} = 0,583 l.$$

#### 15. KORREKCIÓS TÉNYEZŐ A KÖZÉPSEBESSÉGGEL SZÁMÍTOTT KINETIKUS ENERGIAHOZ\*

A *lamináris folyadékáramlás sebességeloszlási törvénye lapos csőben* (azaz amikor a keresztmetszet  $2H$  magassága kicsi a  $b$  szélességhez viszonyítva) a következő képlettel fejezhető ki:

$$u = \frac{3}{2} w \left( 1 - \frac{x^2}{H^2} \right).$$

Meghatározandó az  $\alpha$  korrekciós tényező, a középsebességgel számított közepes fajlagos kinetikus energiához.

Az áramlás *kinetikus energiája* :

$$E = \frac{1}{2} \int_F u^2 dm.$$

A vizsgált esetben:

$$dm = \rho u dF = \rho u b dx.$$

Ezzel:

$$E = \frac{1}{2} 2 \int_0^H b \rho u^3 dx = b \rho \int_0^H \frac{27}{8} w^3 \left( 1 - \frac{x^2}{H^2} \right)^3 dx = \frac{54}{35} \rho b H w^3.$$

Ha a kinetikus energiát az

$$u_k = \frac{1}{2H} \int_{-H}^{+H} u(x) dx = \frac{3w}{4H} \int_{-H}^H \left( 1 - \frac{x^2}{H^2} \right) dx = w$$

*középsebességgel* számítjuk, akkor:

$$\bar{E} = \frac{1}{2} \cdot \rho b 2Hw w^2 = \rho b Hw^3.$$

Ily módon a középsebességgel számított  $E$  kinetikus energia  $\alpha = 54/35$  *korrekciós tényezővel* szorozva adja a helyes  $E$  értéket, azaz:

$$E = \frac{54}{35} \bar{E}.$$

\* Л. Яблонский i. m.

## 16. SEBESSÉGELOSZTLAS LAPOS CSŐBEN\*

Meghatározandó a sebességeloszlás törvénye lapos cső keresztmetszetében, *viszkózus folyadék lamináris áramlása* esetén. A keresztmetszet derékszögű és a magassága kicsi a szélességhez viszonyítva.

Vizsgáljuk a viszkózus folyadékáram egy elemének egyensúlyát (szélessége  $b$ , magassága  $2x$  és hossza  $L$ ), amely elem a nyomóerő hatása alatt *egyenletes mozgásban* van (57. ábra):

$$(p_1 - p_2) b 2x = 2\tau bL.$$

Emellett *Newton feltevése* szerint:

$$\tau = -\mu \frac{du}{dx}.$$

Következésképpen az áramlás *differenciálegyenlete*:

$$du = -\frac{p_1 - p_2}{L\mu} x dx.$$

Integráláskor felhasználjuk az  $u(\pm h) = 0$  határfeltételeket. Eszerint:

$$\int_0^u du = -\frac{p_1 - p_2}{L\mu} \int_{(\pm)h}^x x dx,$$

azaz áramlásunk *integráltörvénye*:

$$u = \frac{p_1 - p_2}{2L\mu} (h^2 - x^2),$$

és ennek következtében:

$$u(0) = u_0 = \frac{p_1 - p_2}{2L\mu} h^2.$$

\* \* \*

17. TALAJ RUGALMASSÁG MODULUSÁNAK MEGHATÁROZÁSA  
KÖGLER-HENGERRREL\*\*

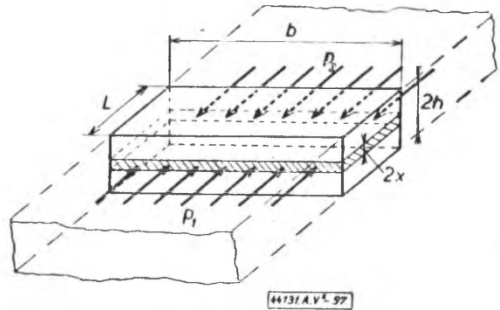
Kögler az alábbi módon kimutatta, hogy egy, a fúrólyukba helyezett gumi-hengerrel a talaj rugalmassági (összenyomódási) modulusa meghatározható (58. ábra).

A henger belső falára, vagyis a furat palástfelületére ható erő nagysága:

$$P = 2\pi r Hp.$$

\* L. Яблонский i. m.

\*\* L.: Széchy i. m. I. kt.



57. ábra



Az ábra jelöléseit felhasználva felírhatjuk, hogy:

$$F dp_v = F \gamma dy - K p_h dy f,$$

ahol  $f$  a súrlódási tényező a silózott anyag és a fal (esetünkben a visszatöltött és a termett talaj) között,  $K$  az 1 fm-re eső kerület,  $\gamma$  pedig a föld fajsúlya. Feltesszük, hogy  $p_h f = p_v k$ , ahol  $k$  egy, a talaj minőségétől függő arányossági tényező.

E feltevéssel fentebbi differenciálegyenletünk így alakul:

$$F dp_v = F \gamma dy - K k p_v dy = (F \gamma - K k p_v) dy.$$

Innen  $dy$ -t kifejezve:

$$dy = \frac{F}{F \gamma - K k p_v} dp_v.$$

Integrálva,  $p_v(0) = 0$  figyelembe vételével:

$$\int_0^y dy = \int_0^{p_v} \frac{F}{F \gamma - K k p_v} dp_v$$

$$y = -\frac{F}{K k} \ln(F \gamma - K k p_v) - \ln F \gamma.$$

Ezt  $p_v$ -re megoldva:

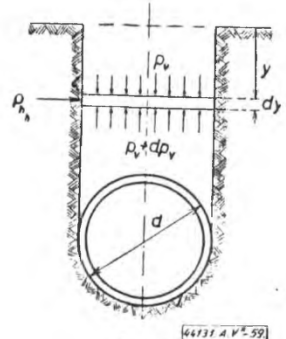
$$p_v = \frac{\gamma F}{k K} \left( 1 - e^{-k K \frac{y}{F}} \right).$$

Az előbbieket szerint:

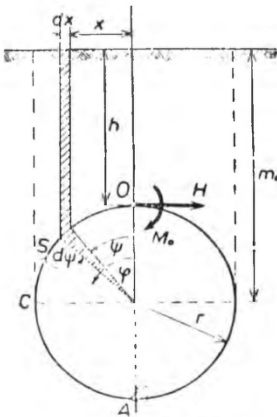
$$p_h = \frac{p_v k}{f}.$$

Ennek figyelembevételével nyerjük végül a horizontális földnyomásra:

$$p_h = \frac{\gamma F}{f K} \left( 1 - e^{-k K \frac{y}{F}} \right).$$



59. ábra



60. ábra

19. CSŐRE HATÓ NYOMATÉK MEGHATÁROZÁSA, HA A CSŐ FÖLÖTT LÉVŐ FÖLDTÖMEG TELJES EGÉSZÉBEN TERHELI A CSŐVEL.

A feladat megoldásánál az 1. §. d. γ) M. a. 15. példához hasonlóan indulunk el. Most azonban a csőben fellépő erők mások lesznek, mint egyenletesen megoszló terhelés esetén, mert a külső erők által ébresztett nyomaték módosul. Ez esetben ugyanis (60. ábra) az O-tól az S felé haladva a terhelés nem lineárisan változik, mint az előbbi példa esetében. A levezetés maga egészen addig, amíg felírjuk a külső erők által okozott nyomatékot, azonos a már tárgyalt 1. §. d. M. a. 15. feladattal. Így a kiindulási egyenletünk az említett feladattól elírt (9) és (10) egyenlet:

$$M_0 + \frac{3}{2} H_0 R = -\frac{1}{\pi} I_1 + \frac{1}{\pi} I_2$$

\* L. Földmész: Csőterhelés.

és

$$M_0 + H_0 R = -\frac{1}{\pi} I_1,$$

ahol:

$$I_1 = \int_0^{\pi} M_k d\varphi \quad \text{és} \quad I_2 = \int_0^{\pi} M_k \cos \varphi d\varphi.$$

Vizsgáljuk most, mekkora lesz a *külső erő nyomatéka*. Ez más lesz a cső alsó és más lesz a cső felső részén. A cső *felső részén* valamely  $dx$  elemi szélességű földprizma súlya:

$$\gamma(m_0 - r \cos \psi) dx$$

és mivel

$$x r \sin \psi,$$

$$dx = r \cos \psi d\psi,$$

az elemi földprizma súlya polárkoordinátákkal a

$$\gamma(m_0 - r \cos \psi) r \cos \psi d\psi$$

alakban írható.

A terhelő erő nyomatéka a  $\varphi$  szöggel jellemzett  $S$  pontra — figyelembe véve, hogy a kar

$$r (\sin \varphi - \sin \psi)$$

módon fejezhető ki — így írható:

$$\begin{aligned} M_{kf} &= \gamma r^2 \int_0^{\varphi} (m_0 - r \cos \psi) \cos \psi (\sin \varphi - \sin \psi) d\psi = \\ &= \gamma r^2 m_0 \frac{\sin^2 \varphi}{2} - \gamma r^3 \left( \frac{1}{2} \sin^2 \varphi \cos \varphi + \frac{1}{2} \varphi \sin \varphi + \frac{1}{3} \cos^3 \varphi \right). \end{aligned}$$

Az *alsó körnegyedre* pedig ugyanez így alakul:

$$M_{ka} = \gamma r^2 m_0 \left( \sin \varphi + \frac{1}{2} \right) - \gamma r^3 \left( \frac{\pi}{4} \sin \varphi - \frac{1}{3} \right).$$

Ezekután felírható, hogy:

$$I_1 = \int_0^{\frac{\pi}{2}} M_{kf} d\varphi + \int_{\frac{\pi}{2}}^{\pi} M_{ka} d\varphi,$$

és

$$I_2 = \int_0^{\frac{\pi}{2}} M_{kf} \cos \varphi d\varphi + \int_{\frac{\pi}{2}}^{\pi} M_{ka} \cos \varphi d\varphi.$$

Az  $M_{kf}$  és  $M_{ka}$  értékeit behelyettesítve, az integrálást a kijelölt határok között elvégezve, azután az  $I_1$  és  $I_2$ -re kapott értékeket a kiindulási egyenletekbe visszahelyettesítve, végül ezen egyenleteket megoldva, kapjuk a keresett *reakcióerőre és -nyomatékra*:

$$H_0 = 0,1061 \gamma mr + 0,1686 \gamma r^2,$$

$$M_0 = -0,29941 \gamma mr^2 + 0,34156 \gamma r^3.$$

\* \* \*

#### FELADATOK AZ OHM-TÖRVÉNYRE\* (20–22. pl.)

*Ohm törvénye értelmében a t időpontban U(t) kapcsol feszültségű és R(t) ohmos ellenállású áramkörben az áramerősség:*

$$I(t) = \frac{U(t)}{R(t)}$$

[Itt figyelmen kívül hagytuk az áramerősség  $\frac{dI(t)}{dt}$  változási sebességével arányos önindukciós ellen-elektromotoros erőt.] Rendszerint  $R(t) = \text{const.}$

Az áramerősség másrészt definíciószerűen a  $Q(t)$  elektromos töltés változási sebessége:

$$\frac{dQ}{dt} = I(t).$$

Ily módon elektromos áramlásunk differenciálegyenlete, az  $I(t)$  két kifejezéséből:

$$\frac{dQ}{dt} = \frac{U(t)}{R(t)}, \quad \text{ill.} \quad dQ = \frac{U(t)}{R(t)} dt.$$

A  $t_0 \leq t \leq t_1$  időszakban az áramkörön átáramló töltés mennyisége tehát:

$$Q = \int_{t_0}^{t_1} \frac{U(t)}{R(t)} dt.$$

Ezek figyelembevételével oldjuk meg a 20–22. példákat!

20. Egy áramkör kapcsol feszültsége  $U = 120$  V. A körbe másodpercenként  $0,1 \Omega$  ellenállást iktatunk be, egyenletesen. Ezenkívül a körben van még  $10 \Omega$  állandó ellenállás is. Hány Coulomb töltés áramlik keresztül a körön 2 perc alatt?

Az áramkör ellenállása a bekapcsolás után  $t$  másodperccel:

$$R(t) = 10 + 0,1 t \quad [\Omega];$$

ugyanakkor az áramerősség:

$$I(t) = \frac{U}{R(t)} = \frac{120}{10 + 0,1 t} \quad [A].$$

\* L. Берман i. m.



A  $[0, 120]$  időszakban a körön *átáramló töltésmennyiség* tehát:

$$Q = \int_0^{120} I(t) dt = \int_0^{120} \frac{120 dt}{10 + 0,1t} = 1200 \ln \frac{22}{10} =$$

$$= 1200 \ln 2,2 = 1200 \cdot 0,79 \approx 948 \text{ Coulomb.}$$

21. Egy áramkör kapocsfeszültsége kezdetben 120 V, majd egyenletesen csökken<sup>2</sup> másodpercenként 0,01 V-tal. Egyidejűleg a körbe állandó sebességgel ellenállást iktatunk<sup>3</sup> 0,1  $\Omega$ -ot másodpercenként. Ezenkívül a körben van 12  $\Omega$  állandó ellenállás. Hány Coulomb töltés áramlik keresztül a körön 3 perc alatt?

22. Egy fémvezető ellenállása a hőmérsékletváltozás következtében (közönséges hőmérsékleti határok között) az  $R_\vartheta = R_0 (1 + 0,004 \vartheta)$  összefüggés szerint változik, ahol  $R_0$  az ellenállás 0  $^\circ\text{C}$ -on és  $\vartheta$  a hőmérséklet  $^\circ\text{C}$ -ban. (Ez az összefüggés a fémek nagy részére érvényes.) A vezető, melynek ellenállása 0  $^\circ\text{C}$ -on 10  $\Omega$ , egyenletesen felmelegszik  $\vartheta_1 = 20^\circ$ -ról  $\vartheta_2 = 200^\circ$ -ra 10 perc alatt. Ezen idő alatt 120 V feszültség hajt rajta keresztül áramot. Hány Coulomb töltés áramlik át közben a vezetőn?

\* \* \*

#### FELADATOK A NEWTON-FÉLE LEHŰLÉSI TÖRVÉNYRE STB.\* (23–27. pl.)

*Newton lehűlési (melegedési) törvénye értelmében a test  $\frac{d\tau}{dt}$  hőfokváltozási sebessége bármely  $t$  időpontban arányos a test  $\tau$  és a környezet  $\tau_k$  hőfokának különbségével. A hőfokváltozási folyamat differenciálegyenlete tehát:*

$$\frac{d\tau}{dt} = c (\tau_k - \tau),$$

illetve

$$\frac{d\tau}{\tau_k - \tau} = c dt.$$

Adott  $\tau_k$ , valamint 2 összetartozó  $\tau$  és  $t$  értékpár esetén a folyamat *integráltörvénye* (a  $c$  arányossági tényezővel együtt) határozott integrálás útján meghatározható

Ezek alapján oldjuk meg a 23–27. példákat.

23. Egy  $25^\circ$  hőmérsékletű testet termosztátba helyezünk. (A termosztát hőmérsékletét  $0^\circ$ -on tartjuk.) Mennyi idő múlva hűl le a test  $10^\circ$ -ra, ha 20 perc alatt  $20^\circ$ -ra hűlt le?

Esetünkben:

$$\tau_k = 0^\circ, t_0 = 0', \tau_0 = 25^\circ;$$

$$t_1 = 20', \tau_1 = 20^\circ.$$

Kérdés, hogy  $\tau_2 = 10^\circ$ -ra mekkora  $t_2$  alatt hűl le a test.

Folyamatunk *differenciálegyenlete* tehát:

$$\frac{d\tau}{dt} = -c\tau, \text{ illetve } \frac{d\tau}{\tau} = -c dt.$$

\* Л. Берман и. ип.

integrálva a fentebbi határok között, nyerjük, némi rendezés után:

$$\tau = 25 e^{-ct} \quad \text{és} \quad \tau = 20 e^{-c(t-20)}.$$

A kettő hányadosát véve:

$$1 = \frac{20}{25} e^{20c},$$

ahonnan a  $c$  arányossági tényező:

$$c = \frac{1}{20} \ln 1,25.$$

Ezzel a keresett *integráltörvény*:

$$\tau = 25 e^{-\frac{t}{20} \ln 1,25} = 25 \cdot 1,25^{-\frac{t}{20}} = 25 \cdot 0,8^{\frac{t}{20}}.$$

A test  $\tau_2 = 10^\circ$ -ra tehát

$$t_2 = 20 \frac{\ln \frac{10}{25}}{\ln 0,8} = 82'$$

alatt hűl le.

24. Egy  $30^\circ$  hőmérsékletű test 30 percig tartózkodva a  $0^\circ$ -os termosztátban,  $22,5^\circ$ -ra hűl le. Mekkora lesz a test hőmérséklete a kísérlet megkezdése után 3 óra múlva?

25. Mennyi idő alatt melegít fel egy villamos berendezés 1 kg vizet  $20^\circ$ -ról  $100^\circ$ -ra, ha a feszültség értéke 120 V, a spirális ellenállása  $14,4 \Omega$ , a szobában lévő levegő hőfoka  $20^\circ$ , és ha ismeretes, hogy 1 kg víz 10 perc alatt hűl le  $40^\circ$ -ról  $30^\circ$ -ra. — (A *Joule-Lenz* törvény értelmében:  $Q = 0,24 I^2 R t$ , ahol  $Q$  a hőmennyiség grammkalóriában,  $I$  az áramerősség Ampére-ben,  $R$  az ellenállás  $\Omega$ -ban,  $t$  az idő másodpercben. Ezenkívül használjuk fel a *Newton-féle* lehűlési törvényt.)

\*26. Egy elektromos töltésű test fokozatosan elveszti a tökéletlen szigetelés következtében. Határozzuk meg a töltést az idő függvényében, feltéve, hogy a test kisülésének sebessége arányos a rajta lévő töltéssel. (A kezdeti töltés  $E_0$ , az arányossági együttható  $k$ .)

\*27. Ha 3 m vastag vízzrétegen keresztülhaladva a fény kezdeti mennyiségének felére csökken, akkor mekkora mennyiség jut el 30 m mélyre? — (A vékony réteg által elnyelt fény mennyisége arányos a réteg vastagságával és a felületére eső fény mennyiségével.)



#### FIZIKAI-KÉMIAI FELADATOK\* 28–34. pl.)

28. Valamely fermentum 1 g-nyi tömege 1 óra alatt 1,2 g-ra növekszik fel. A növekedés sebessége minden pillanatban arányos az akkori anyagmennyiséggel. Kérdés, hogy az erjedés kezdete után 5 órával hány g lesz a fermentum?

A növekedés sebessége, mint a tömeg időszerinti deriváltja most a pillanatnyi tömeggel arányos. Az erjedési folyamat differenciálegyenlete tehát:

$$(v = ) \frac{dm}{dt} = c m, \quad \text{illetve} \quad \frac{dm}{m} = c dt.$$

\* L. БЕРМАН и. м.

A folyamat e differenciáltörvényéről határozott integrálással térünk rá az integráltörvényére. A közölt mérési adatok szerint:

$$m(0) = 1 \text{ és } m(1) = 1,2.$$

Irhatjuk tehát, hogy:

$$\int_1^m \frac{dm}{m} = c \int_0^t dt \quad \text{és} \quad \int_{1,2}^m \frac{dm}{m} = c \int_1^t dt.$$

Az integrálást elvégezve, kapjuk némi átalakítással:

$$m = e^{ct} \quad \text{és} \quad m = 1,2 e^{c(t-1)}.$$

A kettő hányadosa:

$$1 = 1,2 e^{-c},$$

ahonnan a  $c$  arányossági tényező:

$$c = \ln 1,2.$$

Ezt beírva  $m$  bármelyik kifejezésébe, kapjuk az *integráltörvényt*, teljesen határozott alakban:

$$m = e^{\ln 1,2 \cdot t} = 1,2^t.$$

A fermentum tömege tehát a  $t = 5$  időpontban:

$$m(5) = 1,2^5 = 2,489 \text{ g.}$$

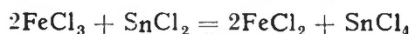
29. Egy zárt edényben *kén* és *hidrogén* van. A hidrogén kezdeti mennyisége 1 g. 12 óra múlva már csak 0,832 g. Mennyi hidrogén lesz 24 óra múlva? — (A reakció így játszódik le:  $H_2 + S = H_2S$ . A nyert  $H_2S$  abszorbeálódik úgy, hogy a reakció irreverzibilisnek tekinthető. A kén gőz koncentrációja a kezdeti folyékony állapot következtében állandó. Így a lefolyó reakció *elsőrendű reakciónak* tekinthető.)\*

30. Az *ecetsavas etiléter elszappanosodása marónátronnal* a következő reakció szerint folyik le:



(*másodrendű reakció*). A kísérlet kezdetén az éteroldat koncentrációja  $a = 0,01$  mol/l és a marónátron koncentrációja  $b = 0,002$  mol/l. 25 perc eltelte után az éter koncentrációja kezdeti értékének 10%-ával csökkent. Mennyi idő múlva csökken 15%-ával?

31. A *vasklorid és ónklorid közötti reakció* a következő módon folyik le:



(*harmadrendű reakció*). A kísérlet kezdetén az  $SnCl_2$  koncentrációja 0,06250 mol/l, az  $FeCl_3$  koncentrációja pedig 0,12500 mol/l. A reakció megkezdése után 1 perccel az  $SnCl_2$  koncentrációja 0,04816 mol/l. Mekkora lesz az  $SnCl_2$  koncentrációja 11 perccel a kísérlet megkezdése után?

32. A *reverzibilis kémiai reakció* a következő módon folyik le:  $A + B \rightleftharpoons C + D$ ;  $A$  és  $B$  kezdeti koncentrációja rendre  $a$  és  $b$ , míg  $C$  és  $D$  kezdeti koncentrációja 0. Állítsuk fel a folyamat differenciálegyenletét, feltételezve, hogy a *reakció másodrendű*.

33. Az *erjedés* kezdete után 2 órával a *fermentum* mennyisége 2 g és 3 óra múlva 3 g. Mennyi volt a fermentum kezdeti mennyisége? (L. a 28. példát!)

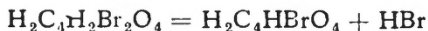
\* L. az 5. példát!

34. Két kg sót oldunk 30 l vízben. 5 perc eltelte után 1 kg só feloldódott. Mennyi idő múlva oldódik fel a só kezdeti mennyiségének 99%-a? — (Az oldódási sebesség arányos a fel nem oldott só mennyiségével és telített oldat koncentrációja — ami 1 kg 3 l-re — és az oldat pillanatnyi koncentrációja közötti különbséggel.)

\* \* \*

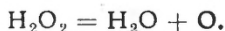
KÉMIAI-KINETIKAI FELADATOK\* (35–38. pl.)

35. A *dibrom-borostyánkősav* oldatát melegítve, az elbomlik a következő egyenlet szerint:



(*elsőrendű reakció*). 50 °C hőmérsékletnél a sebességi együttható 0,000261. A *dibrom-borostyánkősav* kezdeti koncentrációja 0,025 mol/l. a) Mekkora lesz a koncentrációja 3 órával a kísérlet megkezdése után? b) Mennyi idő múlva bomlik el a sav 99%-a (azaz gyakorlatilag befejeződik a reakció)? c) Mikorra bomlik el a sav 100%-a? (Az időt másodpercekben, a koncentrációt mol/liter-ben adjuk meg.)

36. A *hidrogénperoxid* melegítéskor — nagy katalizátor jelenlétében — elbomlik a következő módon:



A reakció kezdete után 10 perccel a  $\text{H}_2\text{O}_2$  koncentrációja 0,276 mol/l, 20 perc múlva 0,165 mol/l. Számítsuk ki a sebességi együttható értékét, ismerve, hogy a *reakció elsőrendű*. (Az időt percekben, a koncentrációt mol/l-ben adjuk meg.)

37. Egy 3 literes edényben *levegő* van, melynek *oxigéntartalma* 20%. Az edénybe két cső vezet. Az egyik csővön keresztül tiszta oxigén ömlik az edénybe, a másikon ugyanannyi *levegő* távozik. Mennyi oxigén lesz az edényben, miután 10 l gáz átáramlott rajta? Keveréssel biztosítjuk, hogy az oxigén koncentrációja az egész edényben állandó legyen.

38. Az  $a\%$  ( $= 8\%$ )  $\text{CO}_2$  tartalmú *levegőt* bocsássuk át *elnyelő közeget* tartalmazó hengeres edényen. Ott egy vékony réteg elnyel bizonyos mennyiségű gázt, amely *arányos a koncentrációval és a réteg vastagságával*. a) Ha a *levegő*  $\text{CO}_2$  tartalma  $H$  cm ( $= 10$  cm) vastagságú rétegen áthaladva  $b\%$  ( $= 2\%$ )-ra csökken, akkor milyen  $H_1$  vastagságúnak kell választani az elnyelő réteget, hogy az edényből kijövő *levegő* csupán  $c\%$  ( $= 1\%$ ) széndioxidot tartalmazzon? b) Hány % széndioxid marad a *levegőben*, ha 30 cm vastag elnyelő rétegen halad keresztül?

\* L. Берман i. m.

### 3. §. TERÜLETSZÁMÍTÁS

#### a) Görbe alatti terület számítása

##### α) Terület-differenciál. Előjeles terület

α<sub>1</sub>) Keressük a derékszögű koordináta-rendszerben az  $y = f(x)$  függvény görbéje alatti terület  $[a, x]$  szakaszra eső része  $T(a, x)$  mérőszámának, mint az  $x$  változó felső határ függvényének **differenciálját**, az  $[x, x + \Delta x]$  szakaszon.

A 61. ábrán feltüntetett esetben:

$$f(x) \Delta x < \Delta T < f(x + \Delta x) \Delta x.$$

Az abszcissa (véges)  $\Delta x = dx$  növekményével osztva:

$$f(x) < \frac{\Delta T}{\Delta x} < f(x + \Delta x).$$

A  $\Delta x = dx \rightarrow 0$  határátmenet esetén (hacsak az  $f(x)$  az  $[a, b]$  szakaszon folytonos)

$$\lim_{\Delta x \rightarrow 0} \frac{\Delta T}{\Delta x} = \frac{dT}{dx} = f(x),$$

vagy differenciálalakban:

$$dT = f(x) dx.$$

A  $T(a, x)$  területmérő függvény  $dT$  differenciálja tehát: az  $f(x)$  függvénynek és az  $x$  független változó  $dx$  differenciáljának a szorzata; ez geometriailag a  $dx$  alapú és  $f(x)$  magasságú téglalap területi mérőszáma.

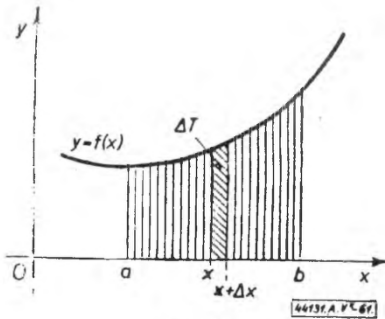
α<sub>2</sub>) Ennek birtokában az  $y = f(x)$  függvény görbéje alatti **terület**  $[a, b]$  szakaszra eső részének mérőszáma, az  $y = f(x)$  függvény  $F(x) + C$  határozatlan integráljának felhasználásával:

$$T(a, b) = \int_a^b dT = \int_a^b f(x) dx = \left[ F(x) + C \right]_a^b = F(b) - F(a) \quad (b > a).$$

A területnek a felső (illetve alsó) határtól való függése jellemzésére a  $b$  (illetve  $a$ ) adott szám helyett  $x_1$  (ill.  $x_0$ ) változó felső (illetve alsó) **határral** dolgozunk. Pl.:

$$T(a, x_1) = \int_a^{x_1} f(x) dx, \quad a \leq x \leq x_1.$$

\*α<sub>3</sub>) Fentebb feltételeztük, hogy az  $f(x)$  függvény az  $[a, b]$  szakaszon **folytonos és egyértékű**, továbbá, hogy mind az  $[a, b]$  szakasz, mind pedig ott mindenütt az  $f(x)$  függvényérték **korlátos** (nem végtelen).



61. ábra

Az  $[a, b]$  szakaszon folytonos  $f(x)$  függvénynek — mint ismeretes [1. A. IV./1. §. a) δ.] — ott van  $F(x)$  primitív függvénye; ilyen esetben tehát a területszámítás céljára rendelkezésünkre áll a határozatlan integrálás nagyfontosságú segédeszköze.

Amint az 1. §-ban láttuk, általánosabb feltételek mellett, primitív függvény nélkül is számítható egy  $y = f(x)$  függvény görbéje alatti terület valamely  $[a, b]$  szakaszon, nevezetesen Riemann-összeg határértéke útján. Említettünk ott olyan általánosabb tulajdonságú függvényeket, amelyeknél e határérték létezik, véges és a határátmenet módjától független, vagyis amelyek a mondott szakaszon Riemann szerint integrálhatók. Az ilyen számítások azonban — mint láttuk az 1. §-ban — igen bonyodalmasak; ezért a gyakorlatban sohasem kerül sor Riemann-összeg határértékével való területszámításra.

Olyan esetekben, amikor az  $f(x)$  függvény  $F(x)$  primitív függvénye valamilyen ok miatt nem ismeretes, numerikus, grafikus vagy gépi módszerekkel eszközöljük a területszámítást.\*

$\alpha_4)$  Előfordul, hogy az  $y = f(x)$ , illetve  $x = \varphi(y)$  függvény görbéje és az  $y$ -tengely közötti terület mérőszámát keressük az  $y$  tengely egy  $A \leq y \leq B$  szakaszán. Olykor az  $x$  és  $y$  tengely, valamint a görbe közötti területet is célszerű ilyen felfogásban számítani. Ilyen esetekben a következő formulákkal dolgozunk:

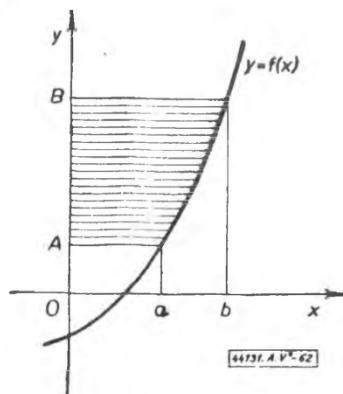
$$T(A, B) = \int_A^B x(y) dy,$$

vagy  $[y = f(x)$  helyettesítéssel]:

$$T(A, B) = \int_a^b x f'(x) dx,$$

ahol  $A = f(a)$ ,  $B = f(b)$ , illetve  $a = \varphi(A)$ ,  $b = \varphi(B)$  (62. ábra).

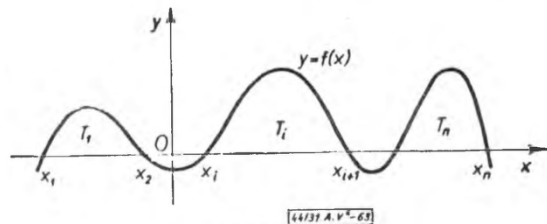
$\alpha_5)$  A görbe alatti terület pozitív mérőszáma, ha a terület az  $x$  tengely felett van [ $f(x) \geq 0$ ]; negatív, ha alatta van [ $f(x) \leq 0$ ]. Ha a görbe az adott szakaszon metszi az  $x$  tengelyt, esetleg többször is, akkor formulánk az  $x$  tengely feletti és alatti részterületek előjeles területi mérőszámainak algebrai összegét szolgáltatja.



62. ábra

### β) Geometria terület

Ha derékszögű koordináta-rendszerben a görbe és az  $x$  tengely által határolt síkrész geometriai területét keressük (két tetszőleges zérushely, pl.  $x_1$  és  $x_n$  közötti szakaszon), akkor nyilván az egyes  $x$  tengely feletti és alatti részterületek előjeles mérőszámainak abszolút értékét kell összegeznünk (63. ábra):



63. ábra

$$T_{\text{geom}} = \sum_{i=1}^n |T_i| = \sum_{i=1}^n \left| \int_{x_i}^{x_{i+1}} f(x) dx \right|.$$

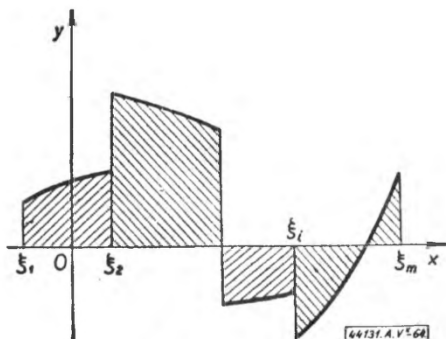
Hasonlóan egyenként számítandók azon területrészek, amelyeket a görbe (egyelőre véges) szakadási helyei ( $\xi_i$ ) választanak el egymástól (64. ábra).

\* L. 1. §. f), g) — *Bermant* i. m. I. kt., 388—90. o. — Б. Н. Делоне: Краткий курс математических машин. Гостехиздат, 1952.

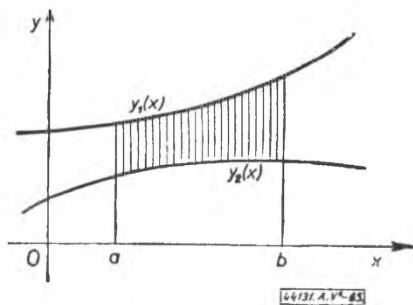
$\gamma)$  Két (vagy több) görbe közti terület derékszögű koordináta-rendszerben

$\gamma_1)$  Ha az  $[a, b]$  szakaszon minden  $x$  helyhez két ordináta,  $y_1(x)$  és  $y_2(x)$  tartozik, úgy, hogy ott mindenütt  $y_1(x) \geq y_2(x)$ , akkor a két görbe közti terület mérőszámát az adott szakaszon a

$$T(a, b) = \int_a^b y_1(x) dx - \int_a^b y_2(x) dx = \int_a^b [y_1(x) - y_2(x)] dx$$



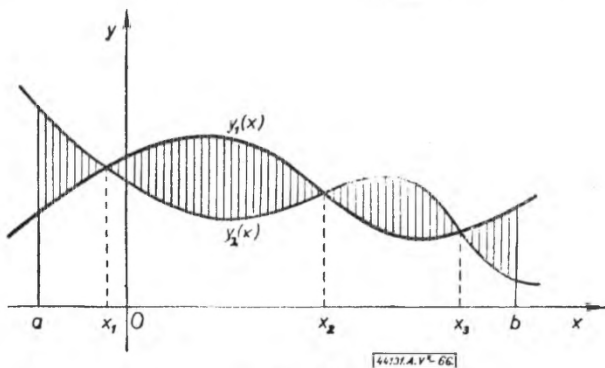
64. ábra



65. ábra

módon számítjuk. E mérőszám pozitívnak adódik [kizárva az  $y_1(x) \equiv y_2(x)$  esetet, amikor  $T(a, b) = 0$ ] (65. ábra).

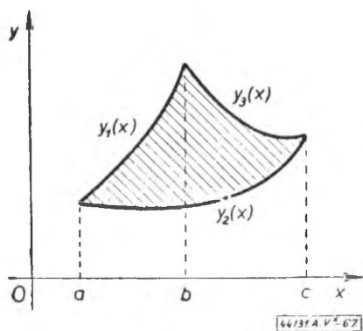
$\gamma_2)$  Ha azonban az adott szakaszon nem marad mindenütt  $y_1(x) \geq y_2(x)$ , azaz a két görbe egy vagy több pontban metszi egymást, akkor e metszéspontok  $(x_i)$  által elválasztott területrészek egyenként számítandók. Amely  $(x_i, x_{i+1})$  részzakaszon  $y_1(x) \geq y_2(x)$ , ott az előbbi módon számított  $T(x_i, x_{i+1}) > 0$ ; amely  $[x_i, x_{i+1}]$  részzakaszon viszont  $y_1(x) \leq y_2(x)$ , ott  $T(x_i, x_{i+1}) < 0$ . E részterületek (előjeles) mérőszámainak abszolút értékét összegezve az adott szakaszon, ott a két görbe közti geometriai terület (abszolút) mérőszámához jutunk (66. ábra).



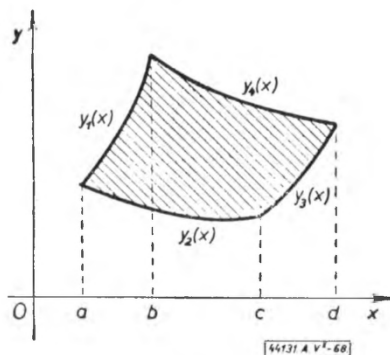
66. ábra

$\gamma_3)$  Három, vagy több görbével határolt terület (67. és 68. ábra) számítását két-két görbe közti terület számítására vezetjük vissza. Pl. a 67. ábrán feltünteteti esetben:

$$T = \int_a^b [y_1(x) - y_2(x)] dx + \int_b^c [y_3(x) - y_2(x)] dx.$$



67. ábra



68. ábra

 **$\delta)$  Paraméteres megadás**

Ha a görbe a derékszögű koordináta-rendszerben  $x = x(t)$ ,  $y = y(t)$  paraméteres egyenletrendszerével van megadva, akkor a területdifferenciál:

$$dT = y \, dx = y(t) \, dx(t) = y(t) \, \dot{x}(t) \, dt,$$

tehát a görbe alatti terület az  $a(\gamma) \leq x(t) \leq b(\delta)$  szakaszon:

$$T(a, b) = \int_{\gamma}^{\delta} y(t) \, \dot{x}(t) \, dt,$$

vagy az  $a(\gamma) \leq x(t) \leq x_1(t_1)$  változó szakaszra vonatkozólag:

$$T(a, x_1) = \int_{\gamma}^{t_1} y(t) \, \dot{x}(t) \, dt;$$

[megkivánjuk, hogy az  $y = f(x)$  és az  $\dot{x}(t)$  legalább részzakaszanként folytonos legyen, miközben  $a(\gamma) \leq x(t) \leq b(\delta)$ ].

 **$e)$  Ferdeszögű koordináta-rendszerben**

Legyen az  $y$  és az  $x$  tengely hajlásszöge

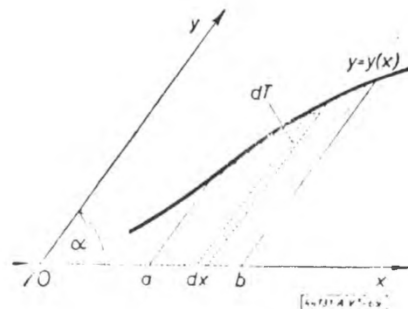
$\alpha \neq \frac{\pi}{2}$ . Akkor a

területelem nyilván (69. ábra):

$$dT(x) = \sin \alpha \cdot y(x) \, dx;$$

az  $[a, b]$  szakaszmenti terület tehát:

$$T(a, b) = \sin \alpha \int_a^b y(x) \, dx.$$



69. ábra



Példák és feladatok

$\alpha$  | 1. Határozzuk meg az  $y = x^2$  parabola alatti területet

a) a  $[2, 3]$  szakaszon:

$$T = \int_2^3 x^2 dx = \left[ \frac{x^3}{3} \right]_2^3 = 9 - \frac{8}{3} = \frac{19}{3}.$$

b) a  $[-1, 0]$  szakaszon;  
c) a  $[-1, +2]$  szakaszon.  $\left. \begin{array}{l} \\ \end{array} \right\} \text{ (L. hátul! )}$

2. Hasonló módon határozzuk meg az  $y = \sin x$  függvény görbéje alatti területet a következő szakaszokon:

a)  $\left[0, \frac{\pi}{2}\right]$ ;  $T = \int_0^{\frac{\pi}{2}} \sin x dx = \left[ -\cos x \right]_0^{\frac{\pi}{2}} = 1$

b)  $[0, \pi]$ ; (L. hátul!)

c)  $[0, 2\pi]$ ;  $T = \int_0^{2\pi} \sin x dx = \left[ -\cos x \right]_0^{2\pi} = -1 + 1 = 0.$

A terület 0 mérőszámu, mert fele az  $x$  tengely fölött, tele pedig az  $x$  tengely alatt van [V. ö.  $\alpha_5$ ].

d)  $\left[-\frac{\pi}{2}, 0\right]$ ;  $T = \int_{-\frac{\pi}{2}}^0 \sin x dx = \left[ -\cos x \right]_{-\frac{\pi}{2}}^0 = -1.$

A területi mérőszám *negatív* előjellel adódott, mert a görbe e szakaszon az  $x$  tengely alatt halad.

3. Határozzuk meg az  $y = \frac{1}{x^2}$  görbe alatti területet

a) az  $[1, 3]$ ; b) a  $[-3, -1]$ ; c) az  $[1, 1000]$  szakaszon.

4. Hasonló a feladat az  $y = \frac{1}{x}$  görbénél az  $\left[\frac{1}{3}, 1\right]$  és  $[1, 2]$  szakaszon.

5. Határozzuk meg azt az  $x$  abszcisszát, melyre az  $y = \frac{1}{x}$  görbénél a)  $T(1, x) = 10$ , illetve b)  $T(1, x) = 1000$ .

a)  $T(1, x) = \left[ \ln x \right]_1^x = \ln x - \ln 1 = 10, \quad x = e^{10}.$

b)  $T(1, x) = \left[ \ln x \right]_1^x = \ln x - \ln 1 = 1000, \quad x = e^{1000}.$

[Mivel  $x \rightarrow \infty$  esetén  $T(1, x) \rightarrow \infty$ , így bármilyen nagy adott  $T(1, x)$  területi mérőszámmal megállapítható a megfelelő  $x$  abszcissza.]

6. Határozzuk meg azt a pozitív  $x$  abszcisszát, melyre az  $y = \frac{1}{x^2}$  görbe alatti terület  $T(1, x) = 10$ .

$$T(1, x) = \left[ -\frac{1}{x} \right]_1^x = -\frac{1}{x} - (-1) = 1 - \frac{1}{x} = 10.$$

Ilyen pozitív  $x$  érték nem létezik. Ez várható is volt; u.i. az  $y = \frac{1}{x}$  görbe ordinátája az  $x = 1$  helytől jobbra mindig kisebb 1-nél. Így bármekkora  $x$  értéknél az  $y = \frac{1}{x^2}$  görbe alatti terület az  $[1, x]$  szakaszon kisebb 1-nél.

$$T(1, x) = 1 - \frac{1}{x} \rightarrow 1, \quad \text{ha } x \rightarrow \infty.$$

Ezt így írjuk fel röviden:

$$T(1, \infty) = 1.$$

7. Határozzuk meg az  $y = \operatorname{ch} x$  görbe alatti területet a  $[0, 1]$  és  $[-1, 1]$  intervallumban.

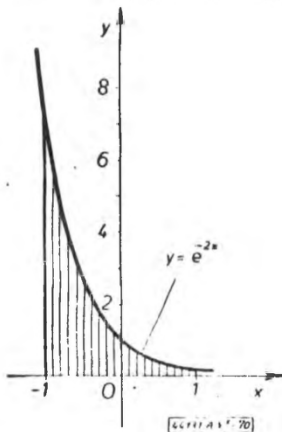
8. Határozzuk meg az  $y = x^n$  ( $n > 0$ ) függvény görbéje alatti területet 0 és 1 között

$$T(0, 1) = \left[ \frac{x^{n+1}}{n+1} \right]_0^1 = \frac{1}{n+1} = \frac{\text{a négyzet területe}}{n+1}.$$

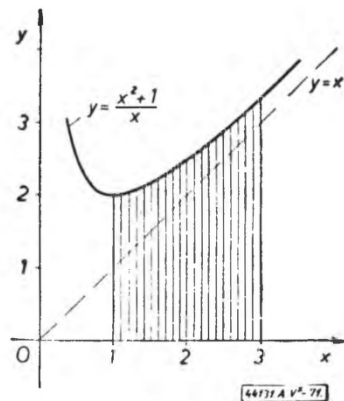
9. Ugyanez a feladat az  $y = \frac{1}{1+x^2}$  görbére a  $[0, \sqrt{3}]$ ,  $[-\sqrt{3}, \sqrt{3}]$  és általában a  $[-a, a]$  intervallumban.

10. Határozzuk meg az  $y = e^{-2x}$  görbe alatti területet a  $[-1, +1]$  intervallumban (70. ábra).

Az  $e^{-2x}$  egy primitív függvénye:  $-\frac{e^{-2x}}{2}$ .



70. ábra



71. ábra

Így:

$$T(-1, 1) = \left[ -\frac{1}{2} e^{-2x} \right]_{-1}^{+1} = -\frac{1}{2} [e^{-2} - e^2] = \text{sh } 2.$$

11. Határozzuk meg az  $y = \frac{x^2 + 1}{x}$  függvény görbéje alatti területet az 1 és 3 abszcisszáik között (71. ábra).

Célszerű a törtet felbontani:

$$y = \frac{x^2 + 1}{x} = x + \frac{1}{x}.$$

Ennek már könnyű megtalálni egy *primitív* függvényét:

$$F(x) = \frac{x^2}{2} + \ln x.$$

Így:

$$T(1, 3) = \left[ \frac{x^2}{2} + \ln x \right]_1^3 = \left( \frac{9}{2} + \ln 3 \right) - \left( \frac{1}{2} + \ln 1 \right) = 4 + \ln 3.$$

12. Határozzuk meg az  $y = \frac{1}{\sqrt{x}}$  görbe alatti területet a  $[\delta, 1]$  intervallumban.

$$T(\delta, 1) = \int_{\delta}^1 \frac{1}{\sqrt{x}} dx = \int_{\delta}^1 x^{-\frac{1}{2}} dx = \left[ \frac{x^{\frac{1}{2}}}{\frac{1}{2}} \right]_{\delta}^1 = 2(1 - \sqrt{\delta})$$

$$T(\delta, 1) \rightarrow 2, \text{ ha } \delta \rightarrow 0.$$

Láthatjuk, hogy bár az  $\frac{1}{\sqrt{x}} \rightarrow \infty$ , ha  $x \rightarrow 0$ , a görbe alatti terület mérőszáma mégis egy meghatározott véges értékhez tart. E határértéket így jelöljük:

$$\int_0^1 \frac{1}{\sqrt{x}} dx = 2.$$

13. Mekkora az  $xy = 1$  hiperbola, az  $x$  tengely, az  $x = 2$  és  $x = 4$  egyenesek közti terület?

14. Mekkora az  $y = \ln x$  görbe alatti terület a  $[2, 4]$  intervallumban?

15. Mekkora az  $y = \frac{a}{2} \left( e^{\frac{x}{a}} + e^{-\frac{x}{a}} \right) = a \text{ch} \frac{x}{2}$  görbe, az  $x$ ,  $y$  tengely és  $x = a$  egyenes közötti terület?

16. Mekkora területet határol az  $x$  tengely és az  $y = 4 - x^2$  parabola?

17. Mekkora az  $y^2 = 2px$  egyenletű parabola alatt terület a  $0 \leq x \leq x_1$  szakaszon?

18.  $y = b \text{ch} \frac{x}{a}$ ;  $T(0, x_1) = ?$

$$19. \quad y = be^{\frac{x}{a}}; \quad T(0, x_1) = ?; \quad T(-\infty, 0) = ?$$

Határozzuk meg a következő függvények görbéje alatti területet az adott intervallumban:

$$20. \quad y = x^3 - 3, \quad [3, 4]$$

$$30. \quad y = x^2 + x + 1, \quad [2, 3]$$

$$21. \quad y = \frac{5}{3x^2} + x, \quad [1, 3]$$

$$31. \quad y = 2x + \frac{1}{x^2}, \quad [1, 4]$$

$$22. \quad y = x^{\frac{1}{3}} - x^{\frac{5}{3}}, \quad [-1, 1]$$

$$32. \quad y = \frac{10}{\sqrt{x+4}}, \quad [0, 5]$$

$$23. \quad y = \cos \frac{x}{2}, \quad [0, \pi]$$

$$33. \quad y = 4x - x^2, \quad [1, 3]$$

$$24. \quad y = x - \frac{x^3}{3} + \sqrt{x}, \quad [0, 2]$$

$$34. \quad y^2 = 9 - x, \quad [0, 8]$$

$$25. \quad y = \sin 3x, \quad [0, 0,3]$$

$$35. \quad 2y^2 = x^3, \quad [0, 2]$$

$$26. \quad y = \operatorname{ch} 2x, \quad [0, 3]$$

$$36. \quad y = \sqrt{x-1}, \quad [1, 4]$$

$$27. \quad y = x^3, \quad [0, 4]$$

$$37. \quad y = \frac{1}{2x+4}, \quad [0, 3]$$

$$28. \quad y = 9 - x^2, \quad [0, 3]$$

$$29. \quad y = x^3 + 3x^2 + 2x, \quad [-3, 3]$$

$$38. \quad y = \cos^2 2x, \quad [0, \pi]$$

39. Mekkora az  $xy = a^2$  görbe  $[a, x]$  szakasza alatti terület?

Jelen esetben:  $y = \frac{a^2}{x}$ . A kért terület:

$$T(a, x) = \int_a^x \frac{a^2}{x} dx = a^2 [\ln x]_a^x = a^2 [\ln x - \ln a] = a^2 \ln \frac{x}{a}.$$

Ha speciálisan  $a = 1$ , akkor  $T(1, x) = \ln x$ .

40. Mekkora az  $y = x e^x$  görbe, az  $x$  tengely és az  $x = 4$  egyenes közti terület?

Az integráció egyik határa 4, a másik úgy adódik, hogy megkeressük a görbe és az  $x$  tengely metszéspontját; ott  $x e^x = 0$ , azaz

$$x = 0,$$

így tehát:

$$T = \int_0^4 x e^x dx = \left[ x e^x \right]_0^4 - \int_0^4 e^x dx = 4e^4 - (e^4 - 1) = 3e^4 + 1 \approx 164,8.$$

41. Mekkora az  $\left(\frac{x}{a}\right)^{\frac{2}{3}} + \left(\frac{y}{b}\right)^{\frac{2}{3}} = 1$  egyenletű *astrois* területe?

$$T = 2b \int_{-a}^{+a} \left[ 1 - \left(\frac{x}{a}\right)^{\frac{2}{3}} \right]^{\frac{3}{2}} dx. \quad \text{Helyettesítés: } \left(\frac{x}{a}\right)^{\frac{1}{3}} = \cos t.$$

$$T = -6ab \int_{\pi}^0 \sin^4 t \cos^2 t dt = 12ab \left[ \int_0^{\frac{\pi}{2}} \sin^4 t dt - \int_0^{\frac{\pi}{2}} \sin^6 t dt \right] = \frac{3ab\pi}{8}.$$

Az 1. §. d. β) 1. pl. felhasználásával integráltunk.

42. Mekkora az  $a^2 y^2 = x^2 (a^2 - x^2)$  görbe egy kvadránsának területe? ( $0 \leq x \leq a$ )

$$y = \frac{x \sqrt{a^2 - x^2}}{a}, \quad T(0, x_1) = \int_0^{x_1} \frac{x \sqrt{a^2 - x^2}}{a} dx.$$

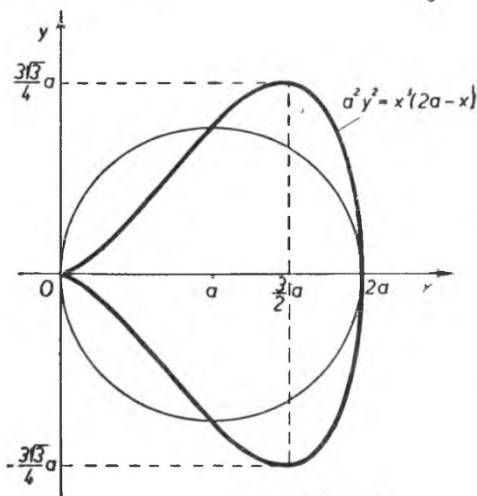
Helyettesítés:  $x = a \sin t$ .

$$T(0, x_1) = a^2 \int_0^{t_1} \cos^2 t \sin t dt = \frac{a^2}{3} (1 - \cos^3 t_1) = \frac{a^2}{3} \left( 1 - \frac{y_1^3}{x_1^3} \right).$$

Ha  $x_1 = a$  ( $t_1 = \frac{\pi}{2}$ ), akkor  $T(0, a) = \frac{a^2}{3}$ .

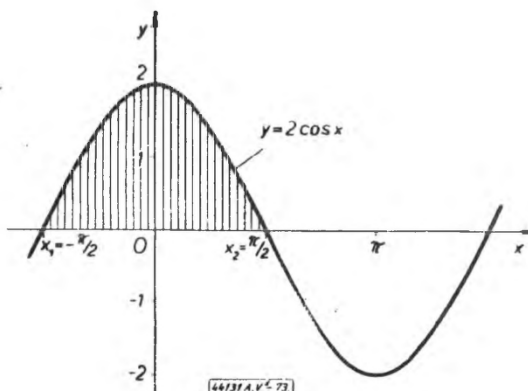
43. Mekkora az  $a^2 y^2 = x^3 (2a - x)$  görbe határolta síkrész területe? (72. ábra.)

$$T = 2 \int_0^{2a} \sqrt{\frac{x^3 (2a - x)}{a^2}} dx = \frac{2}{a} \int_0^{2a} x \sqrt{-x^2 + 2ax} dx = \frac{2}{a} \int_0^{2a} x \sqrt{a^2 - (x - a)^2} dx.$$



66731 A. V. 72

72. ábra



66731 A. V. 73

73. ábra

Helyettesítés:

$$x - a = a \cos u.$$

$$T = 2a^2 \int_{-\pi}^{\pi} \sin^2 u (1 + \cos u) du = a^2 \pi.$$

44. Kiszámítandó a következő görbe egy  $x$  tengely feletti szakasza, valamint az  $x$  tengely által meghatározott terület mérőszáma (73. ábra):

$$y = 2 \cos x.$$

Két egymásutáni metszéspontja az  $x$ -tengellyel:

$$2 \cos x = 0 \text{ -ből pl. } x_1 = -\frac{\pi}{2}, \quad x_2 = \frac{\pi}{2};$$

ezért:

$$T = \int_{-\frac{\pi}{2}}^{+\frac{\pi}{2}} 2 \cos x \, dx,$$

vagy szimmetria-okokból:

$$T = 4 \int_0^{\frac{\pi}{2}} \cos x \, dx = 4 \left[ \sin x \right]_0^{\frac{\pi}{2}} = 4.$$

45. Mekkora az  $y^2 = x^2(x^2 - 1)$  görbe, az  $x$  tengely és az  $x = 2$  egyenes közti terület?

A görbe az  $x$  tengelyt az  $x^2(x^2 - 1) = 0$  értelmében az  $x_1 = 0$ ,  $x_2 = -1$ ,  $x_3 = +1$  pontokban metszi.

A függvény azonban a  $-1 < x < 1$  intervallumban nincs értelmezve (kivéve a 0 pontot). Ezért az integrálási határok:  $x_a = 1$ ,  $x_f = 2$ .

$$T = \int_1^2 x \sqrt{x^2 - 1} \, dx = \frac{1}{2} \int_1^2 2x \sqrt{x^2 - 1} \, dx = \frac{1}{3} \left[ (x^2 - 1)^{\frac{3}{2}} \right]_1^2 = \sqrt{3}.$$

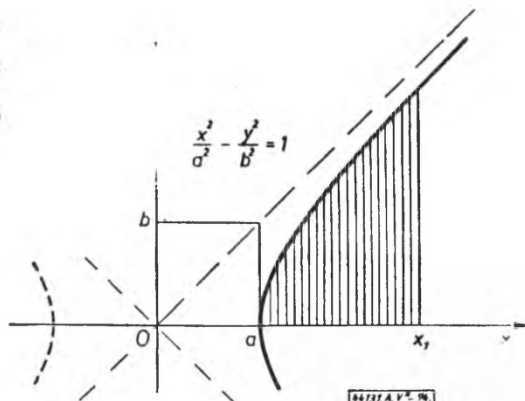
46. Határozzuk meg  $x$  értékét úgy,

hogy az  $y = \frac{1}{x}$  alatti terület  $(a, b)$  és

$(c, x)$  szakaszhoz tartozó része egyenlő egyen.

$$T(a, b) = \int_a^b \frac{1}{x} \, dx = \ln \frac{b}{a};$$

$$T(c, x) = \int_c^x \frac{1}{x} \, dx = \ln \frac{x}{c}.$$



[64737 A 1-96]

Mivel e kettőnek egyenlőnek kell

74. ábra

lennie, így:

$$\frac{b}{a} = \frac{x}{c}, \quad \text{azaz} \quad x = \frac{bc}{a}.$$

Mennyi  $x$ , ha  $c = 2a$ ,  $c = 3a$ ?

47.  $\frac{x^2}{a^2} + \frac{y^2}{b^2} = 1$ ;  $0 \leq x \leq x_1$ , majd  $0 \leq x \leq a$ .  $T(0, x_1) = ?$ ,  $T(0, a) = ?$

48.  $\frac{x^2}{a^2} - \frac{y^2}{b^2} = 1$ ,  $a \leq x \leq x_1$ ,  $T(a, x_1) = ?$  (74. ábra).

49. Meghatározandó az  $y = \ln x$  görbe, az  $x$  tengely és az  $x = 10$  egyenes közti terület mérőszámának közelítő értéke!

A 44. példa mintájára oldjuk meg az 50–56. feladatokat!

50.  $y = 2 \sin \frac{1}{2} \pi x$

56.  $4y^2 = x^4(4 - x)$

51.  $y = \cos 2x$

57.  $a^2 y^2 = x^2(2ax - x^2)$

52.  $y = \sin \frac{1}{2} x$

$T(0, x_1) = ?$   $T\left(0, \frac{3}{2}a\right) = ?$   $T(0, 2a) = ?$

53.  $y^2 = x^2(9 - x)$

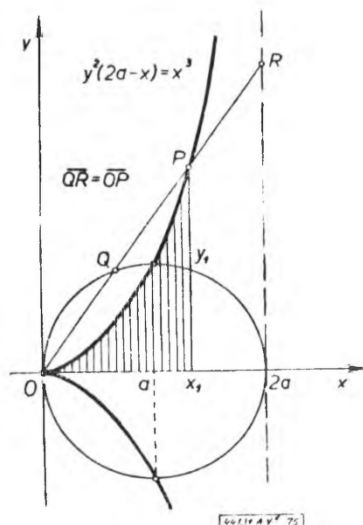
58.  $y^2(2a - x) = x^3$  ciszoid ;

54.  $y^2 = x(x - 2)^2$

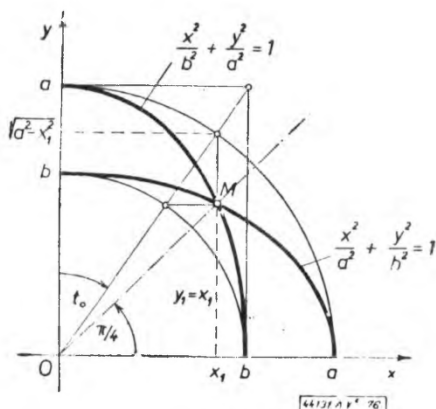
(75. ábra).  $T(0, x_1) = ?$

55.  $y^2 = x^3 - x^2$ . az  $x = 2$ -ig

59. Határozzuk meg az  $x$  értékét úgy, hogy az  $y = \frac{1}{1+x^2}$  görbe alatti terület 0-tól  $x$ -ig terjedő szakasza 2,4-del legyen egyenlő. (L. a 46. példát!)



75. ábra



76. ábra

60. Határozzuk meg az  $x$  értékét úgy, hogy az  $y = e^{-2x}$  görbe alatti terület  $x$ -től 1-ig terjedő szakasza 5,4 legyen.

61. Határozzuk meg  $x$  értékét úgy, hogy az  $y = \sin x$  alatti terület 0-tól  $x$ -ig terjedő szakasza  $1/4$ -del legyen egyenlő.

\*62. Mekkora az  $\frac{x^2}{a^2} + \frac{y^2}{b^2} = 1$  és  $\frac{x^2}{b^2} + \frac{y^2}{a^2} = 1$  ellipszisek közös területe?

( $a > b$ ) (76. ábra).

A két görbe metszéspontja  $\frac{x^2}{a^2} + \frac{x^2}{b^2} = 1$ -ből:  $x_{1,2} = y_{1,2} = \pm \frac{ab}{\sqrt{a^2 + b^2}}$ .

A metszéspont paramétere:

$$t_0 = \operatorname{arctg} \frac{x_1}{\sqrt{a^2 - x_1^2}} = \operatorname{arctg} \frac{ab}{\sqrt{a^2 + b^2} \cdot \sqrt{a^2 b^2 + a^4 - a^2 b^2}} = \operatorname{arctg} \frac{b}{a}.$$

Mint hogy a 47. példa szerint  $T_t = \frac{1}{2} ab t$ , így

a kért közös terület:

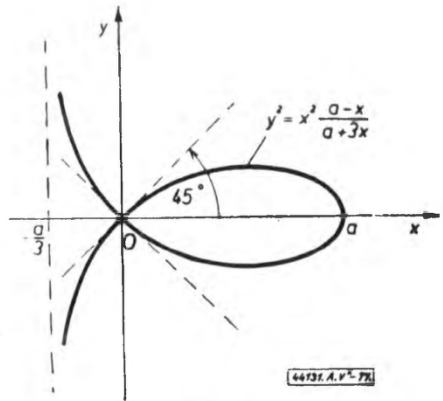
$$T_k = 2 \cdot \frac{1}{2} ab t_0 = ab \operatorname{arctg} \frac{b}{a}.$$

63. Mekkora a Descartes-levél területe (77. ábra)?

A görbe egyenlete:  $y^2 = x^2 \frac{a-x}{a+3x}$ ;

$y = 0$ , ha  $x = a$ ;  $y = \infty$ , ha  $x = -\frac{a}{3}$ ;

$$y = \pm x \sqrt{\frac{a-x}{a+3x}},$$



77. ábra

$$T = 2 \int_0^a x \sqrt{\frac{a-x}{a+3x}} dx.$$

Helyettesítés:  $u^2 = a - x$ ,  $x = a - u^2$ ,  $dx = -2u du$ ,  $\sqrt{a} \leq u \leq 0$ .

$$T = -4 \int_{\sqrt{a}}^0 (a - u^2) \frac{u^2 du}{\sqrt{4a - 3u^2}} = \frac{4}{\sqrt{4a}} \int_0^{\sqrt{a}} \frac{(a - u^2) u^2}{\sqrt{1 - \left(\frac{u}{\sqrt{4a}}\right)^2}} du.$$

Helyettesítés:  $\frac{u}{\sqrt{4a}} = v$ ,  $du = \sqrt{\frac{4a}{3}} dv$ ,  $0 \leq v \leq \frac{\sqrt{3}}{2}$ .



$$T = \frac{2}{\sqrt{a}} \frac{2\sqrt{a}}{\sqrt{3}} \int_0^{\frac{\sqrt{3}}{2}} \left( a - \frac{4a}{3} v^2 \right) \frac{4a}{3} v^2 \frac{dv}{\sqrt{1-v^2}} = \frac{16a^2}{9\sqrt{3}} \int_0^{\frac{\sqrt{3}}{2}} \frac{(3-4v^2)v^2}{\sqrt{1-v^2}} dv.$$

Helyettesítés:  $v = \sin t$ ,  $t = \arcsin v$ ,  $0 \leq t \leq \frac{\pi}{3}$ ,  $dv = \cos t dt$ .

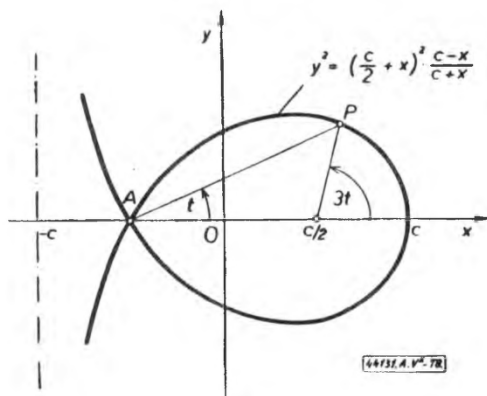
Végül:

$$T = \frac{16a^2}{9\sqrt{3}} \left[ 3 \int_0^{\frac{\pi}{3}} \frac{\sin^3 t}{\cos t} \cos t dt - 4 \int_0^{\frac{\pi}{3}} \frac{\sin^4 t}{\cos t} \cos t dt \right] =$$

$$= \frac{16a^2}{9\sqrt{3}} \left[ \frac{3}{2} t - \frac{3}{4} \sin 2t - \frac{3}{2} t + \sin^2 t \cos t + \frac{3}{4} \sin 2t \right]_0^{\frac{\pi}{3}} = \frac{a^3}{3}.$$

Ugyanakkor a görbe baloldali kettős ága és az  $x = -\frac{a}{3}$  aszimptótája közé eső terület!

\*64.  $y = \pm \left( \frac{c}{2} + x \right) \sqrt{\frac{c-x}{c+x}}$  ellipszis evolútája;  $T(x_1, c) = ?$   $T\left(-\frac{c}{2}, c\right) = ?$



78. ábra

$$T\left(-c, -\frac{c}{2}\right) = ? \quad (78. \text{ ábra}).$$

$\alpha_4$ ) Határozzuk meg a következő görbék és az  $y$  tengely közötti területet az adott szakaszon.

65.  $y^2 = 4x$ ,  $0 \leq y \leq 4$ .

Az  $x$ -et kifejezve:  $x = \frac{y^2}{4}$ . Ezzel:

$$T = \int_0^4 \frac{y^2}{4} dy = \left[ \frac{y^3}{12} \right]_0^4 = \frac{64}{12} = 5 \frac{1}{3}.$$

66.  $y = 4 - x^2$ ,  $0 \leq y \leq 3$ .

67.  $y^3 = a^2 x$ ,  $0 \leq y \leq a$ .

68.  $xy = 8$ ,  $1 \leq y \leq 4$ .

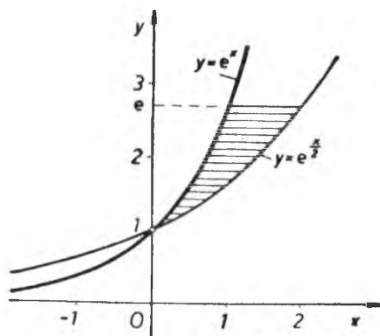
69. Oldjuk meg az előző feladatot az  $1 \leq x \leq 4$  szakaszra!

70.  $x = a \ln \sqrt{\frac{a + \sqrt{a^2 - y^2}}{a - \sqrt{a^2 - y^2}}} - \sqrt{a^2 - y^2}$ ; egyenesek traktixa;  $T(a, y_1) = ?$

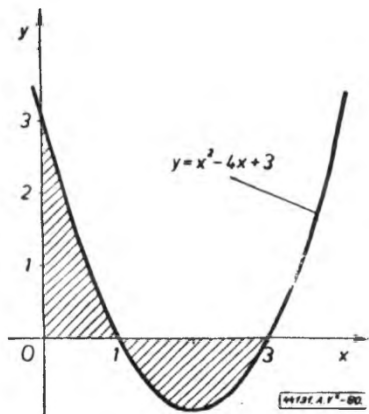
$T(a, 0) = ?$

\*71. Meghatározandó az  $y = e^{\frac{x}{2}}$  és az  $y = e^x$  görbéje közötti terület az  $y$  tengely  $[1, e]$  szakasza mentén (79. ábra).

$\beta$  1. Mennyi az  $y = x^2 - 4x + 3$  függvény görbéje és a tengelyek által körülzárt síkrész geometriai területe (80. ábra)?



79. ábra



80. ábra

$$|T| = \left| \int_0^1 (x^2 - 4x + 3) dx \right| + \left| \int_1^3 (x^2 - 4x + 3) dx \right| = \left| \left[ \frac{x^3}{3} - 2x^2 + 3x \right]_0^1 \right| +$$

$$+ \left| \left[ \frac{x^3}{3} - 2x^2 + 3x \right]_1^3 \right| = \left| \frac{1}{3} - 2 + 3 \right| + \left| (9 - 18 + 9) - \left( \frac{1}{3} - 2 + 3 \right) \right| = \frac{8}{3}.$$

2. Számítsuk ki az  $y = (x - 1)^3$  görbe, az  $x = 2$  egyenes és a két tengely közötti geometriai területet.

3. Számítsuk ki az  $y = \sin x$  görbe, az  $x$  tengely, valamint az  $x = \frac{\pi}{2}$  és  $x = \frac{5\pi}{3}$  egyenesek közötti geometriai területet.

4. Számítsuk ki az  $y = 1 - x^2$  görbe, az  $x$  tengely és az  $x = 2$  egyenes közötti geometriai területet.

5. Számítsuk ki az  $y = x + \sin x$  görbe és az  $y - x = 0$  egyenes közötti (origóra szimmetrikus) geometriai területet.

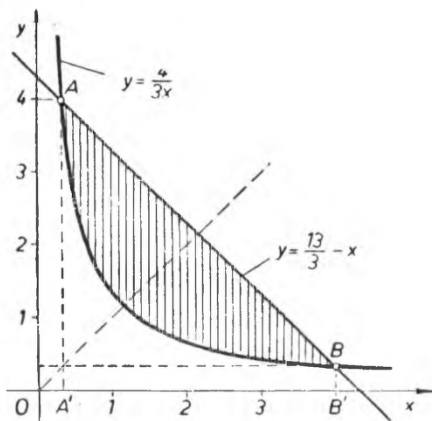
Határozzuk meg a következő görbénél a geometriai területet az adott szakaszon.

6.  $y^2 + 4x = 0$   $[-1, 0]$

7.  $y^2 = -4x + 16$   $[-2, 0]$

8.  $y = x^2 + 4x$   $[-4, -2]$

1. Határozzuk meg az  $y = \frac{4}{3x}$  hiperbola és az  $y = \frac{13}{3} - x$  egyenes közti területet (81. ábra).



81. ábra

Metszéspontjuk:

$$\frac{4}{3x} = \frac{13}{3} - x, \quad 3x^2 - 13x + 4 = 0,$$

$$x_{1,2} = \frac{13 \pm \sqrt{169 - 48}}{6},$$

$$x_1 = \frac{1}{3}, \quad x_2 = 4.$$

Így a közbezárt terület  $T = AA'B'B$  trapéz területe — a görbe alatti terület:

$$\begin{aligned} T &= \frac{1 + \frac{1}{3}}{2} \left( 4 - \frac{1}{3} \right) - \frac{4}{3} \left[ \ln x \right]_{\frac{1}{3}}^4 = \\ &= 8 - \frac{1}{18} - \frac{4}{3} \left[ \ln 4 + \ln 3 \right] = \\ &= 7,945 - \frac{4}{3} \ln 12. \end{aligned}$$

2. Határozzuk meg az  $x + y = 1$  és az  $x^{\frac{1}{2}} + y^{\frac{1}{2}} = 1$  görbék közötti területet.

Először ábrázoljuk az  $x^{\frac{1}{2}} + y^{\frac{1}{2}} = 1$  görbét (82. ábra). A görbe szimmetrikus a szögfelezőre ( $x$  és  $y$  szerepét felcserélve ugyanahhoz az egyenlethez jutunk). Ha

$$x = 0, \quad y = 1; \quad x = 1, \quad y = 0; \quad x \rightarrow \infty, \quad y \rightarrow \infty.$$

A közbezárt terület =  $OAB$  háromszög területe — a görbe alatti terület.

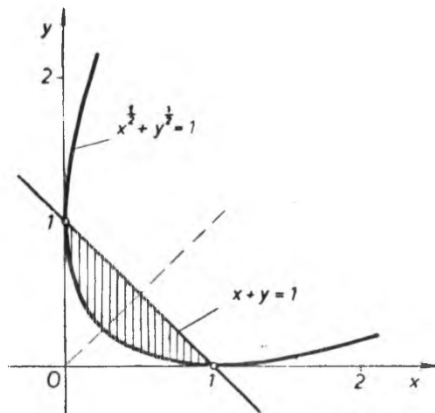
$$\text{A háromszög területe: } \frac{1 \cdot 1}{2} = \frac{1}{2}.$$

A görbe alatti terület kiszámításánál figyelembe kell venni, hogy az  $y = (1 - \sqrt{x})^2$  görbeág zárja be az egyenessel a szóbanforgó területet.

$$y = (1 - \sqrt{x})^2 = 1 - 2\sqrt{x} + x.$$

Ennek pedig egyik primitív függvénye:

$$F(x) = x - 2 \cdot \frac{x^{\frac{3}{2}}}{\frac{3}{2}} + \frac{x^2}{2} = x - \frac{4}{3} x^{\frac{3}{2}} + \frac{1}{2} x^2.$$



82. ábra

Így a görbe alatti terület:

$$T(0, 1) = \left[ x - \frac{4}{3} x^{\frac{3}{2}} + \frac{1}{2} x^2 \right]_0^1 = 1 - \frac{4}{3} + \frac{1}{2} = \frac{6 - 8 + 3}{6} = \frac{1}{6}.$$

A keresett közbezárt terület pedig:

$$T = \frac{1}{2} - \frac{1}{6} = \frac{1}{3}.$$

3. Határozzuk meg a következő görbék közötti területet (83. ábra):

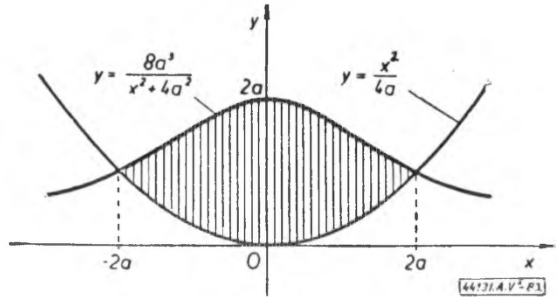
$$y = \frac{8a^3}{x^2 + 4a^2}, \quad x^2 = 4ay.$$

Metszéspontjaik:

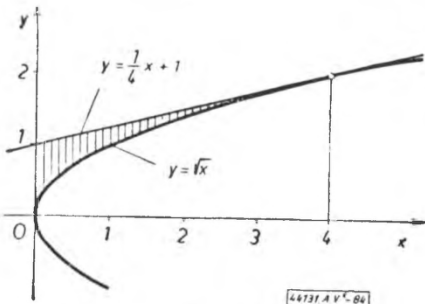
$$A(-2a, a); \quad B(2a, a).$$

A kérdezett terület tehát:

$$\begin{aligned} T &= 2 \int_0^{2a} \left( \frac{8a^3}{x^2 + 4a^2} - \frac{x^2}{4a} \right) dx = 2 \left[ 4a^2 \operatorname{arctg} \frac{x}{2a} - \frac{x^3}{12a} \right]_0^{2a} = \\ &= 2 \left( 4a^2 \operatorname{arctg} 1 - \frac{2}{3} a^2 \right) = 2 \left( \pi a^2 - \frac{2}{3} a^2 \right) = 2a^2 \left( \pi - \frac{2}{3} \right). \end{aligned}$$



83. ábra



84. ábra

4. Határozzuk meg azt a területet, melyet az  $y$  tengely, az  $y = \sqrt{x}$  görbe, valamint ennek az  $x = 4$  abszcisszájú pontjához húzott érintője zár be (84. ábra).

A kérdéses területet megkapjuk, ha az érintőegyenest alatti területből kivonjuk a görbe alatti területet. Az érintőegyenest iránytan-gense:

$$m = [y']_{x=4} = \left[ \frac{1}{2\sqrt{x}} \right]_{x=4} = \frac{1}{4}$$

Az érintő [átmegy a (4,2) ponton] egyenlete:

$$y = \frac{1}{4}(x - 4) + 2 = \frac{1}{4}x + 1.$$

Az érintő alatti terület:

$$T_1 = \int_0^4 \left( \frac{1}{4}x + 1 \right) dx = \left[ \frac{x^2}{8} + x \right]_0^4 = 6.$$

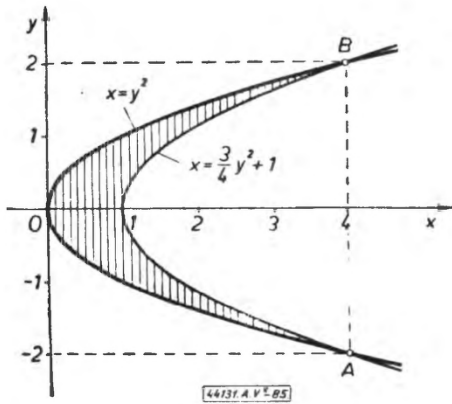
A parabola alatti terület:

$$T_2 = \int_0^4 \sqrt{x} dx = \left[ \frac{x^{\frac{3}{2}}}{\frac{3}{2}} \right]_0^4 = \frac{8}{\frac{3}{2}} = \frac{16}{3}.$$

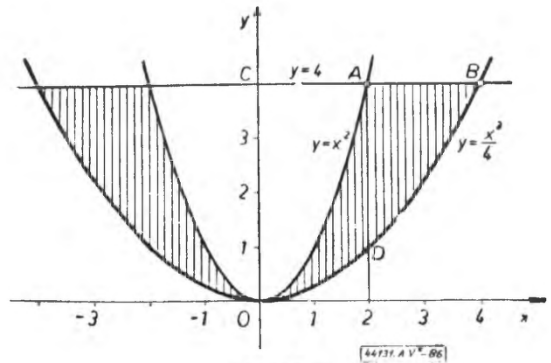
A keresett terület tehát:

$$T = T_1 - T_2 = 6 - \frac{16}{3} = \frac{2}{3}.$$

5. Kiszámítandó az  $x = y^2$  és  $x = \frac{3}{4}y^2 + 1$  parabolák közötti terület (85. ábra).



85. ábra



86. ábra

A két görbe *metszéspontjai* :  $A(4, -2)$ ,  $B(4, 2)$ . A terület az  $x$  tengelyre szimmetrikus, ezért lehet a féltérülettel dolgozni. Jelen esetben a számítást úgy hajtjuk végre, hogy a görbék és az  $y$  tengely közti területek különbségét vesszük a  $0 \leq y \leq 2$  szakaszon.

$$T = 2 \int_0^2 \left( \frac{3}{4} y^2 + 1 - y^2 \right) dy = 2 \int_0^2 \left( 1 - \frac{1}{4} y^2 \right) dy = 2 \left[ y - \frac{y^3}{12} \right]_0^2 = \frac{8}{3}.$$

6. Kiszámítandó az a terület, melyet az  $y = x^2$ ,  $y = \frac{1}{4}x^2$  és  $y = 4$  görbék határolnak (86. ábra).

Itt is elég szimmetria-okokból a fél területtel számolni. A legegyszerűbb az  $y$  tengely és a görbék közötti területet számítani:

$$\frac{T}{2} = OBC - AOC$$

$$T = 2 \left( \int_0^4 2\sqrt{y} dy - \int_0^4 \sqrt{y} dy \right) = 2 \int_0^4 \sqrt{y} dy = \left[ \frac{4}{3} y^{\frac{3}{2}} \right]_0^4 = \frac{4}{3} 4^{\frac{3}{2}} = 10 \frac{2}{3}.$$

7. Számítsuk ki ugyanezt a 2. példa gondolatmenetével is!

8. Számítsuk ki az  $y = x^2$ ,  $y = \frac{1}{2}x^2$  és  $y = 3x$  görbék által határolt síkrész területét (87. ábra).

A görbék metszéspontjai:  $A(0, 0)$ ;  $B(3, 9)$ ;  $C(6, 18)$ .

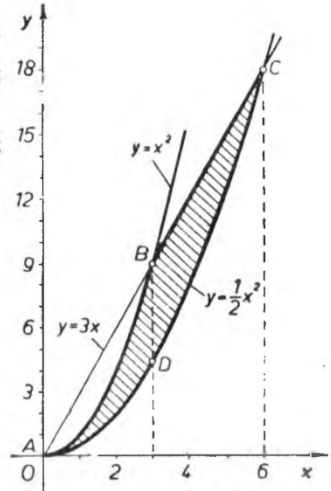
(A az  $x^2$  és  $\frac{1}{2}x^2$ , B az  $x^2$  és  $3x$ , C a  $3x$  és  $\frac{1}{2}x^2$  görbék metszéspontját jelenti.)

A keresett területet *részterületek összegeként* állítjuk elő:

$$(ABCD)_{\text{ter}} = (ABD)_{\text{ter}} + (BCD)_{\text{ter}}.$$

Igy:

$$\begin{aligned} T &= \int_0^3 \left( x^2 - \frac{1}{2}x^2 \right) dx + \int_3^6 \left( 3x - \frac{1}{2}x^2 \right) dx = \\ &= \left[ \frac{x^3}{6} - \frac{1}{12}x^3 \right]_0^3 + \left[ \frac{3}{2}x^2 - \frac{1}{6}x^3 \right]_3^6 = \\ &= \frac{27}{6} + (54 - 36) - \left( \frac{27}{2} - \frac{27}{6} \right) = 13 \frac{1}{2}. \end{aligned}$$



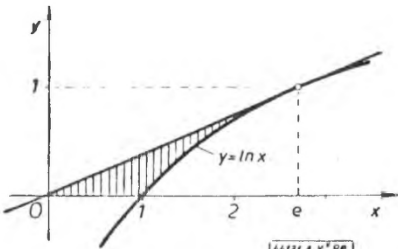
87. ábra

9. Mekkora az  $y = x^2$  parabola és az  $y = x + 6$  egyenes közötti terület?

10. Határozzuk meg az  $y = \frac{x^2}{3}$  parabola és az  $y = 2 + \frac{x}{3}$  egyenes közti területet (parabola-szelet).

11. Kiszámítandó az  $y = e^x$  és  $y = e^{-x}$  görbe, valamint az  $x = 1$  egyenes által határolt terület.

12. Kiszámítandó az  $y = x$ ,  $x + y = 4$  és  $y = 3x$  egyenesek közötti terület.



88. ábra

13. Mekkora az  $x + y = 2$  egyenes, az  $y = x^3$  görbe és az  $x$  tengely közötti terület?

14. Határozzuk meg az  $y = x(1 - x)$  parabola és ennek az  $x = 0$  és  $x = 2$  pontjában húzott érintője közötti területet.

15. Határozzuk meg az  $y = \frac{9}{2} - \frac{1}{2}(x - 4)^2$  parabola és ennek az  $x = 3$  és  $x = 6$  pontjában húzott érintői közötti területet.

16. Számítsuk ki annak a görbevonaltú trapéznek a területét, melyet az  $y = x^2 + 1$  parabola, az  $x = 4$  egyenes és a két koordinátatengely határol.

17. Határozzuk meg az  $x$  tengely, az  $y = \ln x$  görbe, és ennek az origón átmenő érintője közti területet (88. ábra).

18. Határozzuk meg az  $y = \frac{9}{2} - \frac{1}{2}(x - 4)^2$  parabola és ennek az  $x = 3$  és  $x = 6$  pontjában húzott normálisai közötti területet.

19. Határozzuk meg a 89. ábrán látható  $y = \frac{1}{x}$  hiperbola bevonalkázott szeletének területét.

20. Kiszámítandó az  $x^2 + 4y^2 = 8$  és az  $x^2 - 3y^2 = 1$  görbék által közbezárt terület.

21. Számítsuk ki az  $y^2 = 2px$  és az  $x^2 = 2py$  parabolák közötti területet.

22. Kiszámítandó az  $y^2 = 2x$  és  $y^2 = 4x - x^2$  görbék közötti terület.

Hasonló a feladat a következő görbék esetén:

23.  $y = x^3$  és  $y = 2x$ .

24.  $y = 2x + 3$  és  $y = x^2$ .

25. Határozzuk meg az  $x^2 + y^2 = 4px$  kör és az  $y^2 = 2px$  parabola közös területét.

26. Határozzuk meg az  $x^{\frac{1}{3}} + y^{\frac{1}{3}} = 1$  és az  $y = 1 - x$  görbék közötti területet (numerikusan két tizedesnyi pontossággal).

27. Kiszámítandó azon idom területe, melyet a következő görbék határolnak:  $y^2 = 2x$ ,  $y = \frac{1}{4}x^2$ ,  $y = 3 - \frac{x^2}{2}$ .

28. Kiszámítandó az  $y = 5x^2$  és  $y = x^4 + 4$  görbék közti terület.

\*29. Bizonyítsuk be, hogy az  $y = ax^3$  görbe lezeli az  $OPQ$  háromszög területét, melyet az  $x$  tengely, az  $y = \lambda x$  és  $x = x_1$  egyenesek alkotnak, ahol  $x_1$  az  $y = ax^3$  és  $y = \lambda x$  görbék metszéspontjának abszcisszája (90. ábra).

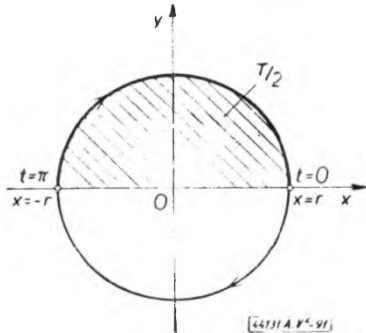
A háromszög területe:

$$T_1 = \int_0^{x_1} \lambda x \, dx = \frac{\lambda x_1^2}{2} = \frac{x_1}{2} \lambda x_1 = \frac{x_1 y_1}{2}.$$

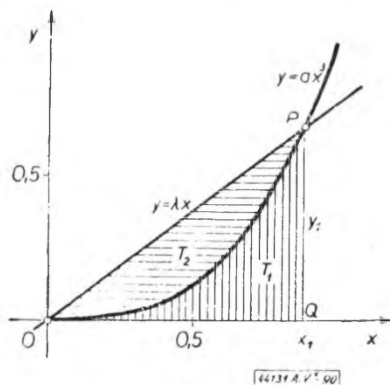
A görbe alatti terület:

$$T_2 = \int_0^{x_1} ax^3 \, dx = \frac{ax_1^4}{4} = \frac{x_1}{4} ax_1^3 = \frac{x_1 y_1}{4};$$

azaz valóban:  $T_1 = 2T_2$ , q. e. d.



91. ábra



90. ábra

1. Számítsuk ki az  $r$  sugarú kör területét!

A kör paraméteres egyenletrendszere:

$$x = r \cos t, \quad y = r \sin t.$$

Ebből  $x = -r \sin t$ . A félkör területét kétszer véve és figyelemmel az óramutató járásával egyértelmű be-

futásra írhatjuk (91. ábra):

$$T = 2 \int_{\pi}^0 r \sin t (-r \sin t) dt = \frac{r^2}{2} 2 \int_0^{\pi} (1 - \cos 2t) dt = r^2 \left[ t - \frac{\sin 2t}{2} \right]_0^{\pi} = r^2 \pi.$$

2. Számítsuk ki az  $a$  és  $b$  féltengelyű *ellipszis* területét.

Az ellipszis paraméteres egyenletrendszere:

$$x = a \cos t, \quad y = b \sin t.$$

Ebből  $\dot{x} = -a \sin t$ , és az előbbi indokolással:

$$T = 2 \int_{\pi}^0 ab (-\sin^2 t) dt = ab \pi.$$

3.  $x = \frac{a}{\cos t}$ ,  $y = b \sin t$ .  $T(0, t_1) = ?$

$$\begin{aligned} T(0, t_1) &= a b \int_0^{t_1} \frac{\sin t}{\cos^2 t} \sin t dt = ab \int_0^{t_1} \operatorname{tg}^2 t dt = ab \int_0^{t_1} \frac{\cos^2 t + \sin^2 t - \cos^2 t}{\cos^2 t} dt = \\ &= ab [\operatorname{tg} t_1 - t_1]. \end{aligned}$$

4. Mekkora az

$$x = a \cos^3 t, \quad y = b \sin^3 t$$

paraméteres egyenletrendszerű *asztrois* területe?

$$\begin{aligned} T &= \int_0^a y dx = \int_{\frac{\pi}{2}}^0 y(t) x'(t) dt = -4 \cdot 3ab \int_{\frac{\pi}{2}}^0 \cos^2 t \sin^4 t dt = \\ &= 12ab \left[ \int_0^{\frac{\pi}{2}} \sin^4 t dt - \int_0^{\frac{\pi}{2}} \sin^6 t dt \right] = \frac{3ab\pi}{8}. \end{aligned}$$

Megjegyzendő, hogy a görbe első negyedét balról jobbra futunk be, amikor  $t \frac{\pi}{2}$ -től 0-ig változik.

5. Számítsuk ki az

$$x = 2t - t^2, \quad y = 2t^2 - t^3$$

paraméteres egyenletű görbe alatti területet a  $0 \leq t \leq 2$  határok között!

6. Kiszámítandó a *ciklois* egy teljes íve alatti terület. A ciklois paraméteres egyenletrendszere:

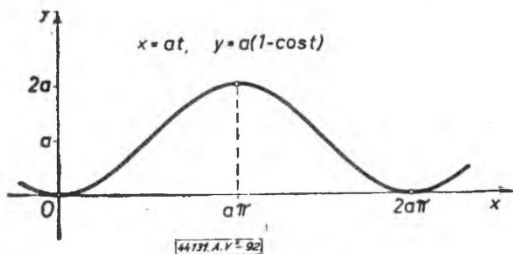
$$x = a(t - \sin t), \quad y = a(1 - \cos t).$$



## 7. Határozzuk meg az

$$x = a(2 \cos t - \cos 2t), \quad y = a(2 \sin t - \sin 2t)$$

paraméteres egyenletrendszerrel megadott görbe alatti területet, midőn  $0 \leq t \leq 2\pi$ .



92. ábra

8.  $x = a(\cos t + t \sin t), \quad y = a(\sin t - t \cos t); \quad T(0, 2\pi) = ?$

9.  $x = at, \quad y = a(1 - \cos t); \quad T(0, 2\pi) = ? \quad (92. \text{ ábra});$

10.  $x = t + \cos t, \quad y = t \sin t; \quad T(0, \pi) = ?$

\*11.  $y = b \sqrt{\frac{x}{2a-x}}; \quad \text{vagy}$

$$x = a(1 - \cos t), \quad y = b \operatorname{tg} \frac{t}{2} \quad (93. \text{ ábra}).$$

$$T(0, x_1) = ? \quad T(0, 2a) = ?$$

$$T\left(0, \frac{\pi}{2}\right) = ?$$

\*12. Meghatározandó az  $x^3 + y^3 - 3axy = 0$  egyenletű Descartes-levél hurokjának területe.

A  $t = \frac{y}{x}$  paramétert bevezetve nyerjük, hogy:

$$x = \frac{3at}{1+t^3}, \quad y = \frac{3at^2}{1+t^3}.$$

Látható, hogy ha  $t \rightarrow +\infty$ , akkor  $y > x \rightarrow 0$  (felső félhurok);  $t = 1$ -nél  $x = y = \frac{3}{2}a$ ; végül ha  $t \rightarrow +0$ , akkor

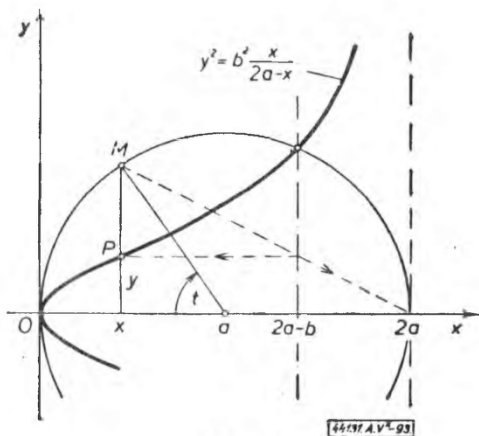
$y < x \rightarrow 0$  (alsó félhurok).

Ennek megfelelően (a hurok betutása az óramutató járásával egyező értelmű lévén)  $t_a = +\infty, t_f = 0$  (94. ábra).

Így:

$$\begin{aligned} T &= \int_{+\infty}^0 y(t) \dot{x}(t) dt = 9a^2 \int_{+\infty}^0 \frac{t^2(1-2t^3)}{(1+t^3)^3} dt = \\ &= 3a^2 \int_{+\infty}^0 \frac{3t^2 dt}{(1+t^3)^2} - 9a^2 \int_{+\infty}^0 \frac{3t^2 \cdot t^3 dt}{(1+t^3)^3} = 3a^2 \int_{+\infty}^1 \frac{du}{u^2} - 9a^2 \int_{+\infty}^1 \frac{u-1}{u^3} du = \\ &= 3a^2 \left[ u - \frac{3}{u^2} \right]_{+\infty}^1 = \frac{3}{2} a^2. \end{aligned}$$

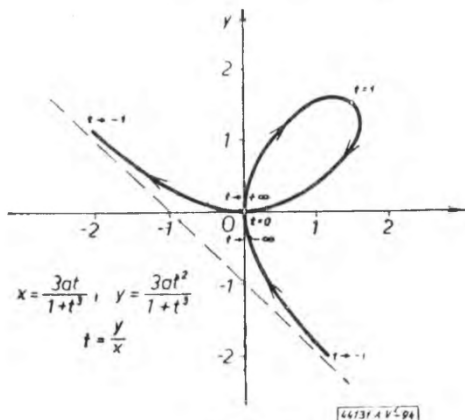
Közben  $u = 1 + t^3$  helyettesítéssel éltünk.



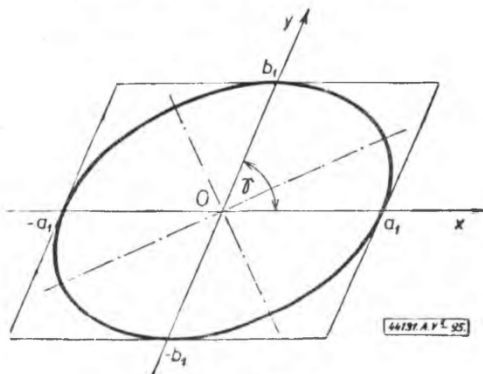
93. ábra

1. Meghatározandó azon ellipszis területe, amely egy  $2a_1$  és  $2b_1$  hosszúságú és  $\gamma$  hajlásszögű konjugált átmérőpárral van megadva!

E konjugált átmérőkre, mint ferdeszögű koordinátatengelyekre vonatkozólag, az ellipszis egyenlete (95. ábra):



94. ábra



95. ábra

$$\frac{x^2}{a_1^2} + \frac{y^2}{b_1^2} = 1, \text{ illetve } y = \pm \frac{b_1}{a_1} \sqrt{a_1^2 - x^2},$$

ahol  $x$  és  $y$  ferdeszögű koordináták. Ezekkel a terület:

$$T = 4 \sin \gamma \int_0^{a_1} \frac{b_1}{a_1} \sqrt{a_1^2 - x^2} dx = 4b_1 \sin \gamma \int_0^{a_1} \sqrt{1 - \left(\frac{x}{a_1}\right)^2} dx.$$

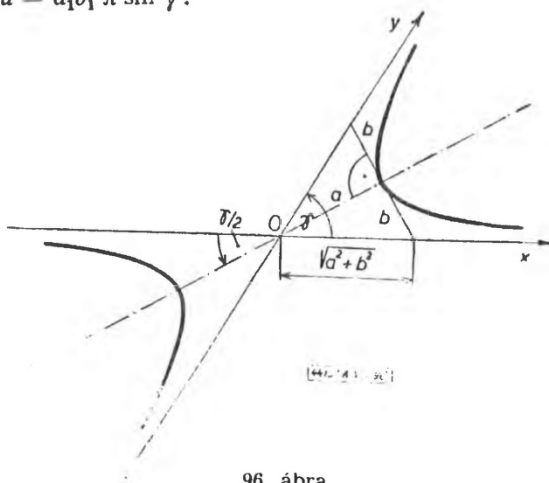
Helyettesítve:  $\frac{x}{a_1} = \sin u$ , nyerjük:

$$T = 4b_1 a_1 \sin \gamma \int_0^{\frac{\pi}{2}} \cos^2 u du = a_1 b_1 \pi \sin \gamma.$$

2. Egy  $a$  és  $b$  féltengelyű hiperbola egyenlete aszimptótáira mint ferdeszögű koordinátatengelyekre vonatkozólag:  $xy = \frac{a^2 + b^2}{4}$  (96. ábra).

Megállapítandó a görbe alatti terület az  $x_0 \leq x \leq x_1$  szakaszon. (Itt  $x$  és  $y$  ferdeszögű koordináták!)

$$\begin{aligned} T(x_0, x_1) &= \sin \gamma \int_{x_0}^{x_1} \frac{a^2 + b^2}{4x} dx = \\ &= \sin \gamma \frac{a^2 + b^2}{4} \ln \frac{x_1}{x_0}. \end{aligned}$$



96. ábra

Mivel

$$\sin \frac{\gamma}{2} = \frac{b}{\sqrt{a^2 + b^2}} \quad \text{és} \quad \sin \gamma = 2 \sin \frac{\gamma}{2} \cos \frac{\gamma}{2} = 2 \frac{b}{\sqrt{a^2 + b^2}} \frac{a}{\sqrt{a^2 + b^2}} = \frac{2ab}{a^2 + b^2},$$

így:

$$T(x_0, x_1) = \frac{ab}{2} \ln \frac{x_1}{x_0}.$$

Ha  $a = b = \sqrt{2}$ , akkor:

$$T(x_0, x_1) = \ln \frac{x_1}{x_0}.$$

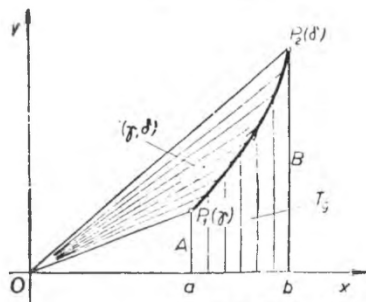
## b) Szektorterület számítása

## a) Paraméteres megadás

a<sub>1</sub>) Vizsgáljuk a derékszögű koordináta-rendszerben  $x = x(t)$ ,  $y = y(t)$  paraméteres egyenletrendszerű görbe  $P_1(\gamma)$  és  $P_2(\delta)$  pontjai közötti darabja és e pontokhoz vont rádiuszvektorok által

határolt szektorterület mérőszámát!

Az  $a(\gamma) \leq x(t) \leq b(\delta)$  szakaszon a  $T_\gamma$  görbe alatti terület, az a)  $\delta$ ) szerint:



97. ábra

$$T_\gamma = \int_a^b y \, dx = \int_\gamma^\delta y(t) \dot{x}(t) \, dt.$$

Az utóbbit parciálisan integrálva, kapjuk:

$$T_\gamma = \left[ y(t) x(t) \right]_\gamma^\delta - \int_\gamma^\delta \dot{y}(t) x(t) \, dt.$$

E két kifejezést összeadva és rendezve:

$$T(\gamma, \delta) = \frac{1}{2} \int_\gamma^\delta [x(t) \dot{y}(t) - \dot{x}(t) y(t)] \, dt = \frac{1}{2} b B - \frac{1}{2} a A - T_\gamma.$$

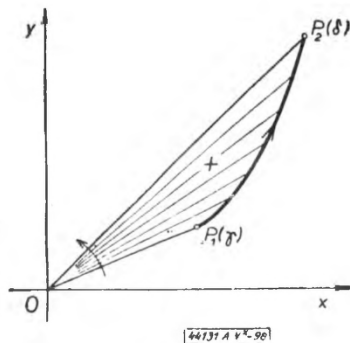
A 97. ábrán rögtön látható, hogy a  $T(\gamma, \delta)$  éppen a kért szektorterület mérőszáma.

A  $(T_\gamma$  görbe alatti terület segítségével nyert) Leibniz-féle paraméteres szektorképlet tehát:

$$T(\gamma, \delta) = \frac{1}{2} \int_\gamma^\delta [x(t) \dot{y}(t) - \dot{x}(t) y(t)] \, dt.$$

vagy változó felső határú  $a(\gamma) \leq x(t) \leq x_1(t_1)$  szakaszra vonatkozólag:

$$T(\gamma, t_1) = \frac{1}{2} \int_\gamma^{t_1} [x(t) \dot{y}(t) - y(t) \dot{x}(t)] \, dt.$$



98. ábra

b)  $\alpha) - \beta)$  SEKTORTERÜLET SZÁMÍTÁSA

$\alpha_2)$  Kiemelendő, hogy *e képlet is előjeles területi mérőszámat szolgáltat*; mégpedig pozitívat, ha a görbét  $P_1(\gamma)$ -től  $P_2(\delta)$ -ig befutva a radiusvektor pozitív értelemben forog, ellenkező esetben negatívot (98. és 99. ábra). [Meggívánjuk, hogy az adott szakaszon  $x(t)$ ,  $y(t)$ ,  $\dot{x}(t)$  és  $\dot{y}(t)$  legalább részszakaszonként folytonos legyen.]

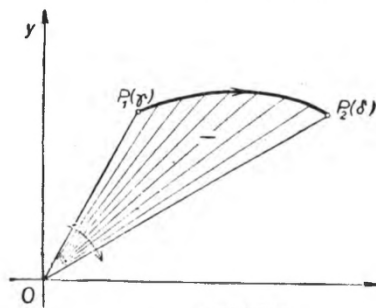
$\alpha_3)$  Megjegyzendő, hogy a fent említett

$$dT = \frac{1}{2} [x(t) \dot{y}(t) - \dot{x}(t) y(t)] \text{ területdifferenciál egy-}$$

szerűen szemlélhető a vektoriális  $\frac{dT}{dt} = \frac{\mathbf{r} \times \dot{\mathbf{r}}}{2}$  területsebesség segítségével, u. i.

$$dT = \frac{1}{2} (\mathbf{r} \times \dot{\mathbf{r}}) dt = \frac{1}{2} (x\dot{y} - \dot{x}y) dt \cdot \mathbf{k}$$

(Lásd bővebben a B. I. kötetben!)



99. ábra

$\beta)$  Polárkoordináta-rendszerben

$\beta_1)$  A görbe  $r = r(\varphi)$  poláregyenletét írjuk át

$$x(\varphi) = r(\varphi) \cos \varphi, \quad y(\varphi) = r(\varphi) \sin \varphi$$

paraméteres alakra. Ha  $r(\varphi)$  az  $\alpha \leq \varphi \leq \beta$  szakaszon differenciálható, akkor

$$x\dot{y} - \dot{x}y = r \cos \varphi (\dot{r} \sin \varphi + r \cos \varphi) - r \sin \varphi (\dot{r} \cos \varphi - r \sin \varphi) = r^2.$$

Tehát az  $\alpha \leq \varphi \leq \beta$  szögbeli szektorterület területi mérőszáma:

$$T(\alpha, \beta) = \frac{1}{2} \int_{\alpha}^{\beta} r^2(\varphi) d\varphi.$$

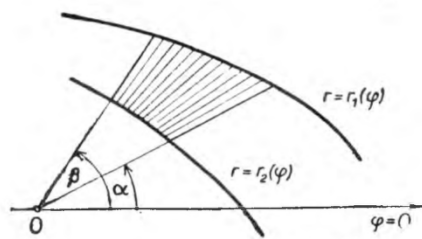
Ez a polárkoordinátás szektorképlet.

Változó  $\alpha \leq \varphi \leq \varphi_1$  szögben:

$$T(\alpha, \varphi_1) = \frac{1}{2} \int_{\alpha}^{\varphi_1} r^2(\varphi) d\varphi.$$

$\beta_2)$  Megjegyzendő, hogy a

$$dT = \frac{1}{2} r^2(\varphi) d\varphi = \frac{r(\varphi) d\varphi \cdot r(\varphi)}{2}$$



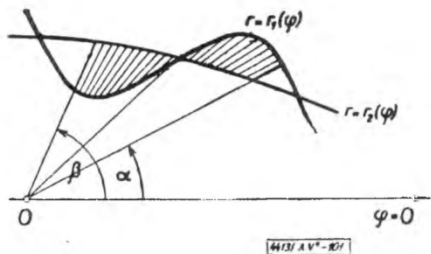
100. ábra

területdifferenciál úgy jelentkezik, mintha a  $[\varphi, \varphi + d\varphi]$  szögben a kezdeti  $r(\varphi)$  radiusvektor változatlan maradna. vagyis mintha körszektorról lenne szó.

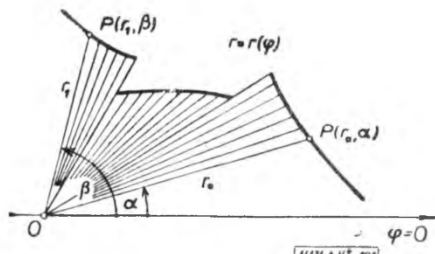
$\beta_3)$  A területi mérőszám előjele itt is az  $\alpha_2)$  szerint adódik. Az  $\alpha)$  és  $\beta)$ -beli területképlet a radiusvektor által többször egyértelműen súrolt területet ugyanannyiszor, kétszer különböző értelemben súrolt területet pedig egyszer sem veszi számításba.

$\beta_4$ ) Ha két görbe van adva  $r_1 = r_1(\varphi)$  és  $r_2 = r_2(\varphi)$  poláregyenletével, továbbá az  $\alpha \leq \varphi \leq \beta$  szögben  $r_1(\varphi) \geq r_2(\varphi)$  [de  $r_1(\varphi) \neq r_2(\varphi)$ ], akkor e szögben a két görbe közötti szektorterület (100. ábra):

$$T(\alpha, \beta) = \frac{1}{2} \int_{\alpha}^{\beta} [r_1^2(\varphi) - r_2^2(\varphi)] d\varphi > 0.$$



101. ábra



102. ábra

Ha e szögben a két görbe metszi egymást, a megfelelő részterületeket egyenként számítjuk (101. ábra). Hasonlóan járunk el, ha az  $r = r(\varphi)$  görbe szakadásos (102. ábra).

#### $\gamma$ ) Explicit megadás

Ha a görbe  $y = f(x)$  explicit egyenlettel van megadva, akkor az  $\alpha$ -beli paraméteres szektorképlet (az  $x$ -et tekintve paraméternek, amikor is  $y = f(x)$ ,  $x = x$ ; továbbá  $\dot{y} = f'(x)$ ,  $\dot{x} = 1$ ) a következő alakot ölti:

$$T(a, b) = \frac{1}{2} \int_a^b [x y'(x) - y(x)] dx.$$

Aránylag ritkán szerepel!

#### Példák és feladatok

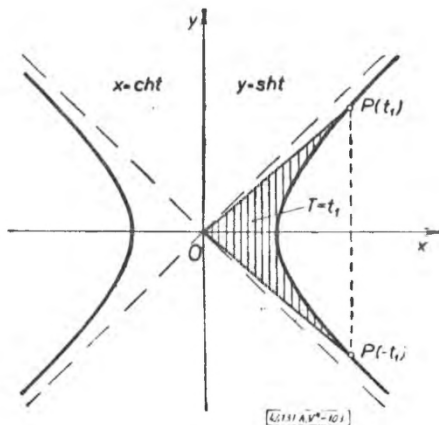
$\alpha$  1. Mekkora az  $x = \operatorname{ch} t$ ,  $y = \operatorname{sh} t$  paraméteres egyenletrendszerű egyenlőszarú hiperbola —  $t_1 \leq t \leq t_1$  szektorának területe (103. ábra)?

Egyenlete:  $x^2 - y^2 = \operatorname{ch}^2 t - \operatorname{sh}^2 t = 1$ .  
Az integrálandó:  $x\dot{y} - \dot{x}y = \operatorname{ch}^2 t - \operatorname{sh}^2 t = 1$ .  
Ezzel:

$$T = \frac{1}{2} \int_{-t_1}^{t_1} 1 dt = t_1,$$

összhangban azzal, hogy:  $t_1 = \operatorname{arch} x_1 = \operatorname{arsh} y_1$ .

2. Mekkora egy teljes (közönséges) ciklois és az  $x$  tengely közé eső terület?

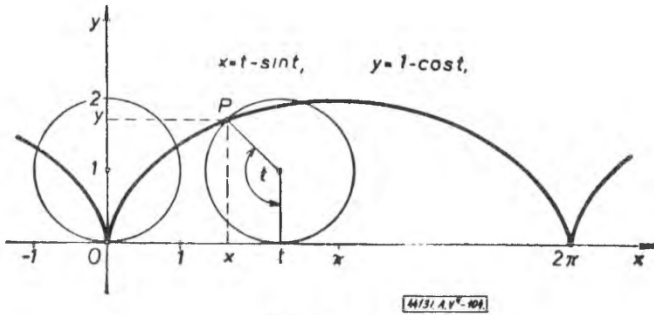


103. ábra

Egvenletrendszere:

$$x = b(t - \sin t), \quad y = b(1 - \cos t),$$

hol  $t$  a  $b$  sugarú képzőkör szögelfordulása (l. a 104. ábrát; ott  $b = 1$ ).



104. ábra

$$\dot{x} = b(1 - \cos t), \quad \dot{y} = b \sin t$$

$$x\dot{y} - \dot{x}y = b^2(t - \sin t) \sin t - b^2(1 - \cos t)^2 = b^2 t \sin t - 2b^2(1 - \cos t).$$

A terület:

$$\begin{aligned} T &= \frac{b^2}{2} \int_0^{2\pi} [t \sin t - 2 + 2 \cos t] dt = \frac{b^2}{2} \left[ -t \cos t + \sin t - 2t + 2 \sin t \right]_0^{2\pi} = \\ &= \frac{b^2}{2} [-2\pi + 0 - 4\pi + 0] = -3b^2\pi, \end{aligned}$$

vagyis a képzőkör területének háromszorosa. A negatív előjel a rádiuszvektor negatív értelmű (az óramutató járásával egyező) forgása miatt van!

E példát az a) δ)-ban más módon oldottuk meg (6. pl.).

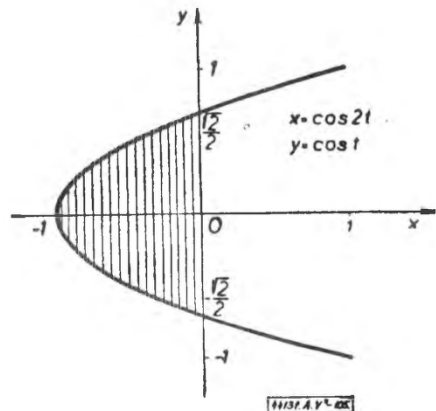
3. Mekkora az  $x = \cos 2t$ ,  $y = \cos t$  egyenletrendszerű parabola és az  $y$  tengely közé eső síkrész területe (105. ábra)? (A parabola explicit egyenlete:  $y^2 = \frac{1}{2}(x+1)$ , a  $t$  kiküszöbölésével nyerhető.)

Az integrandus:

$$x\dot{y} - \dot{x}y = -\cos 2t \sin t + 2 \sin 2t \cos t.$$

A határok: 2-szer veendő a  $t_1 = \frac{\pi}{4} \left( 0, \frac{\sqrt{2}}{2} \right)$

és a  $t_2 = \frac{\pi}{2}$   $(-1, 0)$  közötti terület.



105. ábra

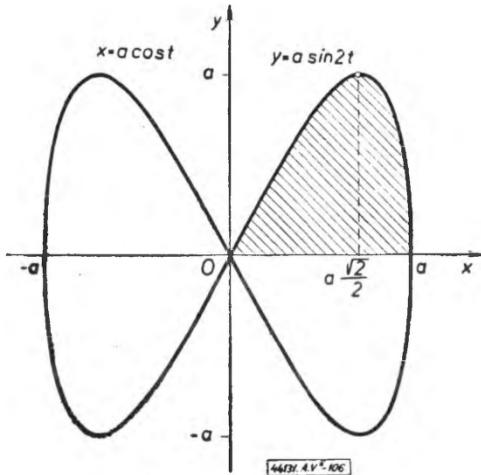
Tehát:

$$T = 2 \cdot \frac{1}{2} \int_{\frac{\pi}{4}}^{\frac{\pi}{2}} (-\cos 2t \sin t + 2 \sin 2t \cos t) dt =$$

$$= \int_{\frac{\pi}{4}}^{\frac{\pi}{2}} (4 \sin t \cos^2 t - \cos^2 t \sin t + \sin^3 t) dt.$$

Az integrálást elvégezve nyerjük:

$$T = \frac{2\sqrt{2}}{3}$$



106. ábra

4. Határozzuk meg az  $x = a \cos t$ ,  $y = a \sin 2t$  paraméteres egyenletrendszerű görbe első negyedének területét (106. ábra)

$$T = \frac{1}{2} \int_0^{\frac{\pi}{2}} (2a^2 \cos 2t \cos t + a^2 \sin 2t \sin t) dt =$$

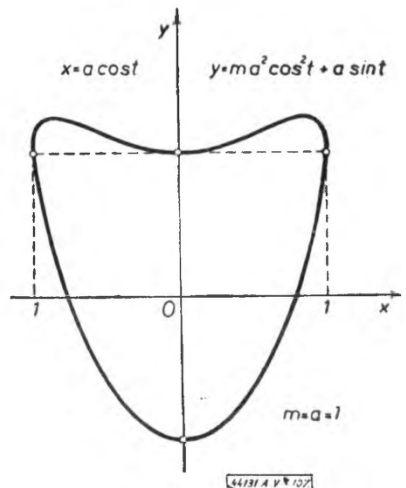
$$= a^2 \int_0^{\frac{\pi}{2}} \cos t dt - a^2 \int_0^{\frac{\pi}{2}} \sin^2 t \cos t dt = a^2 - a^2 \int_0^1 u^2 du = \frac{2}{3} a^2.$$

[Felhasználtuk a  $\cos(\alpha - \beta)$ -ra és a  $\sin 2\alpha$ -ra vonatkozó azonosságokat.]

5. Határozzuk meg az  $x = 1 - \cos^3 t$ ,  $y = 1 - \sin^3 t$  paraméteres egyenletrendszerű görbe  $\frac{\pi}{6} \leq t \leq \frac{\pi}{3}$  szektorának területét.

Mivel a  $t$  paraméter  $\frac{\pi}{6}$ -tól  $\frac{\pi}{3}$ -ig való növekedése közben a rádiuszvektor forgásiránya az óramutató járásával egyező, a határokat a pozitív eredmény érdekében fordítva vesszük:

$$T = \frac{3}{2} \int_{\frac{\pi}{6}}^{\frac{\pi}{3}} (-\sin^2 t \cos t + \sin^2 t \cos^3 t + \cos^2 t \sin^3 t - \cos^2 t \sin t) dt =$$



107. ábra

$$\begin{aligned}
 &= \frac{3}{2} \int_{\frac{\pi}{6}}^{\frac{\pi}{3}} (\sin^2 t \cos t + \cos^2 t \sin t) dt - \frac{3}{2} \int_{\frac{\pi}{6}}^{\frac{\pi}{3}} \cos^2 t \sin^2 t dt = \\
 &= \frac{3}{8} \sqrt{3} - 1 + \frac{3}{16} \left( \frac{\sqrt{3}}{8} + \frac{\sqrt{3}}{8} \right) - \frac{\pi}{32} = \frac{27\sqrt{3} - 8}{64} - \frac{\pi}{32}.
 \end{aligned}$$

6. Kiszámítandó az

$$x = a \cos t, \quad y = m a^2 \cos^2 t + a \sin t$$

zárt görbe területe (107. ábra).

Az ismert formula szerint:

$$\begin{aligned}
 T &= \frac{1}{2} \int_0^{2\pi} [a \cos t (-ma^2 2 \cos t \sin t + a \cos t) - (ma^2 \cos^2 t + a \sin t) (-a \sin t)] dt = \\
 &= \frac{1}{2} \int_0^{2\pi} (a^2 - ma^3 \sin t \cos^2 t) dt = \frac{a^2}{2} \left[ t + ma \frac{\cos^3 t}{3} \right]_0^{2\pi} = a^2 \pi.
 \end{aligned}$$

7. Kiszámítandó a negyedkör és a negyedellipszis területe.

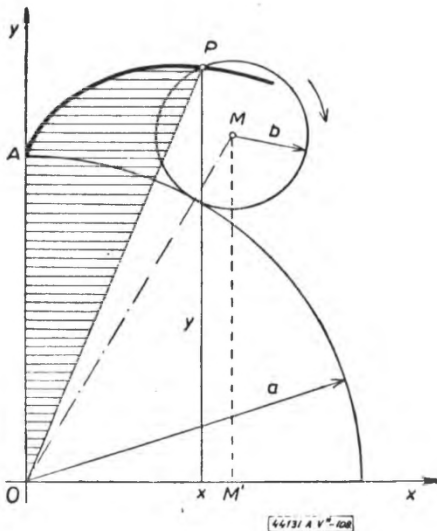
8. Meghatározandó az asztrois egy negyedének mint szektornak a területe.

9. 
$$\left. \begin{aligned} x &= r \cos t \\ y &= r e^t \end{aligned} \right\} T\left(0, \frac{\pi}{2}\right) = ? \quad (r = \text{const.})$$

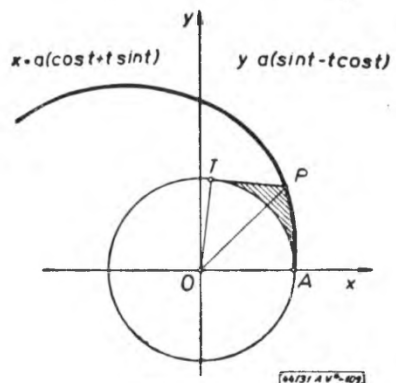
10. 
$$\left. \begin{aligned} x &= a[(1 - t^2) \cos t + 2t \sin t - 1] \\ y &= a[(1 - t^2) \sin t - 2t \cos t] \end{aligned} \right\} T(0, t_1) = ? \quad (a = \text{const.})$$

11. Mekkora az

$$\left. \begin{aligned} x &= (a + b) \cos \frac{bt}{a} - b \cos \frac{(a + b)t}{a} \\ y &= (a + b) \sin \frac{bt}{a} - b \sin \frac{(a + b)t}{a} \end{aligned} \right\}$$



108. ábra



109. ábra



paraméteres egyenletrendszerű *epiciklous*, valamint az  $OA$  ( $t = 0$ ) és  $OP$  ( $t = t_1$ ) sugár közé eső síkrész területe (108. ábra)?

12. Hasonló feladat oldandó meg *hipociklois* esetén. Az előbbi paraméteres egyenletrendszerben  $b$  és  $t$  ellenkező előjellel veendő!

\*13. Határozzuk meg a 109. ábrán vonalkázott *APT* síkrész területét. A síkrészt az  $a$  sugarú kör és

$$x = a(\cos t + t \sin t), \quad y = a(\sin t - t \cos t)$$

egyenletű *evolvens*e határolja.

Itt  $P(x_1, y_1)$  a  $t = t_1$ -nek megfelelő pont a körevolvensen, míg  $T$  a  $P$ -ből a körhöz vont érintő érintési pontja ( $AT = PT$ ). A keresett terület így módon:

$$T(0, t_1) = T_1 + T_2 - T_3,$$

ahol  $T_1$  az  $OAP$  szektor,  $T_2$  az  $OPT$  háromszög és  $T_3$  az  $OAT$  körcikk területe.

Mivel

$$\dot{x} = a(-\sin t + t \cos t + \sin t) = at \cos t$$

és

ezért

$$\dot{y} = a(\cos t - \cos t + t \sin t) = at \sin t,$$

$$\begin{aligned} T_1 &= \frac{a^2}{2} \int_0^{t_1} [(\cos t + t \sin t) t \sin t - (\sin t - t \cos t) t \cos t] dt = \\ &= \frac{a^2}{2} \int_0^{t_1} t^2 dt = \frac{a^2}{2} \left[ \frac{t^3}{3} \right]_0^{t_1} = \frac{at_1^3}{6}. \end{aligned}$$

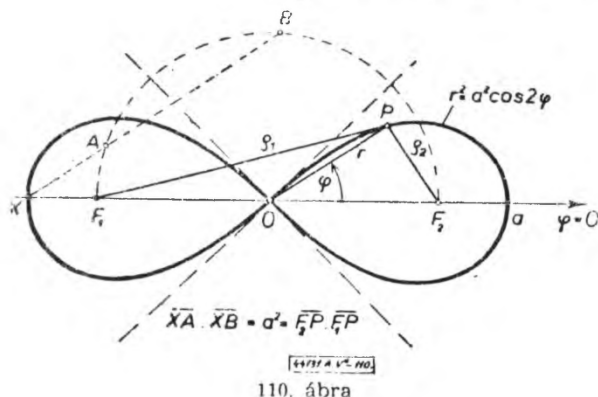
Továbbá:

$$T_2 = \frac{1}{2} a \widehat{AT} = \frac{1}{2} a^2 t_1; \quad T_3 = at_1 \frac{a}{2} = \frac{a^2 t_1}{2}.$$

Végül a keresett terület:

$$\begin{aligned} T(0, t_1) &= \\ &= T_1 + T_2 - T_3 = \frac{a^2 t_1^3}{6}. \end{aligned}$$

Figyelemreméltó, hogy  $T_2 = T_3$ , azaz az  $OPT$  háromszög és  $OAT$  körcikk egyenlő területűek!



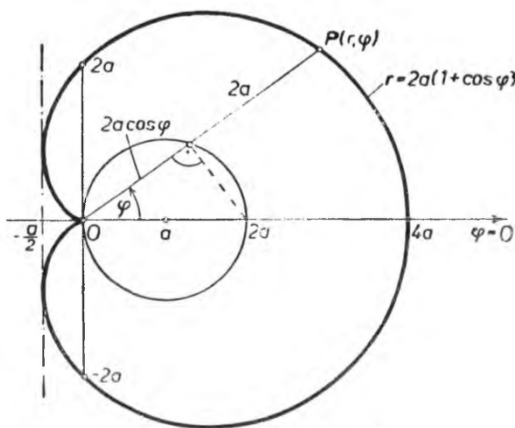
1. Mekkora az  $r^2 = a^2 \cos 2\varphi$  poláregyenletű *lemniskáta* egyik levélének területe (110. ábra)?

Kétszer veendő a  $\varphi_1 = 0$  ( $r = a$ ) és  $\varphi_2 = \frac{\pi}{4}$  ( $r = 0$ ) közötti szektorterület! Tehát:

$$T = 2 \cdot \frac{1}{2} \int_0^{\frac{\pi}{4}} r^2 d\varphi = \int_0^{\frac{\pi}{4}} a^2 \cos 2\varphi d\varphi = a^2 \left[ \frac{\sin 2\varphi}{2} \right]_0^{\frac{\pi}{4}} = \frac{a^2}{2}.$$

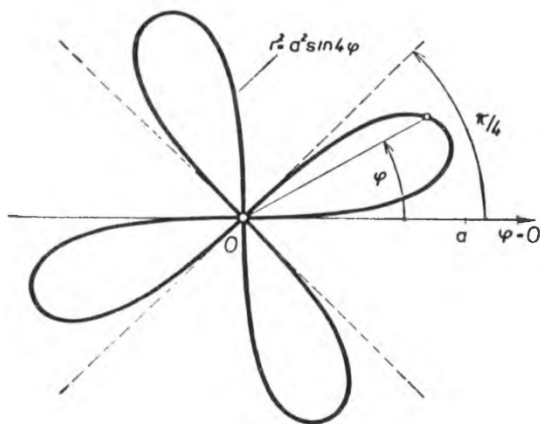
2. Mekkora az  $r = 2a(1 + \cos \varphi) = 4a \cos^2 \frac{\varphi}{2}$  poláregyenletű kardioid területe (111. ábra)?

$$\begin{aligned} T &= \frac{1}{2} \int_0^{2\pi} \left| 4a \cos^2 \frac{\varphi}{2} \right|^2 d\varphi = \\ &= 2 \cdot 8a^2 \int_0^{\pi} \cos^4 \frac{\varphi}{2} d\varphi = \\ &= 4a^2 \int_0^{\pi} (1 + 2 \cos \varphi + \cos^2 \varphi) d\varphi = \\ &= 4a^2 \left[ \varphi + 2 \sin \varphi + \frac{\varphi}{2} + \frac{\sin 2\varphi}{4} \right]_0^{\pi} = \\ &= 6a^2\pi. \end{aligned}$$



111. ábra

3. Mekkora az előbbi kardioid görbe és az  $y$  tengely közé eső jobboldali síkrész?  
Az előbbieket szerint:



112. ábra

$$\begin{aligned} T_j &= 4a^2 \left[ \varphi + 2 \sin \varphi + \frac{\varphi}{2} + \right. \\ &\quad \left. + \frac{\sin 2\varphi}{4} \right]_0^{\pi} = (3\pi + 8) a^2. \end{aligned}$$

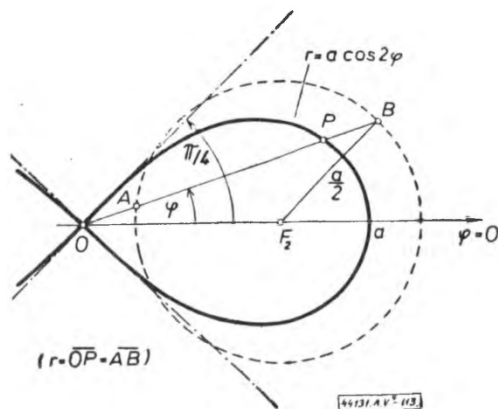
4. Mekkora az  $r^2 = a^2 \sin 4\varphi$  négylevelű lóhere-görbe területe (112. ábra)?

$$\begin{aligned} T &= 4 \cdot \frac{a^2}{2} \int_0^{\pi/4} \sin 4\varphi d\varphi = \\ &= 2a^2 \left[ -\frac{\cos 4\varphi}{4} \right]_0^{\pi/4} = a^2. \end{aligned}$$

(A határokat úgy választottuk, hogy az első levél összes  $r$ -eit felölleljük!)

5. Mekkora az  $r = a \cos 2\varphi$  görbe területe (113. ábra)?

$$T = 2 \cdot \frac{a^2}{2} \int_0^{\pi/4} \cos^2 2\varphi d\varphi = \frac{a^2 \pi}{8}.$$



113. ábra

$\left(\frac{\pi}{4} < \varphi < \frac{3\pi}{4} \text{ esetén nincs értelmezve, mert } r \text{ negatív lenne.}\right)$

6. Mekkora az

$$r^2 = \frac{a^2 b^2}{a^2 \sin^2 \varphi + b^2 \cos^2 \varphi}$$

poláregyenletű görbe területe ( $0 \leq \varphi \leq 2\pi$ )?

$$\begin{aligned} I &= 4 \cdot \frac{1}{2} \int_0^{\frac{\pi}{2}} \frac{a^2 b^2}{a^2 \sin^2 \varphi + b^2 \cos^2 \varphi} d\varphi = \\ &= 2a^2 b^2 \int_0^{\frac{\pi}{2}} \frac{1}{a^2 \operatorname{tg}^2 \varphi + b^2 \cos^2 \varphi} d\varphi = \end{aligned}$$

$$= 2b^2 \int_0^{\infty} \frac{du}{a^2 + \left(\frac{b}{a}\right)^2} = 2b^2 \frac{a}{b} \left[ \operatorname{arc} \operatorname{tg} \frac{au}{b} \right]_0^{\infty} = ab\pi.$$

A kapott terület akkora, mint az  $a$  és  $b$  féltengelyű ellipszisé.

7. Mekkora az  $r^2 \cos \varphi = a^2 \sin 3\varphi$  görbe területe, ha  $0 \leq \varphi \leq \frac{\pi}{3}$ .

$$\begin{aligned} T &= \frac{a^2}{2} \int_0^{\frac{\pi}{3}} \frac{\sin \varphi \cos 2\varphi + \sin 2\varphi \cos \varphi}{\cos \varphi} d\varphi = \frac{a^2}{2} \int_0^{\frac{\pi}{3}} \frac{\sin \varphi (2 \cos^2 \varphi - 1) + \sin 2\varphi \cos \varphi}{\cos \varphi} d\varphi + \\ &+ \frac{a^2}{2} \int_0^{\frac{\pi}{3}} \sin 2\varphi d\varphi = \frac{a^2}{2} \int_0^{\frac{\pi}{3}} (\sin 2\varphi - \operatorname{tg} \varphi + \sin 2\varphi) d\varphi = \frac{a^2}{2} \left[ \frac{3}{2} - \ln 2 \right]. \end{aligned}$$

8. Határozzuk meg  $\varphi_0$  értékét úgy, hogy az  $r = e^{2\varphi}$  logaritmus spirális, valamint a  $0$  és  $\varphi_0$  hajlásszögű rádiuszvektorok közé eső szektor területe 30 területegység legyen.

Alkalmazzuk a megadott formulát egyelőre ismeretlen  $\varphi_0$  felső határral:

$$T = \frac{1}{2} \int_0^{\varphi_0} e^{4\varphi} d\varphi = \frac{1}{8} \left[ e^{4\varphi} \right]_0^{\varphi_0} = \frac{1}{8} (e^{4\varphi_0} - 1).$$

E terület az adatok szerint éppen 30 egység. A kért  $\varphi_0$  tehát az

$$\frac{1}{8} (e^{4\varphi_0} - 1) = 30, \quad e^{4\varphi_0} = 241$$

egyenletből számítható:

$$\varphi_0 = \frac{1}{4} \ln 241 \approx 1,37.$$

9. Határozzuk meg az  $r = a + b \cos n\varphi$  ( $a > b$ ) poláregyenletű zárt görbe területét (114. ábra  $n = 6$  esetén).

Az ismert formulával:

$$\begin{aligned} T &= \frac{1}{2} \int_0^{2\pi} (a + b \cos n\varphi)^2 d\varphi = \frac{1}{2} \int_0^{2\pi} \left[ a^2 + 2ab \cos n\varphi + \frac{b^2}{2} (1 + \cos 2n\varphi) \right] d\varphi = \\ &= \frac{1}{2} \left[ a^2\varphi + \frac{2ab}{n} \sin n\varphi + \frac{b^2\varphi}{2} + \frac{b^2 \sin 2n\varphi}{4n} \right]_0^{2\pi} = a^2\pi + \frac{b^2\pi}{2}. \end{aligned}$$

Figyelemreméltó, hogy az eredmény  $n$ -től (vagyis a levelek számától) független. A  $b = 0$  esetben a görbe körbe megy át, melynek területe:  $a^2\pi$ .

10.  $r = c\varphi$ ; archimedesi spirális;  
 $T(0, \varphi_1) = ?$   $T(0, 2) = ?$

11.  $r = ae^{b\varphi}$ ; logaritmikus spirális;  
 $T(0, \varphi_1) = ?$

12.  $r^2 = a^2\varphi$ ; parabolikus spirális;  
 $T(0, \varphi_1) = ?$

13.  $r = \frac{1}{\varphi}$ ; hiperbolikus spirális;  
 $T(1, \varphi_1) = ?$   $T(1, \infty) = ?$

14.  $r^2 = \frac{a^2}{\varphi}$ ; reciprok parabolikus spirális;  
 $T(1, \varphi_1) = ?$

15.  $r = a \cos \varphi + b$ ;  $T(0, \pi) = ?$

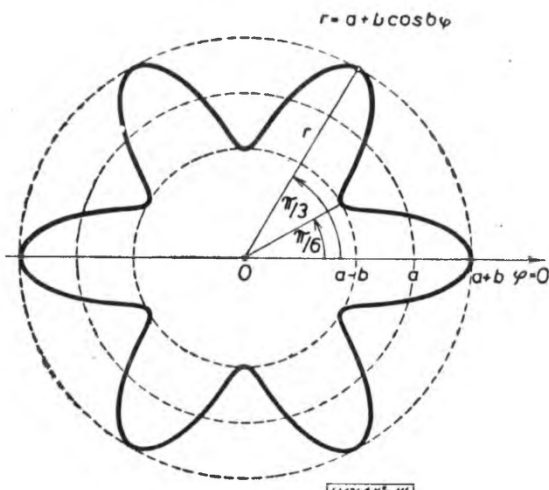
16.  $r^2 = a^2 \cos^2 \varphi + b^2 \sin^2 \varphi$ ; ellipszis talppontgörbéje;  $T(0, \varphi_1) = ?$   $T(0, 2\pi) = ?$

17.  $r = \frac{p}{1 - \cos \varphi}$ ;  $T\left(\frac{\pi}{4}, \frac{\pi}{2}\right) = ?$

18.  $r = \frac{p}{1 + \varepsilon \cos \varphi}$ ,  $0 < \varepsilon < 1$ ; ellipszis;  $T = ?$

19. Határozzuk meg  $\varphi_0$  értékét úgy, hogy az  $r = 2\varphi$  archimedesi spirális  $\varphi = 0$  és  $\varphi = \varphi_0$  határok közé eső szektorának területe 20 területegység legyen.

20. Határozzuk meg  $\varphi_0$  értékét úgy, hogy az  $r = 4\sqrt{\cos 2\varphi}$  lemniszkáta  $\varphi_0$  és  $\frac{\pi}{4}$  határok közé eső szektorának területe 4 egység legyen.



114. ábra

21. A körevolvens poláris-paraméteres egyenletrendszere:

$$\left. \begin{aligned} r &= a \sqrt{1 + \omega^2} \\ \varphi &= \omega - \arctg \omega \end{aligned} \right\}; \quad T(0, \varphi_1) = ?$$

22. A kör trajektóriájának poláris-paraméteres egyenletrendszere:

$$\left. \begin{aligned} r &= \frac{a}{\sqrt{1 + \omega^2}} \\ \varphi &= \omega - \arctg \omega \end{aligned} \right\}; \quad T(0, \varphi_1) = ?$$

- \*23. Határozzuk meg az a. d) 12. pl.-ban említett Descartes-féle levél területét polárkoordináták segítségével.

A görbe egyenlete Descartes-koordinátákkal:

$$x^3 + y^3 - 3axy = 0.$$

Polárkoordinátákat bevezetve az

$$x = r \cos \varphi, \quad y = r \sin \varphi$$

összefüggések segítségével, nyerjük:

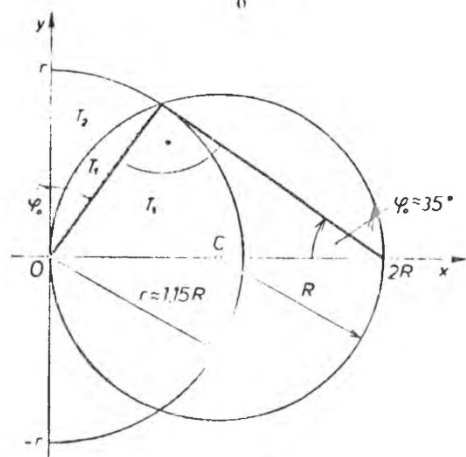
$$r^3 \cos^3 \varphi + r^3 \sin^3 \varphi - 3ar^2 \sin \varphi \cos \varphi = 0.$$

Osztva  $r^2$ -tel, majd  $r$ -et kifejezve, a görbe polárkoordinátás egyenletéhez jutunk:

$$r = \frac{3a \sin \varphi \cos \varphi}{\sin^3 \varphi + \cos^3 \varphi}.$$

A kért terület így módon:

$$\begin{aligned} T &= \frac{9}{2} a^2 \int_0^{\frac{\pi}{2}} \frac{\sin^2 \varphi \cos^2 \varphi}{(\sin^3 \varphi + \cos^3 \varphi)^2} d\varphi = \frac{9}{2} a^2 \int_0^{\frac{\pi}{2}} \frac{\sin^2 \varphi \cos^2 \varphi}{\cos^4 \varphi \left( \frac{\sin^3 \varphi + \cos^3 \varphi}{\cos^3 \varphi} \right)^2} d\varphi = \\ &= \frac{9}{6} a^2 \int_0^{\frac{\pi}{2}} \frac{3 \operatorname{tg}^2 \varphi}{(1 + \operatorname{tg}^3 \varphi)^2} \cos^2 \varphi d\varphi = \\ &= \frac{3a^2}{2} \lim_{\Phi \rightarrow \frac{\pi}{2}} \left| \frac{1}{1 + \operatorname{tg}^3 \varphi} \right|_0^{\Phi} = \frac{3}{2} a^2. \end{aligned}$$



[115. ábra]

115. ábra

- \*24. Adva egy  $R$ -sugarú kör. Kérdés, hogy területének egy pontjából, mint középpontból milyen sugárral kell kört rajzolni, ha az  $R$ -sugarú kör területének felét akarjuk vele kimetszeni (115. ábra)?

A vonalkázott (szektorszerű) terület:

$$T_1 = 2 \cdot \frac{1}{2} \int_0^{\varphi_0} \frac{(2R \sin \varphi)^2}{\rho^2} d\varphi = 2R^2 \int_0^{\varphi_0} (1 - \cos 2\varphi) d\varphi = R^2 (2\varphi_0 - \sin 2\varphi_0).$$

Tehát:

$$\frac{R^2 \pi}{2} = T_1 + \frac{(2R \sin \varphi_0)^2 \pi}{2} - T_2 = R^2 (2\varphi_0 - \sin 2\varphi_0) + 2R^2 \sin^2 \varphi_0 \cdot (\pi - 2\varphi_0).$$

Ebből:

$$2 \sin^2 \varphi_0 \cdot (\pi - 2\varphi_0) + (2\varphi_0 - \sin 2\varphi_0) = \frac{\pi}{2},$$

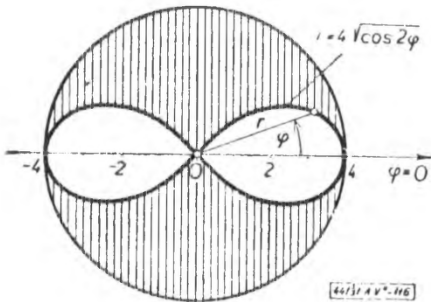
amely *transzcendens* egyenletet közelítően megoldva, nyerjük:

$$\varphi_0 \approx 35^\circ, \quad r \approx 2R \sin 35^\circ \approx 1,15 R.$$

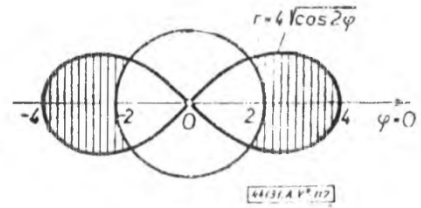
$\beta_4)$  25. Határozzuk meg az  $r = 4$  kör és az  $r = 4 \sqrt{\cos 2\varphi}$  lemniszkáta közös  $\approx 5$  területet (116. ábra).

A kör területéből kivonjuk a lemniszkáta területét. Az utóbbi a  $\beta)$  1. feladat szerint: 16. A keresett terület tehát:

$$T = 16(\pi - 1).$$



116. ábra



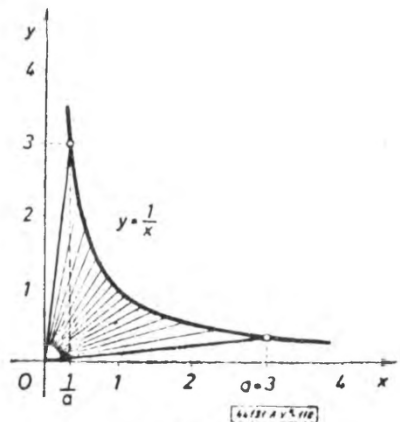
117. ábra

26. Határozzuk meg az  $r = 4 \sqrt{\cos 2\varphi}$  lemniszkáta által határolt területnek az  $r = 2$  körön kívül eső részét (117. ábra).

$\gamma)$  1. Számítsuk ki az  $y = \frac{1}{x}$  görbe  $a$  és  $\frac{1}{a}$  abszcisszájú pontjai közötti szakasza, valamint az  $O$ -tól e pontokhoz húzott radiusvektorok által meghatározott szektorszerű síkrész területét (118. ábra; ott  $a = 3$ ).

A megadott formula alkalmazásával:

$$T = \frac{1}{2} \int_a^{\frac{1}{a}} \left( \frac{x}{x^2} - \frac{1}{x} \right) dx =$$



118. ábra

$$= \int_{\frac{1}{a}}^a \frac{1}{x} dx = \left[ \ln x \right]_{\frac{1}{a}}^a = \ln a - \ln \frac{1}{a} = 2 \ln a.$$

2. Hasonló a feladat az  $y = \frac{1}{\sqrt{x}}$  görbére az előbbi adatokkal.
3. Végezzük el az előbbi számítást változatlan adatok mellett az  $y = \frac{1}{x^2}$  görbére.
4. Altalánosítsuk a feladatot  $y = \frac{1}{x^n}$ -re ( $n > 0$ ) a fenti adatok mellett.

#### 4. §. ÍVHOSSZ-SZÁMÍTÁS

**$\alpha)$  Ívhossz-differenciál. Alapképlet**

$\alpha_1)$  Keressük a síkbeli derékszögű koordinátarendszerben  $y = f(x)$  egyenletű, folytonos és minden pontjában érintővel rendelkező görbe  $[a, x]$  szakaszmenti darabja  $s(a, x)$  ívhosszmérőszámának, mint az  $x$  változó felső határ függvényének differenciálját az  $[x, x + dx]$  szakaszon. A 119. ábrán feltüntetett esetben:

$$\overline{MM'} \leq \overline{MM'} = \Delta s \leq \overline{MT} + \overline{TM'},$$

vagy

$$\sqrt{\Delta x^2 + \Delta y^2} = \sqrt{1 + \frac{\Delta y^2}{\Delta x^2}} \Delta x \leq \Delta s \leq \sqrt{1 + y'^2} \Delta x + \varepsilon.$$

A  $\Delta x$ -szel osztva, majd  $\Delta x = dx \rightarrow 0$  határátmenetre térve kapjuk:

$$\sqrt{1 + \frac{\Delta y^2}{\Delta x^2}} \leq \frac{\Delta s}{\Delta x} \leq \sqrt{1 + y'^2} + \frac{\varepsilon}{\Delta x},$$

majd

$$\lim_{\Delta x \rightarrow 0} \frac{\Delta s}{\Delta x} = \frac{ds}{dx} = \sqrt{1 + y'^2}.$$

Innen az ívhossz-mérő függvény differenciálja:

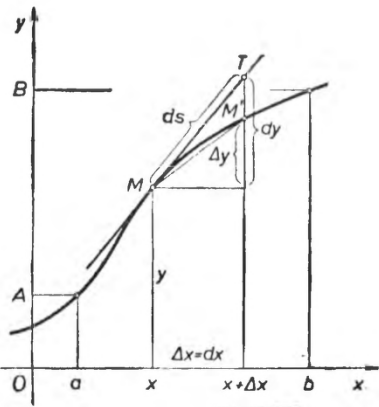
$$ds = \sqrt{1 + y'^2} dx.$$

$\alpha_2)$  Számolva azzal, hogy az ívhossz rendelkezik az additivitás tulajdonságával, az említett egyenletű görbe  $[a, b]$  szakaszmenti darabjának ívhosszmérőszáma:

$$s(a, b) = \int_a^b \sqrt{1 + y'^2(x)} dx, \quad a < b;$$

vagy az  $[a, x_1]$  szakaszra vonatkozólag:

$$s(a, x_1) = \int_a^{x_1} \sqrt{1 + y'^2(x)} dx.$$



119. ábra



$\alpha_3$ ) Ha előnyösebb az  $y = f(x)$  függvény  $x = \varphi(y)$  inverzével dolgozni, akkor az

$$s(A, B) = \int_A^B \sqrt{1 + x'^2(y)} dy$$

képletet használjuk, ahol  $A = f(a)$ ,  $B = f(b)$ .

$\alpha_4$ ) Ha az  $[a, b]$  szakaszon az  $y = f(x)$  függvény differenciálható és  $y' = f'(x)$  deriváltja ott részzakaszanként folytonos (az ilyen görbéket részzakaszanként sima görbéknek nevezzük), akkor az  $\sqrt{1 + y'^2(x)}$  ott Riemann értelmében integrálható, azaz a mondott szakaszon a görbe mérhető ívhosszú, idegen szóval rektifikálható.

\* $\alpha_5$ ) Megjegyzendő, hogy ugyanezen formulákhoz jutunk — bár bonyodalmasabb úton — akkor is, ha az ívhossz differenciálja és additivitása helyett a görbe ívhosszána általános definíciójával dolgozunk.

E definíció szerint egy görbe ívhosszána nevezzük azt a határértéket, amelyhez a beírt (vagy akár a köréírt) töröttvonal hossza tart, ha oldalainak számát minden határon túl növeljük, miközben közülük a legnagyobb is a zérushoz tart. Betűkkel (beírt töröttvonalra):\*

$$\begin{aligned} s(a, b) &= \lim_{\substack{n \rightarrow \infty \\ \max \Delta x_i \rightarrow 0}} \sum_{i=1}^n \sqrt{\Delta x_i^2 + \Delta y_i^2} = \lim_{\substack{\max \Delta x_i \rightarrow 0 \\ n \rightarrow \infty}} \sum_{i=1}^n \sqrt{1 + \left(\frac{\Delta y_i}{\Delta x_i}\right)^2} \Delta x_i = \\ &= \lim_{\substack{\max \Delta x_i \rightarrow 0 \\ n \rightarrow \infty}} \sum_{i=1}^n \sqrt{1 + y'^2(\xi_i)} \Delta x_i = \int_a^b \sqrt{1 + y'^2(x)} dx, \end{aligned}$$

ahol  $\xi_i$  a  $\Delta x_i$  részzakaszon a Lagrange-féle közéérték hely.

E definíció szerint nem minden görbe mérhető, rektifikálható. Megesik, hogy a görbe teljes terjedelmében a sík egy véges részén helyezkedik el, még sincs (véges) ívhossza.

$\alpha_6$ ) Az ívhossz differenciáljának olyan alakot is adhatunk, amely nem tételezi fel a független (integrálási) változó előzetes megválasztását. Alakja derékszögű koordináta-rendszerben:

$$ds = \sqrt{dx^2 + dy^2};$$

geometriai értelme a 119. ábrán szemlélhető.

E differenciállal az  $\widehat{AB}$  görbedarab ívhossza:

$$s(A, B) = \int_{(A)}^{(B)} \sqrt{dx^2 + dy^2} dx.$$

**$\beta$ ) Paraméteres megadás**

Az előbbi formula alapján, az  $x = x(t)$ ,  $y = y(t)$  paraméteres egyenletrendszerű görbe  $P_1(\gamma)$  és  $P_2(\delta)$  közti darabjának ívhosszmérőszáma:

$$s(\gamma, \delta) = \int_{\gamma}^{\delta} \sqrt{x'^2(t) + y'^2(t)} dt, \quad \gamma < \delta.$$

\* Lásd precízebben pl. *Bermant* i. m. I. k., 392. o.

γ) Polárkoordinátás megadás

γ<sub>1</sub>) Ekkor a fentebb derékszögű koordinátarendszerben felírt általános differenciál-alak:

$$ds = \sqrt{dr^2 + (r d\varphi)^2}.$$

Ezzel  $r = r(\varphi)$  megadás esetén a görbe  $[\alpha, \beta]$  szögbeli darabjának ívhossza:

$$s(\alpha, \beta) = \int_{\alpha}^{\beta} \sqrt{r'^2(\varphi) + r^2(\varphi)} d\varphi, \quad \alpha < \beta.$$

γ<sub>2</sub>) A  $\varphi = \varphi(r)$  megadás esetén a görbe  $\varrho$  és  $R$  rádiuszvektorok közé eső darabja:

$$s(\varrho, R) = \int_{\varrho}^R \sqrt{1 + r^2 \varphi'^2(r)} dr, \quad \varrho < R.$$

γ<sub>3</sub>) Ha a görbe polárkoordinátái  $r = r(t)$ ,  $\varphi = \varphi(t)$  módon egy  $t$  paraméter függvényében vannak megadva, akkor a  $dr$ -et,  $d\varphi$ -t, az integrál határait és az integrálandót  $t$ -vel kell kifejezni.

γ<sub>4</sub>) A β) és γ) esetekben szintén meg kívánjuk, hogy az adott szakaszon a görbe legalább részzakasonként sima, vagyis az integrálandó legalább részzakasonként folytonos legyen.

δ) Gyakorlati megjegyzések

Az ívhossz-számítás — ez az összes ívhosszképleteknél megfigyelhető — irracionális függvények integrálását kívánja. Ez — a legegyszerűbb esetektől eltekintve — általában nem könnyű feladat. (L. az A. IV. kt. 5. §-át!) Az integrálandó folytonossági (rész)-szakaszain léteznek ugyan primitív függvény, de ez akárhányszor nem adható meg elemi függvényekkel, zárt alakban. más szóval az integrálás nem végezhető el elemi úton.

## Példák és feladatok

α) 1. Meghatározandó az  $y = \operatorname{ch} x$  lánccörbe ívhossza az  $a \leq x \leq b$  szakaszon.

Itt:  $y' = \operatorname{sh} x$ . Ezzel:

$$s = \int_a^b \sqrt{1 + \operatorname{sh}^2 x} dx = \int_a^b \operatorname{ch} x dx = \operatorname{sh} b - \operatorname{sh} a.$$

2 Mekkora az  $x^{\frac{2}{3}} + y^{\frac{2}{3}} = a^{\frac{2}{3}}$  asztrois teljes ívhossza (4 ág ívhossza)?

Itt:

$$y = \left( a^{\frac{2}{3}} - x^{\frac{2}{3}} \right)^{\frac{3}{2}}, \quad y' = \frac{3}{2} \left( a^{\frac{2}{3}} - x^{\frac{2}{3}} \right)^{\frac{1}{2}} \left( -\frac{2}{3} x^{-\frac{1}{3}} \right).$$

Tehát:

$$s = 4 \int_0^a \sqrt{1 + x^{-\frac{2}{3}} \left( a^{\frac{2}{3}} - x^{\frac{2}{3}} \right)^{\frac{3}{2}}} dx = 4 \int_0^a x^{\frac{1}{3}} x^{-\frac{1}{3}} dx = 4 \cdot \frac{3}{2} a = 6a.$$

3. Mekkora a  $9ay^2 = x(x-3a)^2$  görbe ivhossza a  $0 \leq x \leq a$  szakaszon?

Itt:

$$y = \frac{x-3a}{3} \sqrt{\frac{x}{a}}; \quad y' = \frac{x-a}{2\sqrt{ax}}.$$

Tehát:

$$\begin{aligned} s &= \int_0^a \sqrt{1 + \frac{(x-a)^2}{2a^2}} dx = \int_0^a \frac{x+a}{2\sqrt{ax}} dx = \frac{1}{2\sqrt{a}} \int_0^a \left( x^{\frac{1}{2}} + ax^{-\frac{1}{2}} \right) dx = \\ &= \frac{1}{2\sqrt{a}} \left[ \frac{2}{3} x^{\frac{3}{2}} + 2ax^{\frac{1}{2}} \right]_0^a = \frac{1}{2\sqrt{a}} \left[ \frac{2}{3} a^{\frac{3}{2}} + 2a^{\frac{3}{2}} \right] = \frac{4}{3} a. \end{aligned}$$

4. Meghatározandó az  $y = \frac{x^2}{2p}$  parabola ivhossza a  $0 \leq x \leq x_1$  szakaszon.

Itt:  $y' = \frac{2x}{2p} = \frac{x}{p}$ . Tehát:

$$s = \int_0^{x_1} \sqrt{1 + \left(\frac{x}{p}\right)^2} dx = \frac{1}{p} \int_0^{x_1} \sqrt{p^2 + x^2} dx.$$

Helyettesítés:

$$\frac{x}{p} = \operatorname{sh} u, \quad dx = p \operatorname{ch} u du, \quad u = \operatorname{arsh} \frac{x}{p}, \quad 0 \leq u \leq u_1 = \operatorname{arsh} \frac{x_1}{p}.$$

Ezzel:

$$s = p \int_0^{u_1} \operatorname{ch}^2 u du = \frac{p}{2} \int_0^{u_1} (\operatorname{ch} 2u + 1) du = \frac{p}{2} \left[ \frac{\operatorname{sh} 2u}{2} + u \right]_{u=0}^{u=\operatorname{arsh} \frac{x_1}{p}}.$$

A határokat behelyettesítve és átalakítást eszközölve nyerjük végül:

$$\begin{aligned} s &= \frac{p}{2} \left[ \frac{\operatorname{sh} 2 \operatorname{arsh} \frac{x_1}{p}}{2} + \operatorname{arsh} \frac{x_1}{p} \right] = \frac{p}{2} \operatorname{sh} \left[ \operatorname{arsh} \frac{x_1}{p} \right] \sqrt{1 + \operatorname{sh}^2 \left[ \operatorname{arsh} \frac{x_1}{p} \right]} + \\ &+ \frac{p}{2} \ln \left( \frac{x_1}{p} + \sqrt{1 + \frac{x_1^2}{p^2}} \right) = \frac{p}{2} \left[ \frac{x_1}{p} \sqrt{1 + \frac{x_1^2}{p^2}} + \ln \left( \frac{x_1}{p} + \sqrt{1 + \frac{x_1^2}{p^2}} \right) \right] = \\ &= \frac{x_1}{2p} \sqrt{p^2 + x_1^2} + \frac{p}{2} \ln \frac{x_1 + \sqrt{p^2 + x_1^2}}{p}. \end{aligned}$$

5.  $y = x^{\frac{3}{2}}$   $s(0, 4) = ?$

6.  $y = \frac{x^3}{6a^2} + \frac{a^2}{2x}$   $s(a, x_1) = ?$

7.  $y = \ln \cos x$   $s(0, a) = ? \quad \left(a < \frac{\pi}{2}\right)$
8.  $y = \ln \frac{1}{\sin x}$   $s\left(\frac{\pi}{2}, \frac{2\pi}{3}\right) = ?$
9.  $y = \ln(1 - x^2)$   $s\left(0, \frac{1}{2}\right) = ?$
10.  $y = \ln x$   $s(\sqrt{3}, \sqrt{8}) = ?$
11.  $y = \frac{x - 3a}{3} \sqrt{\frac{x}{a}}$   $s(0, x_1) = ?$
12.  $y = \frac{a}{2} \left(e^{\frac{x}{a}} + e^{-\frac{x}{a}}\right)$   $s(0, b) = ?$
13.  $y = \frac{1}{2} [x\sqrt{x^2 - 1} - \ln(x + \sqrt{x^2 - 1})]$   $s(1, a + 1) = ?$
14.  $y = \sqrt{x - x^2} + \arcsin \sqrt{x}$  görbe kerülete = ?
15.  $(y - \arcsin x)^2 = 1 - x^2$  görbe kerülete = ?
16.  $\left(\frac{x}{a}\right)^{\frac{2}{3}} + \left(\frac{y}{b}\right)^{\frac{2}{3}} = 1$  egy negyedének ívhossza = ?
17.  $x = \frac{1}{4} y^2 - \frac{1}{2} \ln y$   $s(1, e) = ?$
18.  $y = e^x$   $s(0, x_0) = ?$
19.  $e^y = \frac{e^x + 1}{e^x - 1}$   $s(a, b) = ?$
20.  $y = \frac{3}{8} \left[ \sqrt[3]{\frac{x^4}{a}} - 2\sqrt[3]{ax^2} \right]$   $s(0, x_1) = ? \quad s(0, a) = ?$
21.  $y = a \ln \frac{a^2}{a^2 - x^2}$   $s(0, x_1) = ?$
22.  $y = 2a \ln \frac{\sqrt{a} + \sqrt{x}}{\sqrt{a} - \sqrt{x}} - 4\sqrt{ax}$   $s(0, x_1) = ?$
23. Mekkora a  $9b^4x^2 = 4(y^2 - b^2)^3$  görbe ívhossza az  $y$  tengellyel való metszéspontjától számítva?

Itt célszerűbb az  $y$ -t tekinteni független változónak:

$$x = \frac{2}{3b^2} (y^2 - b^2)^{\frac{3}{2}}.$$

Így a kért ívhossz:

$$s_1 = \frac{2}{3} \frac{y_1^3}{b^2} - y_1 + \frac{1}{3} b;$$

az  $x$ -tengellyel való metszéspontig pedig:

$$s_0 = \frac{b}{3}.$$

24. Határozzuk meg  $x_0$  értékét úgy, hogy az  $y = \operatorname{ch} x$  görbe 0-tól  $x_0$ -ig terjedő ívének hossza 15 hosszegység legyen.

25. Határozzuk meg  $x$  értékét úgy, hogy az  $y = x^{\frac{3}{2}}$  görbe 0-tól  $x_0$ -ig terjedő ívének hossza 12 hosszegység legyen.

\*26. Mekkora az  $y = \sqrt{\frac{x^3}{b-x}}$  cisszoid ( $b$  a képző kör átmérője) ívhossza, ha  $0 \leq x \leq x_1$ ?

$$s = \int_0^{x_1} \frac{b}{2(b-x)} \sqrt{\frac{4b-3x}{b-x}} dx: \quad u^2 = \frac{4b-3x}{b-x} \text{ helyettesítéssel:}$$

$$s_1 = b \left\{ \sqrt{\frac{4b-3x_1}{b-x_1}} - 2 - \sqrt{3} \ln \left[ \frac{\sqrt{4b-3x_1} + \sqrt{3(b-x_1)}}{(2+\sqrt{3})\sqrt{b}} \right] \right\}$$

\*27. Meghatározandó a  $\frac{dy}{dx} = -\frac{x}{y}$  differenciálegyenlettel adott görbesereg egyik görbéjének ívhossza, ha  $0 \leq x \leq r$ .

A differenciálegyenlet és megoldása:

$$y dy + x dx = 0, \quad x^2 + y^2 = r^2.$$

A kért ívhossz:

$$\begin{aligned} s &= \int_0^r \sqrt{1 + \frac{x^2}{y^2}} dx = \int_0^r \sqrt{\frac{y^2 + x^2}{y^2}} dx = r \int_0^r \frac{dx}{\sqrt{r^2 - x^2}} = \\ &= r \left[ \arcsin \frac{x}{r} \right]_0^r = \frac{r\pi}{2}, \quad \text{mely egy negyed körív.} \end{aligned}$$

$$*28. \quad y = \ln \frac{\operatorname{tg} \frac{x}{2} + \operatorname{tg}^2 \frac{x}{2}}{1 - \operatorname{tg} \frac{x}{2}} \quad s(x_1, x_2) = ?$$

Először bontsuk szét a függvényt:

$$y = \ln \operatorname{tg} \frac{x}{2} + \ln \frac{1 + \operatorname{tg} \frac{x}{2}}{1 - \operatorname{tg} \frac{x}{2}}.$$

A derivált és az integrálandó:

$$\begin{aligned} y' &= \frac{1}{\sin x} + \frac{1}{\cos x}, \\ \sqrt{1 + v'^2} &= \sqrt{1 + \frac{1}{\sin^2 x} + \frac{1}{\cos^2 x} + \frac{2}{\sin x \cos x}} = \\ &= \sqrt{\frac{\sin^2 x \cos^2 x + \cos^2 x + \sin^2 x + 2 \sin x \cos x}{\sin^2 x \cos^2 x}} = \\ &= \frac{\sqrt{(1 + \sin x \cos x)^2}}{\sin x \cos x} = \frac{1}{\sin x \cos x} + 1. \end{aligned}$$

Végül a kért ívhossz:

$$s(x_1, x_2) = \int_{x_1}^{x_2} \left( 1 + \frac{1}{\sin x \cos x} \right) dx = \left[ x + \ln \operatorname{tg} x \right]_{x_1}^{x_2} = x_2 - x_1 + \ln \frac{\operatorname{tg} x_2}{\operatorname{tg} x_1}.$$

$\beta$  1. Mekkora az  $x = r(t - \sin t)$ ,  $y = r(1 - \cos t)$  paraméteres egyenletrendszerű közös ciklois egy egész ívének ívhossza?

Ekkor:

$$\dot{x} = r(1 - \cos t), \quad \dot{y} = r \sin t; \quad \dot{x}^2 + \dot{y}^2 = r^2 2(1 - \cos t) = 4r^2 \sin^2 \frac{t}{2}.$$

Tehát:

$$s = 2r \int_0^t \sin \frac{t}{2} dt = 4r \left[ \cos \frac{t}{2} \right]_t^0 = 4r \left[ 1 - \cos \frac{t}{2} \right].$$

Következésképpen egy egész ciklois ív hossza:

$$s = 2r \int_0^{2\pi} \sin \frac{t}{2} dt = 4r (1 - \cos \pi) = 8r,$$

vagyis a képző kör sugarának 8-szorosa.

2. Mekkora az  $x = a \cos^3 t$ ,  $y = a \sin^3 t$  paraméteres egyenletrendszerű asztrois egész ívhossza?

Itt:

$$\dot{x} = -3a \cos^2 t \sin t, \quad \dot{y} = 3a \sin^2 t \cos t; \quad \dot{x}^2 + \dot{y}^2 = 9a^2 \sin^2 t \cos^2 t = 1.$$

Így a zárt görbe ívhossza:

$$s = 4 \cdot 3a \int_0^{\frac{\pi}{2}} \sin t \cos t dt = 6a \int_0^{\frac{\pi}{2}} \sin 2t dt = 3a \left[ \cos 2t \right]_{-\frac{\pi}{2}}^0 = 6a.$$

Egy ívdarab hossza, ha  $0 \leq t \leq t_1$ :

$$s = \frac{3}{2} a \sin^2 t_1 = \sqrt[3]{ay_1^2}.$$

3. Számítsuk ki az

$$x = \cos 2t, \quad y = \sin t$$

görbe ívhosszát, ha  $0 \leq t \leq \frac{\pi}{2}$ .

$$\begin{aligned} s &= \int_0^{\frac{\pi}{2}} \sqrt{\cos^2 t + 4 \sin^2 2t} dt = \int_0^{\frac{\pi}{2}} \sqrt{\cos^2 t + 4 \cdot 4 \sin^2 t \cos^2 t} dt = \\ &= \int_0^{\frac{\pi}{2}} \cos t \sqrt{1 + 16 \sin^2 t} dt. \end{aligned}$$

A  $\sin t = u$ , majd  $u = \frac{1}{4} \operatorname{sh} v$  helyettesítéssel nyerjük:

$$\begin{aligned} s &= \int_0^{\frac{\pi}{2}} \sqrt{\cos^2 t (1 + 16 \sin^2 t)} dt = \int_0^1 \sqrt{1 + 16u^2} du = \\ &= \frac{1}{4} \int_0^{\operatorname{arsh} 4} \sqrt{1 + \operatorname{sh}^2 v} \operatorname{ch} v dv = \frac{1}{4} \int_0^{\operatorname{arsh} 4} \frac{1 + \operatorname{ch} 2v}{2} dv = \\ &= \frac{\operatorname{arsh} 4}{8} + \frac{\operatorname{sh}(\operatorname{arsh} 4) \operatorname{ch}(\operatorname{arsh} 4)}{8} = \frac{\operatorname{arsh} 4}{8} + \frac{1}{2} \sqrt{1 + 16} = \\ &= \frac{1}{8} \ln(4 + \sqrt{17}) + \frac{1}{2} \sqrt{17}. \end{aligned}$$

4. Határozzuk meg az

$$x = \cos t, \quad y = \frac{\sqrt{2}}{8} \sin 2t$$

görbe teljes kerületét!

$$\dot{x} = -\sin t, \quad \dot{y} = \frac{\sqrt{2}}{4} \cos 2t;$$

$$\dot{x}^2 + \dot{y}^2 = \sin^2 t + \frac{1}{8} \cos^2 2t;$$

$$\sqrt{\dot{x}^2 + \dot{y}^2} = \sqrt{\frac{1 - \cos 2t + \frac{1}{4} \cos^2 2t}{2}}.$$

$$s(0, 2\pi) = \int_0^{2\pi} \sqrt{\frac{\left(1 - \frac{1}{2} \cos 2t\right)^2}{2}} dt = \frac{1}{\sqrt{2}} \left[ t - \frac{\sin 2t}{4} \right]_0^{2\pi} = \pi \sqrt{2}.$$

5. *Epiciklois*:  $x = (a + r) \cos t - r \cos \frac{a+r}{r} t,$

$$y = (a + r) \sin t - r \sin \frac{a+r}{r} t.$$

$$\dot{x} = -(a + r) \left( \sin t - \sin \frac{a+r}{r} t \right), \quad \dot{y} = (a + r) \left( \cos t - \cos \frac{a+r}{r} t \right);$$

$$\begin{aligned} x^2 + y^2 &= 2(a + r)^2 - 2(a + r)^2 \left( \sin t \sin \frac{a+r}{r} t + \cos t \cos \frac{a+r}{r} t \right) = \\ &= 2(a + r)^2 \left( 1 - \cos \frac{a}{r} t \right) = 4(a + r)^2 \sin^2 \frac{a}{2r} t. \end{aligned}$$

$$\begin{aligned} s_1 &= 2(a + r) \int_0^{t_1} \sin \frac{a}{2r} t dt = \frac{4r}{a} (a + r) \left[ -\cos \frac{a}{2r} t \right]_0^{t_1} = \\ &= \frac{4r}{a} (a + r) \left( 1 - \cos \frac{a}{2r} t_1 \right) = \frac{8r}{a} (a + r) \sin^2 \frac{a}{4r} t_1. \end{aligned}$$

A  $t$  szög kapcsolata a gördülő kör  $n$  elfordulási szögével:

$$at = rn; \text{ ha } n = 2\pi, \text{ akkor } t_0 = \frac{2r\pi}{a}.$$

Egy *epiciklois-ág* ívhossza ( $0 \leq t \leq t_0$ ):

$$s = \left[ \frac{8r}{a} (a + r) \sin^2 \frac{a}{4r} t \right]_0^t = \frac{8r}{a} (a + r);$$

ha pedig  $a = rn$ , akkor:

$$s = 8r \frac{n+1}{n}.$$

Az *egész* ( $n$ -ágú) *epiciklois-tv* hossza tehát:

$$S = ns = 8r(n+1).$$

Az  $n = 1$  esetben a görbe *kardioid*-ba megy át; egész ívhossza:

$$S = 16r.$$



6. *Hipociklois:*

$$x = (a - r) \cos t + r \cos \frac{a - r}{r} t,$$

$$y = (a - r) \sin t - r \sin \frac{a - r}{r} t.$$

Mint előbb!

$$s_1 = \frac{8r}{a} (a - r) \sin^2 \frac{a}{4r} t_1.$$

és  $t_0 = \frac{2r\pi}{a}$ -val egy hipociklois-ág ívhossza:

$$s = \frac{8r}{a} (a - r).$$

$$7. \quad x = \frac{1}{2} t^2, \quad y = \frac{4}{3} \sqrt{(t+1)^3}; \quad s(0, 1) = ? \quad s(0, t_1) = ?$$

$$8. \quad \begin{cases} x = e^t \sin t \\ y = e^t \cos t \end{cases} \left\{ s\left(0, \frac{\pi}{2}\right) = ? \right. \quad 9. \quad \begin{cases} x = e^t (\cos t - \sin t) \\ y = e^t (\cos t + \sin t) \end{cases} \left\{ s(a, b) = ? \right.$$

$$10. \quad \begin{cases} x = t^2 \\ y = 1 - t \end{cases} \left\{ s(0, a) = ? \right. \quad 11. \quad \begin{cases} x = t^2 \\ y = t^3 \end{cases} \left\{ s(0, t_1) = ? \right.$$

$$12. \quad x = a(\cos t + t \sin t), \quad y = a(\sin t - t \cos t); \quad s(0, t_1) = ?$$

$$13. \quad \begin{cases} x = (t^2 - 2) \sin t + 2t \cos t \\ y = (2 - t^2) \cos t + 2t \sin t \end{cases} \left\{ s(0, \pi) = ? \right.$$

$$14. \quad \begin{cases} x = a \cos^3 t \\ y = a \sin^3 t \end{cases} \left\{ \text{kerülete} = ? \right. \quad 15. \quad \begin{cases} x = a \left| \cos t + \ln \operatorname{tg} \frac{t}{2} \right| \\ y = a \sin t \end{cases} \left\{ \begin{array}{l} \text{traktrix:} \\ s\left(\frac{\pi}{2}, t_1\right) = ? \end{array} \right.$$

$$16. \quad x = \frac{1}{2} \operatorname{sh} t, \quad y = 2 \sqrt{2} \operatorname{sh} \frac{t}{2}; \quad s(0, \ln a) = ?$$

$$17. \quad \begin{cases} x = a \sin t - \frac{a-b}{3} \sin^3 t \\ y = b \cos t - \frac{a-b}{3} \cos^3 t \end{cases} \left\{ s(0, t_1) = ? \quad s(0, 2\pi) = ? \right.$$

$$18. \quad \begin{cases} x = a \sin t - \frac{1}{3} (\sqrt{a} + \sqrt{b})^2 \sin^3 t \\ y = b \cos t - \frac{1}{3} (\sqrt{a} + \sqrt{b})^2 \cos^3 t \end{cases} \left\{ s(0, t_1) = ? \quad s(0, 2\pi) = ? \right.$$

$$19. \quad \begin{cases} x = a [(1 - t^2) \cos t + 2t \sin t - 1] \\ y = b [(1 - t^2) \sin t - 2t \cos t] \end{cases} \left\{ \begin{array}{l} \text{az origóból kiinduló spirális;} \\ s(0, t_1) = ? \end{array} \right.$$

$$20. \quad \begin{cases} x = t \sin t \\ y = t \cos t \end{cases} \quad s(0, t_1) = ? \qquad 21. \quad \begin{cases} x = \operatorname{arch} t \\ y = \operatorname{arsh} t \end{cases} \quad s(t_1, t_2) = ?$$

$$22. \quad x = t - \operatorname{sh} t \operatorname{ch} t, \quad y = 2 \operatorname{ch} t; \quad s(0, t_1) = ?$$

Esetünkben:

$$\dot{x} = 1 - \operatorname{ch}^2 t - \operatorname{sh}^2 t = -2 \operatorname{sh}^2 t, \quad \dot{y} = 2 \operatorname{sh} t;$$

továbbá

$$\sqrt{\dot{x}^2 + \dot{y}^2} = \sqrt{4 \operatorname{sh}^4 t + 4 \operatorname{sh}^2 t} = 2 \operatorname{sh} t \sqrt{1 + \operatorname{sh}^2 t} = 2 \operatorname{sh} t \operatorname{ch} t = \operatorname{sh} 2t.$$

Ezekkel:

$$s(0, t_1) = \int_0^{t_1} \operatorname{sh} 2t \, dt = \left[ \frac{\operatorname{ch} 2t}{2} \right]_0^{t_1} = \frac{1}{2} (\operatorname{ch} 2t_1 - 1).$$

$\gamma$  1. Mekkora az  $r = e^{a\varphi}$  *logaritmikus spirális* ívhossza, ha  $0 \leq \varphi \leq \varphi_1$ .

Itt  $\dot{r} = ae^{a\varphi}$ ,  $r^2 + \dot{r}^2 = e^{2a\varphi} (1 + a^2)$ . Így:

$$s = \int_0^{\varphi_1} \sqrt{1 + a^2} e^{a\varphi} \, d\varphi = \frac{e^{a\varphi_1} - 1}{a} \sqrt{a^2 + 1}.$$

Ha  $\varphi_1 = -\infty$  (az aszimptotikus pontig):

$$s = (-) \frac{\sqrt{a^2 + 1}}{a}.$$

2.  $r = a(\varphi^2 - 1)$ ;  $0 \leq \varphi \leq \varphi_1$ ;  $-1 \leq \varphi \leq +1$  (zárt görbe).

Itt  $r^2 + \dot{r}^2 = a^2(\varphi^2 + 1)^2$ . Így:

$$s = a \int_0^{\varphi_1} (\varphi^2 + 1) \, d\varphi = a \left( \varphi_1 + \frac{\varphi_1^3}{3} \right).$$

Továbbá:

$$s(-1, 1) = \int_{-1}^{+1} (\varphi^2 + 1) \, d\varphi = a \left[ \varphi + \frac{\varphi^3}{3} \right]_{-1}^{+1} = \frac{8a}{3}.$$

3. *Kardioid*:  $r = 2a(1 + \cos \varphi)$ ;  $0 \leq \varphi \leq \varphi_1$ ;  $\dot{r} = -2a \sin \varphi$ .

$$\begin{aligned} s &= \int_0^{\varphi_1} \sqrt{4a^2(1 + \cos \varphi)^2 + 4a^2 \sin^2 \varphi} \, d\varphi = \int_0^{\varphi_1} \sqrt{8a^2(1 + \cos \varphi)} \, d\varphi = \\ &= \int_0^{\varphi_1} \sqrt{16a^2 \cos^2 \varphi / 2} \, d\varphi = 4a \int_0^{\varphi_1} \cos \frac{\varphi}{2} \, d\varphi = 8a \sin \frac{\varphi_1}{2}. \end{aligned}$$

4. *Archimedesi spirális*:  $r = a\varphi$ ;  $0 \leq \varphi \leq \varphi_1$ ;  $\dot{r} = a$ .

$$s = \int_0^{\varphi_1} \sqrt{a^2 \varphi^2 + a^2} d\varphi = a \int_0^{\varphi_1} \sqrt{1 + \varphi^2} d\varphi.$$

Helyettesítés:

$$\varphi = \operatorname{sh} t, \quad d\varphi = \operatorname{ch} t dt, \quad t = \operatorname{arsh} \varphi, \quad 0 \leq t \leq t_1 = \operatorname{arsh} \varphi_1.$$

Ezzel:

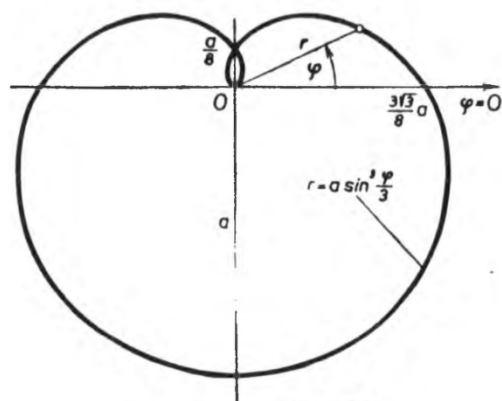
$$\begin{aligned} s &= a \int_0^{t_1} \operatorname{ch}^2 t dt = \frac{a}{2} \int_0^{t_1} (\cos 2t + 1) dt = \frac{a}{2} \left[ \operatorname{sh} t \operatorname{ch} t + t \right]_{t=0}^{t_1} = \\ &= \frac{a}{2} [\varphi_1 \sqrt{1 + \varphi_1^2} + \ln(\varphi_1 + \sqrt{1 + \varphi_1^2})]. \end{aligned}$$

5. *Hiperbolikus spirális*:  $r = \frac{a}{\varphi}$ ;  $1 \leq \varphi \leq \varphi_1$ ;

$$s = a \int_1^{\varphi_1} \frac{\sqrt{\varphi^2 + 1}}{\varphi^2} d\varphi = \int_{\operatorname{arsh} 1}^{\operatorname{arsh} \varphi_1} \operatorname{cth}^2 u du.$$

Végül:

$$s = a \left\{ \sqrt{2} - \frac{\sqrt{1 + \varphi_1^2}}{\varphi_1} + \ln \varphi_1 + \frac{\sqrt{1 + \varphi_1^2}}{1 + \sqrt{2}} \right\}.$$



120. ábra

6.  $r = a \frac{e^\varphi - 1}{e^\varphi + 1}$ ; ívhossza az origótól?

7.  $r = \frac{p}{1 + \cos \varphi}$ ;  $\varphi \leq \frac{\pi}{2}$ .

8.  $r = a \sin^3 \frac{\varphi}{3}$  (120. ábra).

$s(0, 3\pi) = ?$

9.  $r = a e^{2 \arcsin t} \sqrt{1 - t^2}$ ,  $\varphi = \arcsin t - \frac{1}{2} \ln(1 - t^2)$ , spirális: poláris-paraméteres megadás;  $0 \leq t \leq 1$ .

10.  $r = \frac{a}{\cos^2 \frac{\varphi}{2}}$ ;  $s\left(0, \frac{\pi}{2}\right) = ?$

11. Mekkora a  $\varphi = \frac{\sqrt{r^2 - a^2}}{a} - \arccos \frac{a}{r}$ , poláregyenletű körevolvens ív.

hossza a görbe kezdőpontjától számítva ( $r_0 = a$ )?

$$\varphi = \frac{r}{a \sqrt{r^2 - a^2}} - \frac{1}{\sqrt{1 - \frac{a^2}{r^2}}} \cdot \frac{a}{r^2} = \frac{r^2 - a^2}{ar \sqrt{r^2 - a^2}}.$$

Az integrálandó:

$$\sqrt{1 + r^2 \varphi^2(r)} = \sqrt{1 + r^2 \frac{r^4 - 2r^2 a^2 + a^4}{a^2 r^2 (r^2 - a^2)}} = \frac{r}{a}.$$

Tehát

$$s_1 = \int_a^{r_1} \frac{r}{a} dr = \frac{r_1^2 - a^2}{2a}.$$

12.  $\varphi = \frac{\sqrt{r^2 - a^2}}{r} - \arccos \frac{r}{a}$ ; kör trajektóriája;  $s(a, r_1) = ?$

13.  $\varphi = \frac{1}{2} \left( \frac{a}{r} + \frac{r}{a} \right)$ ;  $s(a, r_1) = ?$

## 5. §. TÉRFOGATSZÁMÍTÁS

### a) Általános megjegyzések

#### $\alpha_1$ ) Térfogatdifferenciál. Alapképletek

$\alpha_1$ ) Két szemléletes alapelvből indulunk ki: a) a testek térfogata additív tulajdonságú; b) az egyenes henger térfogata az alapterület és a magasság szorzatával egyenlő.

$\alpha_2$ ) Legyen ismeretes egy, pl. az  $x$  tengely mentén kiterjedő test  $e$  tengelyre merőleges metszetének  $T$  területe, mint az  $x$  abszcissza  $T(x)$  függvénye. A test  $[a, x_1]$  szakaszra eső darabjának térfogatát jelöljük  $V(a, x)$ -szel, mely szintén függvénye az  $x$ -nek. Ez utóbbi **differenciál**ja az

$[x, x + \Delta x]$  szakaszon így nyerhető (121. ábra):

$$T_{\min} \Delta x \leq \Delta V \leq T_{\max} \Delta x : T(x) \Delta x$$

$$\frac{T_{\min}}{T(x)} \leq \frac{\Delta V}{T(x) \Delta x} \leq \frac{T_{\max}}{T(x)}$$

Ha  $T(x)$  folytonos függvény, akkor  $\Delta x = dx \rightarrow 0$  határátmenetkor:

$$\lim_{\Delta x \rightarrow 0} \frac{\Delta V}{\Delta x} \cdot \frac{1}{T(x)} = \frac{dV}{dx} \cdot \frac{1}{T(x)} = 1$$

ahonnan a keresett differenciál:

$$dV = T(x) dx.$$

$\alpha_3$ ) A test térfogata tehát az  $a \leq x \leq b$  szakasz mentén:

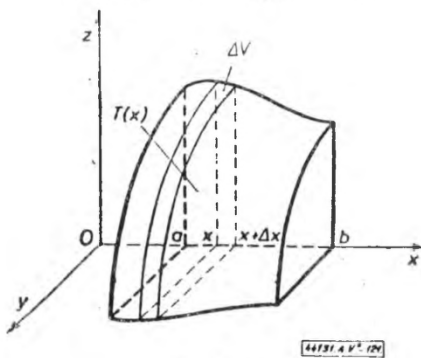
$$V(a, b) = \int_a^b T(x) dx,$$

a változó felső határu  $a \leq x \leq x_1$  szakasz mentén pedig:

$$V(a, x_1) = \int_a^{x_1} T(x) dx.$$

Megkivánjuk, hogy a  $T(x)$  függvény az adott szakaszon legalább részzszakaszonként folytonos (s így ezeken primitív függvénnyel rendelkező) legyen.

$\alpha_4$ ) A térfogatszámításhoz láthatóan az szükséges, hogy ismerjük valamely számegyenes mentén, tetszőleges  $x$  helyen  $e$  tengelyre merőleges metszet  $T(x)$  területét. Hang-



121. ábra

súlyozzuk, hogy általában a  $T(x)$ -et magát is integrálással határozzuk meg; így módon a  $V(a, x)$  térfogat számítása rendszerint kétszeres integrálást igényel.

$\alpha_b)$  Van azonban számos speciális eset, amelyekben a  $T(x)$  egyszerű megmondások alapján könnyen felírható, következésképpen a térfogatszámítás egyszeres integrálással eszközölhető. Vizsgáljunk ezek közül néhány fontosabbat!

### b) Forgástesttel kapcsolatos számítások

#### $\alpha_1)$ Forgástest térfogata

$\alpha_1)$  Forgassunk meg az  $x$  tengely körül az  $(x, y)$  síkban adott  $y = f(x)$  egyenletű görbe  $a \leq x \leq b$  szakaszmenti darabját. Az így nyert forgástest keresztmetszete valamely  $x$  helyen nyilván:

$$T(x) = y^2(x) \pi, \quad (122. \text{ ábra}),$$

tehát az említett forgástest térfogata [az a)-ban megadott értelemben]:

$$V_x(a, b) = \int_a^b T(x) dx = \pi \int_a^b y^2(x) dx.$$

$\alpha_2)$  Ha az  $y$  tengely körül forgatunk, akkor:

$$V_y(A, B) = \pi \int_A^B x^2(y) dy,$$

vagy

$$V_y(A, B) = \pi \int_a^b x^2 y'(x) dx.$$

$\alpha_3)$  Paraméteres megadás esetén:

$$V_x(\gamma, \delta) = \pi \int_{\gamma}^{\delta} y^2(t) x'(t) dt,$$

mert az  $\alpha_1)$ -beli képletben  $dx$  helyébe  $x'(t) dt$  irandó.

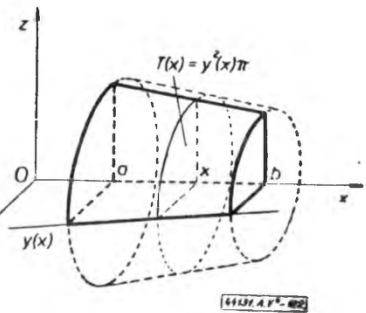
#### $\beta)$ Elliptikus test térfogata

Az előbbivel rokon kérdés! Legyen a test szimmetriatengelye az  $x$  tengely; akkor a rá merőleges metszet tetszőleges  $x$ -abszcisszájánál egy olyan ellipszis, amelynek egyik féltengelye az  $(x, y)$ -síkbán adott  $y = y(x)$  egyenletű görbe ordinátája, a másik féltengelye pedig az  $(x, z)$  síkban adott  $z = z(x)$  egyenletű görbe ordinátája; ezen ellipszis területe:

$$T(x) = \pi y(x) z(x).$$

A test  $[a, b]$  szakasz menti darabának térfogata tehát:

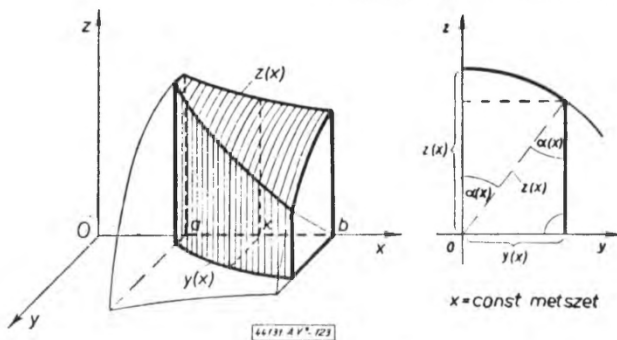
$$V(a, b) = \pi \int_a^b y(x) z(x) dx.$$



122. ábra

\*γ) Forgás- és hengerfelület határolta térrész

Legyen adva egy, az  $(x, z)$  síkban  $z = z(x)$  egyenletű meridián-görbe  $x$  tengely körüli forgatásával képzett forgásfelület, továbbá egy, az  $(x, y)$  síkban  $y = y(x)$  vezérgörbéjű és a  $z$ -tengellyel párhuzamos alkotójú egyenes hengerfelület.



123. ábra

E két görbefelület, valamint az  $(x, z)$  és az  $(x, y)$ -sík határolta testnek az  $x$ -tengelyre merőleges keresztmetszete tetszőleges  $x$ -helyen két részből áll: egy  $z(x)$  sugarú és  $\alpha = \arcsin \frac{y(x)}{z(x)}$  szögű körszeletből, valamint egy  $y(x)$  és  $\sqrt{z^2(x) - y^2(x)}$  befogójú derékszögű háromszögből (123. ábra). E keresztmetszet területé tehát:

$$T(x) = \frac{1}{2} y(x) \sqrt{z^2(x) - y^2(x)} + \frac{1}{2} z^2(x) \arcsin \frac{y(x)}{z(x)}.$$

Az említett test  $a \leq x \leq b$  szakasz menti darabjának térfogata ily módon:

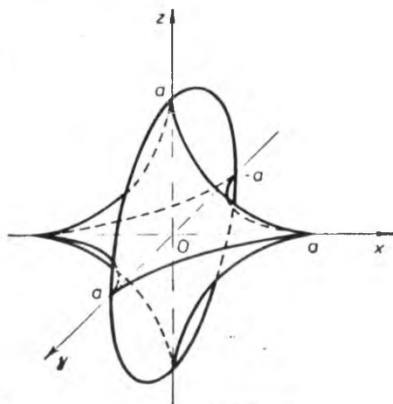
$$V(a, b) = \frac{1}{2} \int_a^b \left[ y(x) \sqrt{z^2(x) - y^2(x)} + z^2(x) \arcsin \frac{y(x)}{z(x)} \right] dx.$$

Példák és feladatok

α 1. Mekkora az  $x^{\frac{1}{2}} + y^{\frac{1}{2}} = a^{\frac{1}{2}}$  görbe  $0 \leq x \leq a$  szakasz menti darabjának az  $x$ -tengely körüli megforgatásával keletkező forgástest térfogata?

$$\begin{aligned} V &= \pi \int_{x=0}^a \underbrace{\left( a^{\frac{1}{2}} - x^{\frac{1}{2}} \right)^4}_{y^2(x)} dx = \pi \int_0^a \left[ a^2 - 4a^{\frac{3}{2}} x^{\frac{1}{2}} + \right. \\ &\quad \left. + 6ax - 4a^{\frac{1}{2}} x^{\frac{3}{2}} + x^2 \right] dx = \\ &= \pi \left[ a^2 x - 4a^{\frac{3}{2}} x^{\frac{3}{2}} \cdot \frac{2}{3} + \right. \\ &\quad \left. + 6ax^2 \cdot \frac{1}{2} - 4a^{\frac{1}{2}} x^{\frac{5}{2}} \cdot \frac{2}{5} + x^3 \cdot \frac{1}{3} \right]_0^a = \frac{a^3 \pi}{15}. \end{aligned}$$

2. Mekkora az  $x^{\frac{2}{3}} + y^{\frac{2}{3}} = a^{\frac{2}{3}}$  asztros  $x$ -tengely körüli megforgatásával nyert forgástest térfogata? (124. ábra.)



124. ábra

$$V = 2\pi \int_{x=0}^a \underbrace{\left(a^{\frac{2}{3}} - x^{\frac{2}{3}}\right)^3}_{v^3(x)} dx = 2\pi \int_0^a \left[a^2 - 3a^{\frac{4}{3}}x^{\frac{2}{3}} + 3a^{\frac{2}{3}}x^{\frac{4}{3}} - x^2\right] dx =$$

$$= 2\pi \left[a^3 - \frac{9}{5}a^3 + \frac{9}{7}a^3 - \frac{1}{3}a^3\right] = \frac{32}{105}\pi a^3.$$

3. Mekkora az  $y = \operatorname{ch} x$  görbe  $-1 \leq x \leq 1$  szakasz menti darabjának az  $x$ -tengely körüli megforgatásával nyert forgástest térfogata?

$$V = \pi \int_{x=-1}^{+1} \operatorname{ch}^2 x \, dx = \frac{\pi}{2} \left[ x + \frac{\operatorname{sh} 2x}{2} \right]_{-1}^{+1} = \frac{\pi}{2} (2 + \operatorname{sh} 2).$$

4. Mekkora az  $x^2 e^{2y} - y = 0$  görbe  $0 \leq y \leq 1$  szakasz menti darabjának  $y$ -tengely körüli megforgatásával nyert forgástest köbtartalma?

$$V = \pi \int_{y=0}^1 x^2(y) \, dy = \pi \int_0^1 y e^{-2y} \, dy.$$

Parciálisan integrálva:

$$V = \pi \left[ -\frac{y}{2} e^{-2y} \right]_0^1 - \frac{\pi}{4} \left[ e^{-2y} \right]_0^1 = -\frac{\pi}{2} e^{-2} - \frac{\pi}{4} (e^{-2} - 1) = -\frac{\pi}{4} [3e^{-2} - 1].$$

5. Mekkora az  $y^2 = ax \frac{x-3a}{x-4a}$  görbe ( $0 \leq x \leq 3a$ )  $x$ -tengely körüli megforgatásával keletkező test térfogata?

$$V = a\pi \int_{x=0}^{3a} x \frac{x-3a}{x-4a} dx = a \int_0^{3a} \left[ x + a + \frac{4a^2}{x-4a} \right] dx =$$

$$= a\pi \left[ \frac{x^2}{2} + ax + 4a^2 \ln(x-4a) \right]_0^{3a} = \frac{a^3\pi}{2} (15 - 16 \ln 2).$$

6. Mekkora az  $y = \frac{1}{3} \sqrt{x(3-x)}$  görbe ( $0 \leq x \leq 3$ )  $x$  tengely körüli megforgatásával keletkező forgástest térfogata?

$$V = \frac{\pi}{9} \int_{x=0}^3 x(3-x)^2 dx.$$

Folytassuk!

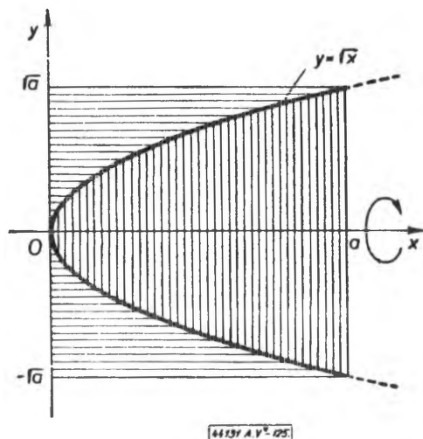
7. Forgassuk meg az  $y = a$  egyenest az  $x$ -tengely körül, a  $0 \leq x \leq m$  szakaszon. Mekkora az így keletkező  $a$  sugarú,  $m$  magasságú *körhenger* térfogata?

8. Mekkora az  $y = ax$  egyenes  $0 \leq x \leq m$  szakasz menti darabjának az  $x$ -tengely körüli megforgatásával képzett *kúp* térfogata?

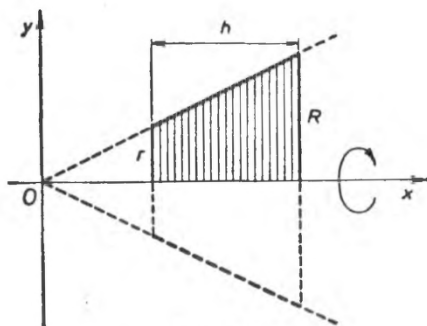


9. Mekkora az  $y = \frac{a}{2} \left( e^{\frac{x}{a}} + e^{-\frac{x}{a}} \right) = a \operatorname{ch} \frac{x}{a}$  görbe  $0 \leq x \leq a$  szakasz menti darabjának az  $x$ -tengely körüli megforgatásával képzett forgástest térfogata?

10. Forgassuk meg az  $y = \sqrt{x}$  parabolának a  $[0, a]$  szakaszhoz tartozó ívét az  $x$  tengely körül és igazoljuk, hogy a forgásfelület és az  $x = a$  helyen az  $x$  tengelyre állított merőleges sík határolta térfogat a körülvevő henger térfogatának felével egyenlő (125. ábra).



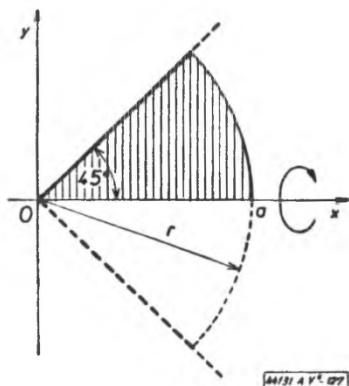
125. ábra



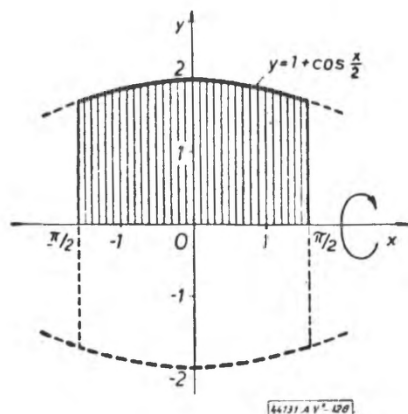
126. ábra

11. Határozzuk meg a 126. ábrán látható *csanakakúp* térfogatát. (Írjuk fel az alkotó egyenletét.)

12. Forgassuk meg a 127. ábrán látható *körcíkket* az  $x$  tengely körül. Számítsuk ki a nyert *gömbcikk* térfogatát.



127. ábra



128. ábra

13. Egy hordó dongájának egyenlete:

$$y = 1 + \cos \frac{x}{2}, \quad \text{ahol} \quad -\frac{\pi}{2} \leq x \leq \frac{\pi}{2}$$

Számítsuk ki a hordó köbtartalmát (128. ábra)

Forgassuk meg az alábbi görbéket az  $x$  tengely körül és határozzuk meg az így nyert forgásfelületek, valamint a megadott intervallumok végpontjaiban az  $x$  tengelyre merőleges síkok határolta térfogatát:

14.  $y = e^{2x}$ ;  $V_x(0, 2) = ?$

17.  $y = x - \frac{1}{x}$ ;  $V_x(1, 3) = ?$

15.  $y = \frac{1}{\sqrt{x}}$ ;  $V_x(1, 4) = ?$

18.  $y = 1 - x^2$ ;  $V_x(-1, 1) = ?$

16.  $y = \frac{x^3}{3}$ ;  $V_x(1, 2) = ?$

19.  $y^2 - x^2 = 1$ ;  $V_x(0, 3) = ?$

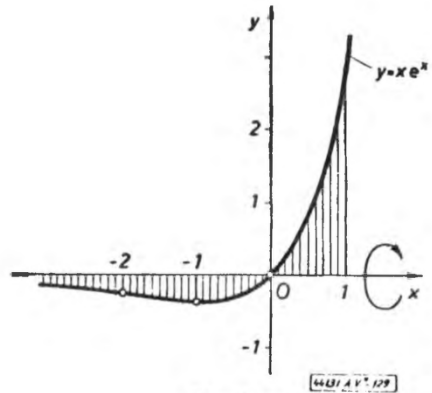
20.  $\sqrt{x} + \sqrt{y} = 1$ ;  $V_x(1, 4) = ?$

21.  $y = \cos^2 x$ ;  $V_x(0, \pi) = ?$

22.  $y = \frac{\sqrt{x} + 1}{\sqrt{x}}$ ;  $V_x(1, 3) = ?$

23.  $y = x e^x$ ;  $V_x(-\infty, 0) = ?$   
 $V_x(0, 1) = ?$  (129. ábra.)

24.  $y = \ln x$ ;  $V_x(1, 3) = ?$



129. ábra

25. Forgassuk meg az  $y = 5 - x^2$  görbét az  $y$  tengely körül és állapítsuk meg az így keletkező forgástest térfogatát az  $1 \leq y \leq 3$  szakaszon.

Kétféle módon is eljárhatunk.

a) Megállapítjuk az inverz függvényt és  $y$  integrálási változóval dolgozunk, a megadott határok mellett:

$$x = \sqrt{5 - y}, \quad x^2 = 5 - y$$

es ezzel

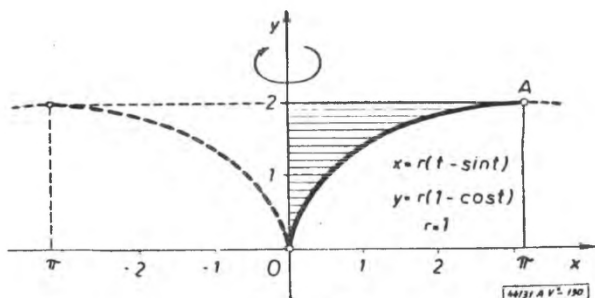
$$\begin{aligned} V_y &= \pi \int_A^B x^2(y) dy = \pi \int_1^3 (5 - y) dy = \pi \left[ 5y - \frac{y^2}{2} \right]_1^3 = \\ &= \pi \left[ 15 - \frac{9}{2} - 5 + \frac{1}{2} \right] = 6\pi. \end{aligned}$$

b) Az  $x$  integrálási változóval dolgozunk, megállapítjuk az adott függvény alapján ennek változási határait:

$$a = 2, \quad b = \sqrt{2} \quad \text{és} \quad dy = f'(x) dx = -2x dx, \quad \text{amelyekkel:}$$

$$\begin{aligned} V_y &= \pi \int_a^b x^2 f'(x) dx = -2\pi \int_2^{\sqrt{2}} x^3 dx = +2\pi \int_{\sqrt{2}}^2 x^3 dx = \\ &= \frac{\pi}{2} \left[ x^4 \right]_{\sqrt{2}}^2 = \frac{\pi}{2} [16 - 4] = 6\pi. \end{aligned}$$

Forgassuk meg az alábbi görbéket az  $y$  tengely körül, és határozzuk meg az így nyert forgásfelületek, valamint az  $y$ -ra megadott intervallum végpontjaiban az  $y$  tengelyre merőleges síkok határolta térrész térfogatát. Dolgozzunk esetenként az előnyösebbik módszerrel, esetleg mindkettővel.



130. ábra

26.  $y = x^3$ ;  $V_y(0, 3) = ?$

27.  $y = \frac{1}{x^2}$ ;

$V_y(1, 4) = ?$

28.  $y = \frac{2}{1 + 2x^2}$ ;

$V_y(1, 2) = ?$

29.  $y = \ln x$ ;  $V_y(0,5, 1,5) = ?$

32.  $\sqrt{x} + \sqrt{y} = 1$ ;  $V_y(1, 4) = ?$

30.  $y = \frac{1}{1-x}$ ;  $V_y(1, 3) = ?$

33.  $y = \frac{\sqrt{x+1}}{\sqrt{x}}$ ;  $V_y(2, 4) = ?$

31.  $y^2 - x^2 = 1$ ;  $V_y(1, 3) = ?$

34.  $y = e^x$ ;  $V_y(1, 2) = ?$

35. Forgassuk meg az

$$x = r(t - \sin t), \quad y = r(1 - \cos t)$$

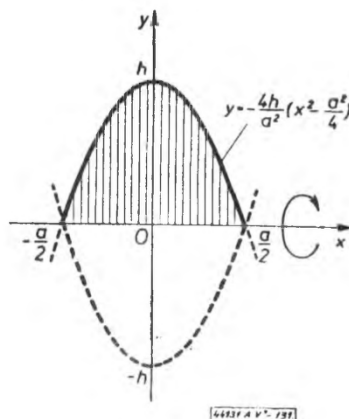
cikloisnak a paraméter  $0 \leq t \leq \pi$  szakaszához tartozó  $\widehat{OA}$  darabját az  $y$  tengely körül, és számítsuk ki a keletkező forgásfelület, valamint az  $y$  tengelyre az  $y = 2r$  pontjában merőleges sík határolta test térfogatát (130. ábra).

36. Kiszámítandó azon test köbtartalma, melyet az  $y = 4x^2$  parabola saját tengelye körüli forgatásával nyert felület (forgási paraboloid) és a csúcsától 1 egységre fekvő, a tengelyére merőleges sík határol.

37. A  $2a$  nagy tengelyű,  $2b$  kis tengelyű ellipszist megforgatjuk 1) a nagy tengelye körül; 2) a kis tengelye körül. Határozzuk meg az így nyert forgási ellipszoidok térfogatát. Mint speciális esetet, számítsuk ki a gömb köbtartalmát.

38. Az  $a$  alapú,  $h$  magassagu szimmetrikus parabolikus szegmenst (131. ábra) megforgatjuk az alapja körül. Határozzuk meg az így nyert forgástest köbtartalmát. („Cavalieri-féle citrom.”)

39. Az  $x^2 - y^2 = a^2$  hiperbola és az  $x = a + h$  ( $h > 0$ ) egyenes határolta síkreszt (132. ábra) megforgatjuk az abszcissa-tengely körül. Határozzuk meg az így nyert forgástest köbtartalmát.



131. ábra

40. A görbevonaltú trapéz az  $y = xe^x$  görbe, valamint az  $x = 1$  és  $y = 0$  egyenesek határolják. Forgassuk meg ezt az  $x$  tengely körül, és határozzuk meg az így nyert test köbtartalmát.

41. Az  $y = \frac{e^x + e^{-x}}{2}$  láncgörbét megforgatjuk az  $x$  tengely körül. (Az így nyert felületet

lánccelületnek [katenoidnak] nevezzük.) Határozzuk meg a láncfelület, valamint az  $x = a$  és  $x = b$  síkok közötti térrész köbtartalmát.

42. Az  $y = x^2$  és  $y^2 = x$  parabolák által határolt síkrészt megforgatjuk az  $x$  tengely körül. Számítsuk ki az így nyert test térfogatát.

43. Határozzuk meg az  $(x - 4)^2 = x(x - 3)$  görbe alatti (+) terület  $x$  tengely körüli megforgatása által nyert test térfogatát.

44. Határozzuk meg az  $y = \arcsin x$  görbe  $[0, 1]$  szakaszra eső darabjának  $x$  tengely körüli megforgatása által nyert test térfogatát.

45. Határozzuk meg az  $(x^2 + y^2)^2 = a^2(x^2 - y^2)$  lemniszkáta  $x$  tengely körüli megforgatása által nyert forgástest térfogatát.

46. Határozzuk meg az 1)  $x^4 + y^4 = a^2x^2$ ; 2)  $x^4 + y^4 = x^3$  görbék által meghatározott síkrész  $x$  tengely körüli megforgatása által nyert testek térfogatát.

47. Az  $x = a(t - \sin t)$ ,  $y = a(1 - \cos t)$  ciklois egy teljes ívét megforgatjuk az  $x$  tengely körül. Számítsuk ki az így nyert forgástest térfogatát.

48. Az ellipszis evolvensének paraméteres egyenletrendszerre:

$$x = \frac{c^2}{a} \cos^3 t; \quad y = -\frac{c^2}{b} \sin^3 t.$$

Első negyedbeli ívét megforgatjuk az abszcissa-tengely körül. Mekkora az így nyert forgástest térfogata?

49. Meghatározandó az  $y = \sin x$  görbe fél periódusra eső darabjának az  $y$  tengely körüli megforgatásával keletkezett test térfogata.

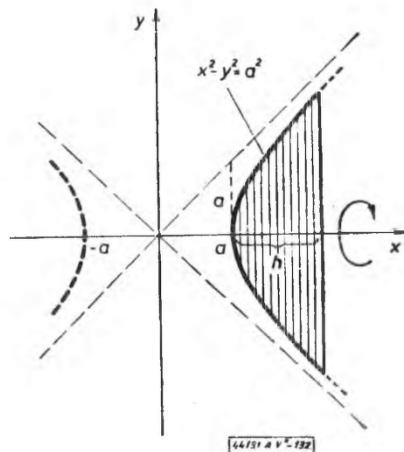
50. Határozzuk meg azon végtelen orsó köbtartalmát, melyet az  $y = \frac{1}{1+x^2}$  görbének saját aszimptótája körüli megforgatásával kapunk. Mekkora a térfogata a  $[-a, a]$  szakaszon?

51. Az  $y^2 = 2e xe^{-2x}$  görbét megforgatjuk aszimptótája körül. Határozzuk meg az így nyert forgástest térfogatát.

\*52. Forgassuk meg az

$$y = \sqrt{\frac{x^3}{2a-x}}$$

egyenletű ciszoidot az  $x$  tengely körül. Mekkora az így előálló forgástest térfogata az  $x$  függvényében? (75. ábra.)



132. ábra

Ekkor:

$$V(0, x_1) = \pi \int_0^{x_1} y^2 dx = \pi \int_0^{x_1} \frac{x^3}{2a - x} dx.$$

Osztás, majd elemi integrálás után kapjuk:

$$V(0, x_1) = \pi \left\{ 8a^3 \ln \left( \frac{2a}{2a - x_1} \right) - x_1 \left( 4a^2 + ax_1 + \frac{1}{3} x_1^2 \right) \right\}.$$

Speciális esetben  $x = a$ , ekkor:

$$V(0, a) = 8\pi \left( \ln 2 - \frac{2}{3} \right) a^3.$$

Ha az aszimptótája (az  $x = 2a$  egyenes) körül torog a ciszoid, akkor az  $y = \text{const.}$  metszetek körök, melyek sugara  $|2a - x|$ . Ily módon:

$$\begin{aligned} V(0, y_1) &= \pi \int_0^{y_1} (2a - x)^2 dy = \pi \int_0^{x_1} (3a - x) \sqrt{2ax - x^2} dx = \\ &= \pi \left\{ a^3 \arccos \frac{a - x_1}{a} - \frac{3a^3 - 5a x_1 + x_1^2}{3} \sqrt{2a x_1 - x_1^2} \right\}. \end{aligned}$$

Ha a teljes forgástest köbtartalmát számoljuk, akkor  $y_1 \rightarrow \infty$  és megfelelően  $x_1 \rightarrow 2a$ : tehát:

$$V_\infty = \pi^2 a^3.$$

Mind a 2 térfelet figyelembe véve:  $(-\infty < v < +\infty)$ :

$$V_\infty = 2\pi^2 a^3.$$

\*53. Legyen a koordináta-rendszer kezdőpontja a kardioid képzőkörének középpontja (133. ábra).

Ekkor a kardioid egyenlete:

$$y^2 = 3a^2 - x^2 \pm 2a \sqrt{3a^2 - 2ax},$$

ahol  $x = -3a$ -tól  $x = +a$ -ig a pozitív,  $x = +a$ -tól  $x = +\frac{3}{2}a$ -ig mind a két előjel értelmezhető. Mekkora azon forgástest köbtartalma, melyet a kardioid  $x$  tengely körüli forgatásával nyerünk? Az alsó határ legyen  $x_a = -3a$ .

Így a köbtartalom:

$$\begin{aligned} V(-3a, x_1) &= \pi \int_{-3a}^{x_1} (3a^2 - x^2 \pm 2a \sqrt{3a^2 - 2ax}) dx = \\ &= \pi \left[ 3a^2 x - \frac{x^3}{3} \pm \frac{2}{3} \sqrt{(3a^2 - 2ax)^3} \right]_{-3a}^{x_1} = \\ &= \pi \left[ 18a^3 + 3a^2 x_1 - \frac{1}{3} x_1^3 \pm \frac{2}{3} \sqrt{(3a^2 - 2ax_1)^3} \right]. \end{aligned}$$

Ha  $x_1 = a$ , akkor:

$$V(-3a, a) = 20\pi a^3.$$

Ha pedig  $x_a = a$ , figyelembe véve a gyök kettős előjelét, a különbségi térrész köb-tartalma:

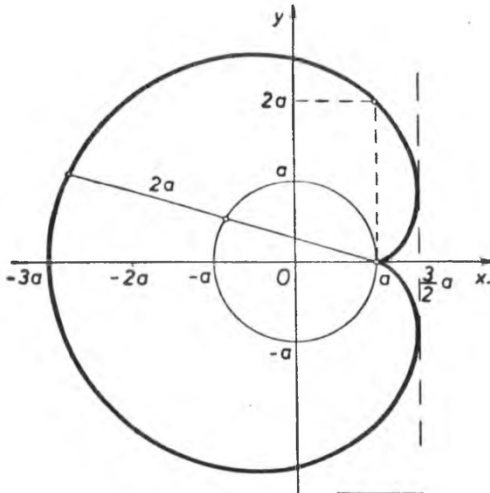
$$V(a, x_1) = 4a\pi \int_0^{x_1} \sqrt{3a^2 - 2ax} \, dx = \frac{4}{3} \pi [a^3 - \sqrt{(3a^2 - 2ax_1)^3}].$$

Érdekes, hogy ezek alapján az  $\left[a, \frac{3}{2}a\right]$  közti gyűrűalakú rész térfogata:

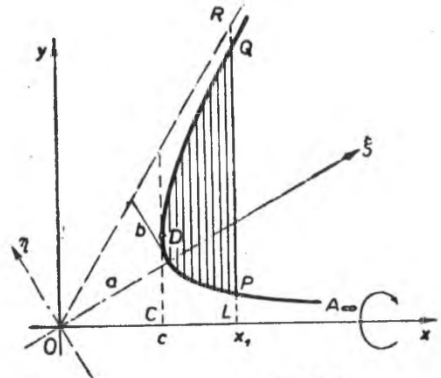
$$V\left(a, \frac{3}{2}a\right) = \frac{4}{3} \pi a^3.$$

Ha ehhez hozzáadjuk a  $[-3a, a]$  közti rész térfogatát, az  $a$  sugarú gömb térfogatának 16-szorosát kapjuk!

**\*\*54.** Egy hiperbolát, melynek  $a$  valós féltengelye nagyobb, mint  $b$  képzetes féltengelye, az  $\overline{OA_\infty}$  aszimptótája körül megforgatunk. Meghatározandó a  $PDQP$  metszetű, gyűrűalakú test térfogata (134. ábra).



133. ábra



134. ábra

Legyen a forgástengely az  $x$  tengely, a  $P$  és  $Q$  pontra illeszkedő, rá merőleges egyenes pedig az  $y$  tengely. E derékszögű koordinátarendszerben a görbe egyenletét az eredeti  $\frac{x^2}{a^2} - \frac{y^2}{b^2} = 1$  egyenletből — az  $\alpha = \arctg \frac{b}{a}$  szögű elforgatásnak megfelelően —

$$\xi = \frac{a}{\sqrt{a^2 + b^2}} x + \frac{b}{\sqrt{a^2 + b^2}} y, \quad \eta = -\frac{b}{\sqrt{a^2 + b^2}} x + \frac{a}{\sqrt{a^2 + b^2}} y$$

transzformáció segítségével kapjuk; némi átalakítás után:

$$(a^2 - b^2) y^2 - 2abxy + a^2 b^2 = 0.$$

Ebből meghatározható azon két  $y$  érték, mely az  $LP$  és  $LQ$  ordinátának felel meg. A görbe egyenletéből kifejezve  $y^2$ -et, nyerjük:

$$y_{1,2} = \frac{2abx \pm \sqrt{a^2 b^2 4x^2 - 4a^2 b^2 (a^2 - b^2)}}{2(a^2 - b^2)} = \frac{ab(x \pm \sqrt{x^2 - a^2 + b^2})}{a^2 - b^2},$$

$$y_{1,2}^2 = \frac{a^2 b^2}{(a^2 - b^2)^2} (x^2 \pm 2x \sqrt{x^2 - a^2 + b^2} + x^2 - a^2 + b^2).$$

Az  $x = \sqrt{a^2 - b^2}$  helyen láthatóan a diszkrimináns 0, azaz itt  $y_1 = y_2 = \frac{ab}{\sqrt{a^2 - b^2}}$ ; ezen ordináta egyszersmind *érintője* is a görbének. Figyelembe véve, hogy  $a^2 - b^2 = c^2$  és integrálva az  $y_1^2 - y_2^2 = 4x \sqrt{x^2 - a^2 + b^2} = 4x \sqrt{x^2 - c^2}$  kifejezést (tekintettel a gyűrűtestre, mint két forgáster: különbségére) nyerjük:

$$V_1(c, x_1) = \pi \int_{x_0=\sqrt{a^2-b^2}}^{x_1} 4x \sqrt{x^2 - c^2} dx = \frac{4\pi a^2 b^2}{3c^4} \sqrt{(x_1^2 - c^2)^3}.$$

Ezután meghatározhatjuk az  $OLPDQRO$  felület megforgatásából keletkező forgástest  $V_3$  térfogatát. Lévé  $\operatorname{tg} \alpha = \frac{b}{a}$ ,  $\operatorname{tg} 2\alpha = \frac{2ab}{a^2 - b^2} = \frac{2ab}{c^2}$  és a megforgatott egyenes  $y = \operatorname{tg} 2\alpha \cdot x$ , írhatjuk:

$$V_2(0, x_1) = \pi \int_0^{x_1} y^2 dx = \frac{4\pi a^2 b^2}{c^4} \int_0^{x_1} x^2 dx = \frac{4\pi a^2 b^2}{3c^4} x_1^3.$$

Ily módon:

$$V_3(0, x_1) = V_2(0, x_1) - V_1(c, x_1) = \frac{4\pi a^2 b^2}{3c^4} [x_1^3 - \sqrt{(x_1^2 - c^2)^3}].$$

55. Forgassuk meg az  $x = a(t - \sin t)$ ,  $y = a(1 - \cos t)$  cikloist tüggőleges szimmetria-tengelye körül. Határozzuk meg az így nyert forgástest köbtartalmát.

56. Meghatározandó azon test köbtartalma, melyet az  $x + y = 4$  egyenessel és a  $\sqrt{x} + \sqrt{y} = 2$  parabolával meghatározott parabola-szegmensnek az  $y = x$  egyenes körüli megforgatása útján kapunk. (Válasszuk új koordinátatengelynek az  $y = x$  és  $y + x = 4$  egyeneseket.)

57. a) Az  $y = e^{-x}$  görbe és aszimptótája által határolt síkrészt megforgatjuk az ordinátatengely körül. Határozzuk meg az így keletkezett test térfogatát.

b) Ugyanezt a síkrészt forgassuk meg az  $x$  tengely körül. Határozzuk meg az így nyert test térfogatát. (Használjuk fel, hogy  $\int_0^{\infty} e^{-x^2} dx = \frac{\sqrt{\pi}}{2}$ ).

58. Határozzuk meg az  $y = x^2 e^{-x}$  görbének aszimptótája körüli megforgatásával képzett test köbtartalmát. (Lásd az előző feladathoz adott útmutatást.)

59. Határozzuk meg az  $y = \frac{\sin x}{x}$  görbe  $x$  tengely körüli megforgatásával képzett test

térfogatát.  $\left( \text{Vegyük figyelembe, hogy } \int_0^{\infty} \frac{\sin x}{x} dx = \frac{\pi}{2} \right)$ .

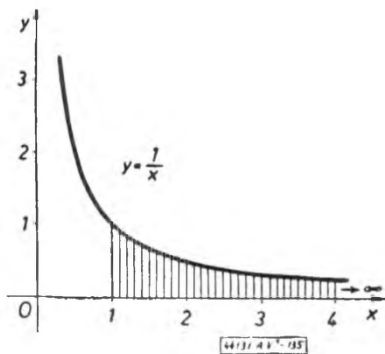
60. Határozzuk meg az  $x = a \left( \cos t + \ln \operatorname{tg} \frac{t}{2} \right)$ ,  $y = a \sin t$  *traktrix*nak aszimptótája körüli megforgatásával képzett térfogatát.

61. Határozzuk meg az  $y = \frac{1}{x}$  egyenlőszárú *hiperbola* esetében a 135. ábrán vonalkázással feltüntetett, végtelenbe nyúló görbe alatti területet.

A kért terület:

$$\int_1^{\infty} \frac{dx}{x} = \left[ \ln x \right]_1^{\infty} = \lim_{x \rightarrow \infty} \ln x - \ln 1 = \infty.$$

Határozzuk meg ezután azt a térfogatot, amely ezen területnek az  $x$  tengely körüli forgatásakor keletkezik:



135. ábra

$$V = \pi \int_1^{\infty} y^2 dx = \pi \int_1^{\infty} \frac{dx}{x^2} = \pi \left[ -\frac{1}{x} \right]_1^{\infty} = \pi \left[ \lim_{x \rightarrow \infty} \left( -\frac{1}{x} \right) + 1 \right] = \pi.$$

Azt az — első pillanatra szokatlanul hangzó — eredményt kaptuk tehát, hogy egy *végtelen területű síkrész megforgatásakor véges térfogatú forgástest is jöhet létre.*

62. Az  $y = x^{\frac{2}{3}}$  *Neil-féle parabola* felső ágának  $[0, a]$  szakaszmenti darabját megforgatjuk mindkét tengely körül. Milyen  $a$  érték mellett lesz az így keletkező *két forgástest térfogata egyenlő?*

A két forgástest térfogata:

$$V_x(0, a) = \pi \int_0^a x^3 dx = \frac{\pi a^4}{4},$$

illetve

$$V_y[0, f(a)] = \pi \int_0^{\frac{3}{2}a} x^2 dy = \pi \int_0^{\frac{3}{2}a} y^{\frac{4}{3}} dy = \frac{3\pi}{7} \left[ y^{\frac{7}{3}} \right]_0^{\frac{3}{2}a} = \frac{3}{7} \pi a^{\frac{7}{2}}.$$

Ezek egyenlők:

$$V_x(0, a) = V_y \left( 0, a^{\frac{3}{2}} \right), \quad \text{ha} \quad \frac{\pi a^4}{4} = \frac{3\pi}{7} a^{\frac{7}{2}},$$



azaz

$$a = \frac{144}{49}.$$

63. Az előző példabeli *Neil-féle parabolának* most ne az  $x$ , illetve az  $y$  tengely  $[0, a]$ , illetve  $[0, a^{\frac{3}{2}}]$  szakasza menti darabját forgassuk meg a két tengely körül, hanem mindkét tengely  $[0, a]$  szakasza menti darabját. Oldjuk meg az előző feladatot erre az esetre!

A két forgástest térfogata:

$$V_x(0, a) = \pi \int_0^a x^3 dx = \frac{\pi a^4}{4},$$

illetve

$$V_y(0, a) = \pi \int_0^a y^{\frac{4}{3}} dy = \frac{3\pi a^{\frac{7}{3}}}{7}.$$

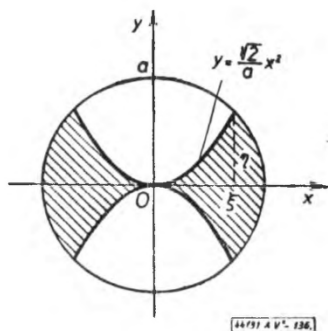
Ezek egyenlők:

$$V_x(0, a) = V_y(0, a). \quad \text{ha} \quad \frac{\pi a^4}{4} = \frac{3\pi a^{\frac{7}{3}}}{7},$$

azaz

$$a = 2 \sqrt[5]{\frac{54}{343}} \approx 1,382.$$

64. Az  $x^2 + y^2 = a^2$  kör felső felét elmetsszük az  $y = \frac{\sqrt{2}}{a} x^2$  parabolával; kiszámítandó a 136. ábrán vonalkázott síkrész  $x$  tengely körüli megforgatása által nyert test térfogata.



136. ábra

A két egyenletből a metszéspontok koordinátái:

$$\xi = \pm \frac{a}{\sqrt{2}}, \quad \eta = \frac{a}{2} \sqrt{2}.$$

Ezzel (tekintettel a szimmetriára):

$$V = 2\pi \left[ \int_0^{\frac{a}{\sqrt{2}}} \frac{2x^4}{a^2} dx + \int_{\frac{a}{\sqrt{2}}}^a (a^2 - x^2) dx \right] =$$

$$= 2\pi \left\{ \frac{2}{5a^2} \left( \frac{a}{\sqrt{2}} \right)^5 + a^2 \left( a - \frac{a}{\sqrt{2}} \right) - \frac{1}{3} \left( a^3 - \left( \frac{a}{\sqrt{2}} \right)^3 \right) \right\} = 2\pi a^3 \left( \frac{2}{3} - \frac{11}{30} \sqrt{2} \right) \approx 9,31 a^2.$$

65. Az  $y = x(x - a)$  parabola  $[0, c]$  szakaszmenti darabját ( $c > a > 0$ ) megforgatjuk az  $x$  tengely körül. Mekkora  $c$  érték esetén lesz az így keletkező forgástest térfogata egyenlő azon kúpéval, mely az  $OP$  húr  $x$  tengely körüli megforgatása által keletkezik? ( $P$  a görbe  $c$  abszcisszájú pontja. 137. ábra.)

A forgástest térfogata egyelőre határozatlan  $c$  értékkel:

$$V = \pi \int_0^c x^2 (x - a)^2 dx = \pi \int_0^c (x^4 - 2ax^3 + a^2x^2) dx = \pi \left( \frac{c^5}{5} - \frac{ac^4}{2} + \frac{a^2c^3}{3} \right).$$

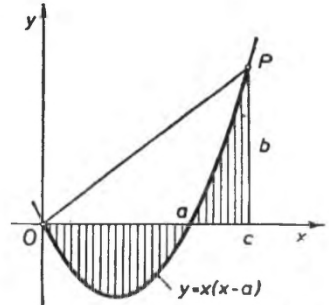
A kúp alapkörének sugara (lévén  $P$  az adott görbe pontja):  $b = c(c - a)$ , magassága:  $c$ , térfogata tehát:

$$V_{\text{kúp}} = \frac{\pi c^3(c - a)^2}{3}.$$

A feltétel szerint a két térfogat egyenlő:

$$V = V_{\text{kúp}}, \text{ azaz } \pi \left( \frac{c^5}{5} - \frac{ac^4}{2} + \frac{a^2c^3}{3} \right) = \frac{\pi c^3(c - a)^2}{3};$$

ebből a  $c = \frac{5}{4}a$  érték adódik.



137. ábra

66. Az  $y = \frac{\sqrt{x}}{1+x^2}$  görbét megforgatjuk az  $x$  tengely körül.  $V(0, x_1) = ?$   
 $V(0, \infty) = ?$  Milyen  $a$  érték mellett lesz  $V(0, a) = \frac{1}{2} V(0, +\infty)$ ? (L. hátul a 189. ábrát!)

Az ismert formulával:

$$\begin{aligned} V(0, x_1) &= \pi \int_0^{x_1} \frac{x dx}{(1+x^2)^2} = \frac{\pi}{2} \int_0^{x_1} \frac{2x dx}{(1+x^2)^2} = \frac{\pi}{2} \left[ -\frac{1}{1+x^2} \right]_0^{x_1} = \\ &= \frac{\pi}{2} \left( 1 - \frac{1}{1+x_1^2} \right) = \frac{\pi}{2} \frac{x_1^2}{1+x_1^2}. \end{aligned}$$

Eszerint:

$$V(0, \infty) = \frac{\pi}{2}$$

és

$$V(0, a) = \frac{\pi}{2} \frac{a^2}{1+a^2} = \frac{\pi}{4}, \text{ ha } a = 1.$$

Tehát:

$$V(0, 1) = \frac{1}{2} V(0, \infty).$$

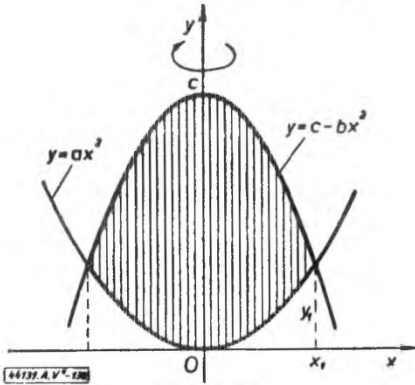
67. Egy *kehelyalakú próbaüveg*, amely az  $y^2 = 2px$  parabolának  $y$  tengely körüli megforgatása által keletkezik,  $h$  magasságig folyadékkal van töltve. Mennyivel emelkedik a folyadéktükör, ha még  $m$  térfogategységnyi folyadékot töltünk hozzá?

Jelöljük az *emelkedést*  $\delta$ -val. A fektetés szerint:

$$m = \pi \int_h^{h+\delta} x^2 dy, \quad \text{ahol } x = \frac{y^2}{2p}.$$

Ezzel:

$$m = \frac{\pi}{4p^2} \int_h^{h+\delta} y^4 dy = \frac{\pi}{20p^2} [(h+\delta)^5 - h^5].$$



138. ábra

Ebből  $\delta$ -t kifejezve:

$$\delta = \sqrt[5]{h^5 + \frac{20mp^2}{\pi}} - h.$$

68. Meghatározandó az  $y = ax^2$  és  $y = c - bx^2$  ( $a, b, c > 0$ ) görbék közti területnek az  $y$  tengely körüli megforgatásával képzett test térfogata (138. ábra).

A két parabola *metéspontjainak* koordinátái:

$$x_{1,2} = \pm \sqrt{\frac{c}{a+b}}, \quad y_{1,2} = \frac{ac}{a+b}.$$

Ezzel a tértogar:

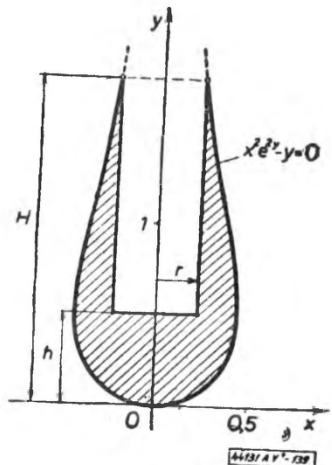
$$\begin{aligned} V &= \pi \int_0^{y_1} \frac{y}{a} dy + \pi \int_{y_1}^c \frac{c-y}{b} dy = \\ &= \pi \left[ \frac{y^2}{2a} \right]_0^{y_1} + \frac{\pi}{b} \left[ cy - \frac{y^2}{2} \right]_{y_1}^c = \\ &= \pi \left[ \frac{y_1^2}{2a} + \frac{c(c-y_1)}{b} - \frac{c^2 - y_1^2}{2b} \right]. \end{aligned}$$

Közös nevezőre hozva, majd  $y_1$  értékét behelyettesítve és összevonva kapjuk:

$$V = \frac{\pi}{2} \frac{c^2}{a+b}.$$

69. Meghatározandó a 139. ábrán látható síkrész  $y$  tengely körüli megforgatásával képzett test köbtartalma. A meridiángörbe egyenlete:

$$x^2 e^{2y} - y = 0.$$



139. ábra

A teljes forgástest köbtartalma:

$$\begin{aligned} V_1 &= \pi \int_0^H x^2 dy = \pi \int_0^H y e^{-2y} dy = \frac{\pi}{2} \left[ y e^{-2y} \right]_0^H + \frac{\pi}{2} \int_0^H e^{-2y} dy = \\ &= \frac{\pi}{2} H e^{-2H} - \frac{\pi}{4} (e^{-2H} - 1). \end{aligned}$$

A belső körhenger  $r$  sugara, mint a  $H$  ordinátához tartozó abszcissza:  $r = \sqrt{H} e^{-H}$ ; a körhenger térfogata tehát:

$$V_2 = H e^{-2H} \cdot \pi (H - h).$$

A keresett térfogat végül:

$$V = V_1 - V_2 = \left\{ 1 - e^{-2H} [1 - 2H + 4H(H - h)] \right\} \frac{\pi}{4}.$$

70. Egy forgási paraboloid-alakú porcelántégely (külső magassága  $H = 10$  cm, fa, sűrűsége  $2,5 \text{ g/cm}^3$ ) az

$$y = \frac{1}{10} x^2, \quad \text{illetve} \quad y = \frac{1}{10} (x^2 + 10)$$

parabolák  $y$  tengely körüli megforgatása útján keletkezik. A tégely egy medencében úszik (140. ábra). Milyen mélyen merül le, ha  $h = 2$  cm-nyi magasságig higany van benne (ennek fajsűrűsége  $13,5 \text{ g/cm}^3$ )?

A tégely köbtartalma:

$$\begin{aligned} V &= \pi \int_0^H 10y dy - \pi \int_1^H 10(y - 1) dy = \\ &= 5\pi [H^2 - (H - 1)^2]; \end{aligned}$$

a  $H$  értéket behelyettesítve pedig:

$$V = 95\pi = 298,45 \text{ cm}^3.$$

A tégely súlya:

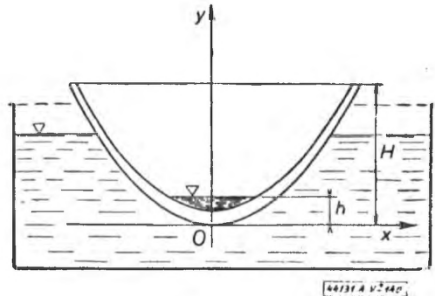
$$G = 746,13 \text{ g}.$$

A higany köbtartalma:

$$V_{hg} = 10\pi \int_1^2 (y - 1) dy = 10\pi \left[ \frac{y^2}{2} - y \right]_1^2 = 5\pi \text{ cm}^3,$$

súlya pedig:

$$G_{hg} = 13,5 \cdot 5\pi = 212,06 \text{ g}.$$



140. ábra

A lemerülési mélységet jelöljük egyelőre  $z$ -vel. A lemerülés — Archimedes törvénye szerint (l. a 8. §.-ban) — akkora, hogy a kiszorított víz súlya éppen egyenlő az egész test súlyával. A kiszorított víz térfogata (és számértékben súlya):

$$V_{v\text{íz}} = \pi \int_0^z 10y \, dy = 5\pi z^2 = G_{v\text{íz}}.$$

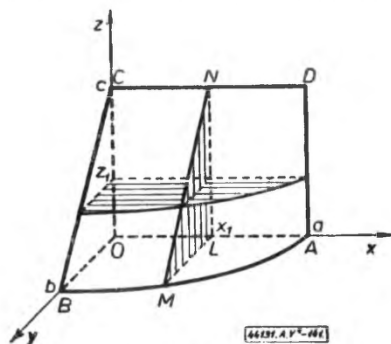
Ezt egyenlővé téve a tégely és higany összsúlyával, nyerjük:

$$5\pi z^2 = 2,5 \cdot 95\pi + 13,5 \cdot 5\pi.$$

A kért lemerülési mélység tehát:

$$z = \sqrt{61} \approx 7,81 \text{ cm}.$$

$\beta$  | 1. Valamely felület nyomvonala az  $(x, y)$  síkon  $OA = a$  és  $OB = b$  féltengelyű ellipszis, az  $(x, z)$  síkon pedig az  $x$  tengelytől  $OC = c$  távolságban futó, vele párhuzamos  $CD = a$  egyenes (141. ábra). Ennek az elliptikus ék-felületnek az  $(y, z)$  síkkal párhuzamos metszeteit egyenesek határolják. Határozzuk meg e test térfogatát a  $z$  függvényében.



141. ábra

Itt az alap- és  $OP = z_1$  ordinátájú sík közötti test térfogata:

$$V(0, z_1) = \frac{1}{4} \int_0^{z_1} \pi x y \, dz,$$

ugyanis a test  $z = \text{const.}$  metszetei negyed-ellipszisek. Minthogy:

$$x = a \quad \text{és} \quad y = b - \frac{b}{c} z = \frac{cb - bz}{c} = \frac{b}{c} (c - z),$$

ezért a kért térfogat:

$$V(0, z_1) = \frac{\pi}{4} \int_0^{z_1} \frac{ab}{c} (c - z) \, dz = \frac{\pi ab}{4} z_1 \left( 1 - \frac{z_1}{2c} \right).$$

Ha  $z_1 = c$ -vel, ez így alakul:

$$V(0, c) = \frac{\pi abc}{8}.$$

Ugyanezt kell kapnunk, ha a c) 3. példában a

$$V(0, x_1) = \frac{bc}{4} \left[ \frac{x_1}{a} \sqrt{a^2 - x_1^2} + a \arcsin \frac{x_1}{a} \right]$$

képletbe  $x_1 = a$ -t helyettesítünk.

2. Állapítsuk meg az  $y = x$  és  $z = x^2$  egyenletű görbékkel meghatározott elliptikus test  $x = 0$  és  $x = x_1$ , majd  $x = 0$  és  $x = a$  egyenletű síkok közé eső részének térfogatát (142. ábra).

Esetünkben:

$$V(0, x_1) = \pi \int_0^{x_1} y(x) z(x) dx = \pi \int_0^{x_1} x x^2 dx = \frac{\pi x_1^4}{4}.$$

Eszerint:

$$V(0, a) = \frac{a^4 \pi}{4}.$$

$\gamma$  1. Az  $(x, z)$  síkban adva van egy  $z = \sqrt{2cx}$  egyenletű parabola, amit megforgatva az  $x$  tengely körül, egy forgási paraboloidot nyerünk. Ezt messzük egy parabolikus hengerrel, melynek alkotói párhuzamosak a  $z$  tengellyel és vízszintes nyomvonalának egyenlete:  $y = \sqrt{2bx}$ , ahol  $b \leq c$ .

Meghatározandó azon test térfogata, melyet az  $(x, y)$  sík, az  $(x, z)$  sík, az  $x = x_1$  sík, valamint a két felület határol!

Az  $y$ -ra és  $z$ -re explicit kifejezésünk van, amely közvetlenül beírható a formulába:

$$\begin{aligned} V(0, x_1) &= \int_0^{x_1} \frac{1}{2} \left( y \sqrt{z^2 - y^2} + z^2 \arcsin \frac{y}{z} \right) dx = \\ &= \frac{1}{2} \int_0^{x_1} \left[ \sqrt{2bx} \sqrt{x(2c - 2b)} + 2cx \arcsin \sqrt{\frac{b}{c}} \right] dx = \\ &= \left[ \sqrt{b(c-b)} + c \arcsin \sqrt{\frac{b}{c}} \right] \frac{x_1^2}{2}. \end{aligned}$$

Ha  $b = c$ , úgy:

$$V(0, x_1) = \frac{\pi c x_1^2}{4}.$$

Ha a teljes forgástestre írjuk fel és  $x_1 = m$ :

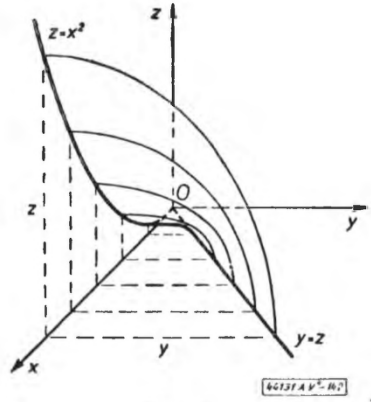
$$V(0, m) = m^2 c \pi.$$

ami a burkolóhenger fele ( $V_h = 2cm\pi \cdot m$ ).

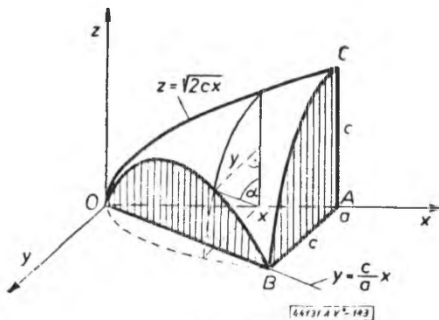
\*2. Az  $(x, z)$  síkban lévő  $z = \sqrt{2cx}$  egyenletű parabolát az  $x$  tengely körül megforgatjuk; az így keletkező forgási paraboloidot az

$OA = \frac{c}{2}$  távolságban az  $x$  tengelyre merő-

leges síkkal elmetsszük. Az  $OB$  egyenesen átfektetünk egy. az  $(x, y)$  síkra merőleges síkot (143. ábra; ott  $\frac{c}{a} \neq 2$ ).



142. ábra



143. ábra

Mekkora azon test köbtartalma, melyet az  $ODB$ ,  $OAB$ ,  $ABC$  és  $OAC$  síkidom, valamint a forgási paraboloid-felület határol? ( $\overline{AC} = \overline{AB} = c$ ,  $\overline{OA} = a$ .)

Az  $\overline{OB}$  egyenes egyenlete:  $y = \frac{c}{a}x$ . Mivel  $x = a$  esetben  $z = c$ , így  $c = 2a$ ,  $\left(\frac{c}{a} = 2\right)$ .

Ezzel az  $x$  abszcisszájú keresztmetszet formulánk szerint:

$$T(x) = \frac{1}{2} \left[ \frac{c}{a} x \sqrt{2cx - \frac{c^2}{a^2} x^2} + 2cx \arcsin \frac{\frac{c}{a} x}{\sqrt{2cx}} \right] =$$

$$= \frac{1}{2} \left[ \frac{c}{a} x \sqrt{4ax - 4x^2} + 2cx \arcsin \sqrt{\frac{x}{a}} \right] = c \left( \frac{x \sqrt{ax - x^2}}{a} + x \arcsin \sqrt{\frac{x}{a}} \right).$$

Így a térfogat:

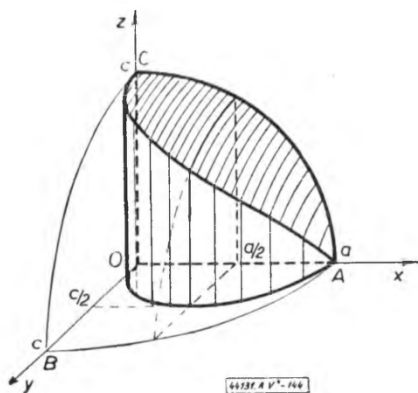
$$V(0, x_1) = \int_0^{x_1} T(x) dx = c \int_0^{x_1} \left( \frac{x \sqrt{ax - x^2}}{a} + x \arcsin \sqrt{\frac{x}{a}} \right) dx.$$

Ezt két tagra bontva és az elsőt helyettesítéssel, a másodikat parciálisan integrálva nyerjük:

$$V(0, x_1) = c \left[ \frac{8x_1^3 - a^2}{16} \arcsin \sqrt{\frac{x_1}{a}} + \frac{16x_1^2 + 2ax_1 + 3a^2}{48a} \sqrt{ax_1 - x_1^2} \right].$$

Ha pedig  $x_1 = a$ , akkor (lévén  $c/a = 2$ ):

$$V(0, a) = \frac{7}{32} \pi a^2 c = \frac{7}{128} \pi c^3.$$



144. ábra

\*3. Az  $(x, z)$  síkban adva van egy  $z = \frac{c}{a} \sqrt{a^2 - x^2}$  egyenletű ellipszis, melyet az  $x$  tengely körül megforgatunk. Az így keletkező forgási ellipszoidot egy elliptikus hengerrel metszünk, melynek vezérgörbéje az  $(x, y)$  síkban  $\frac{a}{2}$  és  $\frac{c}{2}$  féltengelyű és a 144. ábrán feltüntetett helyzetű ellipszis.

Most  $y = \frac{c}{2} \sqrt{1 - \left( \frac{x - \frac{a}{2}}{\frac{a}{2}} \right)^2}$ , tehát egy  $x$  abszcisszájú keresztmetszet területe:

$$T(x) = c^2 \frac{a - x}{2a^2} \sqrt{ax - x^2} + \frac{c^2}{2a^2} (a^2 - x^2) \arctg \sqrt{\frac{x}{a}}.$$

E kifejezést tagokra bontva és parciálisan integrálva nyerjük:

$$V(0, x_1) = \frac{c^2}{18a} \left[ \frac{3(2a^3 + 3a^2 x_1 - x_1^3)}{a} \operatorname{arctg} \sqrt{\frac{x_1}{a}} - \frac{6a^2 - 5ax_1 + 3x_1^2}{a^2} \sqrt{ax_1} \right].$$

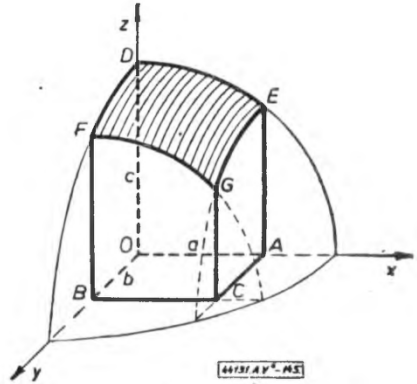
Ha a teljes térfogatot vesszük ( $x_1 = a$ ), akkor:

$$V(0, a) = \left( \frac{1}{6} \pi - \frac{2}{9} \right) ac^2.$$

\*4. Az origóból  $OD = c$  sugárral szerkesztett gömböt a 145. ábrán látható módon egy *parallelepipedon*nal metszünk; alapjának oldalai:  $OB = b$  és  $OA = a$ . Meghatározandó e *negyedgömbboltozat* térfogata!

Esetünkben  $z(x) = \sqrt{c^2 - x^2}$ ,  $y(x) = b$ . Tehát egy  $x$  abszcisszájú metszet területe:

$$T(x) = \frac{b}{2} \sqrt{c^2 - b^2 - x^2} + \frac{c^2 - x^2}{2} \arcsin \frac{b}{\sqrt{c^2 - x^2}}.$$



145. ábra

Elvégezve az integrálást, nyerjük:

$$V(0, x_1) = \frac{1}{3} b x_1 \sqrt{c^2 - b^2 - x_1^2} + \frac{1}{6} x_1 (3c^2 - a^2) \arcsin \frac{b}{\sqrt{c^2 - x_1^2}} + \frac{b}{6} (3c^2 - b^2) \arcsin \frac{x_1}{\sqrt{c^2 - b^2}} - \frac{c^3}{3} \arcsin \frac{b}{\sqrt{c^2 - x_1^2}} (c^2 - b^2)^{x_1}.$$

Ha  $x_1 = a$  és bevezetjük a

$$\sin \alpha = \frac{b}{\sqrt{c^2 - a^2}}, \quad \sin \beta = \frac{a}{\sqrt{c^2 - b^2}}, \quad \sin \gamma = \frac{ab}{\sqrt{(c^2 - a^2)(c^2 - b^2)}}$$

jelöléseket, akkor:

$$V(0, a) = \frac{ab}{3} \sqrt{c^2 - a^2 - b^2} + \frac{a}{6} (3c^2 - a^2) \alpha + \frac{b}{6} (3c^2 - b^2) \beta - \frac{c^3 \gamma}{3}.$$

Azon esetben, ha  $OC = OD$ , kapjuk végül:

$$V_a = \frac{\pi}{12} [a^3 + b^3 + (a + b)^3 - 2 \sqrt{(a^2 + b^2)^3}].$$



## c) Henger- és vonalfelülettel kapcsolatos számítások

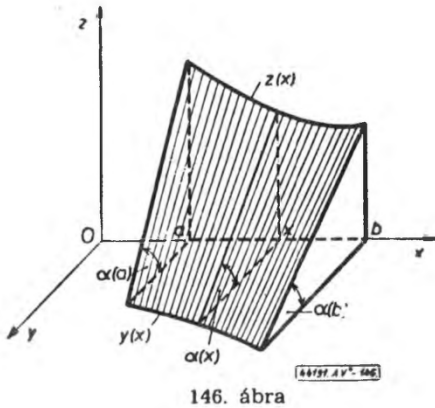
 **$\alpha$ ) Vonalfelület alatti térrész**

A felületet az  $(x, y)$  síkbeli  $y = y(x)$  egyenletű görbe, valamint az  $(x, z)$  síkbeli  $z = z(x)$  egyenletű görbe pontjait az  $(y, z)$  síkkal párhuzamosan összekötő egyenesek alkotják. E görbe felület, valamint az  $(x, z)$  és  $(x, y)$  sík határolta testnek az  $x$  tengelyre merőlege keresztmetszete, tetszőleges  $x$  helyen egy  $z(x)$  és  $y(x)$  befogójú és  $\alpha(x) = \arctg \frac{z(x)}{y(x)} \neq \text{const.}$  szögű derékszögű háromszög (l. a 146. ábrát); területe nyilván:

$$T(x) = \frac{1}{2} z(x) y(x).$$

Az említett test  $a \leq x \leq b$  szakaszmenti darabjának térfogata tehát:

$$V(a, b) = \frac{1}{2} \int_a^b z(x) (y(x)) dx.$$



146. ábra

 **$\beta$ ) Ferde hengerfelület alatti térrész**

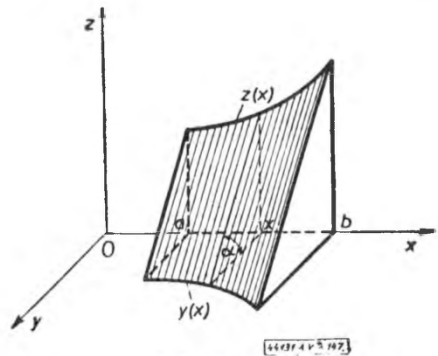
Az előbbivel rokon eset. A görbe felületet most az  $(x, z)$  síkbeli  $y = y(x)$  egyenletű görbére illeszkedő, az  $(y, z)$  síkkal párhuzamos és az  $(x, y)$  síkhoz állandó  $\alpha$  szög alatt hajló egyenesek alkotják. Ezért most  $z(x) = \tg \alpha \cdot y(x)$ , azaz

$\alpha = \arctg \frac{z(x)}{y(x)} = \text{const.}$  Ennélfogva ez esetben (147. ábra):

$$T(x) = \frac{1}{2} y(x) z(x) = \frac{1}{2} \tg \alpha \cdot y^2(x)$$

és vele a térfogat:

$$V(a, b) = \frac{1}{2} \tg \alpha \int_a^b y^2(x) dx.$$



147. ábra

 **$\gamma$ ) Két merőlegesen metsződő hengerfelület közti térrész**

Legyen adva egy  $z = z(x)$  egyenletű (az  $y$  tengellyel párhuzamos alkotójú) és egy  $y = y(x)$  egyenletű (a  $z$  tengellyel párhuzamos alkotójú) egyenes hengerfelület. E két görbe felület, valamint az  $(x, y)$  és az  $(x, z)$  sík határolta testnek az  $x$  tengelyre merőleges keresztmetszete tetszőleges  $x$  helyen egy  $y(x)$  és  $z(x)$  élű derékszögű négyyszög; területe nyilván (148. ábra):

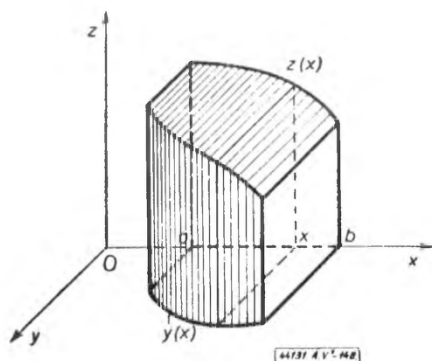
$$T(x) = y(x) z(x).$$

Az említett test  $a \leq x \leq b$  szakaszi menti darabjának *térfogata* tehát:

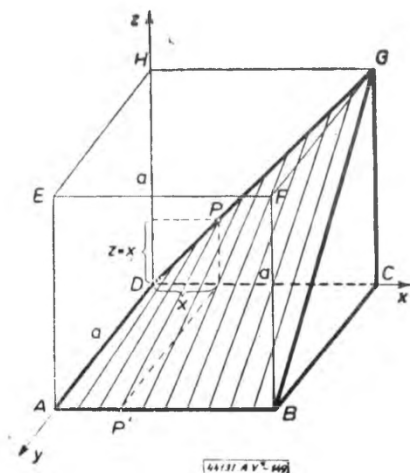
$$V(a, b) = \int_a^b y(x) z(x) dx.$$

### Példák és feladatok

1. Húzzuk meg egy  $a$  élű kocka egyik lapátlóját és annak minden  $P$  pontját kössük össze az egyik szemben lévő alapélnek egy-egy  $P'$  pontjával, melyre a  $PP'$  egyenes párhuzamos a kocka  $BCFG$  lapjával. Ezek az összekötő egyenesek egy vonalfelületet alkotnak, amely a kockát két részre bontja. Határozzuk meg az alsó rész térfogatát (149. ábra). A koordináta-rendszer kezdőpontját helyezzük a  $D$  csúcsba. Legyen  $AP' = x$ . Mivel  $DGC \angle 45^\circ$ ,  $AP'$  egyenlő a  $P$  pont magasságával.



148. ábra

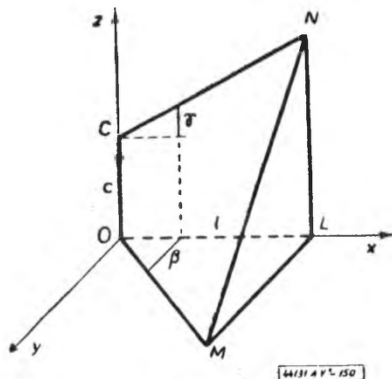


149. ábra

Esetünkben:  $y(x) = a$  és  $z(x) = x$ .

Így a vonalfelület alatti térrész köbtartalma:

$$V = \frac{1}{2} \int_0^a ax dx = \frac{a}{2} \left[ \frac{x^2}{2} \right]_0^a = \frac{a^3}{4}.$$



150. ábra

2. Az  $(x, y)$  vízszintes síkban adva van egy, az origón átmenő  $OM$  egyenes, az  $(x, z)$  függőleges síkban pedig egy másik egyenes, amely azonban nem megy át az origón ( $CN$ ). Az  $OM$  és  $CN$  egyenespontjai az  $(y, z)$  síkkal párhuzamos egyenesekkel vannak összekötve, és így — mint ismeretes — *hiperbolikus paraboloid* felületet alkotnak. Mekkora az  $OLMNCO$  test térfogata (150. ábra)?

E vonalfelület vezérgörbéi:

$OM : y = \beta x$ ,  $CN : z = c + \gamma x$  és  $OL = l$ ,

ahol  $\beta, \gamma, c > 0$ .

A szóbanforgó test térfogata tehát:

$$V = \frac{1}{2} \int_0^l y(x) z(x) dx = \frac{1}{2} \int_0^l \beta x (c + \gamma x) dx = \frac{1}{2} \int_0^l \beta c x dx + \frac{1}{2} \int_0^l \beta \gamma x^2 dx.$$

Az integrálást elvégezve nyerjük:

$$V = \frac{1}{2} \left[ \frac{1}{2} \beta c x^2 + \frac{1}{3} \beta \gamma x^3 \right]_0^l = \frac{1}{2} \beta x^2 \left[ \frac{c}{2} + \frac{\gamma x}{3} \right]_0^l = \frac{1}{2} \beta l^2 \left[ \frac{c}{2} + \frac{\gamma l}{3} \right].$$

Eredményünk Simpson-szabállyal igazolható:

$$V = \frac{l}{6} (F_0 + 4F_1 + F_2).$$

Esetünkben az  $x = 0$  abszcisszájú  $\overline{OC}$  él „területe”  $F_0 = 0$ , az  $x_1 = \frac{l}{2}$  abszcisszájú háromszög:

$$F_1 = \frac{1}{2} \left[ \frac{\beta l}{2} \left( \frac{\gamma l}{2} + c \right) \right],$$

végül az  $x_2 = l$  abszcisszájú háromszögé:

$$F_2 = \frac{1}{2} [\beta l (\gamma l + c)].$$

Ezekkel:

$$V = l \left[ \frac{2}{3} F_1 + \frac{1}{6} F_2 \right] = \frac{l}{12} [\beta l (\gamma l + 2c) + \beta l (\gamma l + c)] = \frac{\beta l^2}{2} \left[ \frac{\gamma l}{3} + \frac{c}{2} \right], \quad \text{a. e. d.}$$

3. Lásd a b)  $\beta)$  1. példát! Mekkora az ott közölt test  $OBC$  és  $LMN$  közötti szeletének térfogata (141. ábra)? ( $\overline{OL} = x_1$ ).

Egy tetszőleges  $x$  helyen vett metszet területe :

$$\frac{1}{2} y(x) z(x) = F(x).$$

A vonalfelület két vezérgörbéje:

$$y(x) = b \sqrt{1 - \frac{x^2}{a^2}} \quad \text{és} \quad z(x) = c.$$

Ezekkel:

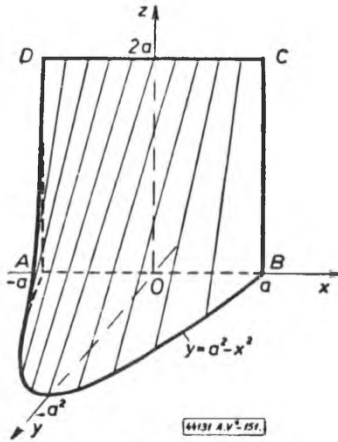
$$V(0, x_1) = \frac{1}{2} \int_0^{x_1} y(x) z(x) dx = \int_0^{x_1} \frac{bc}{2} \sqrt{1 - \frac{x^2}{a^2}} dx.$$

Az integrálást pl.  $\frac{x}{a} = \sin u$  helyettesítéssel elvégezve, eredményül kapjuk:

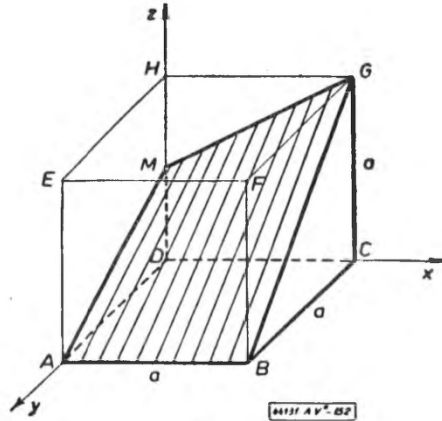
$$V(0, x_1) = \frac{bc}{4} \left[ \frac{x_1}{a} \sqrt{a^2 - x_1^2} + a \arcsin \frac{x_1}{a} \right],$$

mi éppen fele a körülírt elliptikus henger térfogatának.

4. Az  $(x, y)$  síkban megrajzoljuk az  $y = a^2 - x^2$  parabolát, az  $x = a$  és  $x = -a$  abszcisszájú pontjait összekötve, s itt az  $(x, y)$  síkra merőlegesen egy  $2a$  élű négyzetet emelünk (151. ábra). E négyzet  $\overline{DC}$  oldalának minden egyes pontját a parabola  $\widehat{AB}$  ívének egy-egy pontjával összekötjük oly módon, hogy az összekötő vonalak merőlegesek  $\overline{DC}$ -re. Meghatározandó az összekötő vonalak, az  $(x, y)$  sík és az  $ABCD$  négyzet határolta test térfogata.



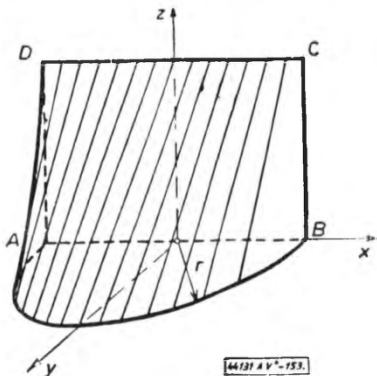
151. ábra



152. ábra

5. Egy  $a$  élű kocka  $DH$  élének  $M$  felezőpontját kössük össze a szemben lévő  $G$  csúccsal. Az így adódó  $MG$  egyenes szakasz minden egyes pontját kössük össze az  $AB$  él egy-egy pontjával, oly módon, hogy az összekötő egyenesek merőlegesek legyenek  $AB$ -re. Az összekötő vonalak alkotta felület a kockát két részre osztja (152. ábra). Határozzuk meg az alsó rész térfogatát.

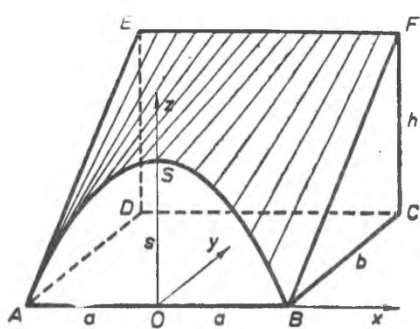
6. Egy félkörlap  $AB = 2r$  átmérőjéhez egy, a félkörlap síkjára merőleges helyzetű  $ABCD$  négyzetet illesztünk. A négyzet  $DC$  élének minden egyes pontját oly módon kötjük össze a félkörív egy-egy pontjával, hogy az összekötő vonalak merőlegesek legyenek  $DC$ -re (153. ábra). Határozzuk meg az összekötő vonalak, a négyzet és a körlap határolta test térfogatát.



153. ábra

\*7. A vízszintes helyzetű  $ABCD$  téglalap  $A$  és  $B$  pontjához egy függőleges síkú  $ASB$  parabolaívet, a  $DC$  élhez pedig egy függőleges síkú  $DCEF$  téglalapot illesztünk. ( $S$  a parabola csúcsa. Ez az  $AB$  távolság  $O$  felezőpontja felett van.) Az  $EF$  oldal minden egyes pontját oly módon kötjük össze a parabolaív egy-egy pontjával, hogy az összekötő vonalak  $EF$ -re merőlegesek legyenek (154. ábra). Határozzuk meg az összekötő vonalak, a parabola síkja, az  $ABCD$  és  $DCEF$  téglalapok, valamint a  $BCF$  és  $ADE$  háromszögek határolta test térfogatát. ( $AB = 2a$ ;

$BC = b$ ;  $OS = s$ ;  $CF = h$ . Vegyük az  $OB$ , illetve  $OS$  egyeneseket  $x$  és  $z$  tengelyekül. és írjuk fel a parabola egyenletét.)



154. ábra

1. Mekkora az  $y = x^2$  vezérgörbéjű,  $\gamma = 45^\circ$ -os hajlásszögű ferde hengerfelület, valamint az  $x = 0$ ,  $x = x_1$  (majd  $x = a$ ) és az  $y = 0$  egyenletű síkok által határolt térrész térfogata?

$$V(0, x_1) = \frac{1}{2} \operatorname{tg} \gamma \int_0^{x_1} y^2(x) dx =$$

$$= \frac{1}{2} \cdot 1 \int_0^{x_1} (x^2)^2 dx = \frac{1}{2} \int_0^{x_1} x^4 dx = \frac{x_1^5}{10}.$$

Ebből:

$$V(0, a) = \frac{a^5}{10}.$$

2. Hasonló a feladat  $y^{\frac{2}{3}} + x^{\frac{2}{3}} = a^{\frac{2}{3}}$  vezérgörbe és  $\gamma = 45^\circ$  esetén!

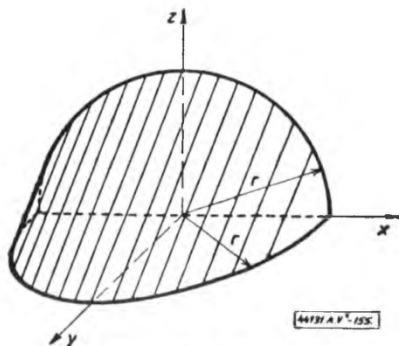
$$\begin{aligned} V(0, x_1) &= \frac{1}{2} \cdot 1 \int_0^{x_1} \left( a^{\frac{2}{3}} - x^{\frac{2}{3}} \right)^3 dx = \frac{1}{2} \int_0^{x_1} \left( a^2 - 3a^{\frac{4}{3}} x^{\frac{2}{3}} + 3a^{\frac{2}{3}} x^{\frac{4}{3}} - x^2 \right) dx = \\ &= \frac{1}{2} \left[ a^2 x_1 - \frac{9}{5} a^{\frac{4}{3}} x_1^{\frac{5}{3}} + \frac{9}{7} a^{\frac{2}{3}} x_1^{\frac{7}{3}} - \frac{1}{3} x_1^3 \right] \end{aligned}$$

Ebből:

$$V(0, a) = \frac{8}{105} a^3.$$

3. Az  $(x, y)$  síkban adott  $r$  sugarú kört átforgatva az  $(x, z)$  síkba, egy negyedgömb keletkezik. Hányadrésze a negyedgömb térfogatának azon test térfogata, amit a nyomvonalaknak az  $(y, z)$  síkkal párhuzamos egyenesekkel való összekötésével nyerünk?

Nyilván félkör vezérgörbéjű,  $\gamma = \frac{\pi}{4}$  hajlásszögű ferde hengerről van szó (155. ábra). A térfogatok tehát:



155. ábra

$$V_{\text{henge.}} = \frac{1}{2} \operatorname{tg} \gamma \int_0^r (r^2 - x^2) dx = 2 \left[ \frac{1}{2} r^2 x - \frac{1}{2} \frac{x^3}{3} \right]_0^r = \frac{2}{3} r^3, \quad V_{\text{zömb}} = \frac{r^3 \pi}{3}.$$

A kettő aránya:

$$k = \frac{\pi}{2}.$$

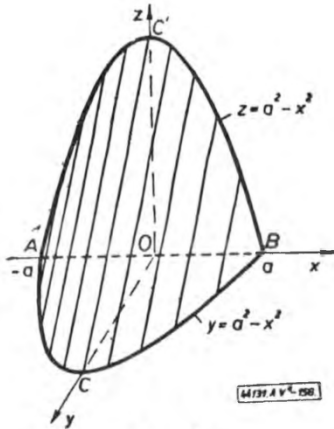
4. Az 1. és 2.-hoz hasonló a feladat *kardioid-vezérgörbe* esetén;  $\gamma = 45^\circ$ . Ekkor a határok  $-3a$  és  $x_1$ , majd  $-3a$  és  $+a$ .

Ezekkel:

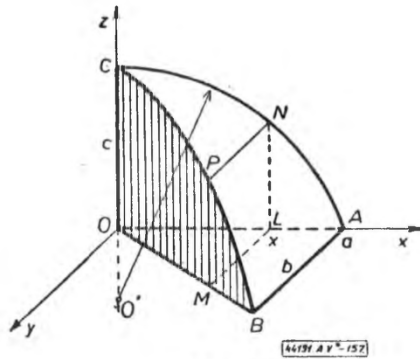
$$V(-3a, x_1) = \frac{1}{2} \left[ 18a^3 + 3a^2x_1 - \frac{1}{3}x_1^3 - \frac{2}{3}\sqrt{(3a^2 - 2ax_1)^3} \right],$$

$$V(-3a, a) = 10a^3.$$

5. Az  $y = a^2 - x^2$  parabola  $x = a$  és  $x = -a$  abszcisszájú  $A$  és  $B$  pontjaihoz illesztünk a 156. ábrán látható módon egy, az  $(x, y)$  síkra merőleges síkban fekvő, az  $\overline{ACB}$  parabolaívvel egybevágó  $\overline{AC'B}$  parabolaívet. Kössük össze a két parabolaív pontjait oly módon, hogy az összekötő egyenesek merőlegesek legyenek az  $AB$  egyenesre. Határozzuk meg a ferde hengerfelület és a parabolák síkjai határolta test térfogatát.



156. ábra



157. ábra

$\gamma$  1. Az  $(x, y)$  síkban adva van egy derékszögű háromszög, amelynek befogói  $\overline{OA} = a$ ,  $\overline{AB} = b$ , az  $(x, z)$  síkban pedig egy körív, mely átmegy az  $A$  ponton, valamint a  $z$  tengely  $\overline{OC} = c$  magasságban lévő  $C$  pontján;  $O'$  középpontja a  $\overline{CO}$  meghosszabbításán fekszik (157. ábra). Meghatározandó azon éktest (*prizma*) köbtartalma, melyet felülről a körív vezérgörbéjű henger határol és amelynek alkotói az  $y$  tengellyel párhuzamos egyenesek.

Esetünkben a két merőlegesen metsződő henger vezérgörbéje:

$$v(x) = \frac{b}{a}x, \quad z(x) = \sqrt{r^2 - x^2} - \sqrt{r^2 - a^2}, \quad \text{ahol} \quad r = \frac{a^2 + c^2}{2c},$$

mert:

$$(\overline{OO'})^2 = r^2 - a^2 \quad \text{és} \quad \overline{OO'} = r - c.$$

A szóbanforgó test térfogata tehát:

$$\begin{aligned} V(0, x_1) &= \int_0^x y(x) z(x) dx = \int_0^{x_1} \frac{b}{a} x [\sqrt{r^2 - x^2} - \sqrt{r^2 - a^2}] dx = \\ &= \frac{b}{a} \left\{ \int_0^{x_1} x \sqrt{r^2 - x^2} dx - \sqrt{r^2 - a^2} \int_0^{x_1} x dx \right\}. \end{aligned}$$

Elemi integrálás után (az 1. tagot helyettesítéssel, a 2.-at hatványként) kapjuk:

$$(0, x_1) = \frac{b}{a} \left[ \frac{r^3}{3} - \frac{1}{3} \sqrt{r^2 - x_1^2}^3 - \frac{1}{2} x_1^2 \sqrt{r^2 - a^2} \right].$$

Ha  $x = a$  és  $r$ -t is kifejezzük a fenti módon, akkor nyerjük egy boltozat térfogatát:

$$V(0, a) = \frac{b}{6a} \left[ 2 \left( \frac{a^2 + c^2}{2c} \right)^3 - \frac{6}{3} \left( \sqrt{\left( \frac{a^2 + c^2}{2c} \right)^2 - a^2} \right)^3 - \frac{6}{2} a^2 \sqrt{\left( \frac{a^2 + c^2}{2c} \right)^2 - a^2} \right].$$

Összevonva:

$$V(0, a) = \frac{bc(3a^2 + c^2)}{12a}.$$

2. Legyen az előző példában szereplő boltozat  $(x, z)$  síkban lévő nyomvonala kör helyett egy  $OA = a$  és  $OC = c$  féltengelyű ellipszis. Mekkora lesz így a térfogata?

$$V(0, x_1) = \int_0^{x_1} yz dx, \text{ ahol } y = \frac{b}{a} x,$$

továbbá:

$$\frac{z^2}{c^2} + \frac{x^2}{a^2} = 1,$$

illetőleg:

$$z = c \sqrt{1 - \frac{x^2}{a^2}}.$$

Ezek felhasználásával:

$$V(0, x_1) = \int_0^{x_1} \frac{bc}{a} x \sqrt{1 - \frac{x^2}{a^2}} dx.$$

Szorozzuk  $\frac{\sqrt{1 - \left(\frac{x}{a}\right)^2}}{\sqrt{1 - \left(\frac{x}{a}\right)^2}}$ -tel, majd két tagra bontva integráljuk. Így nyerjük:

$$V(0, x_1) = \frac{bc}{a} \left\{ a \left[ \sqrt{1 - \frac{x_1^2}{a^2}} + \frac{\left(\frac{x_1}{a}\right)^3}{3} \right] - \frac{x_1}{a} + \arctg \frac{x_1}{a} \frac{4}{\pi} \right\}.$$

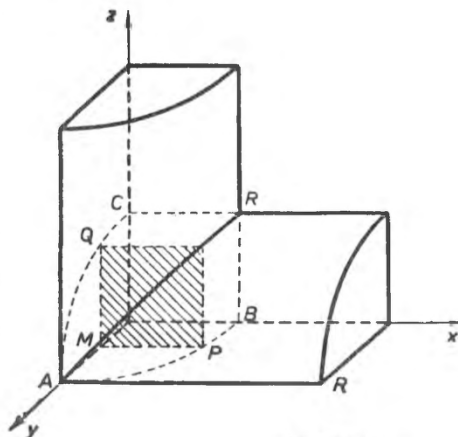
Ha  $x_1 = a$ , akkor:

$$V(0, a) = \frac{abc}{3}.$$

3. Két egyenlő sugarú körhenger tengelye derékszögben metszi egymást. Határozzuk meg a két henger közös részének térfogatát.

(A 158. ábrán a közös rész  $\frac{1}{8}$  része látható.

Vizsgáljuk a közös résznek a két henger tengelyével párhuzamos síkmetszeteit!)



44131.A y<sup>1</sup> 150

158. ábra

#### d) Egyéb esetek

*E testek keresztmetszete valamilyen ismert területű síkidom, pl. derékszögű négyszög, háromszög, trapéz, szabályos sokszög stb. Rendszerezésük nehéz. Ehelyett a példákra utalunk.*

#### Példák és feladatok

1. Meghatározandó azon test köbtartalma, amelyet az egyenes körhengerből az alapkör átmérőjén átmenő ferde sík kimetsz (159. ábra). Legyen pl.  $R = 10$  cm és  $H = 6$  cm.

A koordináta-rendszer kezdőpontja legyen az alapkör középpontja. A  $T(x)$  itt közvetlenül felírható, lévén a keresztmetszet derékszögű paralelogramma, melynek alapja az alapkör húrja, magassága  $\frac{H}{R}x$ ; így:

$$T(x) = 2 \sqrt{R^2 - x^2} \frac{H}{R} x.$$

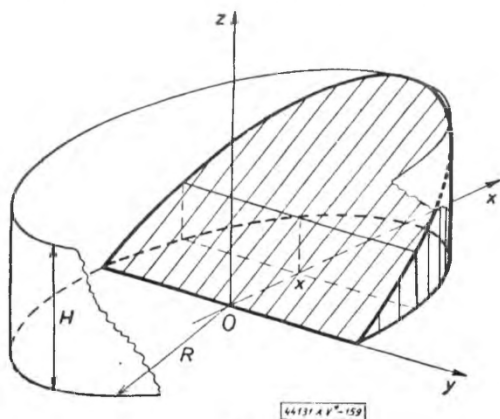
A térfogat tehát:

$$V = \frac{H}{R} \int_0^R 2x \sqrt{R^2 - x^2} dx = \frac{2H}{3R} [(R^2 - x^2)^{3/2}]_0^R = \frac{2H}{3R} R^3 = \frac{2HR^2}{3}.$$

Ha  $R = 10$  cm és  $H = 6$  cm, akkor:

$$V = \frac{2 \cdot 100 \cdot 6}{3} = 400 \text{ cm}^3.$$

2. Az  $y = \sqrt{x}$  vezérgörbéjű parabolikus hengert két síkkal metszük. Az egyik sík merőleges az alkotókra, továbbá a két sík metszésvonala merőleges a parabola tengelyére (160. ábra). Fejezzük ki e test térfogatát az ábrán jelölt méretek segítségével. Adjuk meg az eredményt az  $a = 8$  cm,  $H = 16$  cm,  $h = 6$  cm esetre is!



44131.A y<sup>1</sup> 159

159. ábra



A  $T(x)$  terület ismét derékszögű négyszög:

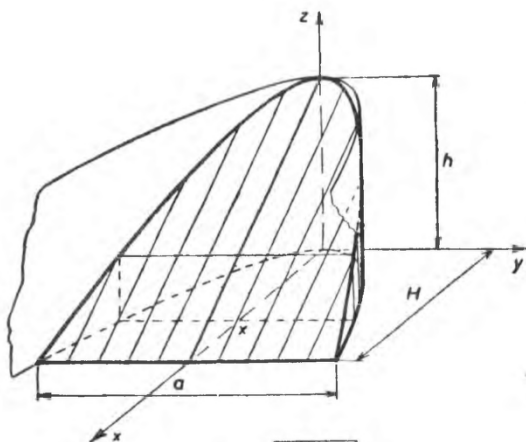
$$T(x) = 2y \left( h - \frac{h}{H} x \right) = 2 \sqrt{x} \left( h - \frac{h}{H} x \right).$$

Ezzel:

$$\begin{aligned} V &= 2h \int_0^H \sqrt{x} dx - 2 \frac{h}{H} \int_0^H x^{\frac{3}{2}} dx = 2h \left[ \frac{2}{3} x^{\frac{3}{2}} - \frac{2}{5} \frac{1}{H} x^{\frac{5}{2}} \right]_0^H = \\ &= 2h \left[ \frac{2}{3} H^{\frac{3}{2}} - \frac{2}{5} H^{\frac{5}{2}} \right] = \frac{2h}{15} \left[ (10 - 6) H^{\frac{3}{2}} \right] = \frac{8h}{15} H \sqrt{H} = \frac{4}{15} h H a. \end{aligned}$$

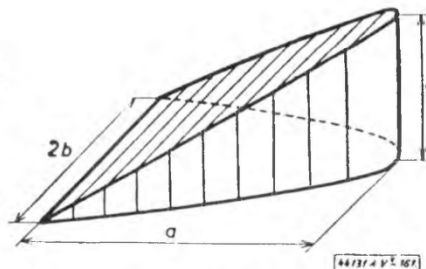
Az adott számértékek mellett:

$$V = \frac{4}{15} \cdot 6 \cdot 16 \cdot 8 = 204,8 \text{ cm}^3.$$



160. ábra

3. Messük az *elliptikus hengert* egy, a kis tengelyén átmenő ferde síkkal, és határozzuk meg az így nyert test térfogatát (161. ábra);  $a = 10$ ,  $2b = 8$ ,  $H = 5$  cm.



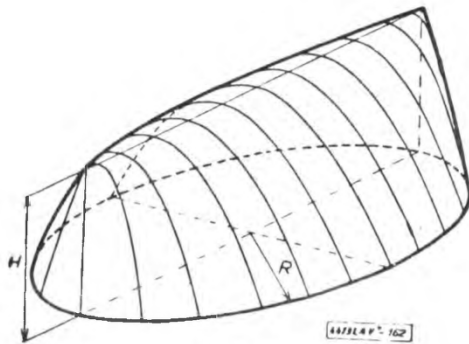
161. ábra

4. Az  $R$  sugarú kör egy adott iránnyal párhuzamos húrjaira illesszünk  $H$  magasságú *szimmetrikus parabolatveket* (162. ábra). A parabolák síkja merőleges a kör síkjára. Határozzuk meg az így módon nyert test köbtartalmát. (A szimmetrikus parabola-szegmensek területe  $\frac{2}{3} ah$ -val egyenlő, ahol  $a$  a szegmens alapja és  $h$  a magassága.)

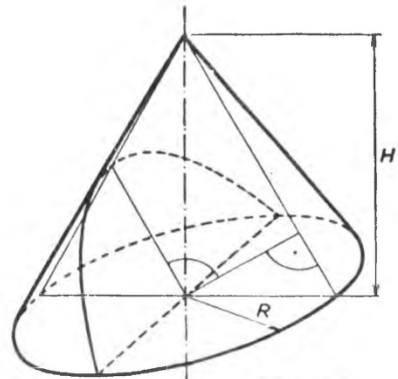
5. Osszuk két részre az  $R$  sugarú és  $H$  magasságú *körkúpot* egy, az alap középpontján átmenő, az alkotóval párhuzamos síkkal (163. ábra). Határozzuk meg a kúp két részének köbtartalmát. (A kúpnak egy alkotóval párhuzamos síkmetszete parabola. — Lásd az az előző feladathoz adott útmutatást!)

6. Illesszünk az  $a$  sugarú kör egy adott iránnyal párhuzamos húrjaira ezekkel egyenlő *oldalú négyzeteket*. A kör síkja e négyzetek egyik oldalpárját merőlegesen felezi (164. ábra). Meghatározandó az így módon képzett test  $V_1$  térfogata.

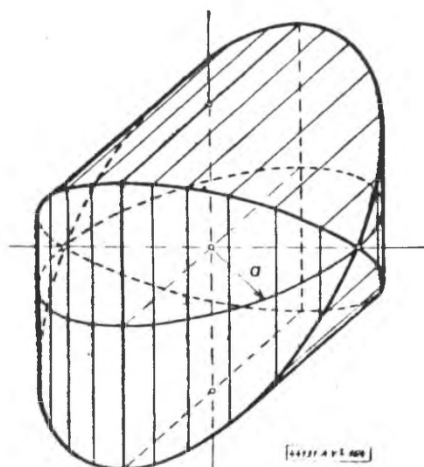
7. Illesszünk az  $a$  sugarú kör egy adott iránnyal párhuzamos húrjaira ezekkel egyenlő *átlójú*, a kör síkjára merőleges *négyzeteket* (165. ábra). Mutassuk ki, hogy az így nyert test  $V_0$  térfogata éppen fele az előbbinek.



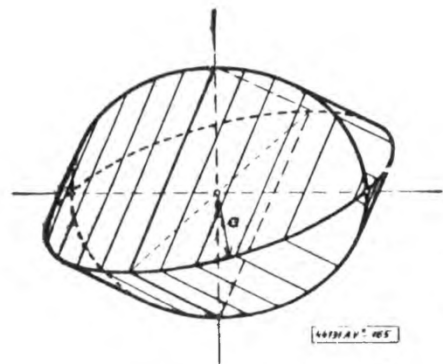
162. ábra



163. ábra

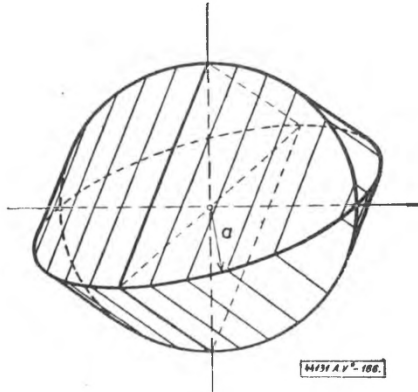


164. ábra



165. ábra

8. Illesszünk az  $a$  sugarú vízszintes síkbeli kör adott irányú húrjaira felfelé és lefelé a húrokkal egyenlő oldalú szabályos háromszögeket (166. ábra). Mutassuk ki, hogy az így nyert test térfogata:



166. ábra

$$V_3 = \frac{\sqrt{3}}{2} V_1.$$

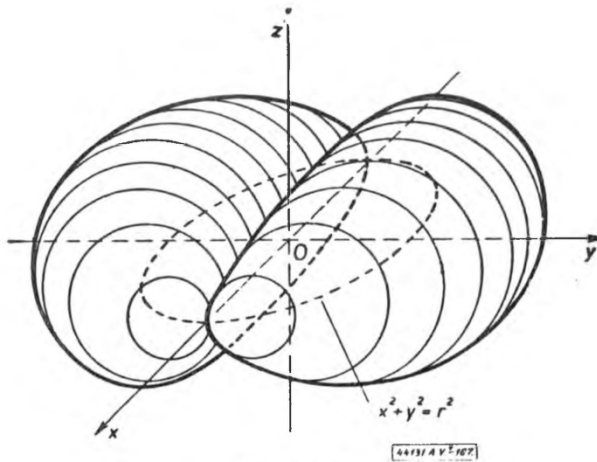
9. Képezzünk testet olyan körök segítségével, melyek az  $x$  tengelyt érintik, síkjuk erre merőleges, középpontjuk pedig az  $x^2 + y^2 = r^2$  körön van (167. ábra). Mekkora e test térfogata?

10. Adva van két ferde körhenger, közös  $H$  magassággal, közös  $R$  sugarú, egybeeső fedőlappal és érintkező alaplappal, a 168. ábrán látható módon. Mekkora a közös rész térfogata?

\*11. Az adott elliptikus paraboloid egyenlete (169. ábra):

$$2z = \frac{x^2}{a} + \frac{y^2}{b}.$$

E paraboloidot két síkkal metsszük; ezek egyike  $OL = x_1$  távolságban van a vele párhuzamos  $(y, z)$  síktól, a másik pedig  $\overline{OC} = c$  távolságban van a vele párhuzamos  $(x, y)$  síktól.



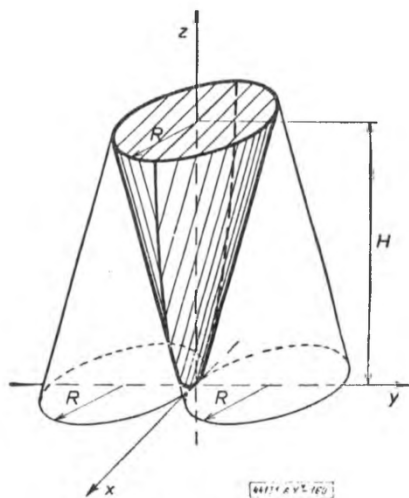
167. ábra

Keresendő ezen síkok, az elliptikus paraboloidfelület és az  $(y, z)$  sík által határolt térrész térfogata!

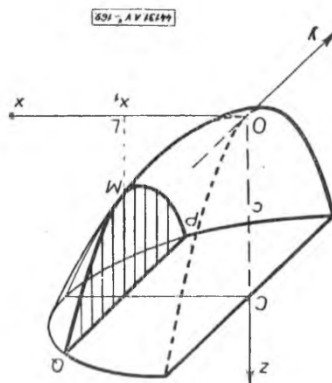
Az  $x$  abszcisszájú függőleges síkban nyert parabolaszélet területe:

$$T(x) = \frac{2}{3} \cdot 2b \sqrt{2c - \frac{x^2}{a}} \cdot \left( c - \frac{x^2}{a} \right).$$

Ezt integrálva  $[0, x_1]$ , majd  $[0, \sqrt{2ac}]$  szakaszon, nyerjük:



168. ábra



169. ábra

$$V(0, x_1) = \sqrt{ab} \left[ c^2 \arcsin \frac{x}{\sqrt{2ac}} + \frac{x(5ac - x^2)}{6a^2} \sqrt{2ac - x^2} \right];$$

$$V(0, \sqrt{2ac}) = \frac{c^2 \pi}{2} \sqrt{ab}.$$

## 6. §. FELSZÍNSZÁMÍTÁS

### a) Általános megjegyzések

A felszínszámítási feladatok általában kétszeres integrálást igényelnek. Az ilyen feladatok tárgyalása a felszín általános definíciójával együtt az A. VII., B. II. és B. III. kötetekben fog sorra kerülni. Itt csak néhány (főleg az ívhosszal kapcsolatos) speciális esetet vizsgálunk.

### b) Az ívhosszal kapcsolatos esetek

#### α) Forgásterület felszínszámítása

α<sub>1</sub>) Az említett speciális esetek közt a legfontosabb. Éppen ezért megmutatjuk, hogy itt a felszín differenciálja valóban az ívhossz differenciáljára támaszkodik.

α<sub>2</sub>) Abból indulunk ki, hogy: a) a felszín additív tulajdonságú, b) a meridiángörbébe beírt, illetve köréírt poligon forgatása útján nyert felület felszíne kisebb, illetve nagyobb, mint az adott forgásterület felszíne

α<sub>3</sub>) Az  $x$  tengely körüli forgatással képzett forgásterület  $[a, x]$  szakaszra vonatkozó darabja  $F(a, x)$  felületi mérőszámának, mint az  $x$  változó felső határ függvényének differenciálja az  $[x, x + \Delta x]$  szakaszon így nyerhető (a 170. ábrabeli esetben):

$$\frac{2\pi y + 2\pi(y + \Delta y)}{2} \sqrt{\Delta x^2 + \Delta y^2} < \Delta F < \frac{2\pi y + 2\pi(y + dy)}{2} \sqrt{\Delta x^2 + dy^2}.$$

Osztva  $2\pi y \sqrt{\Delta x^2 + dy^2}$ -tel, majd  $\Delta x = dx \rightarrow 0$  határátmenetre térve, kapjuk:

$$\frac{y + \Delta y}{y} \frac{\sqrt{\Delta x^2 + \Delta y^2}}{\sqrt{\Delta x^2 + dy^2}} < \frac{\Delta F}{2\pi y \sqrt{\Delta x^2 + dy^2}} < \frac{y + dy}{y},$$

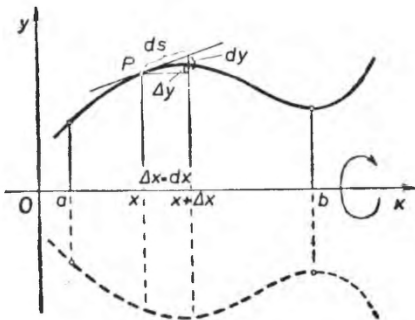
majd

$$\lim_{\Delta x \rightarrow 0} \frac{\Delta F}{\sqrt{\Delta x^2 + dy^2}} \frac{1}{2\pi y} = \frac{dF}{ds} \frac{1}{2\pi y} = 1.$$

Ebből a keresett differenciál:

$$dF = 2\pi y ds = 2\pi y \sqrt{dx^2 + dy^2} = 2\pi y \sqrt{1 + y'^2} dx,$$

mely láthatóan az ívhossz-differenciál  $2\pi y$ -szoros.



170. ábra

$\alpha_4)$  Az említett *forgásfelület*  $a \leq x \leq b$  szakaszminti darabjának *felszíne* tehát:

$$F_x(a, b) = 2\pi \int_a^b y(x) \sqrt{1 + y'^2(x)} dx,$$

a *változó felső határú*  $a \leq x \leq x_1$  szakaszra vonatkozólag pedig:

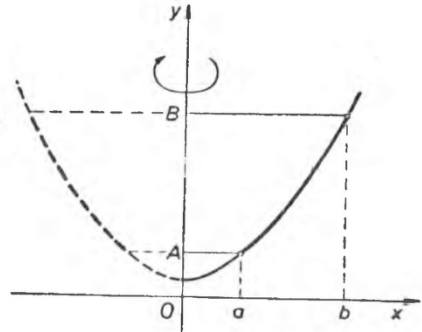
$$F_x(a, x_1) = 2\pi \int_a^{x_1} y(x) \sqrt{1 + y'^2(x)} dx.$$

Ha az  $y$  tengely körül *forogtatunk*, akkor (171. ábra):

$$F_v(a, b) = 2\pi \int_a^b x \sqrt{1 + y'^2(x)} dx$$

vagy az  $x = x(y)$  inverz függvény birtokában:

$$F_v(A, B) = 2\pi \int_A^B x(y) \sqrt{1 + x'^2(y)} dy,$$



171. ábra

ahol  $A = y(a)$ ,  $B = y(b)$ .

\* $\alpha_5)$  Megkívánjuk, hogy a felület a mondott szakaszon *folytonos* és legalább részszakaszonként *sima* legyen. Ilyenkor az integrálandó részszakaszonként *fo* ytonos, vagyis ezeken van primitív függvénye. E primitív függvények azonban elég ritkán adhatók meg elemi függvényekkel, zárt alakban, tekintettel az *irracionális integrálandókra*.

$\alpha_6)$  Ha a meridiángörbe  $x = x(t)$ ,  $y = y(t)$  *paraméteres egyenletrendszerével* van megadva, akkor *képletünk* így alakul:

$$F_x(\gamma, \delta) = 2\pi \int_{\gamma}^{\delta} y(t) \sqrt{\dot{x}^2(t) + \dot{y}^2(t)} dt, \quad \gamma < \delta.$$

$\alpha_7)$  A görbe  $r = r(\varphi)$  *polárkoordinátás megadása* esetén pedig:

$$F_x(\alpha, \beta) = 2\pi \int_{\alpha}^{\beta} r(\varphi) \sin \varphi \sqrt{r^2(\varphi) + \dot{r}^2(\varphi)} d\varphi. \quad \alpha < \beta.$$

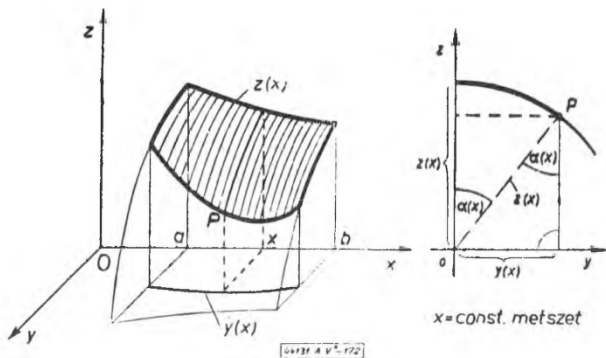
Ezeknél is megkívánjuk a legalább részszakaszonként *folytonos* integrálandót.

\* $\beta)$  Forgásfelület és egyenes hengerfelület áthatása

$\beta_1)$  Keresendő az  $(x, z)$  síkban adott  $z = z(x)$  *meridiángörbe*  $x$  *tengely körüli forgatásával képzett forgásfelület* azon darabjának *felszíne*, amelyet belőle az  $(x, z)$  sík, az  $(x, y)$  sík és az

$y = y(x)$  *egyenletű* (a  $z$  tengellyel párhuzamos alkotójú) *egyenes hengerfelület* kimetsz az  $a \leq x \leq b$  szakaszon.

E feladat az előbbivel rokon. Ott minden  $x$  abszcisszájú keresztmetszetben a  $ds(x) = \sqrt{1 + y'^2(x)} dx$  ívelemet  $y(x)$  sugáron  $2\pi$  teljes szöggel forgattuk körül, itt viszont a



172. ábra

$ds(x) = \sqrt{1 + z'^2(x)} dx$  ivелеmet  $z(x)$  sugáron csak  $\alpha(x) = \arcsin \frac{y(x)}{z(x)} < 2\pi$ ,  $\alpha(x) \neq \text{const}$  szöggel forgatjuk el (172. ábra).

$\beta_2$ ) Ennek megfelelően a felületelem:

$$dF = z(x) \sqrt{1 + z'^2(x)} \arcsin \frac{y(x)}{z(x)} dx,$$

a kért felszín pedig:

$$F(a, b) = \int_a^b z(x) \sqrt{1 + z'^2(x)} \arcsin \frac{y(x)}{z(x)} dx.$$

$\gamma_1$ ) Egyenes hengerfelületek (merőleges) áthatása

$\gamma_1$ ) Keresendő a  $z = z(x)$  egyenletű (az  $y$  tengellyel párhuzamos alkotójú) egyenes hengerfelület azon darabjának felszíne, amelyet belőle az  $(x, z)$  sík, valamint az  $y = y(x)$  egyen-

letű (a  $z$  tengellyel párhuzamos alkotójú) egyenes henger kimetsz az  $a \leq x \leq b$  szakaszon (173. ábra).

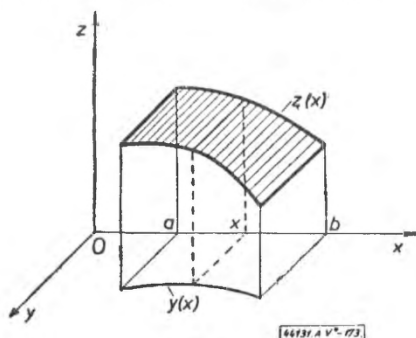
$\gamma_2$ ) A felületelem itt nyilván:

$$dF(x) = y(x) \sqrt{1 + z'^2(x)} dx = y(x) ds(x),$$

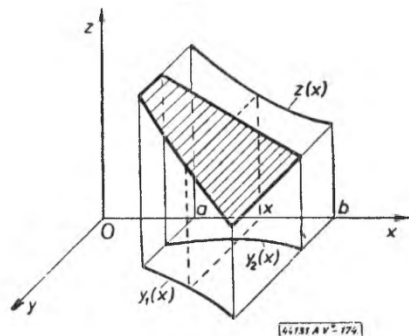
amely úgy adódik, mintha a vezérgörbe  $ds(x)$  iveleme mentén az alkotóhossz állandóan  $y(x)$  lenne.

$\gamma_3$ ) Ily módon a kért felszín:

$$F(a, b) = \int_a^b y(x) \sqrt{1 + z'^2(x)} dx.$$



173. ábra



174. ábra

$\gamma_4$ ) E mérőszám pozitív, ha a felületdarab az  $(x, z)$  síktól jobbra van; negatív, ha balra van. Ha pedig az  $y = y(x)$  görbe az  $x$  tengelyt metszi, azaz a felületdarab az  $(x, z)$  sík két oldalán helyezkedik el, akkor a pozitív és negatív mérőszámú részek külön-külön számíthatók.

$\gamma_5$ ) Ha a  $z = z(x)$  hengerfelület azon darabjának felszínét keressük, amelyet belőle az  $y_1 = y_1(x)$  és  $y_2 = y_2(x)$  hengerfelület kimetsz [feltételezve, hogy  $y_1(x) > y_2(x)$ ] az  $a \leq x \leq b$  szakaszon, akkor beláthatóan (174. ábra):

$$\begin{aligned}
 F(a, b) &= F_1(a, b) - F_2(a, b) = \int_a^b y_1(x) \sqrt{1 + z'^2(x)} dx - \int_a^b y_2(x) \sqrt{1 + z'^2(x)} dx = \\
 &= \int_a^b [y_1(x) - y_2(x)] \sqrt{1 + z'^2(x)} dx.
 \end{aligned}$$

Ha a nevezett szakaszon az  $y_1(x)$  és  $y_2(x)$  görbe egymást metszi, akkor a megfelelő felület-részek egyenként számíthatók.

### Példák és feladatok

α 1. Határozzuk meg az  $y = \frac{r}{m}x$  egyenes  $x$  tengely körüli megforgatásával nyert *körkúp* felület felszínét a  $[0, m]$  szakaszon.

Itt:

$$y' = \frac{r}{m}, \quad \sqrt{1 + y'^2} = \sqrt{1 + \frac{r^2}{m^2}},$$

és így:

$$F = 2\pi \int_0^m \frac{r}{m} x \sqrt{1 + \frac{r^2}{m^2}} dx = \pi \frac{r}{m} \sqrt{1 + \frac{r^2}{m^2}} \cdot [x^2]_0^m = \pi r \sqrt{r^2 + m^2} = \frac{K l}{2},$$

ahol  $K = 2r\pi$  az alapkör kerülete és  $l = \sqrt{r^2 + m^2}$  a kúpalkotó hossza.

2. Meghatározandó az  $y = +\sqrt{r^2 - x^2}$  félkör  $x$  tengely körüli megforgatása által nyert *gömb* felszíne.

Most:

$$y' = \frac{-x}{\sqrt{r^2 - x^2}}, \quad \sqrt{1 + y'^2} = \sqrt{1 + \frac{x^2}{r^2 - x^2}}.$$

Ily módon

$$\begin{aligned}
 F_x &= 2\pi \int_{-r}^r \sqrt{r^2 - x^2} \cdot \sqrt{1 + \frac{x^2}{r^2 - x^2}} dx = 2\pi \int_{-r}^r \sqrt{r^2 - x^2 + x^2} dx = \\
 &= 4\pi r \int_0^r dx = 4\pi r [x]_0^r = 4r^2 \pi.
 \end{aligned}$$

3. Mekkora az  $x^2 + (y - b)^2 = a^2$  körvonalnak az  $x$  tengely körüli megforgatásával keletkező *törzsfelület* felszíne?



Most

$$\begin{aligned}
 v &= b \pm \sqrt{a^2 - x^2}, \quad v' = \frac{-x}{\sqrt{a^2 - x^2}}; \quad v \sqrt{1 + v'^2} = \\
 &= (b \pm \sqrt{a^2 - x^2}) \sqrt{1 + \frac{x^2}{a^2 - x^2}} = (b \pm \sqrt{a^2 - x^2}) \frac{a}{\sqrt{a^2 - x^2}} = \\
 &= a \left[ \frac{b}{\sqrt{a^2 - x^2}} \pm 1 \right] = \frac{2ab}{\sqrt{a^2 - x^2}}.
 \end{aligned}$$

Ezzel:

$$F = 2 \cdot 2\pi \int_{x=0}^a \frac{2badx}{\sqrt{a^2 - x^2}} = 8ab\pi \left[ \arcsin \frac{x}{a} \right]_0^a = 8ab\pi \cdot \frac{\pi}{2} = 4ab\pi^2 = 2a\pi \cdot 2b\pi$$

4. Mekkora az  $y = \operatorname{ch} x$  görbe  $x$  tengely körüli megtorgatásával keletkező katenoid felszíne,  $F(-a, a) = ?$

Itt  $y' = \operatorname{sh} x$  és vele:

$$\begin{aligned}
 F &= 2\pi \int_{-a}^{+a} \operatorname{ch} x \sqrt{1 + \operatorname{sh}^2 x} dx = 2\pi \int_{-a}^{+a} \operatorname{ch}^2 x dx = 2\pi \int_{-a}^{+a} \frac{1 + \operatorname{ch} 2x}{2} dx = \\
 &= \pi \left[ x + \frac{\operatorname{sh} 2x}{2} \right]_{-a}^{+a} = 2\pi \left( a + \frac{e^{2a} - e^{-2a}}{2} \right).
 \end{aligned}$$

5. Mekkora az  $x^{\frac{2}{3}} + y^{\frac{2}{3}} = a^{\frac{2}{3}}$  egyenletű asztroids görbének az  $x$  tengely körüli megtorgatásával keletkező forgásfelület felszíne?

Itt:

$$\begin{aligned}
 y &= \left( a^{\frac{2}{3}} - x^{\frac{2}{3}} \right)^{\frac{3}{2}}, \quad y' = -\frac{y^{\frac{1}{3}}}{x^{\frac{1}{3}}}, \quad y \sqrt{1 + y'^2} = \left( a^{\frac{2}{3}} - x^{\frac{2}{3}} \right)^{\frac{3}{2}} \cdot \sqrt{1 + \frac{y^{\frac{2}{3}}}{x^{\frac{2}{3}}}} = \\
 &= \left( a^{\frac{2}{3}} - x^{\frac{2}{3}} \right)^{\frac{3}{2}} \cdot \frac{a^{\frac{1}{3}}}{x^{\frac{1}{3}}}.
 \end{aligned}$$

Ezzel:

$$F_x(0, a) = 2 \cdot 2\pi \int_{x=0}^a \left( a^{\frac{2}{3}} - x^{\frac{2}{3}} \right)^{\frac{3}{2}} \cdot \frac{a^{\frac{1}{3}}}{x^{\frac{1}{3}}} dx.$$

Helvettesítés:  $x^{\frac{1}{3}} = a^{\frac{1}{3}} \cos \varphi, \quad \frac{\pi}{2} \geq \varphi \geq 0.$  Így:

$$F_x(0, a) = -4\pi \cdot 3a^2 \int_{\frac{\pi}{2}}^0 \sin^4 \varphi \cos \varphi d\varphi = +12a^2 \pi \left[ \frac{\sin^5 \varphi}{5} \right]_0^{\frac{\pi}{2}} = \frac{12}{5} a^2 \pi;$$

$$F_x(0, \varphi_1) = \frac{12}{5} \pi a^2 \sin^5 \varphi_1.$$

6.  $y = x^3$ ;  $F_x(0, 1) = ?$

$$y' = 3x^2, \quad y \sqrt{1 + y'^2} = x^3 \sqrt{1 + 9x^4};$$

$$F_x = \frac{2\pi}{36} \int_{x=0}^1 x^3 \sqrt{1 + 9x^4} dx = \frac{\pi}{18} \int_{u=1}^{10} \sqrt{u} du = \frac{2\pi}{3 \cdot 18} \left[ \frac{2}{3} u^{3/2} \right]_1^{10} = \frac{\pi}{27} [\sqrt{10^3} - 1].$$

7. Határozzuk meg az  $\frac{x^2}{a^2} + \frac{y^2}{b^2} = 1$  ellipszisnek az  $x$  tengely körüli megforgatásával képzett ú. n. *nyújtott forgási ellipszoid* felszínét ( $a > b$ ).

Itt:

$$y = b \sqrt{1 - \frac{x^2}{a^2}}, \quad y' = \frac{-\frac{b}{a^2}x}{\sqrt{1 - \frac{x^2}{a^2}}}, \quad y \sqrt{1 + y'^2} =$$

$$= b \sqrt{1 - \frac{x^2}{a^2}} \sqrt{1 + \frac{\frac{b^2}{a^4}x^2}{1 - \frac{x^2}{a^2}}} = \sqrt{1 - \left(\frac{\varepsilon x}{a}\right)^2}, \quad \varepsilon^2 = \frac{a^2 - b^2}{a^2}.$$

Tehát:

$$F = 2 \cdot 2\pi \int_0^a \sqrt{1 - \left(\frac{\varepsilon x}{a}\right)^2} dx.$$

Az  $\frac{\varepsilon}{a} x = \sin t$  helyettesítéssel:

$$F = 4\pi \frac{ab}{\varepsilon} \int_0^{\arcsin \varepsilon} \cos^2 t dt = 2\pi \frac{ab}{\varepsilon} \left[ t + \sin t \sqrt{1 - \sin^2 t} \right]_0^{\arcsin \varepsilon} =$$

$$= 2\pi b \left[ \frac{a}{\varepsilon} \arcsin \varepsilon + b \right].$$

8. Az előbbi példa nyomán határozzuk meg az adott ellipszis  $y$  tengely körüli megforgatásával nyert ú. n. *lapos forgási ellipszoid* felszínét ( $a > b$ ).

9. Forgassuk meg az  $x = r(t - \sin t)$ ,  $y = r(1 - \cos t)$  cikloist az  $x$  tengely körül.  $F_x(0, 2\pi) = ?$

Itt:

$$\dot{x} = r(1 - \cos t), \quad \dot{y} = r \sin t; \quad y \sqrt{\dot{x}^2 + \dot{y}^2} = r(1 - \cos t) r \sqrt{1 - 2 \cos t + 1} =$$

$$= \sqrt{2} r^2 (1 - \cos t)^{3/2} = 4 r^2 \sin^3 \frac{t}{2}.$$

Tehát:

$$F = 2\pi \cdot 4r^2 \int_0^{2\pi} \sin^3 \frac{t}{2} dt.$$

Az integrandus  $t = \pi$ -re szimmetrikus lévén:

$$\begin{aligned} F &= 16\pi r^2 \int_0^{\pi} 2 \left(1 - \cos^2 \frac{t}{2}\right) \sin \frac{t}{2} \cdot \frac{1}{2} dt = 32\pi r^2 \int_{u=0}^{+1} (1 - u^2) du = \\ &= 32\pi r^2 \left[ u - \frac{u^3}{3} \right]_0^{+1} = \frac{64\pi r^2}{3}. \end{aligned}$$

10.  $x = a(2 \cos t - \cos 2t)$ ,  $y = a(2 \sin t - \sin 2t)$ ;  $F_x(0, \pi) = ?$

Itt:

$$\begin{aligned} \dot{x} &= 2a(-\sin t + \sin 2t), \quad \dot{y} = 2a(\cos t - \cos 2t); \quad y \sqrt{\dot{x}^2 + \dot{y}^2} = \\ &= 2a(\sin t - \sin t \cos t) \sqrt{4a^2 [1 + 1 - 2(+\sin t \sin 2t + \cos t \cos 2t)]} = \\ &= 4a^2 \sin t (1 - \cos t) \sqrt{2(1 - \cos t)} = 4\sqrt{2}a^2 (1 - \cos t)^{\frac{3}{2}} \sin t. \end{aligned}$$

Így:

$$\begin{aligned} F &= 2\pi \cdot 4a^2 \sqrt{2} \int_0^{\pi} (1 - \cos t)^{\frac{3}{2}} \sin t dt = 8\sqrt{2}\pi a^2 \left[ \frac{2}{5} [1 - \cos t]^{\frac{5}{2}} \right]_0^{\pi} = \\ &= 8\sqrt{2}\pi a^2 \frac{2}{5} [(\sqrt{2})^{\frac{5}{2}} - 0] = \frac{128\pi a^2}{5}. \end{aligned}$$

11. Forgassuk meg az  $r = b(1 + \cos \varphi)$  kardioidot a polártengely körül.

$F(0, \varphi_1) = ? \quad F(0, \pi) = ?$

Esetünkben:

$$\begin{aligned} \dot{r} &= -b \sin \varphi, \quad r \sin \varphi \sqrt{\dot{r}^2 + \dot{\varphi}^2} = b \sin \varphi (1 + \cos \varphi) \sqrt{b^2(1 + 2 \cos \varphi + 1)} = \\ &= \sqrt{2} b^2 \sin \varphi (1 + \cos \varphi)^{\frac{3}{2}}. \end{aligned}$$

Így:

$$\begin{aligned} F(0, \varphi_1) &= 2\pi \cdot \sqrt{2} b^2 \int_0^{\varphi_1} (1 + \cos \varphi)^{\frac{3}{2}} \sin \varphi d\varphi = \\ &= \frac{4\sqrt{2}\pi b^2}{5} \left[ (1 + \cos \varphi)^{\frac{5}{2}} \right]_{\varphi_1}^0 = \frac{32\pi b^2}{5} \left( 1 - \cos^5 \frac{\varphi_1}{2} \right). \end{aligned}$$

Végül:

$$F(0, \pi) = \frac{32\pi b^2}{5}.$$

12. Az  $r = e^{\varphi}$ , *logaritmus spirál*st megforgatjuk az  $x$  tengely körül.  $F\left(0, \frac{\pi}{2}\right) = ?$

Most:

$$r \sin \varphi \sqrt{r^2 + \dot{r}^2} = \sqrt{2} \sin \varphi e^{2\varphi};$$

így:

$$F\left(0, \frac{\pi}{2}\right) = 2\pi \cdot \sqrt{2} \int_0^{\frac{\pi}{2}} e^{2\varphi} \sin \varphi d\varphi.$$

Kétszer parciálisan integrálva kapjuk:

$$F = 2\sqrt{2}\pi \frac{1}{5} \left[ 2e^{2\varphi} \sin \varphi - e^{2\varphi} \cos \varphi \right]_0^{\frac{\pi}{2}} = \frac{2\sqrt{2}\pi}{5} (2e^{\pi} + 1).$$

13. Forgassuk meg az  $r = a\varphi$  *archimedesi spirál*st a polár-tengely körül:  $F(0, \pi) = ?$   
Most:

$$\dot{r} = a; r \sin \varphi \sqrt{r^2 + \dot{r}^2} = a^2 \varphi \sin \varphi \cdot \sqrt{\varphi^2 + 1}, \text{ nem integrálható elemi úton!}$$

14. Határozzuk meg az  $y = \sqrt{x}$  görbe  $x$  tengely körüli megforgatásával keletkező forgásfelület  $1 \leq x \leq 4$  szakaszmenti részének felszínét.

15. Forgassuk meg az  $y = \sqrt{1-x}$  görbének az  $y$  tengely által levágott véges szakaszát az  $x$  tengely körül és határozzuk meg az így keletkező forgásfelület felszínét.

16. Határozzuk meg az  $y^2 = 4ax$  *parabola*  $x$  tengely körüli megforgatásával keletkező felület  $[0, 3a]$  szakaszmenti részének felszínét.

17. Határozzuk meg a  $3y - x^3 = 0$  *harmadfokú parabola*  $x$  tengely körüli megforgatásával nyert felület felszínét  $x = 0$ -tól  $x = a$ -ig.

18. Határozzuk meg az  $y = \frac{a}{2} \left( e^{\frac{x}{a}} + e^{-\frac{x}{a}} \right)$  *lánggörbe*  $x$  tengely körüli megforgatásával nyert *lángfelület* (*katenoid*) felszínét  $x = 0$ -tól  $x = a$ -ig.

19. Határozzuk meg azon orsóalakú felület felszínét, amely az  $y = \sin x$  görbe egy félhullámának  $x$  tengely körüli megforgatásával keletkezik.

20. Az  $y = \operatorname{tg} x$  görbe  $\left[0, \frac{\pi}{4}\right]$  szakaszra eső ívét megforgatjuk az abszcissza-tengely körül. Határozzuk meg az így nyert felület felszínét.

21. Határozzuk meg a  $9ay^2 = x(3a - x)^2$  görbe hurokja  $x$  tengely körüli megforgatásával nyert felület felszínét.

22. Az  $x^2 + y^2 = a^2$  *kör* első negyedbeli ívét megforgatjuk *húrja* körül. Határozzuk meg az így nyert felület felszínét. (Lásd hátul.)

23. Határozzuk meg az  $x = e^t \sin t$ ,  $y = e^t \cos t$  paraméteres egyenletrendszerű görbe  $x$  tengely körüli megforgatásával nyert felület felszínét  $t = 0$  és  $t = \frac{\pi}{2}$  között.

24. Határozzuk meg az  $x = a \cos^3 t$ ,  $y = a \sin^3 t$  *asztrois*  $x$  tengely körüli megforgatásával nyert felület felszínét.

25. A *ciklois* ívét megforgatjuk szimmetriatengelye körül. Határozzuk meg az így nyert felület felszínét. (Lásd hátul.)

26. Az  $r = 2a \sin \varphi$  görbét megforgatjuk a polártengely körül. Határozzuk meg az így nyert felület felszínét.

27. Az  $r^2 = a^2 \cos 2\varphi$  lemniszkátát megforgatjuk a polártengely körül. Határozzuk meg az így nyert felület felszínét.

28. Az  $y = e^{-x}$  görbe  $[0, \infty)$  szakaszmenti részét megforgatjuk az abszcisszatengely körül. Határozzuk meg az így nyert felület felszínét.

29. Az  $x = a \left| \cos t + \ln \operatorname{tg} \frac{t}{2} \right|$ ,  $y = a \sin t$  traktrixot megforgatjuk az abszcisszatengely körül. Határozzuk meg e végtelenbe nyúló felület felszínét.

30. Határozzuk meg  $x$  értékét úgy, hogy az  $y = \sqrt{x}$  görbe  $x$  tengely körüli forgatása által keletkező forgásfelület  $x$ -től 6-ig terjedő szeletének felülete 50 területegység legyen.

31. Határozzuk meg  $a$  értékét úgy, hogy az  $y = \sqrt{a+x}$  görbe  $y$  tengely levágta szakaszának  $x$  tengely körüli forgatása által keletkező forgásfelület felszíne 20 területegység legyen.

\*32. Mekkora a katenoid  $F(0, x)$  felszínének és az  $x$  abszcisszájú metszetének aránya az  $x \rightarrow \infty$  határesetben?

A katenoid az  $y = a \operatorname{ch} \frac{x}{a}$  görbe  $x$  tengely körüli megforgatásából származik; felszíne:

$$F(0, x) = \int_0^x y \, ds = \pi a \left( x + \frac{a}{2} \operatorname{sh} \frac{2x}{a} \right).$$

Az  $x$  abszcisszájú metszet területe:  $T(x) = \pi a^2 \operatorname{ch}^2 \frac{x}{a}$ . A kettő aránya tehát:

$$\frac{F(0, x)}{T(x)} = \frac{\pi a \left( x + \frac{1}{2} a \operatorname{sh} \frac{2x}{a} \right)}{\pi a^2 \operatorname{ch}^2 \frac{x}{a}} = \frac{1}{a} \frac{x}{\operatorname{ch}^2 \frac{x}{a}} + \operatorname{th} \frac{x}{a}.$$

Ennek határértéke  $x \rightarrow \infty$  esetén:

$$\lim_{x \rightarrow \infty} \frac{F(0, x)}{T(x)} = \lim_{x \rightarrow \infty} \frac{x}{a \operatorname{ch}^2 \frac{x}{a}} + \lim_{x \rightarrow \infty} \operatorname{th} \frac{x}{a} = 1,$$

mert  $\operatorname{th} (+\infty) = 1$ , és a *L'Hospital*-szabály\* segítségével:

$$\lim_{x \rightarrow \infty} \frac{x}{a \operatorname{ch}^2 \frac{x}{a}} = \lim_{x \rightarrow \infty} \frac{1}{2 \operatorname{sh} \frac{x}{a} \operatorname{ch} \frac{x}{a}} = 0.$$

\*β] 1. Képezzünk forgástelületet az  $x^2 + z^2 = a^2$  kör  $x$  tengely körüli megforgatásával. Mekkora felszínű darabot metsz ki belőle az  $x = 0$ -tól számítva az

$$y = \frac{1}{b} \sqrt{(a^2 - x^2)(b^2 - x^2)}, \quad b \geq a$$

egyenletű (vertikális) henger?

\* A. III. kt. 6. §.

Esetünkben:

$$z = \sqrt{a^2 - x^2}, \quad z' = \frac{-x}{\sqrt{a^2 - x^2}}, \quad \sqrt{1 + z'^2} = \sqrt{\frac{a^2 - x^2 + x^2}{a^2 - x^2}} = \frac{a}{\sqrt{a^2 - x^2}};$$

$$z \sqrt{1 + z'^2} \arcsin \frac{y}{z} = \sqrt{a^2 - x^2} \frac{a}{\sqrt{a^2 - x^2}} \arcsin \frac{\sqrt{a^2 - x^2} \sqrt{b^2 - x^2}}{b \sqrt{a^2 - x^2}} =$$

$$= a \arcsin \frac{\sqrt{b^2 - x^2}}{b} = a \arccos \frac{x}{b}.$$

Tehát:

$$F(0, x_1) = a \int_{x=0}^{x_1} \arccos \frac{x}{b} dx.$$

Parciális integrálással nyerjük:

$$F(0, x_1) = a \left( b - \sqrt{b^2 - x_1^2} + x_1 \arccos \frac{x_1}{b} \right).$$

Továbbá:

$$F(0, a) = a \left( b - \sqrt{b^2 - a^2} + a \arccos \frac{a}{b} \right).$$

Az  $a = b$  esetben  $\left( y = \frac{a^2 - x^2}{a} \right.$  parabolikus henger  $\left. \right)$ :

$$F(0, a) = 8a^2.$$

2. Az előbbi feladathoz vegyük az  $y = \frac{x}{b} \sqrt{a^2 - x^2}$ ,  $b \geq a$  egyenletű hengert.

Itt:

$$z \sqrt{1 + z'^2} \arcsin \frac{y}{z} = a \arcsin \frac{x}{b}.$$

Ezzel:

$$F(0, a) = 8a \left( a \arcsin \frac{a}{b} - b + \sqrt{b^2 - a^2} \right).$$

3. A  $z = \frac{c}{a} \sqrt{a^2 - x^2}$ ,  $a \geq c$  ellipszis  $x$  tengely körüli megforgatásával nyert forgási

ellipszoid-felületből mekkora darabot metsz ki az  $y = \frac{b}{a} \sqrt{a^2 - x^2}$ ,  $b \leq c$  egyenletű elliptikus henger? (az  $x = 0$  helytől számítva (175. ábra)).

$$F(0, x_1) = \int_{x=0}^{x_1} \sqrt{a^2 - \varepsilon^2 x^2} \arcsin \frac{b}{c} dx, \quad \text{ahol } \varepsilon^2 = \frac{a^2 - c^2}{c^2}.$$

Integrálva:

$$F(0, x_1) = \frac{c}{2a} \left[ x_1 \sqrt{a^2 - \varepsilon^2 x_1^2} + \frac{a^2}{\varepsilon} \arcsin \frac{\varepsilon x_1}{a} \right] \arcsin \frac{b}{c},$$

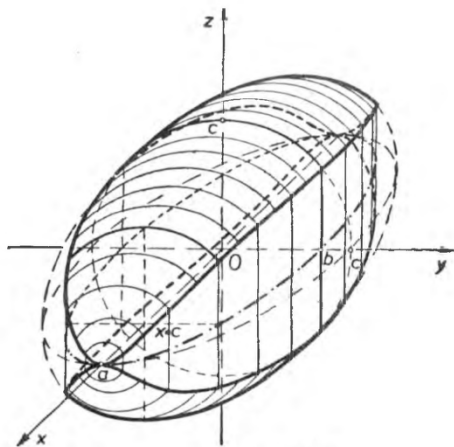
$$F = 8 F(0, c) = 4c^2 \left[ \frac{c}{a} + \frac{a}{\sqrt{a^2 - c^2}} \arccos \frac{c}{a} \right] \arcsin \frac{b}{c}.$$

A  $c = a$  (gömb) esetén:

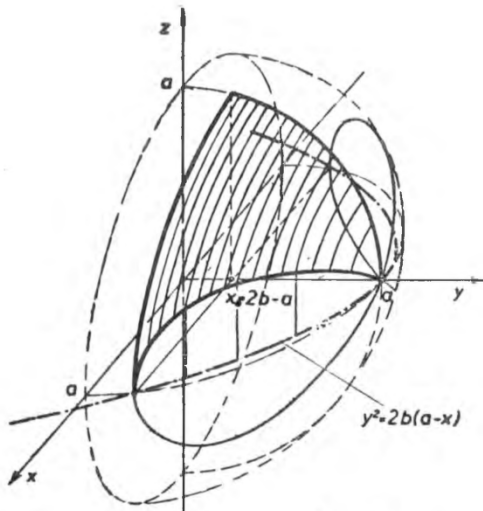
$$F_g = 8a^2 \arcsin \frac{b}{a},$$

mert

$$\frac{a}{\sqrt{a^2 - c^2}} \arccos \frac{c}{a} = \frac{\alpha}{\sin \alpha} \rightarrow 1, \text{ ha } a^2 - c^2 \rightarrow 0 \text{ és vele } \alpha \rightarrow 0.$$



175. ábra



176. ábra

4. Az 1. példabeli gömböt vessük az  $y^2 = 2b(a - x)$ ,  $b \leq a$  parabolikus hengerrel. Állapítsuk meg  $x_0 = 2b - a$  (az  $x^2 + y^2 = a^2$  kör és a parabola metszéspontjának abszcisszája) és  $x = a$  közötti integrálással a 176. ábrán vonalkázott gömbhéjdarab felszínét!

Itt:

$$z = \sqrt{a^2 - x^2}, \quad z' = \frac{-x}{\sqrt{a^2 - x^2}}$$

és

$$z \sqrt{1 + z'^2} \arcsin \frac{y}{x} = a \arcsin \frac{\sqrt{2b} \sqrt{a - x}}{\sqrt{a^2 - x^2}} = a \arcsin \sqrt{\frac{2b}{a + x}}.$$

Ily módon  $\left| u^2 = \frac{2b}{a+x} \right.$  helyettesítéssel nyerjük:

$$F = 4a \left[ 2\sqrt{b(a-b)} - \pi b + 2a \arcsin \sqrt{\frac{b}{a}} \right].$$

Ha speciálisan  $b = \frac{a}{2}$ , úgy  $F = 4a^2$ .

5. Messük az előbbi gömböt  $(y-c)^2 + x^2 = (a-c)^2$ ,  $c < a$  körhengerrel, [az  $y_0 = 2c - a$ -tól ( $x_0 = 0$ ) az  $y_1 = a$ -ig integrálunk (177. ábra)].

Itt:

$$z = \sqrt{a^2 - y^2}, \quad z' = \frac{-y}{\sqrt{a^2 - y^2}},$$

$$\begin{aligned} z \sqrt{1 + z'^2} \arcsin \frac{x}{z} &= a \arcsin \sqrt{\frac{(a-c)^2 - (y-c)^2}{a^2 - y^2}} = \\ &= a \arcsin \sqrt{1 - \frac{2c}{a+y}} = a \arccos \sqrt{\frac{2c}{a+y}}. \end{aligned}$$

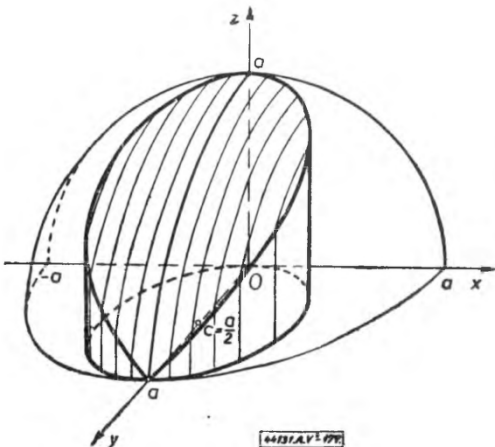
Az  $u^2 = \frac{2c}{a+y}$  helyettesítés és parciális integrálás után nyerjük a negyedgömbfelületből kimetszett ablakra:

$$F = 4a \left[ a \arccos x \sqrt{\frac{c}{a}} - \sqrt{c(a-c)} \right].$$

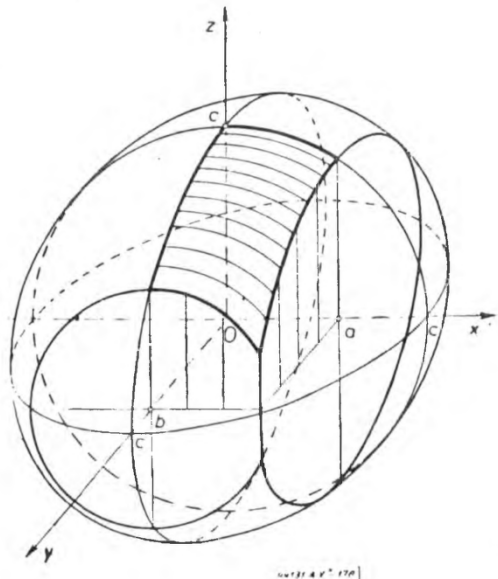
Ha  $c = \frac{a}{2}$ , úgy  $F = \pi a^2 - 2a^2$ , tehát a negyedgömb visszamaradó része:  $F_v = 2a^2$ .

(Lásd a Viviani-problémát!)

6. Messük az előbbi helyzetű, de most  $c$  sugarú (tehát  $x^2 + y^2 + z^2 = c^2$  egyenletű) gömböt  $x = a$  és  $y = b$  vetítősíkkal (178. ábra).



177. ábra



178. ábra



Ekkor:

$$F(0, x_1) = c \int_{x=0}^{x_1} \arcsin \frac{b}{\sqrt{c^2 - x^2}} dx.$$

Parciális integrálással, valamint

$$x^2 = \frac{c^2 u^2}{c^2 + u^2}, \quad c^2 - x^2 = \frac{c^4}{c^2 + u^2}$$

helyettesítéssel nyerjük az  $x_1 = a$  esetre:

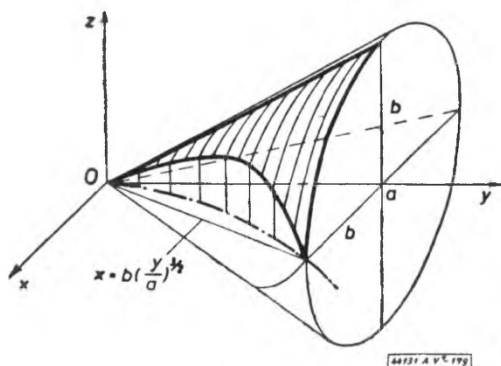
$$F(0, a) = c \left[ a \arcsin \frac{b}{\sqrt{c^2 - a^2}} + b \arcsin \frac{a}{\sqrt{c^2 - b^2}} - c \arcsin \frac{ab}{\sqrt{(c^2 - a^2)(c^2 - b^2)}} \right].$$

Ha  $a^2 + b^2 = c^2$ , úgy:  $F_c = \frac{c\pi}{2} (a + b - c)$ .

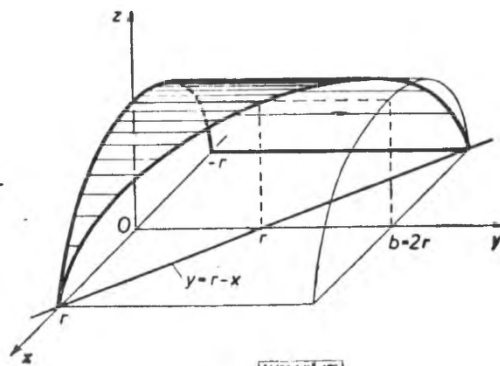
7. Messük az  $z = \frac{b}{a} y$  egyenes  $y$  tengely körüli megforgatásáva képzett kúpfelületet

az  $x = b \left( \frac{y}{a} \right)^{\frac{3}{2}}$  szemikubikus hengerrel. Mekkora a vonalkázott kúpfelületdarab (179. ábra)?

8. Messük az előbbi forgáskúpot az  $x = \frac{b}{a} \sqrt{a^2 - y^2}$  egyenletű hengerrel.  $F(0, y_1) = ?$   
 $F(0, a) = ?$



179. ábra



180. ábra

1. Adva van a  $(z, x)$  síkon egy  $r$  sugarú félkör a 180. ábrán feltüntetett helyzetben. Mekkora az erre illeszkedő egyenes henger felszíne az  $y = b$  síkig és az  $y = r - x$  síkig?

Itt  $z' = \frac{-x}{\sqrt{r^2 - x^2}}$ , s így a formula szerint:

$$F_b = \int_{-r}^r b \sqrt{1 + \frac{x^2}{r^2 - x^2}} dx = rb \int_{-r}^r \frac{1}{\sqrt{r^2 - x^2}} dx = 2rb \left[ \arcsin \frac{x}{r} \right]_0^r,$$

mert az integrálandó páros függvény. Ennek következtében:  $F_b = rb\pi$ .

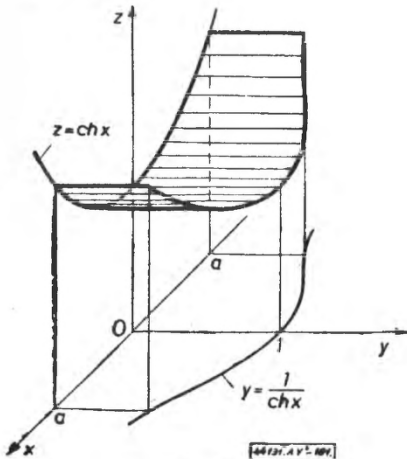
Ha speciálisan  $b = 2r$ ; akkor:

$$F_{2r} = 2r^2\pi.$$

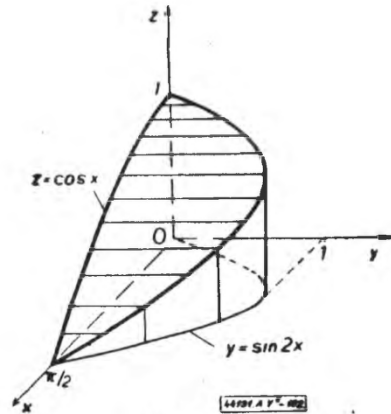
Hasonlóan (az  $y = r - x$  síkkal):

$$F_x = r \int_{-r}^r (r - x) \frac{1}{\sqrt{r^2 - x^2}} dx = r^2 \left[ \arcsin \frac{x}{r} \right]_{-r}^r + r \left[ \sqrt{r^2 - x^2} \right]_{-r}^r = r^2\pi.$$

2. Határozzuk meg a  $z = \operatorname{ch} x$  egyenletű hengerfelület azon részének felszínét, amelyet belőle az  $y = 0$  koordinátásík és az  $y = \frac{1}{\operatorname{ch} x}$  egyenletű hengerfelület kimetsz a  $-a \leq x \leq a$  szakaszon (181. ábra).



181. ábra



182. ábra

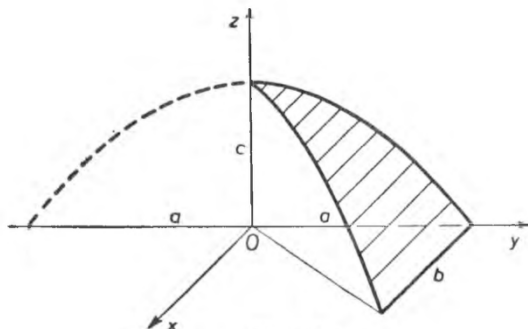
A megadott formulával dolgozva, nyerjük:

$$F(-a, a) = \int_{-a}^a \frac{1}{\operatorname{ch} x} \sqrt{1 + \operatorname{sh}^2 x} dx = \int_{-a}^a \frac{\operatorname{ch} x}{\operatorname{ch} x} dx = \left[ x \right]_{-a}^a = 2a.$$

3. Határozzuk meg a  $z = \cos x$  egyenletű hengerfelület azon részének felszínét, amelyet belőle a  $0 \leq x \leq \frac{\pi}{2}$  szakaszon az  $y = 0$  koordinátásík és az  $y = \sin 2x$  egyenletű hengerfelület kimetsz (182. ábra).

$$F\left(0, \frac{\pi}{2}\right) = \int_0^{\frac{\pi}{2}} 2 \sin x \cos x \sqrt{1 + \sin^2 x} dx = \frac{2}{3} \left[ (1 + \sin^2 x)^{\frac{3}{2}} \right]_0^{\frac{\pi}{2}} = \frac{2}{3} [2\sqrt{2} - 1].$$

4. Adva a  $(z, y)$  síkon álló *parabolikus félhenger*, az ábrázolt helyzetben. Vezérgörbéje a  $z$  tengelyt a  $+c$  helyen, az  $y$  tengelyt a  $+a$  (és  $-a$ ) helyen metszi. Kérdés, mekkora felületű darabot (a 183. ábrán vonalkázva) metsz le e hengerből az ábrázolt függélyes vetítősík? (*Parabolikus kolostorboltozat.*)



183. ábra

A vezérgörbe egyenlete:

$$z = -\alpha y^2 + c; \quad z(0) = c, \quad z(a) = 0 = -\alpha a^2 + c, \quad \text{ahonnan } \alpha = \frac{c}{a^2}, \text{ tehát:}$$

$$z = -\frac{c}{a^2} y^2 + c = c \left(1 - \frac{y^2}{a^2}\right).$$

$$z' = \frac{dz}{dy} = -\frac{2c}{a^2} y. \quad \sqrt{1 + z'^2} =$$

$$= \sqrt{1 + \frac{4c^2}{a^4} y^2} = \sqrt{1 + \left(\frac{2c}{a^2} y\right)^2}.$$

A vetítősík (nyomvonalának) egyenlete:

$$x = \frac{b}{a} y.$$

Igy az integrandus:

$$x(y) \sqrt{1 + z'(y)^2} = \frac{b}{a} y \sqrt{1 + \frac{4c^2}{a^4} y^2}.$$

A szóbanforgó hengerdarab felszíne tehát:

$$F = \int_{y=0}^a \frac{b}{a} y \sqrt{1 + \frac{4c^2}{a^4} y^2} dy = \frac{b}{a} \frac{a^4}{8c^2} \int_{y=0}^a \frac{8c^2}{a^4} y \sqrt{1 + \frac{4c^2}{a^4} y^2} dy =$$

$$= \frac{ba^3}{8c^2} \int_{u=1}^{1+\frac{4c}{a^2}} \sqrt{u} du, \quad \text{ahol } u = 1 + \frac{4c^2}{a^4} y^2;$$

$$F = \frac{ba^3}{12c^2} \left[ u^{\frac{3}{2}} \right]_1^{1+\frac{4c}{a^2}} = \frac{b}{12c^2} [(\frac{4c^2}{a^2} + 4c^2)^{\frac{3}{2}} - a^3].$$

5. Legyen az előző példabeli henger és vetítősík helyzete változatlan, a henger vezérgörbéje pedig a  $P_1(0, 0, c)$ ,  $P_2(0, a, 0)$ ,  $P_3(0, -a, 0)$ , pontokkal meghatározott körívnek a pozitív  $z$  és  $y$  tengely közé eső darabja. (Körös kolostorboltozat) (184. ábra).

A kör egyenlete:

$$a^2 = c(k + k + c) = c(2k + c),$$

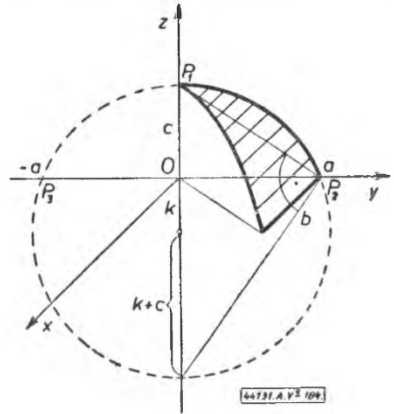
$$k = \frac{a^2 - c^2}{2c},$$

$$r = c + k = \frac{2c^2 + a^2 - c^2}{2c} = \frac{a^2 + c^2}{2c},$$

tehát

$$\left( z + \frac{a^2 - c^2}{2c} \right)^2 + y^2 = \left( \frac{a^2 + c^2}{2c} \right)^2,$$

$$z = \sqrt{\left( \frac{a^2 + c^2}{2c} \right)^2 - y^2} - \frac{a^2 - c^2}{2c},$$



184. ábra

Az előző példabelihez hasonló számítással:

$$F = \frac{b(a^2 + c^2)}{2a}.$$

6. Ugyanazon feladat, mint az előző kettő, csak a henger vezérgörbéje  $a$  és  $c$  féltengelyű ellipsziskvadráns. (Elliptikus boltozat.)

Ha  $a > c$ , úgy:

$$F(0, y_1) = \int_{y=0}^{y_1} y \sqrt{\frac{a^2 - \varepsilon^2 y^2}{a^2 - y^2}} dy, \quad \varepsilon^2 = \frac{a^2 - c^2}{a^2}.$$

Ha  $a < c$ , úgy:

$$F(0, y_1) = \int_{y=0}^{y_1} y \sqrt{\frac{a^2 - \lambda^2 y^2}{a^2 - y^2}} dy, \quad \lambda^2 = \frac{c^2 - a^2}{a^2}.$$

Az integrálás  $a^2 - y^2 = u^2$  helyettesítéssel végezhető. Az  $y_1 = a$ -ig integrálva nyerjük:

$$F(0, a) = \frac{ab}{2} \left[ 1 + \frac{1 - \varepsilon^2}{2\varepsilon} \ln \left( \frac{1 + \varepsilon}{1 - \varepsilon} \right) \right], \quad a > c;$$

illetve

$$F(0, a) = \frac{ab}{2} \left[ 1 + \frac{1 + \lambda^2}{\lambda} \operatorname{arctg} \lambda \right], \quad a < c.$$

7. Ugyanazon feladat, mint az előbbieket. A henger vezérgörbéje most az  $y^{\frac{2}{3}} + z^{\frac{2}{3}} = a^{\frac{2}{3}}$  asztrois. Mekkora a lemetezett hengerdarab felszíne?

$$F(0, y_1) = \frac{3}{5} b \sqrt[3]{\frac{y_1^5}{a^2}} = \frac{2}{5} \frac{b}{a} y_1 \cdot \frac{3}{2} a^{\frac{1}{3}} y_1^{\frac{2}{3}} = \frac{2}{5} x_1 S_y,$$

ahol  $S_y = \frac{3}{5} a^{\frac{1}{3}} y_1^{\frac{2}{3}}$  az asztrois ívhossza a  $[0, y_1]$  szakaszon.

Ha  $y_1 = a$ , akkor:

$$F(0, a) = \frac{3}{5} ab = \frac{2}{5} b S_a.$$

\*8. Meghatározandó a  $z = \sqrt{c^2 - x^2}$  körhengerkvadránsból az  $y = \frac{bc}{c-x}$  henger által lemetezett darab felszíne, az  $x = 0$ -tól számítva (185. ábra).

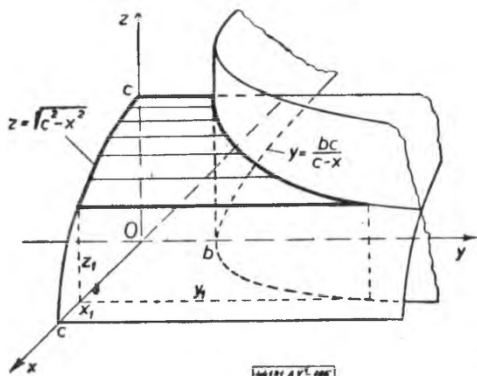
Esetünkben:

$$z' = -\frac{x}{\sqrt{c^2 - x^2}}; \quad y(x) \sqrt{1 + z'(x)^2} = \frac{bc}{c-x} \sqrt{1 + \frac{x^2}{c^2 - x^2}} = \frac{bc^2}{(c-x) \sqrt{c^2 - x^2}}.$$

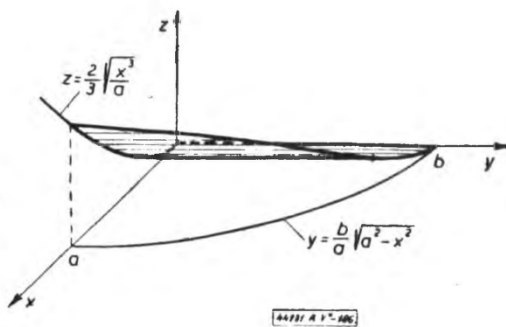
Ezekkel:

$$F(0, x_1) = \int_{x=0}^{x_1} \frac{bc^2 dx}{(c-x) \sqrt{c^2 - x^2}}.$$

Helyettesítés:  $x = c \cos t$ ,  $\frac{\pi}{2} \geq t \geq t_1$ . Így módon:



185. ábra



186. ábra

$$\begin{aligned} F(0, t_1) &= \frac{bc^2}{c^2} c \int_{t=\frac{\pi}{2}}^{t_1} \frac{-\sin t dt}{(1 - \cos t) \sin t} = bc \int_{\frac{\pi}{2}}^{t_1} \frac{-dt}{2 \sin^2 \frac{t}{2}} = \\ &= bc \left[ \operatorname{ctg} \frac{t}{2} \right]_{\frac{\pi}{2}}^{t_1} = bc \left[ \operatorname{ctg} \frac{t_1}{2} - 1 \right]. \end{aligned}$$

Mivel

$$yz = \frac{bc}{c(1 - \cos t)} c \sin t = \frac{2 bc \sin \frac{t}{2} \cos \frac{t}{2}}{2 \sin^2 \frac{t}{2}} = bc \operatorname{ctg} \frac{t}{2}.$$

így eredményünk egyszerűbb alakban:

$$F(0, x_1) = y_1 z_1 - bc.$$

\*9 Hasonló a feladat  $z = \frac{2}{3} \sqrt{\frac{x^3}{a}}$  és  $y = \frac{b}{a} \sqrt{a^2 - x^2}$  esetén (186. ábra).

Most:

$$\begin{aligned} z' &= \sqrt{\frac{x}{a}}; \quad y(x) \sqrt{1 + z'(x)^2} = \frac{b}{a} \sqrt{a^2 - x^2} \cdot \sqrt{1 + \frac{x}{a}} = \\ &= b \sqrt{1 - \frac{x^2}{a^2}} \cdot \sqrt{1 + \frac{x}{a}} = b \left(1 + \frac{x}{a}\right) \sqrt{1 - \frac{x}{a}}. \end{aligned}$$

Ezekkel:

$$F(0, x_1) = \int_0^{x_1} b \left(1 + \frac{x}{a}\right) \sqrt{1 - \frac{x}{a}} dx.$$

Helyettesítés:

$$\begin{aligned} \frac{x}{a} &= \cos 2t; \quad b \left(1 + \frac{x}{a}\right) \sqrt{1 - \frac{x}{a}} = 2\sqrt{2} b \cos^2 t \sin t, \\ dx &= -2a \sin 2t dt = -4a \sin t \cos t dt, \\ -\frac{\pi}{4} &\leq t \leq \frac{1}{2} \arccos \frac{x_1}{a} = t_1. \end{aligned}$$

Ily módon:

$$\begin{aligned} F(0, t_1) &= -8\sqrt{2} ab \int_{-\frac{\pi}{4}}^{t_1} \cos^3 t \sin^2 t dt = \\ &= -8\sqrt{2} ab \int_{-\frac{\pi}{4}}^{t_1} (1 - \sin^2 t) \sin^2 t \cos t dt = +8\sqrt{2} ab \left[ \frac{\sin^3 t}{3} - \frac{\sin^5 t}{5} \right]_{-\frac{\pi}{4}}^{t_1} = \\ &= 8\sqrt{2} ab \left[ \frac{2\sqrt{2}}{3 \cdot 8} - \frac{4\sqrt{2}}{5 \cdot 32} - \frac{\sin^3 t_1}{3} + \frac{\sin^5 t_1}{5} \right]. \end{aligned}$$

Mivel:

$$1 - \frac{x}{a} = 1 - \cos 2t = 2 \sin^2 t, \quad \text{azaz} \quad \sqrt{\frac{a - x_1}{2a}} = \sin t_1,$$

így:

$$\begin{aligned} F(0, x_1) &= 8\sqrt{2} ab \left[ \frac{\sqrt{2}(10 - 3)}{120} - \left( \frac{1}{3} - \frac{a - x_1}{5 \cdot 2a} \right) \sqrt{\left( \frac{a - x_1}{2a} \right)^3} \right] = \\ &= \frac{2b}{15} \left[ 7a - (7a + 3x_1) \sqrt{\left( \frac{a - x_1}{a} \right)^3} \right]. \end{aligned}$$

Az  $x_1 = a$  esetén.

$$F(0, a) = \frac{14}{15} ab.$$

10. Hasonló a feladat  $z = \frac{x \sqrt{a^2 - x^2}}{\sqrt{8a}}$ ,  $y = \frac{bx^2}{a^2 - x^2}$  esetén.

11. Hasonló a feladat  $z = a \ln \frac{a^2}{a^2 - x^2}$ ,  $y = \frac{b^3}{a^2 - x^2}$  esetén.

12. Hasonló a feladat  $z = a \operatorname{arch} \frac{x}{a} = a \ln \left( \frac{x + \sqrt{x^2 - a^2}}{a} \right)$  (láncgörbe) és  $y = \frac{b}{a} \sqrt{x^2 - a^2}$  (hiperbola) esetén.

13. Hasonló a feladat, ha

$$z = \frac{a}{2} \ln \frac{a + \sqrt{2ax - x^2}}{a - \sqrt{2ax - x^2}} - \sqrt{2ax - x^2}$$

(*egyenes traktria* csúcsával az origóban,  $x = a$  aszimptótával) és  $y = b \frac{a^2 - x^2}{a^2}$

(*parabola*, csúcsa  $y = b$ -nél).  $F(0, x_1) = ?$   $F(0, a) = ?$

14. Az előző feladatban vegyünk a parabola helyett  $a$  és  $b$  féltengelyű *ellipszis-kvadránst*.

15. Az előbbi feladatban vegyünk az  $a$  és  $b$  féltengelyű *ellipszis-kvadráns* helyett  $\frac{a}{2}$  és  $\frac{b}{2}$  féltengelyű *ellipszist*.

16.  $z = a \ln \frac{a}{a^2 - x^2}$ ,  $y = b \frac{a^2 - x^2}{a^2}$ ;  $F(0, x_1) = ?$   $F(0, a) = ?$

## EREDMÉNYTÁR

### 1. §. Határozott integrál

b)

$$\alpha_1) \quad 3. \quad I = \lim_{n \rightarrow \infty} \sum_{i=1}^n \frac{2}{\sqrt{4 - \left(\frac{i}{n}\right)^2}} \cdot \frac{1}{n} = 2 \int_0^1 \frac{dx}{\sqrt{4 - x^2}} =$$

$$= 2 \left[ \arcsin \frac{x}{2} \right]_0^1 = \frac{\pi}{2}.$$

$$4. \quad I = \lim_{n \rightarrow \infty} \sum_{i=1}^{n-1} \frac{1}{1 + \left(\frac{i}{n}\right)^2} \cdot \frac{1}{n} = \int_0^1 \frac{dx}{1 + x^2} = \left[ \operatorname{arctg} x \right]_0^1 = \frac{\pi}{4}.$$

$$5. \quad I = \lim_{n \rightarrow \infty} \sum_{i=1}^n \left(\frac{i}{n}\right)^m \cdot \frac{1}{n} = \int_0^1 x^m dx = \frac{1}{m+1}.$$

$$\alpha_2) \quad 9. \quad I = \lim_{n \rightarrow \infty} \sum_{i=1}^n e^{\frac{i}{n}} \cdot \frac{1}{n} = \lim_{n \rightarrow \infty} \left( \frac{1}{r} \cdot \frac{\left(e^{\frac{1}{n}}\right)^{n+1} - 1}{\left(e^{\frac{1}{n}}\right) - 1} \right) =$$

$$= \lim_{n \rightarrow \infty} \frac{1}{\frac{1}{e^{\frac{1}{n}} - 1}} \cdot \lim_{n \rightarrow \infty} \left( e^{\frac{n+1}{n}} - 1 \right) = 1 \cdot (e - 1) = e - 1.$$

$$10. \quad \sigma = \sum_{i=0}^{n-1} (a q^i)^{-1} \cdot (a q^{i+1} - a q^i) = n(q - 1) = n \left( \sqrt[n]{\frac{b}{a}} - 1 \right).$$

$$I = \lim_{n \rightarrow \infty} \sigma = \lim_{n \rightarrow \infty} n \left( \sqrt[n]{\frac{b}{a}} - 1 \right) = \ln b - \ln a = \ln \frac{b}{a}.$$



## c)

$$\gamma \quad 18. \quad I = \frac{1}{2} \ln \frac{9}{5}.$$

$$19. \quad I = \ln \sqrt{\frac{3}{2}}.$$

$$20. \quad I = 3 \ln \frac{b}{b-a}.$$

$$21. \quad I = \frac{7}{72}.$$

$$22. \quad I = \frac{2}{3} (\sqrt[5]{8} - 1).$$

$$23. \quad I = -5 (\sqrt[5]{16} - 1).$$

$$24. \quad I = \frac{\pi}{12}.$$

$$25. \quad I = \frac{\sqrt{3}}{2}.$$

$$26. \quad I = 2 - \frac{\pi}{4}.$$

27. Az A. IV. 6. §. a) 6. példa szerint:

$$F(x) = \frac{x}{2} \sqrt{a^2 - x^2} + \frac{a^2}{2} \arcsin \frac{x}{a} \quad \text{és} \quad I = F(a) - F(-a) = \frac{a^2 \pi}{2}.$$

$$28. \quad I = -\ln \frac{\sqrt{3}}{2}.$$

$$29. \quad I = 0,2 (e - 1)^6.$$

$$30. \quad I = \frac{1}{2} \int_0^{\frac{\pi}{10}} (\sin 5x + \sin x) dx; \quad I = \frac{3}{5} - \frac{\cos 18^\circ}{2}.$$

$$31. \quad I = 1 - 2 \ln 2.$$

$$32. \quad I = \int_0^1 \frac{x^2 + 1 - 1}{x^2 + 1} dx \quad \text{és két integrál összegeként előállítva:} \quad I = 1 - \frac{\pi}{4}.$$

$$33. \quad \arctg \frac{1}{7}. \quad \text{A végeredménynél felhasználtuk az} \quad \arctg b - \arctg a = \arctg \left[ \frac{b-a}{1+ab} \right]$$

azonosságot ami az inverz függvényre áttérés és a  $\operatorname{tg}(\alpha - \beta) = \frac{\operatorname{tg} \alpha - \operatorname{tg} \beta}{1 + \operatorname{tg} \alpha \operatorname{tg} \beta}$  azonosság alkalmazásával látható be.

$$34. \quad I = \frac{1}{2} \ln \frac{8}{5}.$$

$$35. \quad I = \frac{1}{8} \ln \frac{3}{2} - \frac{19}{576}.$$

## d)

$$\beta \quad 7. \quad L_n = \frac{\pi}{2^{n+1}}.$$

$$9. \quad I = 1.$$

$$10. \quad I = e - 2.$$

$$11. \quad I = 0.$$

$$12. \quad I = -4\pi^2.$$

$$13. \quad I = \frac{\pi - 2}{4}.$$

$$14. \quad I = \frac{1}{16} (e^4 + 1).$$

$$15. \quad I = 2(\ln 2 - 1)^2.$$

$$16. \quad I = 6 - 2e.$$

$$17. \quad I = 2 - \frac{3}{4 \ln 2}. \quad 18. \quad I = \pi \frac{9 - 4\sqrt{3}}{36} + \frac{1}{2} \ln \frac{3}{2}.$$

$$19. \quad I = \frac{1}{6}. \quad 20. \quad I = \frac{\pi}{8}.$$

1. Az A. IV. kt. 4. §. a)  $\delta_2$ ), 6. §. a)  $\delta$ ) és az 1. példa felhasználásával:

$$I = \frac{1}{2} \frac{m! n!}{(m+n+1)!} \quad 22. \quad I = \frac{e^\pi - 2}{5}.$$

23. Az A) IV. kt. 6. §. a)  $\delta$ ) rekurzív formula és az 1. példa felhasználásával.

24. Az A) IV. kt. 6. §. a)  $\varepsilon$ ) rekurzív formula alapján világos.

25.  $x = \sin t$  helyettesítés, majd az 1. példa felhasználása.

$$\underline{\gamma} \quad 4. \quad x = a \sin u, \quad I = \frac{a^4 \pi}{16}.$$

$$6. \quad \text{Az } x = \pi\text{-re fennálló szimmetria miatt } I = 2 \int_0^\pi \frac{dx}{a + b \cos x}.$$

$$\text{Helyettesítés: } t = \operatorname{tg} \frac{x}{2}. \quad I = \frac{2\pi}{\sqrt{a^2 - b^2}}. \quad 8. \quad x = \sin t; \quad I = 1 - \frac{\pi}{4}.$$

$$9. \quad x = \operatorname{ch} t, \text{ majd az integrált } \frac{\operatorname{ch}^2 t - 1}{\operatorname{ch} t} = \operatorname{ch} t - \frac{1}{\operatorname{ch} t} \text{ alakra írva és ez utóbbit} \\ \text{újabb } u = \operatorname{th} \frac{t}{2} \text{ helyettesítés után integrálva: } I = \sqrt{3} - \frac{\pi}{3}.$$

$$10. \quad \text{Először a számlálót gyöktelenítjük: } I = \int_0^1 \frac{1-x}{\sqrt{1-x^2}} dx; \quad I = \frac{\pi}{6} - 1.$$

$$11. \quad t = \operatorname{tg} \frac{x}{2}; \quad I = \frac{\pi}{\sqrt{5}}. \quad 12. \quad \sqrt{x} = t; \quad I = 2 - \frac{\pi}{2}.$$

$$13. \quad \sqrt{x} = t; \quad I = 7 + 2 \ln 2. \quad 14. \quad \sqrt{x} = t; \quad I = \frac{5}{3} - 2 \ln 2.$$

$$15. \quad 1 + x = t^2; \quad I = \frac{32}{3}.$$

$$16. \quad 1 + \ln x = t \text{ (vagy } \ln x = t) \text{ helyettesítés útján: } I = 2.$$

$$17. \quad x - 2 = t^3. \quad I = 8 + \frac{3\sqrt{3}}{2} \pi.$$

$$18. \quad I = \int_1^e \frac{u^2}{1+u^2} \frac{du}{u} \quad (u = e^x \text{ helyettesítés után); vagy a még egyszerűbb } u = e^{2x}$$

$$\text{helyettesítéssel: } I = \frac{1}{2} \ln \frac{1+e^2}{2}.$$

19.  $e^x - 1 = t^2$ ,  $x = \ln(t^2 + 1)$  helyettesítéssel:  $I = \frac{4 - \pi}{2}$ .

20.  $e^x - 1 = t^2$ ;  $e^x dx = 2t dt$ ;  $I = 4 - \pi$ .

21.  $e^x = t$   $I = \ln \frac{e + \sqrt{1 + e^2}}{1 + \sqrt{2}}$ .

22.  $x = \operatorname{tg} u$ ;  $I = \int_0^{\frac{\pi}{4}} \cos^6 u \frac{1}{\cos^2 u} du$ ;  $I = \frac{3\pi}{32} + \frac{1}{4}$ .

23. Teljes négyzetre kiegészítéssel, majd  $x + 1 = \operatorname{ch} t$  helyettesítéssel:

$$I = \sqrt{3} - \frac{1}{2} \ln(2 + \sqrt{3}).$$

24. Először  $x = \sin u$ , majd  $t = \operatorname{tg} \frac{u}{2}$  helyettesítés.  $I = \frac{\pi}{\sqrt{a^2 - 1}}$ .

25.  $I = \int_0^{\frac{\pi}{4}} \frac{dx}{\left(\frac{1}{1 + \operatorname{tg}^2 x}\right) \cos^2 x} = \int_0^1 (u^2 + 1) du = \frac{4}{3}$ , ( $\operatorname{tg} x = u$  helyettesítés).

26.  $x = a \sin^2 t$ ;  $I = \pi$ .

27.  $x = \frac{1}{z}$ ;  $I = - \int_3^1 z^4 \left( \frac{1}{z} - \frac{1}{z^3} \right)^{\frac{1}{3}} \frac{1}{z^2} dz = \int_1^3 z (z^2 - 1)^{\frac{1}{3}} dz$ .

(Az utolsó lépésben  $z^2 = (z^3)^{\frac{1}{3}}$  átalakítással élünk.)  $I = 6$ .

28.  $I = - \int_0^{\frac{\pi}{3}} \frac{1 - \cos^2 x}{\cos^3 x} (-\sin x) dx = - \int_1^{\frac{1}{2}} \frac{1 - u^2}{u^3} du$ ;  $I = 1,5 - \ln 2$ .

29.  $I = \int_0^{\frac{\pi}{3}} \frac{\cos^4 x}{\sin^4 x \cos^6 x} dx = \int_0^{\frac{\pi}{3}} \frac{1}{\operatorname{tg}^4 x \cos^2 x} (1 + \operatorname{tg}^2 x)^2 dx =$

$$= \int_1^{\sqrt{3}} \frac{(1 + u^2)^2}{u^4} du; \quad I = \frac{10\sqrt{3}}{27} + \frac{4}{3}.$$

$$30. \quad I = \frac{1}{2a} \int_{\pi}^0 \frac{-2a \sin x \, dx}{\sqrt{1 + 2a \cos x + a^2}} = \frac{1}{a} \left[ \sqrt{1 + 2a \cos x + a^2} \right]_{\pi}^0 = \\ = \frac{1}{a} [(1 + a) - (1 - a)] = 2.$$

$$31. \quad I = \int_0^{\frac{\pi}{2}} \frac{dx}{a^2 \operatorname{tg}^2 x + b^2} = \int_0^{\infty} \frac{du}{a^2 u^2 + b^2}, \quad I = \frac{\pi}{2ab}.$$

$$32. \quad \text{Az } x = \sin u \text{ helyettesítés, majd osztás után: } I = -\frac{\pi}{2} + 2 \int_0^{\frac{\pi}{2}} \frac{du}{1 + \sin^3 u},$$

itt újabb  $\operatorname{tg} u = t$  helyettesítés. Végül:  $I = \frac{\pi}{2} (\sqrt{2} - 1).$

$$34. \quad \text{Helyettesítés } x = \operatorname{tg} \frac{t}{2} \left( \text{nem } t = \operatorname{tg} \frac{x}{2} ! \right), \quad dx = \frac{dt}{2 \cos^2 \frac{t}{2}}, \quad t_a = 2 \operatorname{arctg} 0 = 0,$$

$$t_f = 2 \operatorname{arctg} 1 = \frac{\pi}{2}, \quad \operatorname{arctg} x = \frac{t}{2}.$$

$$36. \quad I = a^{2n} \cdot \frac{(2n-1)!!}{2n!!} \cdot \frac{\pi}{2}.$$

38. Az  $x = \pi - u$  helyettesítés után  $I = -I$ , azaz  $2I = 0$  adódik. Közben felhasználjuk a  $\sin(\alpha + \beta)$ -ra vonatkozó azonosságot.

44. Alkalmazzuk először az  $\ln x = u$  helyettesítést; ekkor:

$$I = \int_{0,5}^1 \frac{du}{\sqrt{u(1-u)}}.$$

Alkalmazzuk másodszor az  $u = \sin^2 v$  helyettesítést. Ezzel:

$$I = \int_{\frac{1}{4}\pi}^{\frac{1}{2}\pi} \frac{2 \sin v \cos v}{\sin v \cos v} = \frac{1}{2} \pi.$$

45.  $\arcsin x = t$ ,  $x = \sin t$ ,  $dx = \cos t \, dt$ ,  $t_a = 0$ ,  $t_f = \frac{\pi}{2}$  helyettesítés után:

$$I = \int_0^{\frac{\pi}{2}} e^t \cos t \, dt.$$

Ezt tovább parciálisan integrálva, illetve felhasználva az A. IV. kt. 3. §. 8) alatti formulát, kapjuk:

$$I = \left[ e^t \frac{\sin t + \cos t}{2} t^{\frac{n}{2}} \right]_0^n = \frac{1}{2} \left( e^{\frac{n}{2}} - 1 \right).$$

46. Legyen  $t = x^2$ ,  $dt = 2x dx$ ; ezzel:

$$\begin{aligned} I &= \frac{1}{2} \int_0^1 \frac{t dt}{t^2 + t + 1} = \frac{1}{4} \int_0^1 \frac{2t + 1}{t^2 + t + 1} dt - \frac{1}{4} \int_0^1 \frac{dt}{t^2 + t + 1} = \\ &= \frac{1}{4} \left[ \ln(t^2 + t + 1) \right]_0^1 - \frac{1}{4} \int_0^1 \frac{dt}{\left(t + \frac{1}{2}\right)^2 + \frac{3}{4}} = \\ &= \frac{1}{4} \left[ \ln(t^2 + t + 1) \right]_0^1 - \frac{1}{4} \left[ \frac{2}{\sqrt{3}} \operatorname{arctg} \frac{t + \frac{1}{2}}{\frac{\sqrt{3}}{2}} \right]_0^1 = \frac{1}{4} \ln 3 - \frac{\pi \sqrt{3}}{36}. \end{aligned}$$

47. Alkalmazva az

$$a^2 + b^2 - 2ab \cos \varphi = t^2, \quad 2ab \sin \varphi d\varphi = 2t dt \quad t_a = a - b, \quad t_f = \sqrt{a^2 + b^2}$$

helyettesítést:

$$\begin{aligned} I &= -\frac{1}{4a^3 b^3} \int_{a-b}^{\sqrt{a^2+b^2}} [(a^3 - b^3)t^3 - 2(a^2 + b^2)t^2 + t^4] dt = \\ &= -\frac{1}{4a^3 b^3} \left[ (a^2 - b^2)t^2 - \frac{2}{3}(a^2 + b^2)t^3 + \frac{t^5}{5} \right]_{a-b}^{\sqrt{a^2+b^2}} = \\ &= \frac{1}{15a^3 b^3} [2(a-b)^3(a^2 + 3ab + b^2) - \sqrt{a^2 + b^2}(2a^4 - 11a^2b^2 + 2b^4)]. \end{aligned}$$

#### MŰSZAKI ALKALMAZÁSOK

8.  $s \approx 2,7 \text{ m.}$

9.  $x_2 = x_1 + \sin \left( \frac{2\pi t_2}{T} + \varphi_0 \right) - \sin \left( \frac{2\pi t_1}{T} + \varphi_0 \right).$

10.  $x = x(y) = Ce^{\frac{y}{2k}}, \quad x = x_0(y) = a e^{\frac{y}{2k}}, \quad V = \pi a^2 k \left( e^{\frac{y_1}{k}} - 1 \right).$

11.  $l = \frac{k}{g} \left[ \frac{1}{2} \ln \frac{(k+t)^2}{k^2 - kt + t^2} + \sqrt{3} \operatorname{arctg} \frac{2t - k}{k\sqrt{3}} \right]_{t_1}^{t_2}, \text{ ahol } t = \omega^{\frac{1}{3}}, \quad k = g^{\frac{1}{3}}.$

12.  $l = \frac{y_{n0} - Y_{n-1}}{EL} \left( e^{\frac{EL}{Y_{n-1}}} - 1 \right) + Y_{n-1}.$

13  $A = 182 + 0,251 t + 0,000187 t^2.$

14. 
$$I = \frac{(61,6 - C_2)(63,6 - C_2)}{(62,6 - C_2)^2} \ln \frac{62,6}{62,6 - C_2} + \frac{1}{(62,6 - C_2)^2} \ln \frac{C_2}{C_2 - C_0} +$$
  

$$+ \frac{C_0}{62,6(62,6 - C_2)(62,6 - C_0)}.$$

e)

$\alpha - \gamma$  4–6. ad  $\alpha) \xi = \frac{14}{9}$ ; ad  $\beta) \xi = e^{\frac{8}{3}}$ ; ad  $\gamma) \xi = \sqrt[3]{\frac{16}{\frac{3}{e^2}}}.$

$\delta$  5.  $\xi = \frac{b-a}{ab} \ln \frac{b}{a}.$

$\eta$  2. Az integrandus a  $\left[\frac{\pi}{4}, \frac{\pi}{2}\right]$  intervallumban monoton csökken,

és így:

$$\frac{1}{2} = \frac{\sin \frac{\pi}{2}}{\frac{\pi}{2}} \cdot \frac{\pi}{4} \leq \int_0^{\frac{\pi}{2}} \frac{\sin x}{x} dx \leq \frac{\sin \frac{\pi}{4}}{\frac{\pi}{4}} \cdot \frac{\pi}{4} = \frac{1}{2} \sqrt{2};$$

azaz  $0,5 \leq I \leq 0,72$ . (Pontosabb számítással, más módszerrel:  $I \approx 0,62$ ).

3.  $\frac{1}{e} \leq I \leq 1.$

f)

6.  $\ln 5 = \int_1^5 \frac{1}{x} dx \approx \frac{1}{3} \left( 1 + \frac{4}{2} + \frac{2}{3} + \frac{4}{4} + \frac{1}{5} \right) = \frac{73}{45} \approx 1,622.$

7. Téglányszabállyal  $I = 70$ ; érintő-szabállyal:  $I = 62$ ; Simpson-szabállyal és határozott integrállal:  $I = 68$ . A Simpson-szabály hibaképlete szerint a hiba az  $y^{(4)}$ -jával arányos. Harmadfokú függvény esetén azonban  $y^{(4)} = 0$ , így a hiba is 0.

8–12. Trapézszabállyal:

Simpson-formulával:

$I = 1,227.$

$I = 1,236.$

$I = 3,283.$

$I = 3,239.$

$I = 34,78.$

$I = 35,68.$

$I = 9,47.$

$I = 9,49.$

$I = 44,17.$

13.  $I \approx 0,837$ , 14.  $I \approx 0,833$ , 15.  $I \approx 2,59$ .  
 16.  $I \approx 0,950$ , 17.  $I \approx 0,985$ , 18.  $I \approx 0,957$ .  
 19. Interpoláljuk az  $x = 2, 4, 6, 8$ -nál az  $y$ -t.  $F \approx 33,14$ .

## MŰSZAKI ALKALMAZÁSOK

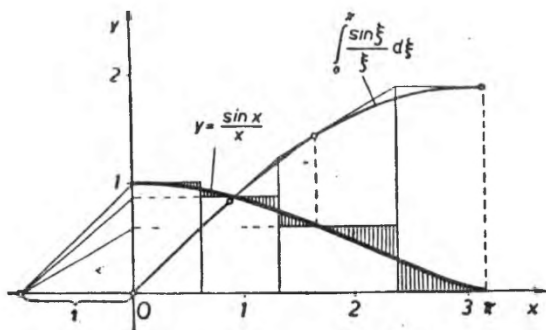
2.  $K = \frac{h}{6} \left[ r^2 \pi + 4\pi \left( \frac{r+R}{2} \right)^2 + R^2 \pi \right]$  4.  $T \approx 239 \text{ m}^2$ .  
 5.  $Q \approx 11,7 \text{ m}^2$ . 6.  $T \approx 1950 \text{ mm}^2$ .  
 8. Az  $N = N(t)$  görbe esetén:  $T = 2470 \text{ Wó}$ .  
 Az  $N_2 = N^2(t)$  görbe esetén:  $T = 9,55 \cdot 10^9 \text{ m}^2 \text{ kg}^2/\text{sec}$ .

g)

1. L. a 187. ábrát.

## 2. §. Az „elemek összegezésé”-nek módszere

## MŰSZAKI ALKALMAZÁSOK



187. ábra

21.  $Q \approx 1092 \text{ Coulomb}$ .  
 22.  $Q \approx 5110 \text{ Coulomb}$ .  
 24. Alig több  $5^\circ$ -nál.  
 25.  $t \approx 7'2''$ .  
 26.  $E = E_0 e^{-kt}$ .  
 27. A kezdeti érték  $\frac{1}{1024}$  része.

29.  $m \approx 0,69 \text{ g}$ .

30.  $t \approx 47'50''$ .

31.  $c = 0,0214 \text{ mol/l}$ .

32.  $\frac{dx}{dt} = k(a-x)(b-x) - k_1 x^2$ .

33.  $m = \frac{8}{9} \text{ g}$ .

34.  $t \approx 37,3 \text{ perc}$ .

35. a)  $c \approx 0,0238 \text{ mol/l}$ ;

b)  $t \approx 7 \text{ óra } 20'$ .

c) nem bomlik el sohasem (a reakció elméletileg nem ér véget).

36.  $k \approx 0,0513$ .

37.  $V \approx 2,915 \text{ liter}$ .

38. a)  $H_1 = H \frac{\ln a - \ln c}{\ln a - \ln b} \approx 15 \text{ cm}$ ; b)  $0,125\%$ .

## 3. §. Területszámítás

a)

$$\alpha \quad \alpha_1) \quad 1. \quad b) \quad T = \frac{1}{3}. \quad c) \quad T = 3. \quad 2. \quad b) \quad T = 2.$$

$$3. \quad a) \quad T = \frac{2}{3}. \quad b) \quad T = -\frac{2}{3}. \quad c) \quad T = 0,999.$$

$$4. \quad a) \quad T = -\ln \frac{1}{3} = \ln 3. \quad b) \quad T = \ln 2.$$

$$7. \quad T(0, 1) = \operatorname{sh} 1. \quad T(-1, 1) = 2 \operatorname{sh} 1.$$

$$9. \quad T(0, \sqrt{3}) = \frac{\pi}{3}. \quad T(-\sqrt{3}, \sqrt{3}) = \frac{2\pi}{3}. \quad T(-a, a) = 2 \operatorname{arctg} a.$$

$$13. \quad T = \ln 2.$$

$$14. \quad T = 6 \ln 2 - 2.$$

$$15. \quad T = \frac{a^2}{2e} (e^2 - 1).$$

$$16. \quad T = \frac{32}{3}.$$

$$17. \quad T(0, x_1) = \sqrt{2p} \int_0^{x_1} \frac{1}{x^2} dx = \frac{2}{3} x_1 \quad y_1 = \frac{2 \sqrt{2p} x_1^3}{3}.$$

$$18. \quad T(0, x_1) = ab \operatorname{sh} \frac{x_1}{a} = a \sqrt{y_1^2 - b^2}.$$

$$19. \quad T(0, x_1) = ab \left( e^{\frac{x_1}{a}} - 1 \right) = a (y_1 - b). \quad T(-\infty, 0) = ab.$$

$$20. \quad T(3, 4) = \frac{163}{4}.$$

$$21. \quad T(1, 3) = 5,1$$

$$22. \quad T(-1, 1) = 0.$$

$$23. \quad T(0, \pi) = 2.$$

$$24. \quad T(0, 2) = \frac{2 + 4\sqrt{2}}{3}.$$

$$25. \quad T(0; 0,3) = 0,126.$$

$$26. \quad T(0, 3) = 100,86.$$

$$27. \quad T(0, 4) = 64.$$

$$28. \quad T(0, 3) = 18.$$

$$29. \quad T(-3, 3) = 54.$$

$$30. \quad T(2, 3) = 9 \frac{5}{6}.$$

$$31. \quad T(1, 4) = 15 \frac{3}{4}.$$

$$32. \quad T(0, 5) = 20.$$

$$33. \quad T(1, 3) = 7 \frac{1}{3}.$$

$$34. \quad T(0, 8) = 1 \frac{1}{3}.$$

$$35. \quad T(0, 2) = \frac{16}{5}.$$

$$36. \quad T(1, 4) = \frac{2}{3} \sqrt{27} = 2 \sqrt{3}.$$

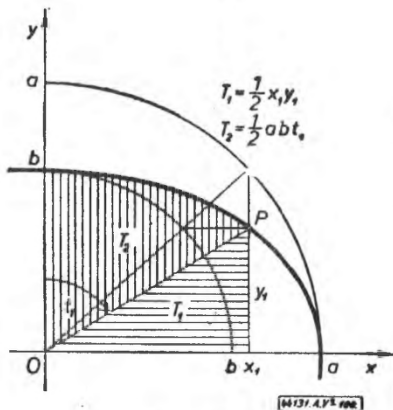
$$37. \quad T(0, 3) = \ln \frac{\sqrt{10}}{2}.$$



$$38. \quad T(0, \pi) = \frac{\pi}{4}.$$

$$46. \quad c = 2b. \text{ illetve } c = 3b.$$

$$47. \quad T(0, x_1) = \frac{1}{2} \left( x_1 y_1 + ab \arcsin \frac{x_1}{a} \right) = \frac{1}{2} (x_1 y_1 + ab t_1) = T_1 + T_2.$$



188. ábra

Eszerint a kért terület egy  $T_1 = \frac{1}{2} x_1 y_1$  háromszögterületből és egy  $T_2 = \frac{1}{2} ab t_1$  szektorterületből tevődik össze (188. ábra). Ennek megfelelően:

$$T(0, a) = \frac{1}{2} \left( a \cdot 0 + ab \frac{\pi}{2} \right) = \frac{ab\pi}{4}.$$

$$48. \quad T(a, x_1) = \frac{1}{2} \left[ x_1 y_1 - ab \ln \left( \frac{x_1}{a} + \frac{y_1}{b} \right) \right].$$

$$49. \quad T = 14,076.$$

$$50. \quad T = \frac{8}{\pi}.$$

$$52. \quad T = 4.$$

$$54. \quad T = \frac{32}{15} \sqrt{2}.$$

$$56. \quad T = \frac{2048}{105}.$$

$$51. \quad T = 1.$$

$$53. \quad T = \frac{324}{5}.$$

$$55. \quad T = \frac{32}{15}.$$

$$57. \quad T(0, x_1) = \frac{1}{2} \arccos \frac{a - x_1}{a} - \frac{(a + x_1)(3a - 2x_1)}{6a} \sqrt{2ax_1 - x_1^2};$$

$$T\left(0, \frac{3}{2}a\right) = \frac{a^2\pi}{3}; \quad T(0, 2a) = \frac{a^2\pi}{2}.$$

$$58. \quad T(0, x_1) = \frac{3a^2}{2} \arccos \frac{a - x_1}{a} - \frac{3a - x_1}{2} \sqrt{2ax_1 - x_1^2}.$$

$$59. \quad x \approx 1,18.$$

$$60. \quad x \approx -1,18.$$

$$61. \quad x \approx 0,72.$$

$$64. \quad T(x_1, c) = \frac{1}{2} \sqrt{(c - x_1)^3 (c + x_1)}, \quad T\left(-\frac{c}{2}, c\right) = T\left(-c, -\frac{c}{2}\right) = \frac{3\sqrt{3}}{8} c^3.$$

$$66. \quad T = 4\frac{2}{3}.$$

$$67. \quad T = \frac{a^2}{4}.$$

$$68. \quad T_y(1, 4) = 8 \ln 4.$$

69.  $T_x(1, 4) = 8 \ln 4$ ; a görbe a szögfelezőre szimmetrikus, a két terület tehát (a 68. és 69. példabeliek alapján) szükségképpen egyenlő.

70.  $y = a \sin t$  helyettesítés, majd parciális integrálás;

$$T(a, y_1) = \frac{1}{2} \left[ a^2 \arccos \frac{y_1}{a} - y_1 \sqrt{a^2 - y_1^2} \right], \quad T(a, 0) = \frac{a^2 \pi}{4},$$

vagyis az ábrázolt negyedkör területe.

71.  $T_\gamma(1; e) = 1.$

$$\underline{\beta} \quad 2. \quad T = \frac{1}{2}. \quad 3. \quad 2\frac{1}{2}. \quad 4. \quad \frac{8}{3}.$$

$$5. \quad T = 2. \quad 6. \quad T = \frac{1}{3}. \quad 7. \quad T = \frac{16 - 2\sqrt{2}}{3}.$$

8.  $T = -\frac{16}{3}.$  A terület az  $x$  tengely alatt van, azért negatív mérőszámú ( $\alpha_3$ ).

$$\underline{\gamma} \quad 9. \quad T = 20\frac{5}{6}. \quad 10. \quad T = 6\frac{17}{18}.$$

$$11. \quad T = e + \frac{1}{e} - 2. \quad 12. \quad T = 2. \quad 13. \quad T = \frac{3}{4}.$$

14. Először meghatározzuk az érintők egyenletét azon feltételből, hogy az  $(x_1, y)$ , illetve  $(x_2, y_2)$  pont ismert (rajta van a parabolán), és hogy az iránýtangentst a differenciáhányados ottani értéke szolgáltatja. Utána a parabola és az egyenesek közti területet a szokott módon számítjuk.  $T = \frac{2}{3}.$

$$15. \quad T = \frac{9}{8}. \quad 16. \quad T = \frac{76}{3}.$$

17. Azon pontot kell keresnünk, amelyhez tartozó érintő és rádiuszvektor egybeesik azaz  $y' = \frac{y}{x}$ . Behelyettesítve:  $\frac{1}{x} = \frac{\ln x}{x}$ , innen  $x = e$ ; a keresett terület ebből:

$$T = \frac{e}{2} - 1.$$

18. A 14. példához hasonló eljárással számítjuk.  $T = \frac{15}{4}.$

$$19. \quad T = 6,53. \quad 20. \quad T = \frac{6\pi - 2\sqrt{3} \ln(2 + \sqrt{3})}{3}.$$

$$21. \quad T = \frac{4}{3}p^2. \quad 22. \quad T = 0,950.$$

$$23. \quad T = 2. \quad 24. \quad T = 10\frac{2}{3}.$$

$$25. \quad T = \frac{6\pi + 16}{3}p^2. \quad 26. \quad T = 0,45.$$

27.  $T = 8$ .

28. Szimmetria-okok miatt:

$$T = 2 \int_0^1 (x^4 - 5x^2 + 4) dx + 2 \int_1^2 (5x^2 - x^4 - 4) dx = 8.$$

$$\delta \quad 5. \quad T(0, 2) = \frac{8}{15}.$$

$$6. \quad T(0, 2\pi) = 3a^2\pi.$$

$$7. \quad T(0, 2\pi) = 6a^2\pi.$$

$$8. \quad T(0, 2\pi) = \frac{a^2}{3} (4\pi^3 + 3\pi).$$

$$9. \quad T(0, 2\pi) = 2\pi a^2.$$

$$10. \quad T(0, \pi) = \pi - \frac{\pi^2}{4}.$$

$$11. \quad T(0, x_1) = ab(t_1 - \sin t_1); \quad T\left(0, \frac{\pi}{2}\right) = ab\left(\frac{\pi}{2} - 1\right),$$

$$T(0, 2\pi) = 2\pi ab.$$

b)

$$\alpha \quad 7. \quad T_k = \frac{r^2 \pi}{4}; \quad T_e = \frac{ab \pi}{4}. \quad 8. \quad T = \frac{3}{32} \pi a^2.$$

$$9. \quad T\left(0, \frac{\pi}{2}\right) = \frac{r^2 e^{\frac{\pi}{2}}}{2}.$$

$$10. \quad xy - \dot{x}y = a^2 t^2 (1 + t^2); \quad T(0, t_1) = \frac{a^2}{30} t_1^3 (5 + 3t_1).$$

$$11. \quad T(0, t_1) = \frac{(a+b)(a+2b)b}{2a} (t_1 - \sin t_1).$$

12. Az előbbi képletben  $b$  és  $t_1$  ellenkező előjellel veendő.

$$\beta \quad 10. \quad T(0, \varphi_1) = \frac{r_1^3}{6c}; \quad T(0, 2) = \frac{4c^2}{3}.$$

$$11. \quad T(0, \varphi_1) = \frac{r_1^2 - a^2}{4b}.$$

$$12. \quad T(0, \varphi_1) = \frac{a^2}{4} \varphi_1^2 = \left(\frac{r_1}{2a}\right)^2.$$

$$13. \quad T(1, \varphi_1) = \frac{a^2}{2} \left(1 - \frac{1}{\varphi_1}\right) = \frac{a(a - r_1)}{2}; \quad T(1, \infty) = \frac{a^2}{2}.$$

$$14. \quad T(1, \varphi_1) = \frac{a^2}{2} \ln \varphi_1 = a^2 \ln \frac{a}{r_1}.$$

$$15. \quad T(0, \pi) = \frac{\pi}{2} \left(\frac{a^2}{2} + b^2\right).$$

$$16. \quad T(0, \varphi_1) = \frac{1}{8} [(a^2 + b^2) 2\varphi_1 + (a^2 - b^2) \sin 2\varphi_1]; \quad T(0, 2\pi) = \frac{a^2 + b^2}{2} \pi.$$

$$17. \quad T\left(\frac{\pi}{4}, \frac{\pi}{2}\right) = \frac{p^2}{6} (3 + 4\sqrt{2}).$$

$$18. \quad T = \frac{\pi p^2}{(1 - \varepsilon^2)^2}.$$

$$19. \quad \varphi_0 = \sqrt[3]{30}.$$

$$20. \quad \varphi_0 = 0.$$

$$21. \quad T(0, \varphi_1) = \frac{a^2 \varphi_1^3}{6}.$$

$$22. \quad T(0, \varphi_1) = \frac{a^2}{4} \left[ \operatorname{arctg} \omega_1 - \frac{\omega_1}{1 + \omega_1^2} \right] = \frac{1}{4} [(a^2 - r_1^2) \omega_1 - a^2 \varphi_1].$$

$$26. \quad T = 10,28.$$

$$\underline{\gamma} \quad 2. \quad T\left(a, \frac{1}{a}\right) = \frac{3}{2} \left( \sqrt{a} - \frac{1}{\sqrt{a}} \right); \quad 3. \quad T\left(a, \frac{1}{a}\right) = \frac{3}{2} \left( a - \frac{1}{a} \right).$$

$$4. \quad T\left(a, \frac{1}{a}\right) = \frac{n+1}{2(n-1)} \left( a^{n-1} - \frac{1}{a^{n-1}} \right).$$

#### 4. §. Ívhossz-számítás

$$\underline{\alpha} \quad 5. \quad s(0, 4) = \frac{8}{27} (10\sqrt{10} - 1). \quad 6. \quad s(a, x_1) = \frac{x_1^3}{6a^2} - \frac{a^2}{2x_1} + \frac{a}{3}.$$

$$7. \quad s(0, a) = \ln \operatorname{tg} \left( \frac{\pi}{4} + \frac{a}{2} \right).$$

$$8. \quad s\left(\frac{\pi}{3}, \frac{2\pi}{3}\right) = \ln \operatorname{tg} \frac{\pi}{6}.$$

$$9. \quad s\left(0, \frac{1}{2}\right) = \ln 3 - \frac{1}{2}.$$

$$10. \quad s(\sqrt{3}, \sqrt{8}) = 1 + \frac{1}{2} \ln \frac{3}{2}.$$

$$11. \quad s(0, x_1) = \frac{x_1 + 3a}{3} \sqrt{\frac{x_1}{a}} = 2\sqrt{ax_1} + y_1 = \sqrt{\frac{4}{3} x_1^2 + y_1^2}.$$

$$12. \quad s(0, b) = \frac{a}{2} \left( e^{\frac{b}{a}} - e^{-\frac{b}{a}} \right).$$

$$13. \quad s(1, a+1) = \frac{a(a+2)}{2}.$$

14. Az értelmezési tartomány a  $[0, 1]$  intervallum, ezért az integrációs határok:  $x_a = 0, x_f = 1. s = 2.$

15. Az értelmezési tartomány itt a  $[-1, 1]$  intervallum.  $s = 8.$

$$16. \quad s = \frac{a^2 + ab + b^2}{a + b}.$$

$$17. \quad s(1, e) = \frac{e^2 + 1}{4}.$$

$$18. \quad s(0, x_0) = x_0 - \sqrt{2} + \sqrt{1 + e^{2x_0}} - \ln \frac{1 + \sqrt{1 + e^{2x_0}}}{1 + \sqrt{2}}.$$

$$19. \quad s(a, b) = \ln \frac{e^{2b} - 1}{e^{2a} - 1} + a - b.$$

$$20. \quad s(0, x_1) = y_1 + \frac{3}{2} \sqrt{a x_1^2}; \quad s(0, a) = \frac{9}{8} a.$$

$$21. \quad s(0, x_1) = a \ln \frac{a + x_1}{a - x_1} - x_1.$$

$$22. \quad s(0, x_1) = 2a \ln \frac{a}{a - x_1} - x_1.$$

$$24. \quad x \approx 3,4.$$

$$25. \quad x \approx 4,8.$$

$$\beta \quad 7. \quad s(0, 1) = \frac{5}{2}; \quad s(0, t_1) = \frac{t_1}{2} (4 + t_1).$$

$$8. \quad s\left(0, \frac{\pi}{2}\right) = \sqrt{2} \left(e^{\frac{\pi}{2}} - 1\right).$$

$$9. \quad s(a, b) = 2(e^b - e^a).$$

$$10. \quad s(0, a) = \frac{1}{8} [\ln(2a + \sqrt{4a^2 + 1}) + 2a \sqrt{4a^2 + 1}].$$

$$11. \quad s(0, t_1) = \frac{1}{27} [\sqrt{(4 + 9t_1^2)^3} - 8].$$

$$12. \quad s(0, t_1) = a \frac{t_1^2}{2}.$$

$$13. \quad s(0, \pi) = \frac{\pi^3}{3}.$$

$$14. \quad s = 5a \left[1 + \frac{1}{2\sqrt{3}} \ln(2 + \sqrt{3})\right].$$

$$15. \quad s\left(\frac{\pi}{2}, t_1\right) = a \ln \frac{a}{y_1}, \text{ ahol } y_1 \text{ a } t_1 \text{ paraméterértéknek megfelelő } y \text{ érték.}$$

$$16. \quad s(0, \ln a) = \ln a + \frac{a^2 - 1}{4a}. \text{ Megoldás közben felhasználjuk az } 1 + \operatorname{ch} t = 2 \operatorname{ch}^2 \frac{t}{2} \text{ azonosságot!}$$

$$17. \quad s(0, t_1) = \frac{a+b}{2} t_1 + \frac{a-b}{2} \sin t_1 \cos t_1; \quad s(0, 2\pi) = (a+b)\pi.$$

$$18. \quad s(0, t_1) \text{ és } s(0, 2\pi); \text{ mint előbb.}$$

$$19. \quad s(0, t_1) = a \left(t_1 + \frac{t_1^3}{3}\right).$$

$$20. \quad s(0, t_1) = \frac{1}{2} (\operatorname{arsh} t_1 + t_1 \sqrt{t_1^2 + 1}).$$

$$21. \quad s(t_1, t_2) = \frac{\sqrt{2}}{2} \left(\operatorname{arch} t_2^2 - \operatorname{arch} t_1^2\right).$$

$$\gamma \quad \gamma_1) \quad 6. \quad s(0, \varphi_1) = a\varphi_1 - r_1.$$

$$7. \quad s = [\sqrt{2} + \ln(1 + \sqrt{2})] p. \quad 8. \quad s = \frac{3\pi a}{2}. \quad 9. \quad s(0, t_1) = \sqrt{2} a (e^{\operatorname{arcsin} t_1} - 1).$$

$$10. \quad s\left(0, \frac{\pi}{2}\right) = a [\sqrt{2} + \ln(\sqrt{2} + 1)].$$

$$\gamma_2) \quad 12. \quad s(a, r_1) = a \ln \frac{r_1}{a}.$$

$$13. \quad s(a, r_1) = \frac{r_1^2 - a^2}{4a} + \frac{a}{2} \ln \frac{r_1}{a}.$$

## 5. §. Térfogatszámítás

b)

$$\alpha \quad 6. \quad V(0,3) = \frac{4a b^2 \pi}{3}.$$

$$7. \quad V(0, m) = a^2 \pi m = t_n \cdot m.$$

$$8. \quad V(0, m) = \frac{a^2 \pi m}{3} = t_a \cdot \frac{m}{3}.$$

$$9. \quad V(0, a) = \frac{a^3}{2} \left( \pi + \frac{\text{sh } 2}{2} \right).$$

10. Először is kiszámítjuk a forgásparaboloid köbtartalmát:  $V_P(0, a) = \pi \int_0^a x dx = \frac{a^2 \pi}{2}$ . Utána kiszámítjuk a körülvevő henger térfogatát:  $V_H = (\sqrt{a})^2 \pi \cdot a = a^2 \pi$ , mivel az alapkör sugara az  $x = a$  helyhez tartozó  $\sqrt{a}$  ordináta, magassága  $a$ . Ezekután észlelhető, hogy:  $V_P = \frac{V_H}{2}$ .

$$11. \quad V = \frac{h \pi R^3 - r^3}{3 R - r}.$$

$$12. \quad V \approx 1,54 \pi.$$

$$13. \quad V \approx 11,4 \pi.$$

$$14. \quad V_x(0, 2) = \frac{\pi}{4} (e^8 - 1).$$

$$15. \quad V_x(1, 4) = \pi \ln 4.$$

$$16. \quad V_x(1, 2) = \frac{127}{63} \pi.$$

$$17. \quad V_x(1, 3) = 5,3 \pi.$$

$$18. \quad V_x(-1, 1) = \frac{16\pi}{15}.$$

$$19. \quad V_x(0, 3) = 12\pi.$$

$$20. \quad V_x(1, 4) \approx 0,73 \pi.$$

$$21. \quad V_x(0, \pi) = \frac{3\pi^2}{8}.$$

$$22. \quad V_x(1, 3) = 6\pi.$$

$$23. \quad V_x(-\infty, 0) = \frac{\pi}{4}, \quad V_x(0, 1) = \frac{\pi}{4} (e^2 - 1).$$

$$24. \quad V_x(1, 3) \approx 3,24.$$

$$26. \quad V_y(0, 3) \approx 3,73 \pi.$$

$$27. \quad V_y(1, 4) = \pi \ln 4.$$

$$28. \quad V_y(1, 2) \approx 8,6 \pi.$$

$$29. \quad V_y(0,5, 1,5) = 0,5 \pi.$$

$$30. \quad V_y(1, 3) = 0,5 \pi.$$

$$31. \quad V_y(1, 3) \approx 6,6 \pi.$$

$$32. \quad V_y(1, 4) \approx 0,73 \pi.$$

$$33. \quad V_y(2, 4) = \frac{26}{81} \pi.$$

$$34. \quad V = 0,6.$$

$$35. \quad V = \pi r^3 \left( \frac{\pi^2}{2} - \frac{8}{3} \right).$$

$$36. \quad V = 2\pi.$$

37. 1)  $V_a = \frac{4}{3} \pi a b^2$ ; 2)  $V_b = \frac{4}{3} \pi a^2 b$ ;

3) ha speciálisan  $a = b = r$ , akkor:  $V = \frac{4}{3} \pi r^3$ .

38. Először is felírjuk a parabola egyenletét, mely a  $P_1(-a, 0)$ ,  $P_2(0, h)$  és  $P_3(a, 0)$  pontokon átmege. Majd a képlet szerint számítjuk az

$$\int_{-a}^{+a} y^2 dx \text{ integrált. } V = \frac{8}{15} \pi h^2 a.$$

39.  $V = \frac{\pi h^3}{3} (3a + h)$  [az integrálás határai  $a$  és  $a + h$ ].

40. Integrációs határok  $x = 0$  és  $x = 1$ .  $V(0, 1) = \pi (e - 2)$ .

41.  $V(a, b) = \frac{\pi}{4} \left[ \frac{e^{2b} - e^{-2b}}{2} - \frac{e^{2a} - e^{-2a}}{2} + 2(b - a) \right]$ .

42. Először is megállapítjuk az integrációs határokat; majd térfogatok különbségével számolunk.  $V = \frac{3\pi}{10}$ .

43. Az integrációs határok  $x = 0$  és  $x = 3$  (a függvény zérushelyei);

$V = \frac{\pi}{2} (15 - 16 \ln 2)$  44.  $V(0, 1) = \pi \left( \frac{\pi^2}{4} - 2 \right)$ .

45. Először is fejezzük ki  $y^2$ -et (a másodfokú egyenlet megoldó képlete segítségével), majd integráljuk a  $[-a, a]$  szakaszon.

$$V = \frac{\pi a^3}{4} \left[ \sqrt{2} \ln(1 + \sqrt{2}) - \frac{2}{3} \right].$$

46. 1) Az integrációs szakasz nyilván  $[-a, a]$ , de a párosság miatt integrálhatunk a  $[0, a]$  szakaszon is;  $V = \frac{\pi}{3} \pi a^2$ .

2) Az integrálás határai láthatóan  $x = 0$  és  $x = 1$ ;  $V = \frac{\pi^2}{16}$ .

47.  $A \pi \int_a^b y^2(x) dx = \pi \int_{t_1}^{t_2} y^2(t) \dot{x}(t) dt$  formula alapján számolunk.  $V = 5\pi^2 a^3$ .

48. L. az előző példa útmutatását.  $V = \frac{16\pi c^3}{105 a b^2}$ .

49. Az  $y$  tengely körüli megforgatás esetén  $V_y = \int_{y_1}^{y_2} x^2 dy$ ; itt célszerű  $dy = y' dx = \cos x dx$  kifejezéssel dolgozni; így :

$$V_y = \int_0^{\pi} x^2 \cos x dx = 2\pi^2.$$

50. Mivel az aszimptóta az  $x$  tengely,  $V_x = \pi \int_{-a}^a \frac{1}{1+x^2} dx = 2\pi \arctg a$ .

51.  $V = \frac{1}{2} \pi e$ .

55. Toljuk el az  $y$  tengelyt az  $x = -a\pi$  abszcisszájú pontba, s a ciklois egyenletét a koordinátarendszerben írjuk fel, majd forgassunk az  $y$  tengely körül.  $V = \pi a^3 \left( \frac{3\pi^2}{2} - \frac{8}{3} \right)$ .

56.  $V = 4\pi \sqrt{2}$ .

57. a)  $V = \pi$ . b) Hozzuk

a  $\sqrt{2}x = t$  helyettesítéssel a megadott alakra; továbbá a párosság miatt:

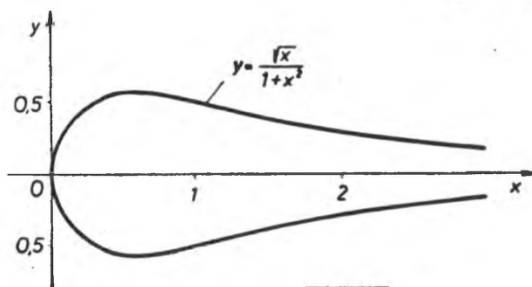
$$\int_{-\infty}^{+\infty} e^{-t^2} dt = 2 \int_0^{+\infty} e^{-t^2} dt; \text{ így: } V = \pi \sqrt{\frac{\pi}{2}}. \quad 58. \quad V = \frac{3}{32} \sqrt{2\pi}.$$

59. Parciálisan integrálunk  $\frac{1}{x^2} = v'$  és  $\sin^2 x = u$  választással, majd a  $\left[ \frac{\sin^2 x}{x} \right]$

kifejezés határértékét vesszük, ez nyilván 0, akár  $x \rightarrow \infty$ , akár  $x \rightarrow 0$  esetén. (Ez a *L'Hospital* szabály által — vagy egyszerű kiemelés útján is — könnyen ellenőrizhető). A második integrálra használjuk a szövegben említett eredményt.  $V = \pi^2$ .

60. Ha  $t_a = \frac{\pi}{2}$ -től  $t_f = \pi$ -ig in-

tegrálunk, az eredmény:  $\frac{a^3 \pi}{3}$ .



189. ábra

A görbe az  $y$  tengelyre szimmetrikus,  $0 \leq t \leq \frac{\pi}{2}$ , így a teljes térfogat:

$$V = \frac{2}{3} a^2 \pi.$$

66. L. a 189. ábrát.



c)

$$\underline{\alpha} \quad 4. \quad V = \frac{11a^4}{12} \quad 5. \quad V = \frac{3a^3}{8} \quad 6. \quad V = r^3 \frac{\pi}{2}.$$

$$7. \quad V = ab \left( h + \frac{2s}{3} \right).$$

$$\underline{\beta} \quad 5. \quad V = \frac{8a^5}{15} \quad \underline{\gamma} \quad 3. \quad V = \frac{16}{3} R^3.$$

d)

$$\underline{\gamma} \quad 3. \quad V = \frac{2}{3} ab H = 133 \frac{1}{3} \text{ cm}^3. \quad 4. \quad V = \frac{2}{3} \pi R^2 H.$$

$$5. \quad V_1 = \frac{R^2 H}{6} \left( \pi + \frac{4}{3} \right); \quad V_2 = \frac{R^2 H}{6} \left( \pi - \frac{4}{3} \right), \text{ ahol } V_1 \text{ a nagyobbik rész térfogata.}$$

$$6. \quad V = \frac{8}{3} a^3.$$

7. Írjuk fel a térfogat differenciálját! Ez esetben a keresztmetszet (lévén az előző példában a húr oldal, itt pedig átló) az előzőnek  $\frac{1}{\sqrt{2}}$ -szerese; mivel a terület az oldal négyzete, így  $T = \left( \frac{1}{\sqrt{2}} a \right)^2 = \frac{a^2}{2}$ , vagyis az előbbi fele! Ennek megfelelően:  $V_2 = \frac{V_1}{2}$ .

8. Az előbbi példához hasonló gondolatmenettel oldjuk meg. A szabályos háromszög magassága  $a \frac{\sqrt{3}}{2}$  lévén, a keresztmetszet:  $T = a^2 \frac{\sqrt{3}}{2}$ , vagyis az integrál a

6. példabelinek  $\frac{\sqrt{3}}{2}$ -szerese!

$$9. \quad V = \frac{8}{3} \pi r^3. \quad 10. \quad V = \frac{4}{3} R^2 H.$$

## 6. §. Felszínszámítás

b)

$$\underline{\alpha} \quad 8. \quad F = 2\pi a^2 + \frac{\pi b^2}{e} \ln \frac{1+e}{1-e} \quad (e \text{ az ellipszis excentricitása}).$$

$$14. \quad F = 31.$$

$$15. \quad F \approx 5,3.$$

$$16. \quad F = \frac{56}{3} \pi a^2.$$

$$17. \quad F = \frac{\pi}{9} (V(1+a^4)^3 - 1).$$

$$18. \quad F = \frac{\pi a^2}{4} (e^3 - e^{-2} + 4).$$

$$19. \quad F = 2\pi [\sqrt{2} + \ln(1 + \sqrt{2})]$$

$$20. \quad F = \pi \left[ \sqrt{5} - \sqrt{2} + \ln \frac{2\sqrt{2} + 2}{\sqrt{5} + 1} \right]. \quad 21. \quad F = 3\pi a^2.$$

22. Válasszuk  $x'$  tengelynek a húrt, az  $y'$  tengely legyen a  $(0, r)$  pontban rá merőleges; ezen elforgatott és eltoltt koordináta-rendszerben írjuk fel a kör egyenletét; ez nyilván:

$$\left(y' + \frac{r}{\sqrt{2}}\right)^2 + \left(x' - \frac{r}{\sqrt{2}}\right)^2 = r^2, \quad F = \pi a^2 \sqrt{2} \left(2 - \frac{\pi}{2}\right).$$

$$23. \quad F = \frac{2\pi \sqrt{2}}{5} (e^{\pi} - 2).$$

$$24. \quad = \frac{12}{5} \pi a^2.$$

25. Toljuk el a koordináta-rendszert úgy, hogy az  $y$  tengely egybeesék az  $x = \pi a$  egyenessel. Ebben a ciklois egyenlete nyilván:  $x = a(t - \sin t - \pi)$ ,  $y = a(1 - \cos t)$ . Most forgassuk ezen új tengely körül.

$$F = 8\pi a^2 \left(\pi - \frac{4}{3}\right).$$

$$26. \quad F = 4\pi^2 a^2.$$

$$27. \quad F = 2\pi a^2 (2 - \sqrt{2}).$$

$$28. \quad F = \pi [\sqrt{2} + \ln(1 + \sqrt{2})].$$

29.  $F = 4\pi a^2$ . Az integrálás határai nyilván  $\frac{\pi}{4}$  és  $\frac{\pi}{2}$ , mivel  $t = \frac{\pi}{2}$  esetén  $x = 0$ ,  $t = \pi$  esetén  $x \rightarrow \infty$ . A párosság miatt a teljes traktrix alatti terület ennek kétszereseként számítható.  $\left[ A(-\infty, 0) \right]$  intervallum a  $0 \leq t \leq \frac{\pi}{4}$ -nek felel meg.]

$$30. \quad x \approx 2,12.$$

$$31. \quad a \approx 2,6.$$

$$\underline{\beta} \quad 7. \quad F_{\nu}(0, y_1) = \frac{bc}{16a^2} \left[ (8y_1^2 - 3a^2) \arcsin \sqrt{\frac{y_1}{a} + (3a + 2y_1) \sqrt{y_1(a - y_1)}} \right];$$

$$F(0, a) = \frac{5bc\pi}{32}.$$

$$8. \quad F(0, y_1) = \frac{bc}{4a^2} \left[ 2y_1^2 \arccos \frac{y_1}{a} + a^2 \arcsin \frac{y_1}{a} - y_1 \sqrt{a^2 - y_1^2} \right]; \quad F(0, a) = \frac{bc\pi}{8}.$$

$$\underline{\gamma} \quad 10. \quad F(0, x_1) = y_1 z_1.$$

$$11. \quad \nu \sqrt{1 + z'^2} = b^3 \frac{a^2 + x^2}{(a^2 - x^2)^2}; \quad F(0, x_1) = x_1 y_1. \quad 12. \quad F(0, x_1) = \frac{bx_1^2}{2a}.$$

$$13. \quad F(0, x_1) = \frac{bx_1(2a + x_1)}{2a}; \quad F(0, a) = \frac{3}{2}ab.$$

$$14. \quad F(0, x_1) = b \left( a - \sqrt{a^2 - x_1^2} + a \arcsin \frac{x_1}{a} \right); \quad F(0, a) = ab \left( 1 + \frac{\pi}{2} \right).$$

$$15. \quad F(0, x_1) = b \left( a \arcsin \sqrt{\frac{x_1}{a}} - \sqrt{x_1(a - x_1)} \right); \quad F(0, a) = \frac{ab\pi}{2}.$$

$$16. \quad F(0, x_1) = \frac{bx_1}{a^2} \left( a^2 + \frac{x_1^2}{3} \right); \quad F(0, a) = \frac{4ab}{3}.$$

## FELHASZNÁLT IRODALOM

### MATEMATIKAI

1. Г. М. Фихтенгель: Курс дифференциального и интегрального исчисления, том II и III; Огиз-Гостехиздат, 1948, Москва—Ленинград.
2. A. F. Bermant: Matematikai analízis I. rész; fordítás; Tankönyvkiadó, Budapest, 1951.
3. Г. Н. Берман: Сборник задач по курсу математического анализа, изд. 3; Гостехиздат, 1951, Москва—Ленинград.
4. H. M. Gjunter—R. O. Kuzmin: Felsőbb matematikai példatár II. rész; fordítás; Tankönyvkiadó, Budapest, 1951.
5. W. A. Granville—P. F. Smith—W. R. Longley: Elements of the Differential and Integral Calculus, Rev. Edition; Ginn and Company, Boston, 1941.
6. R. Schömilch: Aufgabensammlung zu Analysis II.
7. Н. Н. Лузин: Интегральное исчисление изд. 3; Советская наука, 1952, Москва.
8. А. И. Погорелов: Сборник задач по высшей математике; Учпедгиз 1951, Москва.
9. Б. П. Демидович: Сборник задач и упражнений по математическому анализу; Гостехиздат, 1952. Москва—Ленинград.
10. Szász Pál: A differenciál- és integrálszámítás elemei I—II., 2. kiadás; Közoktatásiügyi Kiadóvállalat, Budapest, 1951.
11. Stachó Tibor: Felsőbb mennyiségtan, 2. kiadás; Budapest, 1942.
12. R. Rothe: Höhere Mathematik. Teil II. u. IV—3/4; 7-te, bzw. 4-te Auflage; B. G. Teubner, Leipzig, 1951, bzw. 1949.
13. B. Baule: Die Mathematik des Naturforschers und Ingenieurs, Band I; 7. Auflage; S. Hirzel, Leipzig, 1950.
14. M. Lindov: Integralrechnung; B. G. Teubner, Leipzig, 1951.
15. Rényi Alfréd: Valószínűségszámítás; Tankönyvkiadó Jegyzetszorosító Üzeme Budapest, 1952.
16. Г. П. Воес: Теория вероятностей; Гостехиздат, 1950, Москва—Ленинград.
17. Pachné: Gyakorlatok Gallai: Matematika c. előadásához; Tankönyvkiadó Jegyzetszorosító Üzeme, Budapest, 1953.
18. Alexits—Fenyő: Matematika vegyeszek részére; Tankönyvkiadó, Budapest, 1952.

### MŰSZAKI

1. Békéssy—Freud—Marx—Nagy: Elméleti fizikai feladatok; Tankönyvkiadó, Budapest, 1951.
2. Kövesi Antal: Hidraulika és gyakorlati példák gyűjteménye; Népszava, Budapest, 1946.

3. В. С. Яблонский—В. П. Яблонская: Сборник задач по технической гидротехнике; Гостехиздат, 1951, Москва—Ленинград.
4. Н. И. Иванов: Сборник задач по сопротивлению материалов, изд. 11; Гостехиздат, 1951, Москва—Ленинград.
5. *Muttnyánszky Ádám*: Szilárdságtan I. és II. rész; Budapest, 1948.
6. П. Л. Калантаров—Л. Р. Нейман: Теоретические основы электротехники; изд. 3: Госэнергоиздат, 1951, Москва—Ленинград.
7. *Verebély László*: Villamos művek I. és II. kt., 2. kiadás; Tankönyvkiadó Budapest, 1952.
8. *Gruber—Blahó*: Folyadékok mechanikája; Tankönyvkiadó, Budapest, 1952.
9. *Verebély—Csáki*: Villamos vasutak I. rész; Tankönyvkiadó Jegyzetsokszorosító Üzeme, Budapest, 1952.
10. *Szentmártony Tibor*: Matematikai statisztika a műszaki gyakorlatban; Tudományos Könyvkiadó N. V., Budapest, 1950.
11. *Menge—Schrieder*: Mechanik—Aufgaben. III; Fachbuchverlag GMBH, Leipzig, 1951.
12. В. И. Феодосев: Избранные задачи и вопросы по сопротивлению материалов; Гостехиздат, 1950, Москва—Ленинград.
13. *Németh—Muszkalay—Papházi—Szabó*: Csatornázás; Felsőoktatási Jegyzetellátó Vállalat, Budapest.
14. *Németh*: Ivóvízellátás; Tankönyvkiadó Jegyzetsokszorosító Üzeme, Budapest.
15. *Kézdy Árpád*: Talajmechanika I.; Tankönyvkiadó, Budapest, 1952.
16. *Németh*: Hidrológia; Tankönyvkiadó Jegyzetsokszorosító Üzeme, Budapest.
17. *Németh*: Mezőgazdasági vízhasznosítás; Tankönyvkiadó Jegyzetsokszorosító Üzeme, Budapest.
18. *Kézdy*: Földművek; Tankönyvkiadó Jegyzetsokszorosító Üzeme, Budapest.
19. *Herrmann Miksa*: Gépelemek; Németh József, Budapest, 1924.
20. К. А. Крив: Основы электротехники; Госэнергоиздат, 1952, Москва—Ленинград.
21. *Széchy Károly*: Alapozás I—II.; Közlekedési Kiadó, Budapest, 1952.
22. *Pelikán*: Matematika építészmérnök hallgatók részére; Tankönyvkiadó Jegyzetsokszorosító üzeme, Budapest.



73-373 – DABASI NYOMDA

Tankönyvkiadó Vállalat

A kiadásért felelős: dr. Vágvölgyi Tibor igazgató

Felelős szerkesztő: Ambrus Ferenc

Műszaki vezető: Hámori József

Műszaki szerkesztő: Szák András

A kézirat nyomdába érkezett: 1973. február. Megjelent: 1973. május

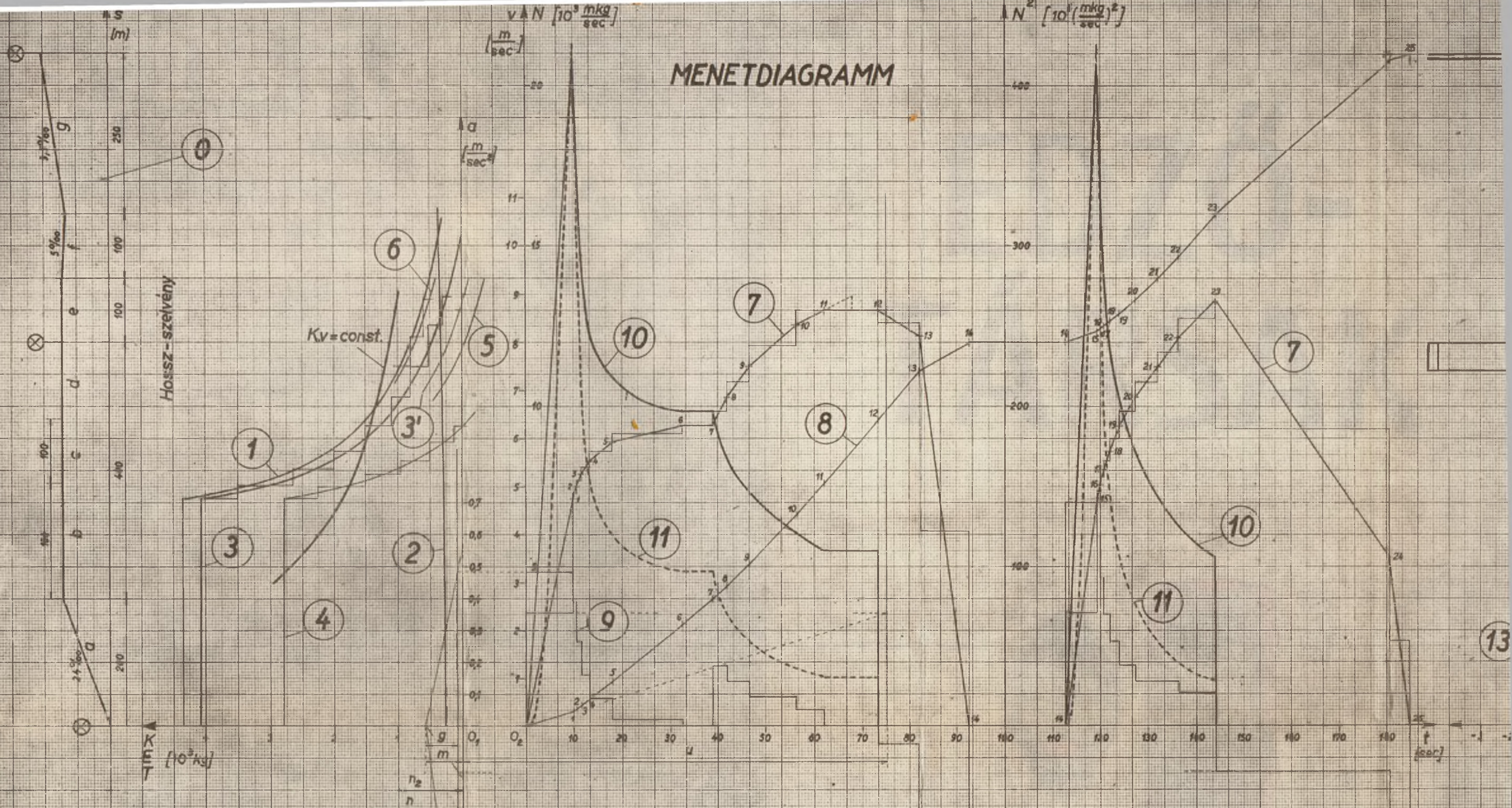
Példányszám: 2000. Terjedelem: 23,75 (A/5) ív, 189 ábra + 1 melléklet

Készült: az 1968. évi harmadik kiadás alapján, könyvről fotózva,  
rotaprint eljárással, az MSZ 5601-59 és az MSZ 5602-55 szabvány szerint

Raktári szám: 44131/V \*



# MENETDIAGRAMM



1 Vonóerő a kerékkarimán  $K(v)$

2 Menetellenállás  $E(v)$

3 Gyorsítóerő a síkpályán  $T(v)$

3' — " — az "c" kanyarban  $T(v)$

4 — " — az "a" emelkedőn  $T(v)$

5 — " — az "g" — " —  $T(v)$

6 — " — az "f" lejtőn  $T(v)$

7 Sebesség  $v(t)$

9 Magyarozó ábra

8 Út  $s(t)$

9 Gyorsulás  $a(t)$

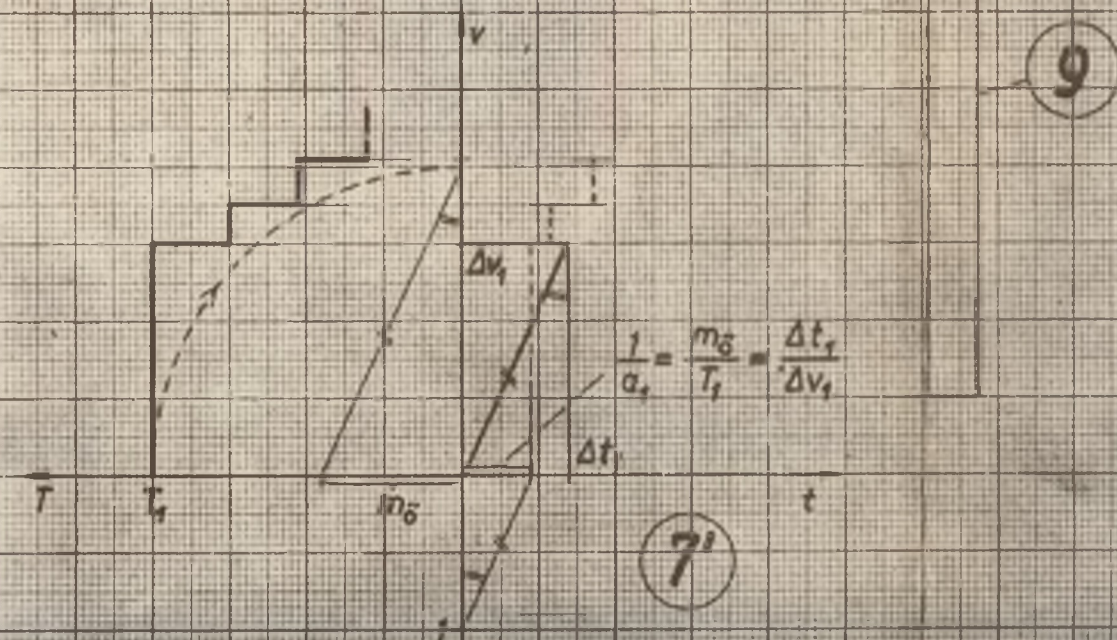
10 Teljesítmény a kerékkarimán  $N(t)$

11 — " — négyzete  $N^2(t)$

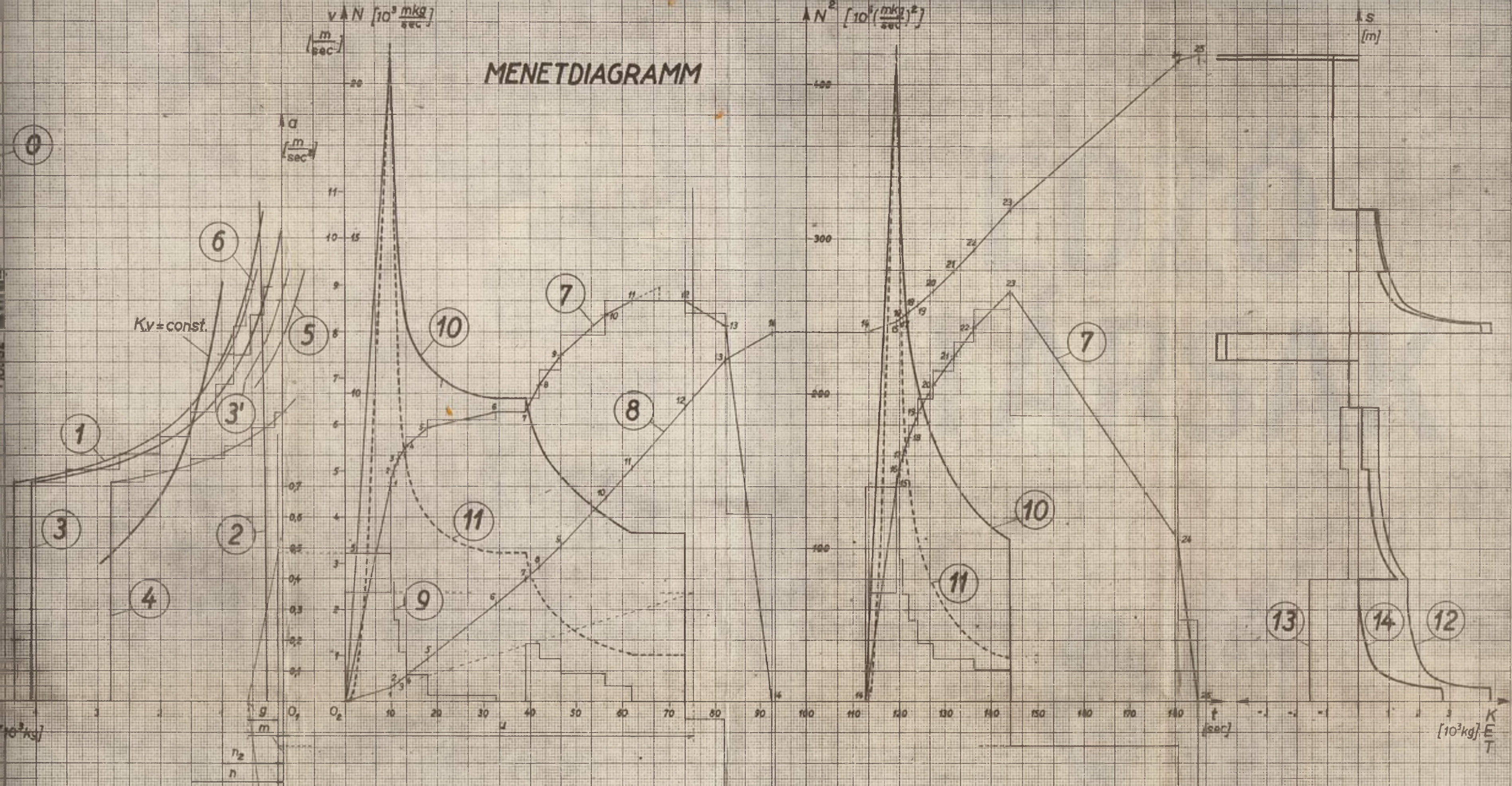
12 Vonó- és fékerő  $K(s) = T(s) + E(s) + E_i(s)$

13 Menet- és pályaelenállás  $E(s) + E_i(s)$

14 Gyorsító- és lassítóerő  $T(s)$







0)  $K_v = \text{const.}$   
 1)  $K_v = \text{const.}$   
 2)  $K_v = \text{const.}$   
 3)  $K_v = \text{const.}$   
 4)  $K_v = \text{const.}$   
 5)  $K_v = \text{const.}$   
 6)  $K_v = \text{const.}$   
 7)  $K_v = \text{const.}$   
 8)  $K_v = \text{const.}$   
 9)  $K_v = \text{const.}$   
 10)  $K_v = \text{const.}$   
 11)  $K_v = \text{const.}$   
 12)  $K_v = \text{const.}$   
 13)  $K_v = \text{const.}$   
 14)  $K_v = \text{const.}$

